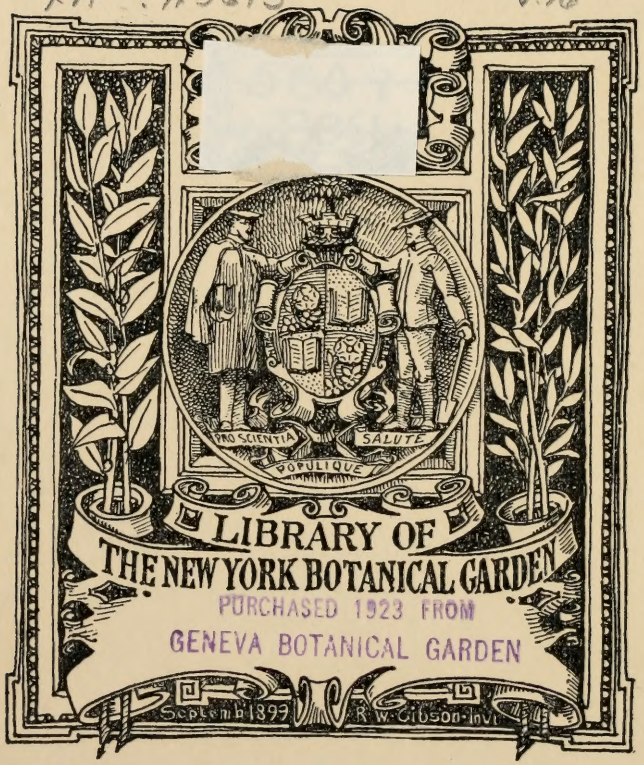
XA .N5613 V.16


PRO SCIENTIA
SALUTE
POPULIQUE
LIBRARY OF
THE NEW YORK BOTANICAL GARDEN
PURCHASED 1923 FROM
GENEVA BOTANICAL GARDEN
Septemb 1899
R.W. Gibson Invt.

ANNALES

DU

JARDIN BOTANIQUE DE BUITENZORG.

(Volume XVI.)

DEUXIÈME SÉRIE.

VOLUME I.

ANNALES

DU

JARDIN BOTANIQUE

DE

BUITENZORG.

PUBLIÉES PAR

M. LE DR. MELCHIOR TREUB,
Membre de l'Académie royale néerlandaise des sciences.
Directeur du Jardin.

(Volume XVI.)

DEUXIÈME SÉRIE.

VOLUME I.

LIBRARY
NEW YORK
BOTANICAL
GARDEN

LIBRAIRIE ET IMPRIMERIE.
CI-DEVANT
E. J. BRILL
LEIDE — 1899.

Imprimerie ci-devant. E. J. BRILL. — Leide.

TABLE DES MATIÈRES.

Pag.

ROMBURGH (P. van), Notices phytochimiques. 1

JANSE (J. M.), De la Déhiscence du fruit du Muscadier 17

Explication de la planche I. 45

LOTSY (J.), Contributions to the Life-history of the genus Gnetum. 46

I. The grosser morphology of production of Gnetum Gnemon L.

Explication of plates II—XI. 110

MÖLLER, [HJALMAR], Cladopus Nymani n. gen., n. sp. . . . 115

Eine Podostemacée aus Java.

Erklärung der Tafeln XII—XV 132

PENZIG (O.), Ueber Javanische Phalloideen. 133

Erklärung der Tafeln XVI—XXV 171

LOTSY (J.), Balanophora Globosa Jungh 174

Erklärung der Tafeln XXVI—XXIX. 185

ANNALES

DU

JARDIN BOTANIQUE

DE

BUITENZORG.

PUBLIÉES PAR

M. LE DR. MELCHIOR TREUB,
Membre de l'Académie royale néerlandaise des sciences.
Directeur du Jardin.

(Volume XVI.)

DEUXIÈME SÉRIE.

VOLUME I.

1e PARTIE.

LIBRAIRIE ET IMPRIMERIE.
CI-DEVANT
E. J. BRILL
LEIDE — 1899.

NOTICES PHYTOCHIMIQUES

PAR

P. VAN ROMBURGH.

(Première communication).

Au cours des travaux que je poursuis depuis quelques années et qui ont pour but la recherche d'huiles essentielles pouvant être de quelque utilité agricole ou industrielle, j'ai eu l'occasion d'examiner les produits volatils de plusieurs centaines de plantes. Ces recherches m'ont donné quelques résultats qui, peut-être, ne seront pas sans intérêt, non seulement au point de vue phytochimique, mais aussi pour le botaniste.

Je me propose de donner ici un aperçu succinct des résultats obtenus.

I. *Sur la présence de l'acétone dans quelques plantes.*

En soumettant à la distillation les feuilles de l'*Hevea brasiliensis* Müll. Arg., arbre de la famille des Euphorbiacées fournissant le Caoutchouc du commerce dit *Para* et cultivé au Jardin d'essai de Tjikeumeuh, on obtient un liquide exhalant fortement l'odeur de l'acide cyanhydrique. Après élimination de cette substance au moyen d'oxyde de mercure, les eaux distillées donnèrent par quelques distillations répétées un liquide dont l'odeur rappelle celle de l'acétone et qui produit avec l'iode et la potasse ou l'ammoniaque un précipité abondant d'iodoforme.

Le point d'ébullition (58°) et les propriétés physiques ne laissèrent point de doute sur la nature du produit, qui est identique à l'acétone $CH_3.CO.CH_3$. L'acétone se trouve non seulement

dans les feuilles mais aussi, dans les boutons, les fleurs, les fruits verts et les graines de l'*Hevea*. Les jeunes feuilles en contiennent plus que les feuilles plus âgées ou adultes.

20 kilogrammes de feuilles adultes m'ont fourni dans une expérience 6.8 grammes d'acétone.

Dans deux autres plantes de la même famille le *Manihot Glaziovii* Müll. Arg. et le *Manihot utilissima* Pohl. dont la première donne le Caoutchouc de Céara et l'autre le tapioca, j'ai constaté de même la présence de l'acétone que j'ai pu retirer en quantité abondante. De 100 kilogrammes de feuilles du M. Glaziovii, j'obtins environ 50 grammes d'acétone.

Le principe se trouve aussi dans les racines, les fleurs et les fruits verts de ces plantes. Il est accompagné d'acide cyanhydrique.

Les feuilles du *Phaseolus lunatus* L. (fam. des Légumineuses), plante qu'on cultive pour ses graines, m'ont donné de l'acétone en grande quantité. En distillant 3 kilogrammes de feuilles fraiches, j'obtins 3 cc. de ce produit. Dans cette plante encore, l'acétone est accompagnée d'acide prussique.

On se demandera naturellement sous quelle forme l'acétone se trouve dans ces plantes. Je crus d'abord que sa présence y était liée nécessairement à celle de l'acide cyanhydrique; mais comme je le trouvai plus tard dans d'autres plantes ne contenant pas cet acide, il me fallut abandonner cette idée.

L'acétone peut donner, comme on sait, avec l'acide cyanhydrique un produit d'addition [1]) dont l'étude est encore peu avancée. Cependant ce produit est assez instable et se scinde facilement en ses composants [2]). Exposé à l'air, il se volatilise. On pourrait admettre qu'une combinaison de cette nature se trouve dans les plantes citées, mais en admettant qu'il en soit ainsi pour une partie de l'acétone, un examen plus détaillé m'a appris que les feuilles

1) En distillant l.acétone des plantes mentionnées sans avoir éliminé l'acide cyanhydrique, la liqueur distillée s'échauffe spontanément, sans doute par suite de la formation du produit d'addition.

2) Urech, Ann. d. Chemie 164, 5, 255. Tiemann u. Friedländer, Ber. d. deutsch. Chem. Gesellsch. 14.

contiennent en outre une autre substance susceptible de donner de l'acétone et de l'acide prussique. Les feuilles désséchées sur de la chaux vive et puis pulvérisées n'exhalent point du tout l'odeur des substances en question. En traitant les poudres ainsi obtenues avec de l'eau tiède, il est facile de constater après peu de temps l'odeur de l'acide prussique et, par la distillation du liquide, la présence de l'acétone.

Les graines de l'*Heveu* conservées pendant quelques années dans un milieu sec m'ont donné le même résultat. Ces graines contiennent en outre un enzyme qui possède la propriété de dédoubler l'amygdaline.

D'après ces expériences, il est probable que dans ces plantes il existe un glucoside qui, sous l'nfluence d'un enzyme et de l'eau, est hydrolysé en donnant naissance à l'acétone.

Je rappelle que Jorissen et Hairs [1]) ont obtenu de la graine de lin un glucoside qu'ils nomment *linamarine*, et qui, sous l'influence de la farine de lin, leur a donné un sucre, de l'acide cyanhydrique et un produit volatil formant avec l'iode et la potasse un précipité d'iodoforme et offrant le caractère d'une cétone.

Les feuilles de *l'Erythroxylon Coca* Lam, var. *Spruceanum* Brck, plante qu'on cultive sur une petite échelle à Java et dont le Jardin d'essai de Tjikeumeuh possède quelques centaines de pieds, m'ont donné de l'acétone, qui dans ce cas est accompagnée d'alcool méthylique et de salicylate de méthyle. Dans une publication antérieure [2]) j'ai décrit les résultats d'une expérience avec 140 kilogrammes de feuilles, que j'ai répétée depuis avec 450 kilogrammes.

J'ai réussi à séparer une petite quantité d'acétone des eaux de distillation du *Pogostemon cristatus* Hasskl, plante qui fournit une huile essentielle dont l'odeur rappelle le patchouli.

Les résultats que je viens de décrire ont été obtenus avec des plantes que j'ai pu avoir en assez grande quantité pour en isoler l'acétone. La présence de ce corps dans le règne végétal

1) Jahresber. d. Pharm. 1891.

2) Recueil des trav. chim. des Pays-Bas XIII p. 426.

ne semble pas être rare. J'ai pu m'en assurer par l'examen provisoire de plus de 1600 plantes dont plusieurs m'ont donné, avec l'iode et la potasse, une réaction forte et immédiate.

Les belles recherches de Reinke et de Reinke et Curtius [1]) sur la substance volatile réductrice des plantes vertes, ont fait connaître la présence dans les feuilles d'une aldéhyde de la constitution $C_6H_3\begin{matrix}CHO\\CH_2OH\end{matrix}$ ou bien $C_6H_6\begin{matrix}CHO\\CH_2OH\end{matrix}$.

Seulement la composition de ce produit est trop compliquée pour qu'on puisse se représenter d'une manière simple sa formation pendant l'assimilation. Pour l'acétone la question serait plus simple. Tenant compte du fait que plusieurs plantes contiennent de l'alcool méthylique, on pourrait admettre que deux molécules de cet alcool — produit de réduction de l'aldéhyde formique — entrent en réaction, soit avec l'aldéhyde formique, soit avec l'acide carbonique. Dans le dernier cas, il y aurait formation de peroxyde d'hydrogène (qui pourrait servir à l'oxydation d'une molécule d'alcool méthylique).

$$\begin{matrix}CH_3\\CH_3\end{matrix}\!\!>\!\!\begin{matrix}OH & H\\OH & H\end{matrix}\!\!>C=O= \text{ ou } = \begin{matrix}CH_3\\CH_3\end{matrix}\!\!>\!\!\begin{matrix}OH & HO\\OH & HO\end{matrix}\!\!>C=O$$

Au point de vue botanique cette présence de l'acétone offre sans doute un certain intérêt et invite à des expériences physiologiques.

II. *Sur la présence du salicylate de méthyle dans un grand nombre de plantes.*

Le salicylate de méthyle a été signalé dans les feuilles de quelques plantes, appartenant à la famille des *Ericacées* (*Gaultheria* spec. div.), puis dans l'écorce du *Betula lenta* L, dans le *Lindnera Benzoin* Meissner et le *Spiraea Ulmaria* L, dans les racines des *Polygala Senega* L et *P. Baldwinio.* En 1894 Bourquelot [2]) le trouvait dans les racines des *Polygala vulgaris* L, *P. depressa*

1) Berichte der d. bot. Gesellschaft XV S. 201. Ce mémoire donne une liste des publications de Reinke sur ce sujet.

2) Compt. Rend. CXIX p, 802.

Wenderoth et *P. calcarea* F. Schuiz et dans la tige du *Monotropa hypopitys* L. Dans la même année j'ai publié indépendamment de cet auteur et presque au même moment [1]) une communication sur la présence de cet éther dans quelques *Polygalées* croissant à Java, notamment dans les racines du *Polygala variabilis* H. B. K. *β albiflora* DC. plante originaire du Brésil, mais actuellement très répandue dans l'île de Java, puis dans les *P. javana* DC. et *P. oleifera* Heckel. Je l'ai extrait en 1894 des feuilles de l'*Erythroxylon Coca Lam. var. Spruceanum Brck*, et j'ai signalé sa présence dans celles de l'*E. bolivianum Brck*, et de l'*E. ecaunatum Brck*. La teneur des petites feuilles terminales non déployées était de 0.13, les feuilles âgées en contenaient quelquefois moins de 0.02 pour cent. Mes recherches sur les produits volatils des feuilles de plantes tropicales qui ont porté, comme je viens de le dire, sur plus de 1600 espèces, ont montré que le salicylate de méthyle est un produit très répandu dans le règne végétal. Un coup d'oeil sur la liste suivante suffira à mettre en évidence sa présence dans des plantes des familles les plus différentes.

Quelquefois la distillation de feuilles fraîches donne un résultat négatif; tandis que avec les mêmes feuilles conservées pendant un jour on obtient très nettement la réaction du salicylate. Cette particularité laisse supposer que l'éther s'y trouve à l'état de combinaison et qu'il est mis peu à peu en liberté. Or, il résulte des recherches de Procter, de Schneegans et de Bourquelot [2]) que quelques plantes donnant du salicylate de méthyle contiennent un glucoside, la *gaulthérine*, qui s'hydrolyse sous l'action d'un enzyme — *bétulase* de Schneegans — et que l'on trouve dans beaucoup d'espèces. M. Bourquelot préfère donner à l'enzyme le nom de *gaulthérase*.

Une coloration violette avec le perchlorure de fer rendant très probable la présence du salicylate de méthyle, a été constatée dans les eaux de distillation des plantes énumérées dans

1) Rec. des trav. chim. des Pays-Bas XIII p. 421.

2) Compt. Rend. 122 p. 1002. Dans ce mémoire on trouve un aperçu de ce qu'on sait actuellement sur ce sujet.

la liste suivante. Quelquefois cet éther se sépare sous forme de lourdes gouttelettes. Une coloration jaune avec la potasse, indiquant la présence d'aldéhyde salicylique, ne s'est montrée qu'une seule fois, avec les feuilles de *l'Homalium tomentosum.*

Acanthaceae.

Hexacentris coccinea. Nees.
Thunbergia grandiflora. Rxb.

Apocynaceae.

Alstonia angustifolia. Wall.
„ Hoedti. T. et B.
„ macrophylla. Wall.
„ Spec. Timor.
Alstonia villosa. Bl.
Chilocarpus spec. M. Salak.
Hunteria corymbosa. Rxb.
Rauwolfia spectabilis. B. et H.

Artocarpaceae.

Conocephalus suaveolens. Bl.
„ ovatus.
Conocephalus spec.
Urostigma acamptophyllum Miq.

Asclepiadaceae.

Cryptolepsis laxiflora. Bl.
Marsaenia tenacissima. W. et H.

Aurantiaceae.

Atalantia zeylanica. Oliv.
Glycosmis péntaphylla. Colebr.
Glycosmis trifoliata. Spr.
Murraya exotica. L.

Bignoniaceae.

Bignonia Chamberlaynii. Sims.
„ exoleata. Rxb.
Tecoma mexicana. Mart.
Nycticalos brunfelsiaeflorus T. et B.

Burseraceae.

Garuga Spec.

Bixaceae.

Hydnocarpus alpinus. Wght.
„ venenata. Gaertn.
„ Wightiana. Bl.
Ryparia caesia. Bl.
Ryparia longepedunculata. Krz.
Scolopia Roxburghii. Clos.
Taraktogenos Blumei. Hsskl.

Celastrineae.

Celastrinea spec.

Chrysobalaneae.

Parinarium spec. Menado.

Compositae.

Stifftia chrysantha. Mik.
Vernonia arborea. Ham.

Cupuliferae.

Quercus spec.
„ spicata. Sm.
Quercus spicata var. glaberrima.
„ pseudo-molucca. Bl.

Dilleniaceae.

Wormia triquetra. Rottb.

Ebenaceae.

Diospyros acuminata. Wall.
„ aurea. T. et B.
„ cauliflora. Bl.
Diospyros Gardneri. Thw.
Maba spec.
Rhipidostigma Teysmannii. Hsskl.

Erythroxyleae.

Erythroxylon bolivianum. Brck.
„ burmannicum. Griff.
Erythroxylon Coca, Lam. var. Spruceanum. Brck.
Erythroxylon ecarinatum. Brck.

Euphorbiaceae.

Briedelia lanceolata. Krz.
„ tomentosa. Bl.
Cyclostemon macrophyllum. Bl.
„ spec. Borneo.
Hemicyclia rhacodiscus. Hsskl.
Mappa tomentosa. Bl.
Pierardia racemosa. Bl.

Gramineae.

Bambusa gigantea. Wall.

Jasmineae.

Nyctanthes arbor tristis. L.

Leguminosae.

Acacia Intsia. Wlld.
„ pluricapitata. Steud.
„ sarmentosa. Desv.
„ tenerrima. Jngh.
Albizzia moluccana. Miq.
„ procera. Bth.
„ stipulata. Bth.
„ saponaria. Bl.
„ splendens. Miq.
„ spec. Brasil.
„ „
„ lucida. Bth.
„ lebbek. Bth.
Abrus precatorius. L.
Afzelia bijuga. A. Gray.
Adenanthera pavonina. L.
„ microsperma. T. et B.
Bauhinia parviflora. Vahl.
„ phyrrhanneura. Korth.
„ Persichii. F. Muell.
Bauhinia spec. div. (réaction très faible).
„ zollingeriana.
Brownea grandiceps. Jacq.
„ maculata.
Caesalpinia Bonducella. Flem.
Calliandra haematocephala. Hsskl.
„ spec.
Crudya bantamensis. B. et H.
Cassia baccilaris. L. fil.
„ glauca. Lam.
„ grandis. L.
„ nodosa. Ham.
„ timoriensis. DC.
Cynometra Mannii. Hort.
„ polyantha. Rxb.
„ ramiflora. L.
Dalbergia melanoxylon. Guill. et Perr.

Dialium indum. L.
„ nitidum. Guill. et Perr.
Guilandina Spec. Ceram.
Humboldtia laurifolia. Vahl.
Mucuna gigantea. DC.
Peltophorum ferrugineum. Benth.
Poinciana regia. Bory.
Pterocarpus molle. Rmph.
„ saxatilis. Rmph.
Saraca declinata. Miq.
„ minor. Miq.
„ zollingeriana. Miq.
Sindora Sumatrana. Miq.
Spatholobus ferrugineus. Bth.

Lonicereae.

Viburnum sundaicum. Miq.

Menispermaceae.

Coccolus angustifolius. Hsskl.

Myristicaceae.

Myristica intermedia. Bl.

Myrsineae.

Ardisia fuliginosa. Bl.
„ humilis. Vahl.
„ lucida. Bl.
„ macrophylla. Bl.
„ purpurea. Reinw.
Ardisia reclinata. Scheff.
„ sanguinalenta. Bl.
„ speciosa. Bl.
„ spec. Padang.

Myrtaceae.

Barringtonia rubra. Bl.
„ spicata. Bl.
„ spec. Div.
Eugenia polycephala. Miq.
Nania vera. Miq.

Olacineae.

Platea excelsa. Bl.
Platea latifolia. Bl.

Oleaceae.

Chionanthus elliptica. Bl.
„ latifolia. Scheff.
„ montana. Bl.
Chionanthus ramiflora. Wall.
„ spec. Bantam.

Polygaleae.

Polygala javana DC.
„ oleifera. Heckl.
„ variabilis. H. B. K.
β albiflora. DC.

Xanthophyllum affine. Krths.
„ vitellinum. Nees.

Pomaceae.

Photinia serrata. T. et B.

Rhamneae.

Alphitonia excelsa. Reissek.

Rosaceae.

Rubus Hasskarlii. Miq.

Rubiaceae.

Anthocephalus Cadamba. Miq.
Canthium palembanicum. Miq.
Coffea arabica. L.
„ densiflora. Bl.
„ liberica. Hiern [1]).
„ lepidophloea. Miq.
Gardenia Fitzalmi. DC.
Griffithia acuminata. Krths.
„ eucantha. Krths.
Mussaenda frondosa. L.
„ officinalis. Miq.
„ rufinervis. Miq.
Nauclea fagifolia. T. et B.
„ polycephala. Wall.
Polyphragmon spec. Sambas.
Psychotria aurantiaca. Wall.
„ robusta. Bl.
„ undata. Jacq.
Randia densiflora. Benth.
„ dumetorum. Lam.
„ uliginosa. DC.
Sarcocephalus cordatus. Miq.
„ subiditus. Miq.
Scyphostachys coffeoides. Thw.

1) M. le Dr. Clautriau, de Bruxelles, qui a fait pendant quelques mois des expériences physiologiques sur le caféier au laboratoire du Jardin d'essai de Tjikeumeuh avait déjà observé qu'en séchant de jeunes feuilles de *coffea liberica*, coupées en petits morceaux, l'odeur du salicylate de méthyle se développe. J'ai constaté encore la présence de cet éther dans les fleurs du *coffea liberica*.

Samydaceae.

Homalium tomentosum. Benth.
„ javanicum. K. et V. (nov. spec.).

Sapindaceae.

Capura alata. Bl.
„ spec.
Cupania bankensis. T. et B.
Harpullia pendula. Planch.
„ imbricata. Thw.
„ spec. Siam.
Meliosma pendula.
Mischocarpus fuscescens. Bl.
Nephelium eriopetalum. Miq.
Otophora alata. Bl.
Paranephelium xestophyllum. Miq.

Sapotaceae.

Sideroxylon obovatum. Brck.

Staphyleaceae.

Turpinia Sphaerocarpa. Hsskl. Turpinia spec.

Styraceae.

Symplocos fasciculata. Zoll. Symplocos spec. Dv.

Ternstroemiaceae.

Thea assamica. J. W. Mast [1]). Thea chinensis. Sims [1]).

Tiliaceae.

Elaeocarpus spec.

Violaceae.

Alsodeia cymulosa. Miq.

Dans quelques plantes mentionnées dans cette liste j'ai dosé l'acide salicylique qui se forme en traitant le liquide distillé par la potasse. Voici les résultats:

1) La présence dans le thé a été constatée en collaboration avec M. Lohmann.

8	Kg.	de	feuilles	fraîches	du	Bambusa gigantea	donnèrent	22	mG.	d'acide	salicylique
11	„	„	„	„	„	Briedelia lanceolata	„	15	„	„	„
8.5	„	„	„	„	„	Quercus spicata	„	23	„	„	„
7	„	„	„	„	„	Rubus Hasskarlii	„	165	„	„	„
13	„	„	„	„	„	Sarcocephalus cordatus	„	324	„	„	„
8.25	„	„	„	„	„	Mappa tomentosa	„	160	„	„	„
2	„	„	„	„	„	Coffea liberica	„	13	„	„	„
9.5	„	„	„	„	„	Albizzia moluccana	„	62	„	„	„
12.5	„	„	„	„	„	„ stipulata	„	100	„	„	„
1.—	„	„	„	„	„	„ Saponaria	„	7	„	„	„
0.25	„	„	„	„	„	Abrus praecatorius	„	7	„	„	„
11.—	„	„	„	„	„	Spatholobus ferrugineus	„	22	„	„	„

Il va sans dire qu'il ne faut pas attribuer trop de valeur à ces chiffres; l'âge des feuilles, le moment de la récolte et d'autres circonstances peuvent faire varier la teneur.

On ne sait rien jusqu'ici du rôle que le salicylate de méthyle joue dans la vie de la plante et il serait prématuré d'émettre une hypothèse à ce sujet sans avoir fait auparavant une série d'expériences physiologiques.

III. *Sur la présence de l'alcool méthylique dans quelques plantes cultivées à Buitenzorg.*

Maquenne [1]) en distillant les feuilles fraîches de diverses plantes avec de l'eau a obtenu de l'alcool méthylique en assez grande quantité. Quelque temps après la publication de son travail, Gutzeit [2]) fit observer, que, dix années auparavant, il avait déjà constaté la présence de ce produit (et de l'alcool éthylique) dans les fruits des *Heracleum gigant* hort, *Pastinaca sativa* L et *Anthriscus Cerefolium* Hoffm. Il fit remarquer en outre, qu'en 1876, Möllinger le trouva dans l'*Heracleum spondylium*, tandis qu'il montra lui-même, en 1879, que l'alcool méthylique existe comme tel dans les jeunes fruits d'*Heracleum*. Geuther [3]) en 1887 a isolé cet alcool des rhizomes de *l'Acorus Calamus*. Enfin dans la fabrique de Schimmel & Co. à Leipzig [4]) on a constaté sa présence dans les eaux de distillation des clous de girofle secs.

1) Compt. Rend. 101 (1885).
2) Ann. der Chemie 240, S. 243.
3) Id. S. 109.
4) Schimmel & Co. October—Bericht 1896.

Ces dernières années je l'ai rencontré dans plusieurs plantes. Cependant, pour démontrer incontestablement sa présence, il faut opérer avec de grandes quantités de feuilles; d'abord le rendement est ordinairement très faible et la température élevée de l'air ambiant est peu favorable à la séparation. Les réactions dont on dispose pour le reconnaître ne sont pas assez sensibles et il est nécessaire de le séparer en nature.

Je l'ai trouvé dans les plantes suivantes:

Thea chinensis. En distillant 200 Kg. de feuilles fraîches avec de l'eau j'ai réussi en 1892 [1]) à obtenir de l'alcool méthylique. Son point d'ébullition, sa densité de vapeur, sa transformation en iodure et en oxalate de méthyle me permirent de le caractériser.

Erythroxylon Coca Lam. var. *Spruceanum* Brck. Dans l'eau qui avait distillé sur 450 Kg. de feuilles fraîches j'ai pu constater sa présence. Je me suis servi d'une réaction que j'avais trouvée, c'est à dire de la propiété d'une nitrotriméthylmétaphenylène diamine de se combiner à l'alcool méthylique en formant de beaux cristaux d'une couleur orange. L'alcool obtenu de cette plante donna très nettement cette réaction et put être transformé en son iodure dont le point d'ébullition était de 44°.

Indigofera disperma (Indigo de Guatemala). Cette plante, qu'on cultivait il y a peu d'années presque exclusivement pour la fabrication de l'indigo de Java, [2]) m'a donné de l'alcool méthylique par distillation avec de l'eau.

Indigofera Galegoides DC. Cet „Indigofera", qui ne contient trace d'indigo, peut servir à la fabrication de l'essence d'amandes amères. Lorsqu'on met les feuilles fraîches en digestion avec de l'eau tiède pendant un jour et qu'on sommet le tout à la distillation, on obtient de l'essence d'amandes amères et de l'acide prussique, tandis qu'on peut extraire des eaux de la distillation un liquide bouillant au dessous 80°. Ce liquide est un mélange

1) Verslag omtrent den Staat van 's Lands Plantentuin 1892, p. 60.

2) On l'a remplacé par l'Indigofera leptostachya DC. (Indigo Natal) qui à présent donne un rendement plus considérable.

des alcools méthylique et éthylique. 95 Kg. de feuilles m'en ont donné 56 grammes.

En soumettant les feuilles directement à la distillation on n'obtient que de l'alcool méthylique. 137 Kg. m'ont fourni 26 grammes (séchés avec le sulfate de cuivre anhydre).

Dans la première expérience, l'alcool s'est peut-être formé par la respiration intramoléculaire des feuilles.

Boehmeria nivea, *Vitex tiifolia*, *Ageratum conysoïdes* et *Caesalpinia Sappan*, dont les trois dernières contiennent dans leurs feuilles une huile essentielle, m'ont donné de l'alcool méthylique, ainsi que les clous de girofle fraîchement cueillis.

Enfin les rhizomes de *l'Alpinia malaccensis* Rosc. plante qu'on trouve dans les environs de Buitenzorg et dont je soumis une quantité de 250 Kg. à la distillation avee de l'eau pour étudier l'huile essentielle qu'ils contiennent, m'ont fourni une petite quantité d'alcool méthylique.

Souvent cet alcool se trouve accompagné d'une faible quantité d'un produit jaune très volatil, à odeur caractéristique, réduisant la solution ammoniacale de nitrate d'argent et donnant de l'iodoforme avec l'iode et la potasse. Faute d'une quantité suffisante je n'ai pas encore pu en faire un examen plus approfondi.

IV. *Sur quelques plantes contenant de l'acide cyanhydrique.*

Les recherches de M. Greshoff [1]) ont fait connaître une quantité de plantes contenant de l'acide cyanhydrique, soit sous forme d'amygdaline, soit libre ou faiblement lié à une matière fortement réductrice. Dans son travail sur le rôle de l'acide cyanhydrique dans le *Pangium edule*, M. Treub [2]) considère l'acide prussique comme le premier produit reconnaissable de l'assimilation de l'azote chez le *Pangium*. Il joue le rôle d'une substance de transport et serait le point de départ de la synthèse des matières albuminoides. La présence de ce principe peut donc avoir une grande importance pour la plante.

1) Ces Annales T. IX, p. 258.
2) Id. T. XIII, p. 1.

Plus le nombre des plantes dans lesquelles on trouve l'acide cyanhydrique est grand, plus les vues émises par M. Treub dans le mémoire cité seront fortifiées.

Il y a quelques années, j'ai constaté la présence de l'acide cyanhydrique dans deux Euphorbiacées: l'*Hevea brasiliensis* Müll. Arg. et le *Manihot Glaziovii* Müll. Arg. Dans ces plantes, il est accompagné d'acétone et se trouve probablement en partie sous forme de produit d'addition et en partie sous forme de glucoside, comme je l'ai déjà discuté à propos de l'acétone.

Les feuilles du *Phaseolus lunatus* L. contiennent de l'acide prussique en assez grande quantité. Ici encore cet acide est accompagné d'acétone et il se trouve partiellement sous forme stable. Car après avoir séché pendant un jour de jeunes feuilles, d'abord au soleil et puis sur de la chaux vive, on peut constater après macération et distillation avec de l'eau, la présence des deux produits [1]).

Comme le *Phaseolus lunatus* L. est une plante herbacée poussant très vite et portant des feuilles minces il se prête bien à des expériences physiologiques.

J'ai trouvé l'acide cyanhydrique dans *l'Indigofera galegoides* DC. sous forme de glucoside fournissant en outre de l'aldéhyde benzoïque et un sucre. En traitant les feuilles par l'alcool bouillant on peut en extraire le glucoside, qui se présente sous forme d'une substance gommeuse. En solution aqueuse il est décomposé par l'émulsine. Cet *Indigofera* qui contient dans ses feuilles fraîches 0.2 % d'essence d'amandes amères pourrait servir à la fabrication de ce produit.

Ipomoea sinuata Ort. (Convolvulaceae) dont j'ai reçu une petite quantité de feuilles du Jardin botanique, a donné par la distillation de l'acide cyanhydrique et de l'aldéhyde benzoïque [2]). De même les feuilles du *Prunus javanica* Miq. (Rosaceae) et du

1) Selon MM. Davidson et Stephenson, les graines d'une variété de Phaseolus lunatus contiennent une substance qui, sous l'influence de l'eau, donne de l'acide cyanhydrique. (Kobert Lehrb. der Intoxicationen).

2) M. Prestoe, du Jardin botanique de Trinidad, a signalé l'Ipomoea dissecta Willd. à MM. Flückiger et Hanbury comme ayant une forte odeur d'acide prussique. (Pharmacographia, p. 251).

Plectronia dicocca Burck (Rubiaceae) ont donné ces deux produits.

J'ai enfin constaté la présence de l'acide cyanhydrique, probablement libre, du moins non accompagné d'acétone ou d'aldéhyde benzoïque, dans les feuilles de:

Colocasia gigantea Hook f. . . . (Fam. des Aroideae).
Cupania spec. („ „ Sapindaceae).
Kurrimia zeylanica Arn. („ „ Celastraceae).
Passiflora quadrangularis L. . . . („ „ Passiflorae).
„ *laurifolia*. („ „ „
„ *princeps*. („ „ „
„ *hybr. Imp. Eugénie*. . . („ „ „
Pterocymbium spec. („ „ Sterculiaceae).
Tacsonia spec. („ „ Passiflorae).

V. *Sur la présence du cinnamate de méthyle dans les rhizomes de l'Alpinia malaccensis Rosc.*

L'Alpinia malaccensis Rosc. se trouve en quantité abondante dans les environs de Buitenzorg où la plante est connue sous le nom soudanais de „ladja gowah". Ses rhizomes frais, écrasés entre les doigts, répandent une odeur agréable. En les soumettant à la distillation avec de l'eau, on obtient une huile essentielle plus lourde que l'eau. 240 Kg. de rhizomes frais m'ont donné 635 grammes de cette essence, soit 0.25 pour cent. En baissant un peu la température, elle se solidifie pour la plus grande partie et on peut en séparer un produit incolore, se présentant sous forme de longues aiguilles, fondant à 36° et bouillant à 259°. L'examen chimique m'a montré que j'avais affaire à l'éther méthylique de l'acide cinnamique. L'essence *d'Alpinia malaccensis* est constituée pour les 9 dixièmes environ par cet éther; elle renferme en outre une petite quantité d'un produit possédant une odeur camphrée.

On a trouvé plusieurs éthers de l'acide cinnamique dans le règne végétal, dans le baume du Pérou, le baume de Tolu et le styrax liquide, mais son éther méthylique n'avait pas été signalé jusqu'ici.

DE LA DÉHISCENCE DU FRUIT DU MUSCADIER

PAR

J. M. JANSE.

La manière dont se produit la déhiscence du fruit du Muscadier n'est encore que fort imparfaitement connue, faute d'occasions d'étudier les fruits à l'état vivant. On devait donc se contenter de conjectures, basées uniquement sur des analogies avec d'autres fruits mieux connus.

Pendant une étude des maladies du muscadier, en vue de laquelle je visitais les terrains principaux de production, savoir les îles de Banda et la partie septentrionale de l'île de Celèbes, mon attention se dirigea spécialement sur la question de la déhiscence des fruits de cet arbre, parce que la maladie la plus importante du muscadier consiste justement dans la déhiscence prématurée de ses fruits. La noix muscade et le macis qui proviennent de ces fruits malades n'ont comme épices aucune valeur mercantile ou n'en ont tout au plus qu'une très faible. La cause de cette maladie est un champignon parasite qui vit dans le péricarpe [1]).

Pour pouvoir donner une explication de la déhiscence prématurée du fruit, il me fallait d'abord étudier les forces qui entrent en jeu pour l'ouverture normale du péricarpe. Ce sont les résultats obtenus dans le cours de cette étude que je présente dans le mémoire suivant.

1) De Nootmuskaat-cultuur op Banda en in de Minahassa; Mededeelingen van 's Lands Plantentuin, 1898, N°. XXVIII.

Jusqu'à présent deux opinions ont été émises par rapport à la déhiscence du fruit en question:

Baillon [1]) est d'avis que c'est l'épaississement du macis, s'effectuant à l'approche de la maturité, qui ferait fendre le péricarpe le long des deux sutures préexistentes.

Baillon en dit:... „l'accroissement (du macis jeune), d'abord simultané et continu, des cellules de ces régions, devient indépendant pour quelques-unes ou pour certains groupes entre elles; si bien que l'arille commence à se partager en lanières. Que sont ces dernières, sinon des poils [2]) comprimés, rarement isolés, plus souvent unis bords à bords en languettes aplaties?

„Quelle est la raison de cet aplatissement? La même qui donne à l'arille une apparence telle que les botanistes l'ont considéré comme une portion réfléchie du bord de l'exostome; ce qui n'existe pas en réalité. C'est que ces cellules étirées, nées du hile, du micropyle et des régions voisines, ne peuvent se loger en grandissant que dans les intervalles, très étroits compris entre la jeune graine et le péricarpe, espace dans lequel elles s'insinuent en s'aplatissant forcément. L'étroitesse de cette cavité fait que, lorsque le macis, gorgé de sucs à la maturité, s'écarte de la surface de la semence, ses lanières turgides et élastiques tendent à repousser en dehors les deux moitiés du péricarpe entr'ouvert. Par là l'arille du Muscadier joue, comme la plupart des organes homologues, un rôle dans la dissémination des graines; et, chose remarquable, voilà un fruit totalement charnu qui présente à peu près seul le phénomène de la déhiscence capsulaire très nette, et la graine qu'il renferme se trouve pourvue d'un puissant arille!"

M. Warburg est d'une autre opinion; il suppose que le fruit en question ne s'ouvre que par exsiccation, de sorte que le macis ne serait pour rien dans ce phénomène [3]):

„Der Arillus hat offenbar die Function, als Lockorgan zu

1) Sur l'origine du macis de la muscade; Adansonia, T. XI, 1876, pag. 331 (Comptes rendus, T. 78, pag. 779).

2) D'après la nomenclature de Sachs on les appellerait maintenant des émergences.

3) Die Muskatnuss, etc., 1897, pag. 311.

dienen. Schon die prächtige rothe Farbe muss sehr in die Augen fallen; ferner ist aber auch der Geschmack der Macis ein vielen Vögeln, namentlich Tauben, sehr zusagender; dass der Arillus gleichzeitig dazu dient, durch Quellung die Fruchtschale zum Bersten zu bringen, scheint ausgeschlossen zu sein, da, abgesehen von vielleicht den räumlich doch minimalen Zellwänden der Epidermiszellen, quellbare Substanzen nicht in der Macis gefunden worden sind. Offenbar springt das Perikarp lediglich durch Austrocknung auf, wie auch die häufigen Fälle beweisen, wo nach einer Periode trockner Winde, die Früchte unreif aufplatzen, zu einer Zeit, wo die noch ganz unreife, weissliche Macis jedenfalls nicht genügend ausgebildet ist, um überhaupt eine Quellwirkung ausüben zu können.

„Die Fortpflanzung der Muskatnüsse wird vor Allem durch Tauben besorgt, und zwar ist dies schon seit lange bekannt".

Le macis ne servirait donc, d'après ce savant, que pour attirer certains oiseaux, qui avalent la noix avec le macis, et déposent la graine ailleurs avec leurs excréments.

Les résultats de mes recherches ne s'acordent ni avec l'opinion de Baillon, ni avec celle émise par M. Warburg. Quant à celle-ci, je voudrais relever que les fruits mûrs ne se dessèchent pas, mais qu'ils contiennent tout au contraire une assez grande quantité de suc (suc à kino, contenu dans des canaux sécréteurs, analogues aux canaux lacticifères), et ensuite que les fruits non mûrs qui se dessèchent et se rident, ne s'ouvrent pas. La déhiscence prématurée des fruits du muscadier est en outre due presque exclusivement au champignon mentionné plus haut.

D'autre part, je suis entièrement de l'avis de M. Warburg que le macis doit être considéré comme un moyen d'attraction pour les oiseaux, qui aident effectivement à la dissémination des graines, fonction rendue d'autant plus probable par le fait que le macis contient une assez grande quantité de substances nutritives [1]). Mais nous verrons plus tard que le macis joue

1) Voir les analyses citées par M. Warburg, l. c., pag. 308.

aussi un certain rôle, assez subordonné il est vrai, dans la déhiscence du fruit, quoique ce rôle soit autre que M. Baillon ne le suppose.

Le fait que le fruit du Muscadier est à peu près le seul exemple d'un fruit charnu qui s'ouvre, ferait déjà supposer d'avance que la déhiscence offre dans ces conditions des difficultés peu communes. La nature sait surmonter cependant tous les obstacles, quoiqu'elle semble avoir besoin, comme nous le verrons, de tous ses moyens pour en venir à bout. Le cas est d'autant plus difficile qu'il ne suffit pas que le fruit soit ouvert; le but n'est atteint que lorsque la noix (toujours entourée du macis) se détache aisément des deux valves, pour qu'elle puisse être enlevée par les oiseaux, ou qu'elle tombe par terre, libre du péricarpe qui la tenait enclose.

Pour bien élucider l'action des forces diverses qui entrent en jeu dans la déhiscence du fruit en question, nous suivrons pas à pas son développement, dès la fructification de la fleur.

Résumons d'abord en peu de mots la composition du fruit adulte; ordinairement ce fruit a une longueur de 55 à 60 millimètres, ou même encore un peu plus.

Il se compose d'abord de la noix muscade proprement dite; celle-ci est entourée par le tégument interne, très mince, qui adhère fortement à la noix. Ce tégument a pénétré à divers endroits dans le tissu du nucelle, et y a formé les veines brunes auxquelles l'endosperme doit son nom de „endospermum ruminatum" [1]).

Le tégument externe, la coque, est noir et très dur, d'une épaisseur d'à peu pres un millimètre; sur la surface externe les lanières du macis ont laissé des impressions assez profondes.

La coque est entourée à son tour par le macis; sa partie basale est presque toujours formée d'une seule pièce d'une épaisseur de $1^1/_2$ millimètres. Vers le sommet il va se dissolvant en lanières plus ou moins larges, qui ensuite deviennent de

1) A. Voigt; Untersuchungen über Bau und Entwickelung von Samen mit ruminirtem Endosperm, aus den Familien der Palmen, Myristicaceen und Anonaceen; Annales du Jardin Botanique de Buitenzorg, 1888, T. VII, pag. 160.

plus en plus étroites et minces; à la fin elles n'ont qu'une épaisseur d'un demi-millimètre environ. Les lanières se dirigent presque toutes vers le sommet de la noix, mais il y en a toujours quelques-unes qui prennent une direction plutôt latérale, de sorte qu'elles entrent en contact avec les lanières d'à côté. Les bouts minces du macis sont couchés les uns sur les autres, de sorte que le sommet de la noix en est toujours entièrement couvert [1]). Les lanières qui se touchent adhèrent fortement entre-elles, de sorte qu'on ne peut les détacher qu'avec quelque précaution; nous verrons plus tard que cette adhésion joue un rôle spécial dans l'action du macis. Celui-ci présente donc la forme d'un réseau, de forme ovoïde, à mailles assez irrégulières, qui entoure la coque, mais qui n'y est attaché qu'à un seul endroit: autour du hile et du micropyle. Sauf en ce dernier point, le macis est partout parfaitement libre.

Le macis est enveloppé à son tour du péricarpe, charnu, mais assez consistant; dans le fruit mûr il est d'une épaisseur moyenne de 10 millimètres environ. La face interne est lisse, sauf les impressions que le macis y a produites. Là où se trouvent les mailles le péricarpe touche à la coque. La surface externe du péricarpe est revêtue de poils, à paroi mince, qui sont très rapprochés. Ils sont toujours composés de trois cellules, et rentrent dans la catégorie des poils caractéristiques que M. Warburg a décrits pour les *Myristicacées* [2]). Les jeunes fruits sont tout recouverts de ces poils, mais ceux-ci se détachent très facilement, de sorte qu'il n'en reste que les cellules basales, sur le fruit adulte, du moins pour le plus grand nombre.

Les deux sutures le long desquelles le fruit s'ouvrira sont très visibles; l'une, la suture ventrale, est plus courte que la suture dorsale; la première mesurait, par exemple, 59 millimètres contre 89 pour la suture dorsale. Le fruit a donc une forme sensiblement symétrique.

1)

2) Ueber die Haarbildung der Myristicaceen; Ber. der deutschen botanischen Gesellschaft. 1895. Bd. XIII, S. 78.

La noix muscade, attachée au péricarpe à l'endroit où est le hile, est donc suspendue librement dans la cavité du péricarpe, entourée du macis, qui est aussi parfaitement libre de ces deux organes, sauf qu'il est attaché à la coque à son point d'origine situé aussi tout près du hile.

Le gynécée de la fleur ouverte a une longueur de 3 millimètres et demi, sur une largeur de $2^1/_2$ à 3 millimètres. Des deux sutures on ne voit à ce moment que la suture ventrale (ligne de jonction des bords de la feuille carpellaire) tant extérieurement, que sur coupe transversale. La suture dorsale ne se montrera qu'un peu plus tard; elle est cependant déjà visible quand le fruit n'a guère plus de 7 millimètres de long.

A l'époque de la pollinisation on n'aperçoit du macis qu'une petite émergence tout près du hile. Après la fructification il commence immédiatement à se développer, et, croissant plus vite que la noix, il tend à l'entourer de plus en plus; le fruit a cependant déjà atteint une longueur de 36 à 37 millimètres (la noix n'en mesure alors que 12 environ) avant que le macis ait atteint le sommet de la noix.

Au début rien ne s'oppose au libre accroissement du macis, puisque la cavité du péricarpe est assez spacieuse pour le contenir sans difficulté en même temps que la noix. Ces conditions vont cependant bientôt changer, parce que la noix croît un peu plus vite que le péricarpe, de sorte que l'espace y devient, relativement, de plus en plus étroit. Ceci n'arrête cependant en aucune façon l'accroissement du macis; seulement ces deux organes vont se développer dès ce moment sous l'influence d'une pression croissante, pression qui d'ailleurs ne se fait pas moins sentir sur l'écale. Ces trois organes vont donc se comprimer mutuellement, chose qui se manifeste d'abord par la position que prendra le macis et ensuite par le développement d'une tension croissante entre ces organes.

Des coupes transversales de fruits très jeunes, jusqu'à une longueur d'environ 18 millimètres (voir la figure 1), nous montrent qu'il n'y existe encore aucune compression réciproque entre la noix, le macis et le péricarpe: quoique ces organes

se touchent, ils sont encore parfaitement libres. Pour démontrer qu'il n'y existe encore aucune tension, on n'a qu'à couper le fruit en deux (il est préférable de pratiquer la section suivant la ligne équatoriale). Si les organes ne sont pas comprimés, les deux parties de la noix resteront en place; si, au contraire, il existait quelque compression, la tension tendrait à soulever les moitiés.

Quand on coupe ainsi de jeunes fruits, tout frais, d'une longueur de 18 millimètres environ, la noix reste en place; il n'existait donc aucune tension entre les diverses parties. Les fruits un peu plus âgés, jusqu'à 26 millimètres environ, ne donnent pas d'autre résultat. Il doit cependant y exister une faible tension, puisque le macis n'est plus tout à fait libre, mais elle est évidemment si minime, qu'elle ne suffit pas pour vaincre le frottement entre le macis et la surface interne du péricarpe.

A mesure que les fruits se développent, la compression des organes devient de plus en plus sensible, de telle sorte que les lanières du macis font des impressions plus marquées dans la surface de la coque (alors encore très molle) ainsi que de l'écale. Ceci commence dans les fruits qui ont une longueur de 26 millimètres environ, mais alors ce n'est encore que très faiblement. La pression est déjà sensible dans les fruits de 29 millimètres, comme le montre la figure 2 de la Planche I. Quand le fruit a atteint une longueur de 35 millimètres, les espaces qui existaient entre les lanières du macis ont disparu complètement, parce qu'elles ont été remplies par des saillies de l'écale et de la coque (fig. 2).

La compression du macis va de pair avec la tension entre ses organes, comme les fruits le font voir quand on les coupe transversalement. Elle commence déjà dans les fruits de 29 millimètres environ: si on en coupe un, on verra que peu après les deux moitiés s'élèveront au dessus de l'écale. Le soulèvement est très facile à mesurer en remettant les deux moitiés en place: la distance entre les deux coupes de l'écale donne le soulèvement total des deux parties de la noix. Dans les fruits de la dimention indiquée, la distance était encore assez faible;

dans d'autres, plus grands, de 30 à 33 millimètres, elle était de 0,5 millimètre environ, et dans d'autres, encore un peu plus âgés, de 35 millimètres, les deux moitiés de la noix se sont soulevées de 0,75 millimètres. Ce stade correspond à la figure 3 déjà citée [1]).

Cependant la tension va toujours en augmentant encore, parce que l'accroissement de l'écale reste de plus en plus en arrière par rapport à celui de la noix; dans un fruit de 41 millimètres les deux moitiés de la noix s'élevaient ensemble de 2 millimètres. Un autre fruit, de 54 millimètres, s'ouvrait ainsi sur trois millimètres en quelques minutes; mais ce n'était pas encore fini, car une heure après la moitié inférieure seule surmontait la coupe de l'écale de 3 millimètres; la figure 4 donne une esquisse de la partie inférieure de ce fruit. Après avoir fait ce dessin, je coupai la noix de nouveau, à la hauteur de la coupe à travers l'écale, et je pesai les deux parties de cette moitié de la noix: elles pesaient ensemble 3,85 grammes, tandis que la partie poussée au dehors en pesait 1,15; celle-ci avait donc environ 30% du volume total. L'élévation de la noix s'effectua par l'extension du tissu de l'écale, extension qui mesurait environ 20% du volume primitif.

Les fruits de cet âge commencent déjà à mûrir, car la coque

1) Nous avons mentionné plus haut (page 4) que le macis ne gagne le sommet de la noix que quand le fruit a atteint une longueur de 37 millimètres au moins. Dans les fruits de cet âge la tension entre la noix et l'écale vient de se manifester, ce qui fait que le macis, à la fin de son développement, doit se frayer avec quelque force un chemin entre ces deux organes.

Ordinairement les lanières réussissent à atteindre le bout de la noix, mais dans certains fruits elles ont été arrêtées à une certaine distance. Ces noix sont bien connues; on les appelle »dominé's noot", »pala domine"; VALENTIJN les mentionne déjà dans son ouvrage: Oud- en Nieuw-Oost-Indien. Ces noms doivent leur origine à la ressemblance que l'on trouve entre le sommet dénudé et noir de la noix et la barette des prédicateurs protestants.

Il me semble que la cause de l'arrêt de l'accroissement du macis est due à la tension augmentante entre la noix et l'écale, qui, quand le macis est un peu arriéré, devient bien vite trop grande pour permettre plus longtemps le passage des lanières. Cette explication me paraît d'autant plus probable, que, chez les »pala domine", les bandelettes du macis sont à leur extrémité assez minces et larges, presque taillantes, comme si elles s'étaient étendues en largeur, ne pouvant plus pousser en avant.

va se durcir et prendre sa teinte noire définitive. C'est pour cela qu'il devient difficile, pour expérimenter, de couper le fruit entièrement en deux; mais il suffit aussi de couper l'écale seule; même il n'en est alors que plus facile de mesurer la distance entre les deux parties.

En raison de la grande tension qui existe même dans les fruits jeunes, on voit l'écale s'épaissir de très bonne heure: dans le fruit adulte (de 55 millimètres environ) l'écale a une épaisseur de 10 millimètres, mais dans un jeune fruit, de 29 millimètres (dans lequel la tension va naître), elle en mesure déjà 8, et à 35 millimètres de longueur déjà 9. Nous verrons bientôt que les forces assez considérables qui sont en jeu à l'intérieur de ces fruits exigent une enveloppe tellement puissante.

Le rehaussement que subit la noix après qu'on a coupé, soit l'écale, soit le fruit entier, ne correspond cependant pas à la tension totale qui existe dans le fruit coupé. Ceci serait bien le cas s'il n'existait aucun frottement entre les surfaces du macis et de l'écale. Ce frottement existe cependant, et il est même assez grand, ce qui s'explique quand on se rappelle que la surface de l'écale n'est pas lisse, mais qu'elle possède des saillies, qui entrent dans les mailles du macis. De cette sorte la tension ne peut continuer à rehausser la noix que jusqu'à ce qu'elle soit devenu égale au frottement. Il en reste donc toujours une portion qui continue à comprimer la noix. Quand celle-ci est encore jeune, le tissu nucellaire a une consistance molle, gélatineuse, qui obéit facilement à chaque pression qu'elle subit. Ainsi, quand on coupe en deux un fruit non mûr, on verra que la coupe à travers la noix, plane d'abord, prend vite une forme convexe. Les deux moitiés du fruit, remises l'une sur l'autre, ne se toucheront donc qu'à leurs centres seuls, comme le montre la figure 3. Ce fruit avait une longueur de 41 millimètres; les bords de la coque des deux moitiés laissaient entre eux une distance d'un millimètre environ, et le centre de la noix s'était élevé de 0,5 millimètres sur chaque moitié. Dans le cas de la figure 4, le rehaussement mesurait au centre

0.6 millimètres environ. Dans ce fruit-ci, d'une longueur de 54 millimètres, la coque avait déjà commencé à durcir et le moment de la maturité était assez proche, mais cependant le tissu du nucelle était encore mou et très compressible.

Sous l'influence de la tension, les volumes de la noix et de l'écale se sont modifiés. Pour donner une idée des changements qu'ils subissent, je citerai quelques chiffres obtenus dans le cours de mes expériences. Ces chiffres n'ont cependant qu'une valeur relative, puisqu'ils peuvent varier même pour des fruits de grandeur égale. Je n'avais donc pas besoin d'exécuter les mesurages avec beaucoup d'exactitude, d'autant plus que les chiffres obtenus donnent une idée suffisamment exacte de la nature du phénomène.

La noix encore jeune, à coque blanche et molle, délivrée de l'écale, s'aggrandit un peu: on n'a pour s'en convaincre qu'à couper un fruit en deux, et à mesurer les diamètres de la coupe de la noix, avant et après qu'on l'a délivrée de l'écale. Dans un fruit de 54 millimètres, la coque commençait justement à durcir et le diamètre augmenta de 23.8 jusqu'à 24.5 millimètres, augmentation en longueur de 3%, et ainsi d'à peu près 9% en volume. Dans les fruits encore plus âgés, à coque noire, la noix ne se dilate plus; elle a été comme solidifiée dans la coque dure pendant la pression persistante.

L'écale est comprimée aussi bien que la noix: on l'aperçoit d'abord à ce que le diamètre de la cavité s'abrège après qu'on a éloigné la noix. Dans un fruit de 32 millimètres les diamètres, en trois directions, mesuraient 23, 22.5 et 25 millimètres, tant que la cavité contenait la noix; mais après l'éloignement de celle-ci, ils se raccourcirent jusqu'à 21.3, 21 et 24 millimètres. Le volume de la cavité, mesurant d'abord 6.75 centimètres cubes, s'était donc abaissé jusqu'à 5.6 centimètres cubes, diminution d'environ 17%. Dans un autre fruit, un peu plus grand, la cavité mesurait sur la coupe d'abord 23 millimètres en long sur 22.2 en large, et après qu'on eut éloigné la noix, 22.5 et 21.2 millimètres diminution moyenne de diamètre de 3.5%, ce qui donnerait en volume une diminution de 11% environ.

On peut se faire une meilleure idée encore de la disproportion entre l'accroissement de la noix et celui de l'écale, quand on compare le volume de la noix délivrée avec celui de la cavité vide. Dans un fruit jeune, de 33 millimètres, dans lequel, comme nous l'avons vu, la tension ne vient que de commencer, cette différence était deja de 14% à peu près. Dans un autre fruit, plus grand, de 46 millimètres, la noix enclose mesurait 25 millimètres en diamètre, la noix libre 25.5 et la cavité vidée 23 millimètres. La relation entre leurs volumes était donc d'environ 100: 106: 78. La noix avait donc grossi de 6%, tandis que la cavité avait diminué de 22%; la différence totale entre les deux n'était donc pas moins de 28%.

Ce n'est cependant pas seulement dans l'entourage immédiat de la cavité que se fait sentir sur l'écale l'action de la noix comprimante: sa surface externe n'en subit pas moins l'influence. On peut s'en convaincre le plus facilement de la manière suivante: on trace sur la surface du fruit une ligne équatoriale et on coupe ensuite le fruit, ou l'écale seule, à quelques millimètres au-dessus de cette ligne; après une ou deux minutes on mesure la longueur de la ligne tracée [1]), et on la mesure ensuite une seconde fois après avoir retiré la noix. On verra que la circonférence du fruit aura dimunué.

Ainsi chez un fruit de 45 millimètres la ligne équatoriale se raccourcit de 138 jusqu'à 136.5 millimètres, ce qui correspond à une diminution en diamètre du fruit de 0.5 millimètres. Un autre fruit, plus âgé, donna un raccourcissement de 2 millimètres sur 135; le diamètre avait donc diminué de 0.7 millimètres environ.

La contraction de l'écale, mesurée en millimètres, n'est donc pas considérable du tout; mais quand on se représente que le tissu de l'écale est fort consistant, et qu'elle a une épaisseur de 10 millimètres environ, on peut se rendre compte qu'elle doit correspondre à des tensions assez considérables.

1) Nous verrons plus tard pourquoi dans cette expérience il ne faut mesurer la ligne pour la première fois qu'après avoir coupé le fruit en deux.

Quelques-unes de mes expériences ont été entreprises pour m'instruire de la grandeur des forces qui jouent un rôle dans les fruits en question. Il me fut cependant difficile, à cause de circonstances diverses, d'obtenir des valeurs autres qu'approximatives; ayant toutefois pu me convaincre que les forces en question sont assez grandes, il ne me parut plus nécessaire de chercher à obtenir des chiffres plus exacts.

Mes expériences se firent de la manière suivante: je coupai un fruit en deux, et, après quelques minutes, quand les moitiés de la noix se furent élevées (comme nous l'avons décrit plus haut) je mesurai la pression nécessaire pour rabaisser la noix jusqu'au niveau primitif, ou bien, quand j'expérimentais avec les deux moitiés ensemble, la force qu'il fallait employer pour que les deux parties de l'écale se touchassent de nouveau.

Une de ces expériences fut exécutée avec le fruit, de 46 millimètres, mentionné tout à l'heure (page 10). Le fruit fut coupé en deux transversalement; après quelques minutes, la coupe baillait de 2.5 millimètres. Ensuite je fendis la moitié inférieure de l'écale le long de la suture dorsale et chargeai alors la moitié de la noix avec des poids: ce ne fut que sous un poids de 7 kilogrammes environ que la noix reprit sa place primitive; mais alors la fente, pratiquée à la suture, baillait sur 4 millimètres.

Un autre fruit, d'une longueur de 52 millimètres, fut de même coupé en travers et je couvris la coupe aussitôt après avec une plaque de verre épais, chargée d'un poids de 5 kilogrammes, afin d'empêcher la noix de sortir de l'écale. Ce poids ne suffit cependant pas, de sorte que la plaque fut relevée sur 1 millimètre environ. J'augmentai alors le poids jusqu'à 10 kilogrammes; alors la noix fut repoussée dans l'écale, mais pas entièrement; j'estime qu'il aurait fallu un poids de 15 à 20 kilogrammes pour enfoncer la noix tout-à-fait. Le poids total qu'on aurait dû appliquer pour réprimer les deux moitiés de la noix doit donc être estimé à plus de 30 kilogrammes, force qui semble assez considérable..

La coupe de la noix avait une surface d'environ 4 centimètres

carrés, de sorte que la pression par centimètre carré s'élève à 7.5 kilogrammes au moins, et que la tension serait égale à une force de $\frac{7.5}{1.03} = 7.5$ atmosphères, au moins.

Cette méthode d'expérimenter ne donne cependant que des chiffres assez inexacts. D'abord les valeurs obtenues sont un peu trop grandes, à cause du frottement entre le macis et l'écale qui doit être vaincu. Mais d'autre part on ne peut, de cette manière, mesurer que la force résidant dans le fruit *coupé*, et nous verrons que la tension dans le fruit intact doit être notablement plus grande.

Il a déjà été dit en passent (page 3) que l'écale contient toujours, même quand les fruits sont mûrs, du suc (à kino) souvent en quantité assez grande, renfermé dans des canaux spéciaux. On n'a qu'à égratigner légèrement la surface d'un fruit frais avec la pointe d'une aiguille, pour voir sortir à chaque point de lésion (invisible) une petite quantité d'un liquide légèrement blanchâtre [1]). Quand on pratique une entaille assez profonde dans l'écale, ou qu'on en coupe une partie, le suc s'échappe

1) Le suc des *Myristicacées* présente des différences selon les espèces. M. VAN ROMBURGH s'occupe actuellement de l'étude de ces différents sucs, surtout par rapport au kino qu'ils contiennent. (voir: Verslag omtrent den staat van 's Lands Plantentuin te Buitenzorg over het jaar 1896, page 54).

La couleur du suc du *M. fragrans* est due principalement à de petits cristaux blanchâtres de tartrate de Calcium et de Magnesium qui s'y trouvent en assez grand nombre; en outre il contient quelques grains fusiformes d'amidon; les grains existent en nombre plus considérable dans les canaux sécréteurs; ils y adhèrent si fortement aux parois qu'ils ont même l'air d'en faire partie.

Le suc de quelques autres espèces est parfaitement transparent au moment où il sort du fruit, mais il prend promptement aussi une couleur blanchâtre, à cause de la formation à neuf de petits cristaux qui, observés sous le microscope, grandissent ensuite à vue d'œil. Ce n'est pas l'évaporisation de l'eau qui amène l'apparition de ces cristaux, puisqu'ils se forment tout aussi bien sous le couvre-objet.

Le suc du *M. fatua* est de couleur jaunâtre et un peu moins liquide. A la surface des gouttes qui sortent du fruit après une légère lésion on voit quelques minutes après se montrer des cristaux fort petits; ensuite ils deviennent de plus en plus nombreux et finissent par se toucher, de sorte que la goutte s'enferme dans une couche unie de ces cristaux. Puisque l'évaporisation de l'eau n'a aucune part dans l'apparition des cristaux, elle ne peut être due qu'au fait que toute la quantité de le substance en question pouvait bien rester en solution sous la pression à laquelle le liquide est exposé dans le fruit ($7\frac{1}{2}$ atmosphères environ), mais que la diminution de cette pression, quand le suc sort du fruit, amène la cristallisation partielle du tartrate.

immédiatement par gouttes; en coupant un fruit de 54 millimètres j'en comptai jusqu'à une trentaine. D'un autre fruit, à peu près mûr, il sortit ainsi en une ou deux minutes une quantité de suc qui pesait 1.42 grammes; la densité en fut déterminée à 1.17, de sorte que le liquide échappé avait un volume de 1.2 centimètres cubes. Le volume de l'écale seule mesurait 44 centimètres cubes, de sorte que le suc qui sortit si librement du fruit, occupait environ 2.5% du volume de l'écale.

Le suc coulé est la cause d'une diminution de volume du fruit. On s'en rend compte le plus facilement en traçant sur le fruit frais, comme nous l'avons fait auparavant (page 10), une ligne équatoriale, qu'on mesure avant et ensuite après de le couper un peu en dessus ou en dessous de cette ligne. Nous avons déjà employé cette méthode pour démontrer que la surface externe de l'écale subit une expansion par le fait de la noix qui y est enclose; dans les deux cas cités à ce propros, les lignes qui, sur le fruit *coupé*, mesuraient 138 et 135 millimètres, avaient auparavant, sur le fruit *intact*, une longueur de 139 et 136.5 millimètres. L'effusion du suc avait donc causé une diminution en diamètre de 0.3 et de 0.5 millimètres, ou en volume de 2% et de 5% environ.

Il va sans dire qu'une telle diminution de volume amène en outre un abaissement des forces qui régnaient dans le fruit intact, de sorte que la tension qu'on mesure dans les fruits coupés reste en dessous des valeurs originales.

Pour connaître avec plus d'exactitude la grandeur de la tension qui existe dans le fruit, j'ai aussi déterminé la valeur isotonique du suc de l'écale. Quand on coupe un fruit en deux, le suc en coule avec profusion; si l'on presse ensuite les deux moitiés entre les doigts, il en coule encore beaucoup plus, de sorte qu'on peut en obtenir plus de 3.5 grammes par fruit. Mais ce n'est alors plus le suc à kino seul, parce qu'il est alors mêlé avec le suc des cellules endommagées par la pression.

C'est de ce liquide que je déterminai la valeur isotonique, de la manière décrite par M. DE VRIES dans son travail clas-

sique sur l'analyse de la turgescence [1]). Comme tissu indicateur je choisis aussi l'épiderme de la face inférieure de la feuille du *Tradescantia discolor*, et spécialement l'épiderme de la nervure médiane. Je ne décrirai pas mes expériences diverses; je me bornerai à dire que la valeur isotonique du suc cellulaire de l'épiderme en question était un peu moins de 0.11 Aeq. Kno_3 et qu'il faillait diluer le suc du péricarpe de la noix muscade avec $1^1/_4$ fois son volume d'eau, pour qu'il devînt isotonique avec cette solution de salpètre. Le suc en question, non dilué, devait donc être isotonique avec $^3/_4 \times 0.11 = 0.25$ Aeq. Kno_3.

En admettant avec M. de Vries que la force osmotique d'une solution de 0.10 Aeq. Kno_3 aequivaut à 5 atmosphères au moins, la force qui règne dans le fruit du muscadier serait donc de 7.5 atmosphères environ, valeur qui est (accidentellement) parfaitement égale à celle que nous trouvions tantôt. On voit cependant que ce chiffre n'atteint pas le chiffre maximum, de 9 atmosphères, que M. de Vries a trouvé dans le cours de ses mombreuses expériences.

Nous avons remarqué que la tension entre la noix et l'écale augmente graduellement pendant le développement du fruit, parce que de moment en moment la noix croît un peu plus vite que le péricarpe. A un certain moment cependant la tension ne grandira plus, et même deviendra un peu plus petite: c'est celui où la coque, d'abord molle, commence à durcir. Par ce procès, qui n'a lieu que dans le dernier stade du développement (même les fruits d'une longueur de 50 millimètres ont ordinairement la coque entièrement molle), la noix est comme solidifiée en état de compression, et ainsi, des deux forces qui amènent la tension (la compression de la noix et celle de l'écale), la première va être éliminée. D'ailleurs cette perte ne pourra plus être rétablie de la même manière qu'auparavant.

Il est évident que dans ces conditions la tension dont il a été question jusqu'ici, ne pourra jamais à elle seule amener la déhiscence du fruit, puisqu'elle baisse, juste au moment où

1) Eine Methode zur Analyse der Turgorkraft; Pringsheim's Jahrbücher für wissenschaftliche Botanik, Bd. XIV, S. 427.

il y aurait besoin d'une augmentation. Le fruit doit donc chercher à remplacer la partie perdue de la tension par une autre force. Cette seconde force qui joue un rôle dans la déhiscence du fruit tire son origine d'une portion spéciale du péricarpe, pour laquelle je propose le nom de „tissu d'expansion". Cette partie a la forme d'une plaque circulaire, d'une épaisseur de 4 millimètres environ au centre; aux bords elle est plus mince, de 2 millimètres environ. C'est au centre de cette plaque que la noix est attachée à l'écale. Son diamètre est de 12 millimètres environ dans le fruit mûr, mais, comme le tissu se prolonge par une transition imperceptible dans le tissu contigü de l'écale, il est impossible de donner le diamètre de la plaque au juste. Dans la figure 7*b* nous avons marqué les limites du tissu d'expansion au moyen des lignes ponctuées. C'est surtout chez les fruits ouverts qu'on peut se rendre compte de la présence de ce tissu spécial. Il est formé par des cellules beaucoup plus petites que les autres, qui du reste ne présentent rien de particulier; de minces faisceaux fibro-vasculaires le traversent en sens radial sur leur course vers le hile de la noix. Ces faisceaux ne sont cependant pas rectilignes comme d'ordinaire, mais plutôt sinueux. Il est encore à observer que la partie du tissu située entre le pédicelle du fruit et le tissu cité, dit d'expansion (laquelle a donc, sur coupe longitudinale, la forme d'un triangle), est aussi modifiée. Dans les fruits non mûrs on ne voit pas encore de différence, mais quand ils vont mûrir elle se distingue par une couleur blanchâtre. Cette différence de teinte est due à ce que les espaces intercellulaires y sont fort aggrandis, ce qui amène en même temps une diminution de cohérence entre ces cellules; nous verrons que ceci a une certaine importance dans le jeu du tissu d'expansion. Son action consiste seulement en une croissance en sens radial. Mais, dans un fruit clos, une augmentation de volume était évidemment impossible; la tendance à croître fera naître dans le fruit une seconde force. Cette force se fera sentir de deux manières différentes, selon que le fruit est ouvert, ou qu'il est encore fermé. Quand il est déjà ouvert, l'expansion radiale du tissu en

question écartera simplement un peu plus les deux valves; dans le fruit clos, au contraire, la force, rencontrant un obstacle insurmontable de côté, dans les valves fortement accolées, tendra à relever le centre du tissu en question, de sorte que la plaque, plane d'abord, prendra une forme conique. Son centre sera donc repoussé vers le bas, et, puisque la noix est attachée à ce centre même, elle aussi sera pressée encore plus fortement contre le sommet des valves. Cette force aidera donc à augmenter la tension qui existait déjà entre la noix et l'écale, et elle pourra ainsi remplacer la partie de cette force qui a disapparu par la solidification de la noix.

On ne saurait mieux se rendre compte de l'action du tissu d'expansion, qu'en prenant un fruit mûr et ouvert, duquel on éloigne la noix (avec le macis). Si l'on essaye ensuite de refermer le fruit, on verra que les deux valves ne s'adaptent plus et qu'elles laissent entre elles une fente assez large.

La figure 7*b* représente une coupe à travers les deux valves d'un fruit ouvert, après qu'on a éloigné la noix; ce ne sont que les deux valves de la figure 7*a* recopiées de telle sorte que les deux parties du tissu d'expansion déchiré se touchent de nouveau. On voit que par la seule extension du tissu en question, la fente s'est ouverte sur non moins de 19 millimètres. Une coupe transversale à travers un fruit ouvert, à la hauteur du tissu d'expansion suivant la ligne *ab* de la figure 7*b*, comme le montre la figure 8, peut aussi illustrer le mode d'action de ce tissu: on y voit qu'au centre le tissu est uni, tandis qu'à côté les deux valves sont séparées, en laissant des fentes de 5 et de 6 millimètres environ.

Le tissu d'expansion devant s'aggrandir de cette manière, nous fait comprendre maintenant pourquoi les faisceaux vasculaires avaient tous une course sinueuse, et pourquoi le tissu superposé avait une cohérence beaucoup moindre que le tissu voisin: ces deux particularités n'ayant pour but que d'amoindrir la résistance que ces parties offriraient à la croissance ultérieure du tissu d'expansion. Les faisceaux sont plus facilement droits qu'ils ne sont brisés et le tissu superposé

est maintenant déchiré sans peine quand l'accroissement commence.

Le jeu du tissu d'expansion ne commence que peu de temps avant la maturité du fruit. Pour le constater il suffit d'ouvrir un fruit non mûr le long des deux sutures, d'en éloigner la noix et de remettre les deux valves en place. Si elles s'adaptent encore partout, le tissu d'expansion est encore inactif; si au contraire la fente reste ouverte à la base du fruit, le tissu a déjà commencé de croître, et le degré de son activité se mesure par la largeur de la fente. Dans un fruit de 37 millimètres de longueur, le tissu est inactif, ainsi que dans ceux de 50 millimètres environ, de sorte que ce n'est que dans le dernier stade de développement que le tissu entre en jeu. C'est donc précisement au moment même où la coque commence à durcir. Dans deux autres fruits presque mûrs, de 54 et de 55 millimètres de long, la fente resta ouverte sur 1.5 et 4 millimètres après l'éloignement de la noix; donc même dans les fruits de cet âge l'action ne vient que de commencer, car nous avons vu que le tissu en question pourra écarter les valves sur non moins de 19 millimètres (fig. 7*b*).

La troisième force qui joue un rôle dans la déhiscence du fruit est une tension qui réside dans l'écale seule; elle tend à augmenter la courbure de l'écale en chaque point. On se rend compte de la présence de cette force quand on coupe à un fruit une tranche et qu'on en éloigne la noix. Si l'on fait alors une ou plusieurs entailles radiales dans la partie interne de l'écale (tandis qu'on laisse intact l'épiderme) on verra que les entailles s'ouvrent sur une petite distance. La figure 5 donne l'esquisse d'une tranche semblable, coupée à un fruit à peu près mûr, avec deux entailles radiales; elles restèrent toutes deux ouvertes sur 1.5 millimètre environ. La longueur du bord interne de la tranche, mesurant 78.5 millimètres, s'était ainsi raccourcie jusqu'à 75.6 millimètres, de sorte que la diminution était de 4% environ. En même temps la courbure de l'écale avait un peu augmenté.

L'effet de cette tension s'observe aussi aux segments qu'on

coupe à l'écale, en ce que le plan de la coupe prend directement après une forme concave. Ainsi, dans un segment (d'un fruit presque mûr) d'un diamètre de 33 millimètres et d'une hauteur de 9 millimètres, le centre de la coupe s'abaissa et les bords se rehaussèrent, en sorte que le centre fut bientôt situé 1.5 millimètres plus bas que les bords.

Cette tension-ci fait son apparition dans le fruit d'assez bonne heure, peu de temps après que la tension entre la noix et l'écale a commencé. On l'observe déjà dans des fruits de 35 millimètres de longueur, quoiqu'elle soit alors encore assez faible; mais dans les fruits de 41 millimètres elle est très manifeste.

Ce sont les trois forces citées qui amènent la déhiscence du fruit, c'est-à-dire que ce sont elles qui déchireront le péricarpe le long des deux sutures. La fente qui séparera les deux valves commence à la surface interne du péricarpe, comme la figure 6 le fait voir, et toujours à la suture ventrale.

Il se pourrait que le macis aussi eût quelque part aux débuts de la fente. A sa base, en dessus du raphé de la noix, le macis montre toujours une sorte de crête, de forme triangulaire sur coupe, enclose dans une fosse correspondante de l'écale, et située toujours à l'endroit de la suture ventrale. Quand par la pression de la noix contre l'écale cette crête est poussée dans la fosse, elle en écartera les bords, ce qui pourrait bien donner lieu au début de la fente. Ceci n'est cependant qu'une conjecture, et je n'ai pas pu éclaircir ce point.

La fente, une fois commencée, devient bientôt de plus en plus profonde, jusqu'à ce qu'elle atteigne la surface externe du fruit; en même temps elle s'allonge et fait peu à peu tout le tour, le long des deux sutures. Dès que la fente a pris naissance, la tendance des deux valves à se courber davantage aide à élargir la fente, ce qu'on observe extérieurement en ce que les sillons qui marquent les sutures du dehors deviennent un peu plus profonds et distincts. En même temps la noix toujours entourée du macis, est poussée vers le bas par le

tissu d'expansion, de sorte que sa pointe, un peu aplatie aussi, est pressée fortement dans la fente naissante.

C'est aussi vers le millieu de la suture ventrale que la fente apparaît extérieurement. Celle-ci une fois commencée, les trois forces citées aident ensemble à l'élargir, et à séparer ainsi complètement les deux parties du péricarpe. Mais elles ne cessent pas leur travail quand les valves ont été séparées, parce qu'il leur faut ouvrir le fruit beaucoup plus largement, sans quoi le but que la plante se propose ne serait pas atteint.

Au moment où les valves deviennent libres, le tissu d'expansion, qui jusqu'alors ne pouvait que pousser la noix vers le bas, se trouve en état de satisfaire entièrement à sa tendance à s'étendre en sens radial, c'est-à-dire d'écarter les deux valves. Mais l'extension de ce tissu ne peut pas être suivie par la partie superposée de l'écale, de sorte que celle-ci se déchire, irrégulièrement, comme le montre la figure 7*b*.

C'est à ce moment aussi qu'on peut se rendre compte facilement du degré d'accroissement qu'a subi le tissu d'expansion; mais on le voit encore plus facilement dans la figure 7*c*, représentant les deux valves de la figure 7*b* (et donc aussi celles de la figure 7*a*), mais placées de manière qu'elles se touchent à leurs deux bouts. On voit ainsi que les deux moitiés du tissu d'expansion vont se couvrir partiellement, et la longueur de la partie double donne alors à peu près l'accroissement que ce tissu a subi. L'augmentation de 7 millimètres, soit de plus de 50%, sur le diamètre original de 12 millimètres est assez considérable.

La figure 7*b* nous fait voir que l'accroissement du tissu d'expansion, en combinaison avec la tension entre la noix et l'écale (qui est bien vite épuisée quand le fruit vient de s'ouvrir), ne peut écarter suffisamment les valves, car nous voyons dans cette même figure que la noix (toujours entourée du macis) n'y trouve point toute la place qu'elle exige, puisque les bords de la cavité des valves dépassent les limites de la noix (ou bien du macis). Ceci nous montre qu'existe encore dans le fruit, ouvert comme dans la figure 7*b*, la tension des valves

à se courber davantage. La cause directe en est, comme nous l'avons vu, le rétrécissement de la surface interne des valves, ou, ce qui revient au même, le raccourcissement des diamètres de la cavité. La figure 7*c* peut nous montrer combien grande est la différence entre le volume de la noix et celui de la cavité des valves après leur rétrécissement définitif.

Pendant que le diamètre longitudinal se raccourcit, le bord de la cavité de ces valves glisse sur la surface du macis, mais alors il entre de moment en moment en contact avec une portion plus épaisse de la noix, de sorte que par ce mouvement même les deux valves doivent s'écarter de plus en plus. Le tissu d'expansion s'oppose évidemment d'abord à cet écartement, mais sans succès définitif, puisque à un certain moment lui aussi est déchiré à son tour. La figure 7*a* peut illustrer ce fait, quoiqu'elle ait rapport à un stade encore plus avancé de déhiscence; elle montre en outre qu'alors les valves ne se touchent plus qu'à leurs bouts, à l'endroit de l'insertion du pédicelle.

Ce n'est qu'à ce moment que le macis, resté inactif jusqu'alors, va entrer en jeu. Quand le fruit s'ouvre, le macis est couché contre la coque. Comprimé d'abord par la tension entre la noix et le péricarpe, il se détendra un peu en épaisseur, mais cet épaississement doit être tellement minime qu'il ne peut avoir la moindre signification pour la déhiscence du fruit.

L'action du macis consiste au contraire exclusivement dans l'accroissement en longueur des lanières. Même sans l'aide d'un mesurage on peut se rendre compte de cet allongement: les lanières qui, dans un fruit prêt à s'ouvrir, sont sur toute leur longeur en contact intime avec la coque, ne la touchent plus, peu de temps après, qu'à l'endroit du hile.

L'accroissement des lanières est assez considérable. Dans le fruit représenté dans la figure 7*a*, le contour du macis en entier mesurait d'abord 93,5, et ensuite 114 millimètres, de sorte que l'allongement n'avait pas été moindre de 20,5 millimètres, soit de 22% environ.

Il y a un moyen encore plus facile d'étudier la croissance

en longueur du macis, parce qu'il croît tout aussi bien quand on l'a détaché que dans le fruit même. On n'a qu'à enlever d'un fruit à peu près mûr la noix avec le macis, et à les mettre dans l'eau, pour observer qu'il va bientôt se détacher partout de la coque (sauf à l'endroit du hile), et qu'après trois heures, par exemple, la distance entre la face interne du macis et la coque est devenue au sommet 4 millimètres environ; la distance de côté varie entre 2 et 3 millimètres.

Cet allongement est un accroissement véritable, causé par la turgescence des cellules: quand on place la noix, avec le macis déjà allongé, dans une solution de $10^0/_0$ Kno_3 par exemple, dans le but de plasmolyser les cellules, on voit le macis se raccourcir de nouveau, de sorte qu'une heure plus tard la distance du sommet de la noix s'est amoindrie jusqu'à 1,5 millimètres. Cependant une partie de l'allongement avait donc déjà été fixée, puisque le macis ne reprend pas tout-à-fait sa longueur primitive.

Les lanières croissent sur toute leur longueur, comme des expériences spéciales me l'ont démontré; nous verrons bientôt que ceci est aussi d'importance.

Pendant la croissance du macis dans le fruit, fraîchement ouvert, les deux valves continuent à être pressées quelque peu contre les bandelettes. Si celles-ci étaient tout à fait libres les unes des autres, l'accroissement ne pourrait avoir d'autre effet que de pousser séparément le bout de chaque lanière en avant; la pression, quoique faible, des valves les tiendrait appliquées contre la coque.

Nous avons vu cependant (page 2) que les lanières ne sont pas libres du tout et qu'elles adhèrent même assez fortement entre elles, surtout au sommet; en outre il y a toujours quelques branches latérales qui rattachent les lanières à leurs voisines. A cause de cette disposition nous avons comparé le macis avec un réseau de forme ovoïde, à [mailles très inégales. Si toutes les parties d'un réseau semblable commencent à croître, il tendra à conserver sa forme primitive, de sorte qu'il s'agrandira également dans les trois directions.

J'ai pu le prouver par l'expérience suivante: d'une noix avec son macis, prise à un fruit à peu près mûr, la partie supérieure du macis, l'endroit de connivence de toutes les lanières fut enlevé; j'éloignai en même temps une partie de toutes les bandelettes transversales. De cette manière chacune des lanières longitudinales fut rendue parfaitement indépendante des autres. Après cette opération la noix fut mise dans l'eau; plus tard les lanières s'étaient élongées de plus de 10%, mais elles restèrent cependant toutes appliquées contre la coque. Ce n'est donc qu'à cause de leur attachement réciproque, au sommet et à côté, que le macis réussit à se relever de la noix.

En se relevant de cette manière de la coque, le macis exerce une pression contre les deux valves. La force qu'il déploie ne peut pas être très grande, mais, puisque les valves ne sont encore qu'à peine en contact entre elles, elle suffit complètement pour surmonter cette cohésion, de sorte qu'elle réussit à les écarter davantage.

Sous l'influence des trois forces citées, la fente s'était ouverte sur 25 millimètres environ; maintenant le macis l'élargit encore, jusqu'à 30 millimètres. La figure 7*a*, représentant une coupe longitudinale à travers un fruit complètement ouvert, peut illustrer la part que le macis prend à la déhiscence du fruit.

Avant que le macis entrât en jeu, les deux valves n'étaient pas encore complètement séparées l'une de l'autre. Mais le dernier écartement brise aussi le dernier lien, et une des valves tombe par terre, suivie immédiatement de la noix. Ce n'est qu'à ce moment que la plante a atteint entièrement son but.

Les oiseaux nucivores peuvent s'emparer aisément de la noix, dès le moment où le macis va commencer à s'allonger, mais il leur serait bien difficile de s'en rendre maîtres quand le fruit est encore fermé, ou même quand il ne fait que commencer à s'ouvrir. De fait il faut employer passablement de force pour ouvrir complètement un fruit, même quand il y a déjà une fente de quelques millimètres.

La durée de la déhiscence du fruit, depuis moment où la fente commence à se montrer jusqu'à la chute de la noix, est estimée généralement à 24 heures environ.

Le fruit malade, qui s'ouvre prématurément, et dont nous parlions au commencement de cet article, ne s'ouvre jamais assez largement pour que la noix puisse tomber à terre; les valves la tiennent toujours enclose. La figure 9 représente la coupe longitudinale d'un fruit semblable, qui s'était ouvert quand le macis et la coque étaient encore entièrement blancs; les taches grisâtres sont les endroits infectés par le champignon parasite.

Ce champignon amène la déhiscence prématurée du fruit, parce qu'il emploie lui-même une partie des matières nutritives qui devraient servir à la nourriture du péricarpe. L'alimentation devenant défectueuse, les valves ne peuvent plus croître aussi vite que d'ordinaire. Dans le fruit non infecté, le péricarpe restait déjà en arrière par rapport à la noix; dans le fruit malade cette différence sera évidemment encore plus sensible, de sorte que la tension entre la noix et l'écale y augmentera démesurément beaucoup plus vite que dans le fruit sain. Ceci amène que la tension pourra surmonter les obstacles, et arrivera à ouvrir le péricarpe avant que le moment de la maturité complète ne soit venu.

Il est évident que le moment de la déhiscence prématurée arrivera d'autant plus vite que la soustraction de matières nutritives aura été plus considérable, de sorte que le fruit s'ouvrira d'autant plus promptement que l'infection a eu lieu plus tôt et que le nombre des points d'infection a été plus grand. Quand la nourriture a été extrêmement défectueuse, le fruit s'ouvrira quand la coque est encore tout à fait molle et blanche et que le macis présente cette même couleur; mais quand le péricarpe n'est infecté que fort tard et à un endroit seulement, il ne s'ouvrira que lorsque le macis sera mûr, de teinte rouge écarlate ordinaire, et que la coque, entièrement noire, ne présentera qu'à sa base une petite partie non complètement dure, d'une couleur brun-foncé.

Les forces qui amènent l'ouverture prématurée du fruit ne sont que la tension entre la noix et l'écale et la courbure des deux valves. Quand on coupe un fruit malade en deux, on voit aussi que la noix est relevée, comme nous l'avons décrit pour le fruit sain. La coupe longitudinale d'un de ces fruits, figure 9, montre ensuite que la courbure du péricarpe augmente quand on a enlevé la noix; mais il ne peut pas être satisfait entièrement à cette tension, parce qu'elle n'est pas assez forte pour surmonter la cohérence du tissu qui unit les deux valves.

Le tissu d'expansion y est encore inactif: quand on enlève la noix d'un fruit comme celui de la figure 9, on peut ensuite le refermer entièrement. Le tissu en question n'avait donc exercé encore aucune pression sur la noix. Ce n'est que quand les fruits infectés ont atteint à peu près l'état de maturité, que le tissu aidera un peu à écarter les valves.

Le macis reste accolé contre la surface de la coque blanche, sauf dans le cas où le fruit, ayant été infecté dans un stade très avancé, ne s'ouvre que quand il est presque mûr.

La tension entre la noix et le péricarpe étant la seule force qui amène la déhiscence du fruit non mûr, explique pourquoi celui-ci ne s'ouvre jamais avant qu'il ait atteint au moins la moitié de sa grandeur normale; le plus souvent même il a acquis les deux tiers de la longueur définitive. C'est parce que, comme nous l'avons vu (page 25), dans un fruit parvenu à la moitié de sa grandeur définitive, cette tension est encore extrêmement faible, de sorte que ce n'est qu'en cas d'infection dans un stade fort jeune, et du manque presque absolu de matières nutritives, que la tension pourrait avoir acquis déjà à ce moment assez d'intensité pour séparer les deux valves, qui adhèrent encore si fortement entre elles.

Après avoir étudié le mode de déhiscence du fruit du Muscadier ordinaire, je tenais à savoir si les fruits des autres espèces se comporteraient de la même manière.

Dans le Jardin botanique de Buitenzorg le genre Myristica est représenté par un assez grand nombre d'espèces, dont plu-

sieurs portaient des fruits à peu près mûrs au moment de mes études. C'était le cas pour les espèces suivantes: *M. fatua* (91) [1]), *M. Teysmanni* (78), *M. sylvestris* (82), *M. iners* (77), *M. spec.* (73); et puis *M. laurina* (81), *M. corticosa* (83), *M. Horsfieldii* (75), et *M. spec. Priaman* (Sumatra) (88).

Dans tous ces fruits il existe nne même tension entre la noix et le péricarpe que dans le *M. fragans*, et chez eux aussi l'écale, devenue libre, a une tendance à se courber davantage. De même les deux valves s'écartent à l'aide du tissu dit „d'expansion" et le macis croît dans les trois directions pour se détacher de la coque. On voit donc qu'en principe la déhiscence de tous ces fruits doit s'opérer d'une manière analogue. Il existe cependant, par rapport à ces points, des différences entre les espèces citées, et surtout entre les cinq premières, d'un côté, et les quatre dernières, de l'autre.

Les cinq premières, c'est-à-dire le *M. fatua*, le *M. Teysmanni*, le *M. sylvestris*, le *M. iners* et une espèce encore indéterminée, (N°. 75) se comportent essentiellement comme le fruit du Muscadier ordinaire. Le macis est aussi divisé en lanières, plus ou moins larges, entrelacées autour de la noix, et les deux valves du péricarpe s'ouvrent jusqu'à ce qu'elles se détachent et tombent à terre en même temps que la noix délivrée.

Seul le fruit du *M. Teysmanni* présente une particularité curieuse; c'est l'épaisseur du macis, laquelle, à la base, n'est pas de moins de 4 millimètres. Les bouts des lanières mesurent encore 2 millimètres, et elles forment au sommet de la noix une sorte de coussinet, d'une épaisseur de 5 millimètres environ. Ces lanières si volumineuses produisent des impressions très prononcées dans la surface de l'écale, mais surtout dans la coque. Celle-ci montre donc des saillies, ou des crêtes, de forme très irrégulière, correspondant aux mailles du macis, de 3 millimètres de haut environ, qui donnent à la noix un aspect assez

1) Le nombre entre parenthèses donne le numéro que portent les arbres dans la partie IV G du Jardin botanique de Buitenzorg. Comme les espèces du genre Myristica ne sont pas encore déterminées définitivement, il se pourrait que leurs noms subissent plus tard quelque changement.

curieux. La noix a une forme à peu près sphérique, d'une dimension de 3 centimètres environ.

Les autres espèces mentionnées, le *M. laurina*, le *M. corticosa*, le *M. Horsfieldii* et l'espèce provenant de Priaman, représentent un tout autre type. D'abord ils sont tous plus petits: la noix du *M. laurina* par exemple mesure 18 millimètres de long seulement sur 8.5 millimètres d'épais; celle du *M. spec. Priaman* est encore plus courte, mais un peu plus épaisse. Ensuite le péricarpe est plus mince, même relativement, et mesure $1^1/_2$ à $2^1/_2$ millimètres seulement dans les deux espèces mentionnées.

Un autre caractère, plus important, est que le macis n'est pas divisé en lanières: il entoure la noix d'une seule pièce et ce n'est qu'au sommet qu'il porte des dents irrégulières de quelques millimètres de longueur seulement. Dans le fruit qui vient de s'ouvrir, le macis a une consistance quelque peu comme celle du macis ordinaire, quoique un peu plus mou, mais ensuite, quand il se met à croître pour se détacher de la noix, il croît aussi en épaisseur (de 0.6 millimètres à 1.0 millimètre environ) et devient en même temps beaucoup plus juteux. Qund on le presse alors entre les doigts, l'épiderme rompt facilement et les cellules s'écrasent. Dans ce stade, la noix, entourée du macis, rappelle par sa couleur comme par sa consistance les baies du *Taxus baccata*.

La noix, chez les quatre espèces en question, ne tombe pas à terre quand le fruit s'est ouvert; entourée du macis, elle reste longtemps attachée aux valves qui, elles non plus, ne se détachent pas. Elles attendent évidemment ainsi les oiseaux nucivores. Ce n'est que plus tard, quand le macis a déjà pourri, que la noix se détache de l'arbre, avec ou sans le péricarpe.

Les deux valves, au lieu de se séparer du pédoncule, et de ne s'écarter que suffisamment pour laisser passer la noix, y restent non seulement attachées, mais en même temps elles s'ouvrent toutes larges. Nous avons vu que chez le Muscadier ordinaire le tissu d'expansion, qui écarte les valves, fait rompre le tissu superposé, à larges méats intercellulaires, et qu'ensuite il se déchire lui-même. à son tour. Rien de ceci n'a lieu dans

les fruits du *M. laurina*, ni chez ceux des autres espèces que nous avons énumérées: le tissu superposé, quoique aussi muni de méats intercellulaires agrandis, reste intact et le tissu d'expansion se met à croître, jusqu'à ce que les deux valves se soient écartées de 180° environ.

Ce n'est pas l'exsiccation qui amène ce mouvement; car, prémièrement, on voit sortir le suc en petites gouttes à chaque lésion de l'écale, quoique légère, même du fruit grandement ouvert. Mais ensuite il est assez facile de prouver que le mouvement en question n'a d'autre cause que la turgescence et l'accroissement du tissu d'expansion. En effet, quand on introduit dans l'eau un fruit qui vient de s'ouvrir complètement, les valves s'écartent même davantage, et si on le transporte ensuite dans une solution plasmolysante (de 10% de Kno_3 par exemple) on les voit au contraire se refermer en partie. Ainsi j'ai vu grandir en quelques minutes jusqu'à 184° après que j'ensse introduit le fruit dans l'eau l'angle de 178° que ses valves formaient primitivement; puis il s'est amoindri, en une demi-heure jusqu'à 129° après l'immersion dans la solution mentionnée. La turgescence pouvait donc ouvrir les valves à plus de 180°, mais alors la plus grande partie de cette extension était déjà fixée par l'accroissement définitif du tissu.

Comme dans le *M. fragrans*, le tissu d'expansion ne comprend pas seulement la partie à l'endroit du hile, mais aussi les parties contigues de la face interne des valves. L'accroissement est le plus grand à la place même du hile, de sorte que celui-ci, de forme circulaire dans le fruit clos, prend une forme elliptique très prononcée dans le fruit ouvert, parce que l'un des diamètres s'aggrandit de 3 jusqu'à 6 millimètres. A partir du hile l'accroissement s'amoindrit dans les parties voisines, et il est déjà devenu nul à moins d'un quart de la longueur de la valve.

Buitenzorg, Septembre 1898.

EXPLICATION DE LA PLANCHE I.

p = péricarpe.
m = macis.
c = coque.
n = noix.
s = suture.

Fig. 1. Partie d'une coupe à travers un fruit jeune, de 18 millimètres de longueur; le macis est encore entièrement libre entre le péricarpe et la noix.

Fig. 2. Partie d'une coupe à travers un fruit de 35 millimètres; le macis est entièrement enclos dans les saillies du péricarpe et de la coque.

Fig. 3. Fruit de 41 millimètres, à coque encore molle, coupé en deux. Les deux moitiés se sont relevées et leur coupe plane est devenue convexe.

Fig. 4. Partie inférieure d'un fruit de 54 millimètres (la coque a commencé à s'endurcir); la moitié de la noix est fort rehaussée et la surface plane est devenue convexe.

Fig. 5. Tranche du même fruit, après l'enlèvement de la noix, avec deux entailles rediales qui se sont ouvertes.

Fig. 6. Partie d'une coupe transversale à l'endroit de jonction des deux valves, montrant le commencement de la fente à la face interne.

Fig. 7*a*. Coupe longitudinale à travers un fruit complètement ouvert.

Fig. 7*b*. Position des valves du même fruit, avant la déhiscence complète. Les deux valves de la figure précédente ont été rapprochées, jusqu'à ce qu'elles se touchent à l'endroit de l'insertion de la noix.

La forme de la coque, correspondant aussi à celle de la figure précédente, et celle du macis, avant qu'il ait commencé sa croissance en longueur, sont indiquées par les lignes ponctuées.

Les quatre lignes droites indiquent les limites approximatives du tissu dit »d'expansion".

Fig. 7*c*. Même valves que dans la figure 7*a*, mais rapprochées jusqu'à ce que les bouts libres des valves se touchent.

La grandeur de la noix (le contour du macis) est indiquée par la ligne ponctuée.

Fig. 8. Coupe transversale d'un fruit ouvert, à la hauteur du »tissu d'expansion" (passant par la ligne $a\,b$ de la figure 7*b*).

La ligne ponctuée circulaire donne la limite approximative du tissu d'expansion.

Fig. 9. Coupe longitudinale d'un fruit ouvert prématurément à cause d'un champignon parasite, qui a infecté les parties grisâtres.

La ligne ponctuée donne encore la dimension de la noix (surface du macis).

CONTRIBUTIONS TO THE LIFE-HISTORY OF THE GENUS GNETUM.

I. THE GROSSER MORPHOLOGY OF PRODUCTION OF GNETUM GNEMON L.

BY

J. LOTSY, PH., D.

Introduction.

The fine lectures given by Graf H. zu Solms-Laubach in the small lecture room of the old Laboratory in Göttingen will never be forgotten by those who had the good fortune to attend them and many with me will have felt a pang when 'improvements' necessitated the removal of the room in which so much enthousiasm for the sake of Botany entered our hearts during the lectures on 'Cryptogamen und Archegoniaten'.

It was during one of these lectures that Prof. Solms called our attention to the incompleteness of our knowledge of the life-history of Gnetum and that I made up my mind to try to extend it whenever I might have an opportunity.

Meanwhile Dr. Karsten, at Graf Solms suggestion also, undertook the study of the Gneta with material collected during his stay at Buitenzorg and while on a voyage to the Moluccan Islands. He published two papers on the subject which extended our knowledge considerably but yet, as the author himself states, left many points unsettled. The chief reason of

this is the difficulty of obtaining Gnetum-material in the right stages in sufficient quantity. I, for one, think it absolutely necessary to be a resident in the tropics, if one wants to obtain a pretty complete series and even then it is slow and difficult work. Being a resident I resolved, to try what I could do and this contribution is the first result of it. A later contribution will have to treat the finer nuclear structures, the question of the possible presence of spermatozoa in Gnetum Gnemon etc. It was found during this investigation that these points could only be settled by artificial pollination of a female Gnetum-Gnemon and I am therefore doing this during my rare holidays.

I propose further to give papers on Gnetum mollucanum Krst., the material of which has been pretty nearly all collected and on which some considerable work has allready been done and on Gnetum Ula Brongn., work on which had to be stopped for this year as a disease, destroying the nucellus was so vehement that after a certain stage not a single healthy specimen could be obtained.

I am now, by good fortune able to give a complete series of I think, all, as yet undescribed stages of the grosser Morphology of Gnetum Gnemon. It is a great pity that KARSTEN did not obtain this species in the right stages, as the facts of the development are here much clearer and more easily interpreted than in any of the species observed by him; that KARSTEN, after having recognised the mistakes of his first paper, interpreted the facts [obtained with rather scanty material] so well in his second paper is certainly admirable.

The reason that KARSTEN did not consider Gnetum Gnemon L. a fit species to work upon as well as the circumstance that this series has not been obtained by others at a much earlier date is, as will be seen, due to the unfortunate circumstance that in the Botanic Gardens at Buitenzorg there are only a couple of female trees, so that the material received for example by STRASBURGER through the kindness of the late Dr. SCHEFFER was not fertilised.

In my earlier investigations I lost much time in trying to find on the trees of the Buitenzorg gardens what could not be found.

Gnetum Gnemon L. [1]) is cultivated largely in the kampongs (native villages) around Buitenzorg but even there the female trees are so evidently in the majority to the male ones, that although a native collector of the Gardens (Pâ-Idan) who is well trained in such matters has brought me large quantities of material, collected at most different times, one bottle with material collected in the kampong Tji patat has furnished nearly all the stages hereafter to be described, while all the other bottles contained too small a percentage of fertilised flowers to be of much use in embryological research.

Without the valuable help of Dr. Th. Valeton, who constantly superintended the collecting and who always most readily responded to all demands (and frequent they were!) for more material, as the investigation proceeded, this contribution could not have been written.

I therefore beg Dr. Valeton to accept my sincerest thanks for his invaluable help and wish to state that any points of interest this contribution may contain a large share is due to his untiring efforts in procuring the material.

Tirtasari, the 1st Sept. 1898.

1) The malayan name is »maninjo", the soundanese one »tangkil",

HISTORICAL PART.

A. Organogeny of the female flowers.

The litterature of the Organogeny of the female flowers of Gnetum Gnemon is rather an extensive one. I will begin by reprinting STRASBURGER's careful account of the existing controversies as stated in his Coniferen und Gnetaceae. Leipzig 1872 [1]).

> Die besten Angaben über dieselbe (die Gattung Gnetum) verdanken wir Blume, was seitdem geschehen kann schlechterdings kaum für einen Fortschritt gehalten werden. Die weiblichen Blüthen von Gnetum sind durch ihre drei Hüllen ausgezeichnet. Die beiden inneren werden von Blume als Integumente das äussere als nackter Fruchtknoten bezeichnet. Bekanntlich behauptete Blume 1848 in der Rumphia (Bd. IV, p. 2) [2]) dass die beiden Integumente [3]) von Gnetum ähnlich wie bei höheren Cryptogamen, von innen nach aussen angelegt werden. Blume hatte die Entwickelungsgeschichte an in Spiritus aufbewahrten Exemplaren verfolgt; er beschreibt sie folgendermaassen: „In welchem Stadium man auch die weiblichen Blüthen von Gnetum untersucht, immer findet man den Nucleus des Eies von dem, am Scheitel durchbrochenen fleischigem Ovarium völlig eingeschlossen. Der Nucleus erscheint im Grunde der Ovariumhöhlung als kleiner abgerundeter Höcker. Um diesen bildet sich das innere

1) STRASBURGER's account was compared with the original memoirs of the different authors, here and there something was added while the quotations translated by the German Scientist are frequently brought back to the language in which they were originally written.

2) Compare also BLUME's Plate 176.

3) The two internal envelops.

Integument. Es entsteht im Umkreise als ringförmige Erhebung. Während es sich allmählig gegen den Scheitel des Nucellus hin verlängert, sieht man an der Basis desselben schliesslich eine neue kreisförmige Anschwellung sich zeigen, welche zum äusseren Integumente wird. Dieses umwächst das innere und endet in einem kurzen Halse, der im Ovarium eingeschlossen bleibt, während das innere Integument sich zu einem langen Tubus streckt, der aus dem Ovarium hervortritt". Anders lauten die Angaben von Griffith [1]). In den androgynen Blüthenständen von Gnetum Brunonianum [2]) sollen dessen Beobachtungen zufolge lange vor der Reife der Antheren, die über denselben stehenden Ovula aus einem centralen soliden Körper bestehen, der von zwei Hüllen umgeben ist. Die äussere dieser Hüllen ist fibro-cellular und der Länge nach auf der inneren Seite geöffnet. Die innere Hülle ist cellular und unregelmässig am Scheitel zertheilt, sie bedeckt noch nicht vollständig den Nucleus. Auf dem nächsten Entwickelungsstadium schwindet der longitudinale Einschnitt auf der Hinterseite der äusseren Hülle und die innere wächst bis über den Nucleus. Während der Blüthezeit der Antheren zeigt sich ein Sack im inneren des Nucleus den Griffith für das Amnion [3]) hält. Bald nach dem Abfallen der männlichen Blüthen sieht man eine bedeutende Änderung in den weiblichen Blüthen vor sich gehen, es tritt nämlich sehr rasch, und wie es scheint ganz plötzlich, eine neue celluläre Membran zwischen der innern Hülle und dem Nucleus auf. Diese neue Hülle setzt sich über dem Scheitel des Nucleus in eine cylindrische Röhre fort, dessen Rand zerschlitzt ist. Die beiden äusseren Hüllen bleiben während dem unverändert, die neue wächst aber aus der

1) Communicated by Henfrey in the Transactions of the Linnean Society XXII, p. 299—312. plates 55/56.

2) Synonymous with Gnetum Gnemon L.

3) Synonymous with »Embryosac".

Oeffnung der äusseren zu einer ziemlich bedeuteten Länge hervor".

„Auch Hooker untersuchte Gnetum, doch nur beiläufig um es mit Welwitschia zu vergleichen. Die gewonnenen Resultate theilt er in einer Anmerkung[1]) mit:

„My observations on Griffith's specimens of Gnetum scandens, G. Gnemon, G. Brunonianum[2]) and others differ much, however, from those of that skillful investigator, whose account of the development of the ovular coats is certainly erroneous. In none of these species do I find the appearance of the inner coat to be either sudden or subsequent to the formation of the outer; on the contrary the inner coat is first gradually developped around the nucleus as a cup with a fimbriated mouth and it often overtops the nucleus before the outer coat makes its appearance. The latter first appears as a ring round the base of the inner coat with a lobed or irregular crenate, often rather oblique mouth; both integuments grow together, but the inner at all periods exceeds the outer. The tissues of both are similar, viz. elongated cells; neither contains vascular tissue when young, nor does the inner at any time[3]); but the outer becomes full of paralell vascular cords. I have found female flowers of Gn. scandens in which there has been no trace of the outer coat, though the inner had allready grown far beyond the nucleus..... I cannot, however but consider that his (Griffith's) observations relating to the ovule..... were probably not intended for publication in extenso[4]). Both his figures and descriptions are inferior in accuracy to the beautiful analyses of Decaisne in Blume's Rumphia IV, tab. 176, where the

1) J. D. Hooker. On Welwitschia, a new Genus of Gnetaceae. Transactions of the Linnean Society of Londen. Vol. XXIV. 1864. p. 29.

2) Synonymous with Gnetum Gnemon L.

3) Of importance for the homologies.

4) They were published after Dr. Griffith's death.

development of the ovular coats is represented (fig. 18[1]) and 19) as I have found it to be".

„Den entwickelungsgeschichtlichen Angaben Blume's schloss sich ganz entschieden Eichler in der Flora Brasiliensis[2]) an, weil ihm die Beschreibungen und Zeichnungen von Blume viel entscheidender als die von Griffith erscheinen. Ja, in einer Anmerkung zu Hooker's Aufsatz über Welwitschia[3]) heisst es:

„Die Integumente von Gnetum entstehen wie dies auch sonst gesetzmässig ist, in der Ordnung von innen nach aussen. Die Darstellung Griffith's, nach welcher das Gegentheil stattfinden soll ist völlig unrichtig".

From all this we see that at the time when Strasburger began his researches our knowledge of the organogeny of Gnetum Gnemon was particularly unsatisfactory.

Strasburger began by establishing the important fact that the female (incomplete) flowers in the male spikes of Gnetum Gnemon (and other species) and those in the female spikes differ in as much as around the nucellus of the first but two envelops are found while the latter ones possess constantly three of them.

He continues[4]):

„In einem androgynen Blüthenstande von Gnetum Brunonianum[5]) Griff. das ich von O. Beccari in Florenz erhielt waren die männlichen Blüthen bereits abgeblüht, theilweise abgefallen, die weiblichen noch erhalten. So weit dies nach dem Alcohol-Exemplaren zu beurtheilen war, schienen sie im Augenblicke des Einsammlens noch entwickelungsfähig gewesen zu sein. (Strasb. Taf. XXI, fig. 10) sie waren verhältnissmässig stark, 1,75 mm. hoch mit der ersten Andeutung eines Embryosackes im Innern, doch auch jetzt nur mit zwei Hüllen, versehen. Nach dieser Beobachtung konnte vermuthet werden,

1) Compare with my figure n°. 13, Pl. III.
2) Vol. IV. Pars I, p. 440, note 4.
3) Eichler. Ueber Welwitschia mirabilis etc. Flora 1863, p. 509.
4) Strasburger, Coniferen und Gnetaceae, p. 105.
5) After Karsten synonymous with Gnetum Gnemon L.

dass diese Blüthen bei Gnetum Brunonianum sich auch noch weiter entwickeln, ja dass es auch noch andre Gnetum-Arten giebt, bei welchen die weiblichen Blüthen der androgynen Blüthenstände noch keimfähigen Samen erzeugen — unmöglich ist dieses nicht, mir persönlich aber kaum wahrscheinlich trotz der Beobachtung einer Embryosackanlage bei Gnetum Brunonianum und der positiven Angabe von Blume und Griffith [1]), denn auch die weiblichen Blüthen in den androgynen Blüthenständen von Ephedra campylopoda erzeugen häufig einen Embryosack, selbst corpuscula in demselben, und gehen doch regelmässig zu Grunde; was aber die Angaben von Blume und Griffith anbetrifft, so sprechen diese stets von drei Hüllen auch um die aus dem androgynen Blüthenständen stammen sollende weibliche Blüthe, während diese doch constant nur zwei Hüllen besitzt. Ja, gerade speciell für Gn. Brunonianum [2]) beschreibt Griffith das nach dem Abfallen der männlichen Blüthen, um die weiblichen eine dritte Hülle sich bilde. Ich halte dies für geradezu unmöglich und bin vielmehr der Ansicht dass hier überall weibliche Blüthen aus rein weiblichen Blüthenständen für spätere Zustände solcher aus androgyner gehalten wurden

.

Wie verhällt es sich hier nun weiter mit den entwickelungs-

1) In looking over the litterature I found a plate in Rumphius picturing a branch of a male tree of Gnetum Gnemon with some apparently normal adult fruits. This together with the statements of Blume and Griffith here quoted by Strasburger forced me to send a native through the villages around Buitenzorg to try to find a male branch with large fruits. In this he did not succeed, but finally brought me a male branch with a young fruit very much larger than the female flowers in the androgynous inflorescences. The growth of this abnormal fruit had caused the inflorescence on which it was found to break of a little above it and also on the level of its insertion nothing of other flowers could be found. It is therefore impossible to state the nature of the inflorescence to which it belonged. Examination proved it to be unfertilised and showed it to possess *three* integuments which were perfectly normal. Consequently we have found here on a *male* tree, a female flower corresponding to those which occur normally on the female trees, it possessing like these 3 integuments and not 2 like the female flowers of the androgynous inflorescences.

2) Synonymous with Gnetum Gnemon L.

geschichtlichen Angaben[1])? Nach dem texte (Blume, p. 2) zu urtheilen sollte man wirklich meinen, Blume hätte ganz junge Blüthen untersucht und die Integumente der Samenknospe von innen nach aussen auftreten sehen. Hierzu passen aber sehr wenig die beigegebenen Figuren. Dieselben lauten nur auf Gnetum Gnemon, so dass es wohl kaum dem Zweifel unterliegt dass Blume auf die Untersuchung dieser Pflanze seine Angaben stützte. Nun sind aber hier die Figuren kaum überzeugend; sie stellen zustände vor auf denen sonst bei allen andern Pflanzen beide Integumente längst schon angelegt zu sein pflegen und die Bildung, die man in Fig. 19 z. B.[2]) um das innere Integument auftreten sieht, nachdem das innere Integument bereits zu einer langen Röhre bis in die Fruchtknotenmündung hinein, ausgewachsen ist, könnte doch höchstens nur als Arillus aufgefasst werden. Gegen die Richtigkeit der Zeichnungen sprechen ausserdem meine eigene directe Beobachtungen so unvollständig sie auch sein mögen und legen also auch hier die Vermuthung nahe, dass Blume das spätere Auftreten einer dritten Hülle zunächst nur aus dem Vergleichen weiblicher Blüthen der androgynen Blüthenstände mit denjenigen rein weiblicher, die er für identisch hielt, erschlossen hatte und dann auch durch einige Präparate, bei denen eine beliebige Täuschung unterlief bestätigt zu finden glaubte".

.

The rudimentary female flowers in the androgynous spikes may even develop an embryosac. The complete female flowers possess after Strasburger three integuments, the outer one being fleshy, thick like that of Ephedra, while the inner ones are delicate. The internal one protrudes above the two external ones and is shaped like a long neck. At the time of pollination the different slips of the internal integument are spread out at the top.

In older ovules the insertion of the inner integument is

1) l. c., p. 107.

2) Compare also Blume's fig. 18 with my fig. 13, Pl III.

pushed up considerably above the insertion of the middle one. This is due to basal growth.

In 1875 O. Beccari studied the development of Gnetum Gnemon L. in Ternate. His results were published two years later but are dated, Ottobre 1875 Ternate[1]). He states that Gn. Gnemon has two kinds of spikes male and female ones. The female ones possess no traces of male flowers while the male ones contain female flowers which, at first sight, one might consider to be equal to those of the female spikes. He confirms Strasburger's researches which showed that the complete female flowers have three envelops while the incomplete ones have but two.

The youngest female spike which Beccari could examine was 4—6 millimeter long. The upper part of it is pictured in his fig. 1. Four to eight flowers develop generally on every internode of such a young spike; they are surrounded by hairs shaped like paraphyses. In this stage the flower is more or less globe-shaped and is surrounded by an envelop which is open at the top (compare fig. 2, Pl. VII Beccari). Though younger stages were not observed and consequently Beccari can not be sure, he thinks that this envelop arises from two distinct parts, which during growth are concrescent, so that only the tips remain free. Soon afterwards a ringwall arises at the base of the nucleus, inside of the outer envelop and though Beccari did not notice traces of a division in it he yet considers it arisen from two appendices, which alternate with the hypothetical appendices forming the outer envelop and which by concrescence also obtained the shape of a ringwall (compare Beccari's fig. 4, 5, Pl. VII). Although a rudiment of this second envelop is visible in the very young female flowers of the male stalks (Beccari fig. 10*c*) it does not develop any further and but a faint trace of it is seen in the adult female flower of the pseudo-androgynous spikes (Becc. fig. 11*c*).

1) O. Beccari. Della organogenia dei fiori feminei del Gnetum Gnemon L. Nota. Nuovo Giornale Botanico Italiana 1877, p. 91—99. Tarolo VII.

The third envelop arises inside of the second and it must be noted that it develops outside of the indentation which formed it but inside of the one which formed the second envelop (Becc. fig. 5); we will see later on that this is a point of great importance.

The inner envelop grows more rapidly than the middle one, it soon protrudes cone-shaped above the middle one (Becc. fig. 7*b*) and after that the tip narrows to a tube, the kind of which is plainly bilobed (Becc. fig. 8. 9). He considers (without proof) this inner envelop also to be originated from two appendices theoretically alternating with those of the first whirl. The tip of this integument later on spreads out in a larger number of laciniae. At first the second envelop forms a cup at the base of the third (internal) one, but afterwards it grows upwards in such a way that its top surrounds the base of the tube formed by the inner one.

We consequently get in the order here given the development of the different parts for the complete female flowers:

1. An external involucrum, green, herbaceous, fleshy.
2. Another involucrum more delicate, not green, which does not reach up to the aperture of the first involucrum and which surrounds:
3. A flaskshaped involucrum, which in form of a tube protrudes above the two outer ones.
4. A nucleus which fills completely the cavity of the 3d involucrum.
5. The Embryosac.

At the time of pollination, one finds on the tubular tip of the inner involucrum a drop of some liquid, which receives the pollen, brought to it by the wind, at the same time the embryosac develops. No trace of an embryosac was seen by Beccari in the female flowers of the pseudo androgynous spikes.

Beccari resumes his results as follows[1]).

Gnetum Gnemon has two kinds of female flowers:

1) For a german Referat see: Bot. Ztg. 1877. p. 342.

1. Those of the female spikes are fertil and consist of a nucleus surrounded by 3 envelops.
2. Those of the male spikes are steril and contain a nucleus with but two envelops; the failing envelop is the middle one. In the nucleus no embryosac develops.

The female flowers are secondary axes or buds, the nucellus is the top of the secondary axis.

3. The integuments surrounding the ovule of Gnetum do'nt belong to the ovule, while the inner integument develop *after* the outer one.

The three envelops of the ovule are nothing but three appendicular whirls each arising from the concrescence of two appendices.

The external whirl is the perigonal one.

The middle whirl corresponds to the staminal whirl of Welwitschia.

The third is the pistil (Il terro è il sacco pistillare che io chiamo nucellaria).

The central nucleus is the naked nucellus, the tip of the axis.

In 1879 [1]) Strasburger again took up the study of the development of Gnetum Gnemon.

About the source and condition of the material at his disposal he says:

„Das Material bekam ich in zwei Sendungen durch die Güte des Herrn Dr. R. H. C. C. Scheffer aus Buitenzorg auf Java. Es sollte zu embryologischen Untersuchungen dienen und enthielt anscheinend alle Entwickelungszustände von der Blüthe an bis zur reifen Frucht. Leider waren in beiden Sammlungen die Samen ohne Keimanlagen. Die Bestäubung war ausgeblieben und ungeachtet viele Samen sich anscheinend normal weiter entwickelt hatten, so war doch ihr Embryosack entweder völlig obliterirt oder führte doch nur Endosperm. Zu embryologischen Untersuchungen war also das Material nicht zu brau-

1) Strasburger. Die Angiospermen und die Gymnospermen. Jena 1879, p. 100.

chen, wohl aber ermöglichte es eine volle Entwickelungsgeschichte der weiblichen Blüthe".

He then states that the organogeny has allready been given by Beccari and gives the following description of the youngest stages:

„Die Bildung der Blüthen fängt mit einem aus dem Blüthenwall sich hervorwölbenden Höcker an (Str. Taf. XI, fig. 36, 37). Den Raumverhältnissen in der Deckblattachsel gemäss entspringen die Anlagen dem oberen Rande des Walles [1]). Bald wird um den Höcker eine kreisrunde Erhebung als Beginn der äusseren Integumentanlage sichtbar. Schräg zur Inflorescenzachse geführte tangentiale Längsschnitte durch die Blüthenanlage (Str. Taf. XI, fig. 38, 40) zeigen dass das Integument in transversaler Richtung stärker entwickelt wird als in medianer und alsbald ein transversal zweilappiges Aussehen gewinnt (Str. Taf. XII, fig. 43).

Die Bildung des mittlern Integuments beginnt um die Zeit da das äussere Integument bis auf zwei drittel etwa den Nucellus deckt. Das innere Integument folgt dann so rasch auf das mittlere und überholt es so bald in der weitern Entwickelung das es ausgewählter Präparate bedarf um sich über das wahre Verhältniss beider zu orientiren (Str. Taf. XII, fig. 45 and 47) [2]). Der äussere Rand des mittlern Integuments wird auf den ersten Stadien der Entwickelung meist etwas begünstigt (Str. Taf. XII, fig. 45, 47) für das innere war nichts ähnliches zu bemerken. Auch für das mittlere Integument gleichen sich die vorhandenen Differenzen bald aus.

Vergleichen wir die geschilderten Entwickelungsvorgänge bei Gnetum mit denjenigen bei Ephedra so muss uns zunächst auffallen dass die äussere Hülle von Gnetum sich ganz ebenso wie die von uns als äusseres Integument bei Ephedra bezeichnete verhält, die beiden inneren Hüllen von Gnetum aber ganz ähnlich *dem einen inneren* Integument von Ephedra. Somit schei-

1) Compare my figures 11 and 17. Pl. III.

2) Compare for a more happy case yet my fig. 13. Pl. III.

nen mir auch die Bezeichnungen gerechtfertigt die ich für die aufeinander folgende Hüllen des Gnetum-Eichens gewählt habe.

Weiter aber ist die Uebereinstimmung welche in der Entwickelung der äusseren Hülle des Gnetum-Eichens und der einzigen des Taxus-Eichens herrscht womöglich noch auffallender als die Uebereinstimmung zwischen der einzigen Hülle von Taxus und der äusseren Hülle von Ephedra. Hiermit glaube ich die Homologien dieser Hüllen noch weiter gestützt".

He then mentions Beccari's investigations which he pronounces to be correct and states Beccari's views about the homologies of the different envelops without further comments. Confirming Beccari's investigations on material sent to him by Beccari, Strasburger says:

„Eine mittlere Hülle wird in der That in den fraglichen Blüthen (the incomplete female flowers of the pseudo-androgynous inflorescences) ganz so wie in denjenigen rein weiblicher Inflorescenzen angelegt, sie bleibt aber auf dem ersten Stadium ihrer Entwickelung stehen [1]), so dass sie in den meisten Fällen sich überhaupt nich frei ausgliedert.

On page 107 Strasburger confirms Beccari's views of the budnature of the female flowers based on new investigations regarding the arrangement of the vascular bundles.

After Strasburger, Karsten [2]) worked on Gnetum.

He says: „Die einzige bisher allein zur Untersuchung gelangte baumartige Species Gnetum Gnemon ist aus gewissen Gründen gerade am wenigsten geeignet Aufschlüsse über die Entwickelung zu geben." He confirms the development of the integument as stated by Strasburger and Beccari and says furthermore that the inner integument later on grows out to a long tube, a drop of fluid on the top of which receives the Pollen [3]), that the middle integument forms the stoney shell of the ripe fruit, while the outer integument becomes fleshy and by its brillant color attracts larger mammalia who eat them. As the

1) Compare also my figure 14. Pl. II.
2) G. Karsten. Beiträge zu Entwcklgsgesch. d. Gath. Gnetum. Bot. Ztg. 1892.
3) Compare Beccari quoted above.

seed, protected by the stoney coat passes through the intestinal canal unharmed they thus contribute to the distribution of the species.

In the same year STRASBURGER [1]) wrote again about Gnetaceae but this paper contains nothing about the organogeny of the female flower.

The following year a new contribution to the knowledge of the Gnetaceae [2]) appeared, written by G. KARSTEN. This also contains nothing about organogeny.

Finally there appeared a new work of KARSTEN [3]) on Gnetum. He states on p. 347 that the middle integument in the incomplete female flowers during development becomes more and more rudimentary so that finally in the older flowers no trace of it can be discovered any more. He further states p. 348/49 that later on these incomplete flowers which, contrary to all other species, become rather large and are pushed out so that they are plainly visible, secrete for a long time a fluid by desorganisation of the nucellar tissue. He supposes that they are acquiring the functions of nectaries and may serve to attract insects to help in pollination. The fluid has a sweet sugar-like taste.

He furthermore (p. 377) describes the anatomical structure of the integuments of the complete female flowers and fruits of Gnetum Gnemon L.

In 1894 a work on Ephedra appeared which though not containing anything about the organogeny of the Gnetum-flowers yet gives us some noteworthy suggestions as to the homologies of the parts of our Gnetum's [4]).

1) STRASBURGER, Ueber das Verhalten des Pollens und die Befruchtungsvorgänge bei ken Gymnospermen. Histologische Beiträge, Heft IV. Jena. Fischer 1892.

2) G. KARSTEN. Untersuchungen ueber die Gattung Gnetum L. Beitrag zur systematischen Kentniss der Gnetum-Arten im Sunda-archipel. Annales du Jardin Botanique de Buitenzorg. Vol. XI. Leide 1893, p. 194.

3) G. KARSTEN. Zur Entwickelungsgeschichte der Gattung Gnetum. Taf. VIII—XI. Cohn. Beitr. z. Biol. d. Pflzn. Breslau. Bd. VI Heft 3. 1893.

4) P. JACCARD. Recherches embryologiques sur l'Ephedra Helvetica. Zürich dissertation. Also in Bullet. de la Société Vaudoise Vol. XXX. 1894.

The internal envelop of the nucellus of Ephedra elongates to a kind of stigma which receives the pollen, the outer fleshy one leaves at the top a narrow opening through which the stigma passes [1]). This latter one will by becoming woody form the hard, resistent shell which protects the seed.

This outer envelop is morphologically characterised by JACCARD as follows. p. 9:

„La conclusion à laquelle j'arrive c'est que la coque est de nature foliaire et représente très probablement la première paire de feuilles fertiles du rameau secondaire, soudées l'une à l'autre à la suite d'une adaptation spéciale à la protection de l'ovule.

La nature foliaire de la coque me paraît ressortir clairement

1. *Du fait de sa structure qui est absolument la même à l'origine que celle des autres feuilles du bourgeon.*
2. *De la présence de stomates sur les deux faces* [2]).
3. *De la présence d'une modification particulière de son parenchyme au lieu d'insertion sur le rameau*, phénomène caractéristique également pour les autres feuilles du bourgeon.
3. *Du fait que cet organe est vascularisé par un rameau* ainsi que l'établit l'étude du parcours des faisceaux fibro-vasculaires.
5. Enfin de la présence sur la dernière paire de bractées de *papilles* analogues à celles de la coque prouve encore la similitude de ces deux organes.

He continues:

„Ainsi qu'on le voit l'interprétation que nous donnons de la fleur femelle d'Ephedra tient à la fois de celles de M. STRASBURGER et de M. v. TIEGHEM. Comme le premier nous admettons que l'ovule est porté à l'extrémité du rameau fertile et avec le second nous rejetons la nature tégumentaire de la coque que nous considérons comme le résultat de la soudure de deux bractées transversales, sans toutefois lui accor-

1) Consequently exactly as the incomplete female flowers of Gnetum Gnemon L.
2) These are also found on the outer envelop of Gnetum Gnemon L.

der la valeur morphologique d'un ovaire. Anatomiquement gymnosperme, l'Ephedra est angiosperme au point de vue physiologique et les deux enveloppes de sa fleur femelle remplissent d'une manière parfaite le rôle dévolu au pistil dans les plantes supérieures, qui est de retenir le pollen, de conduire le tube pollinique et de constituer autour de la graine en formation, une enveloppe hermétique. Considérée comme nous l'avons fait l'Ephedra représenterait un essai d'angiospermie spéciale aux phanérogames inférieures qui aurait persisté comme type indépendant plûtot qu'une forme ancestrale d'où seraient dérivés les angiospermes actuelles.

In 1894 Boodle and Wordsdell [1]) showed that the anatomy of Gnetum reminds us in many instances of the one of Ephedra. They say in their summary (p. 260):

„Still more important perhaps is the structure of the node, which is so entirely different from that of the internode; instead of the typical Gnetum-structure we found elements (vessels and tracheides) possessing characters intermediate between Ephedra and Gnetum".

At the end of this review I will tabulate the results obtained by the different authors, and for the sake of completeness allready here, add the conclusions I have come to.

NAME OF THE DIFFERENT PARTS OF THE FLOWER.	AUTHOR.	PRESENCE OR ABSENCE.	ORDER OF THEIR ORIGIN.	MORPHOLOGICAL VALUE.	FUNCTION.
nucellus	Blume 1848	present	—	—	—
internal envelop		present	second	integument	stigma
intermedian „		present	third	integument	
external „		present	first	ovary	
nucellus	Griffith communicated by Henfrey	present	—	—	—
internal envelop		present	third	—	stigma
intermedian „		present	—	—	—
external „		present	—	—	—
nucellus	Hooker 1864	present	—	—	—
internal envelop		present	second	never contains vascular tissue	stigma
intermedian „		present	third	contains vascular tissue	—
external „		present	first	„ „ „	—
nucellus	Eichler without research? 1864	present	—	—	—
internal envelop		present	second	integument	stigma
intermedian „		present	third	integument	—
external „		present	first	ovary	—
female flowers in male spikes: nucellus	Strasburger 1872	but two of the three envelops present	Griffith's and Blume's results both improbable	—	—
female flowers in male spikes: internal envelop				both existing envelops	—
female flowers in male spikes: intermedian „					—
female flowers in male spikes: external „				integuments	—
female flowers in female spikes: nucellus	Strasburger 1872	present		—	—
female flowers in female spikes: internal envelop		present		integument	stigma
female flowers in female spikes: intermedian „		present		integument	—
female flowers in female spikes: external „		present		integument	—
complete flowers: nucellus	Beccari	present	fourth	naked ovule = growing point	
complete flowers: internal envelop		present	third	ovary	stigma
complete flowers: intermedian „		present	second	homologue to staminal whirl of Welwitschia	—
complete flowers: external „		present	first	perianth	—

	NAME OF THE DIFFERENT PARTS OF THE FLOWER.	AUTHOR.	PRESENCE OR ABSENCE.	ORDER OF THEIR ORIGIN.	MORPHOLOGICAL VALUE.	FUNCTION.
incomplete flowers	nucellus	Beccari	present	fourth	—	—
	internal envelop		present	third	—	—
	intermedian „		highly rudimentary	second	—	—
	external „		present	first	—	—
complete flowers	nucellus	Strasburg Angiosp. und Gymnosp.	present	fourth	top of axis	consequently the whole flower an ovule with three integuments
	internal envelop		present	third	together internal integument of Ephedra	
	intermedian „		present	second		
	external „		present	first	External integument of Ephedra	
complete flowers	nucellus	Karsten	present	fourth		—
	internal envelop		present	third		stigma excreting a drop of fluid protection to external influences attraction for mammalia
	intermedian „		present	second		
	external „		present	first		
incomplete flowers	nucellus		present	fourth		degenerating of the nucellar tissue causes arising of a sugar containing fluid. The whole flower functioning as a nectary
	internal envelop		present	third		
	intermedian „		rudimentary; in old flowers indistinguishable	second		
	external „		present	first		
complete flowers	nucellus	Lotsij	present	fourth	top of axis integument (absence of vascular tissue)	—
	internal envelop		present	third	internal perianth	as Karsten
	intermedian „		present	second	external perianth	as Karsten
	external „		present	first		as Karsten
incomplete flowers	nucellus		present	fourth	top of axis	—
	internal envelop		present	third	integument	as Karsten
	intermedian „		rudimentary; in old flowers indistinguishable	second	highly reduced int. perianth	as Karsten
	external „		present	first	ext. perianth	as Karsten

flower consequently a bud which first forms two whirls of bracts subsequently transforms its growing point to an ovule with one integument

EPHEDRA

nucellus	Jaccard	present	—	top of axis	—
internal envelop		present	second	integument	stigma
external „		present	first	perianth	protection

If one consequently accepts JACCARD's interpretation of the female flower of Ephedra and my view of the female flower of Gnetum Gnemon there is only one difference between them, viz:

Ephedra has one perianthwhirl while Gnetum has two.

In both flowers the ovule provided with but one integument has arisen by direct transformation of the growing point of a bud.

In the incomplete flowers of Gnetum Gnemon L. the internal perianthwhirl disappears; they are consequently entirely built like Ephedraflowers. The disappearance of a perianthwhirl in the case of one of the sexes of flowers of the same species need not cause any astonishment as such cases have long since be observed among the Euphorbiaceae as for example in the Genera Croton L. and Julocroton Mart., so that the absence of one whirl in flowers which lost their function, became neutral, is certainly nothing out of the way.

B. Organogeny of the male flowers.

STRASBURGER says in his Coniferae und Gnetaceae p. 155:

„Die männlichen Blüthen der Gnetum Arten schliessen viel näher an Ephedra als an Welwitschia an, ja sie erinneren auffallend an die ♂ Blüthen von Ephedra altissima. Wie bei Ephedra finden wir hier nur ein einziges Perigon und wie bei E. altissima zwei Antheren Die zahl der Blüthen kann bis auf 60 steigen so z. B. bei Gnetum dioicum LEYBOLD mas. ungeachtet die Blüthen in so grosser Zahl auftreten, ist jede derselben doch in ähnlicher Weise orientirt wie die Blüthe von Ephedra in der Achsel ihres Deckblattes. Die beiden Blätter aus denen das Perigon gebildet wird, stehen vorn und hinten, die beiden Antheren rechts und links. Das Perigon ist wie bei Ephedra gebaut, unterscheidet sich jedoch durch die Anwesen-

heit der Gefässbündel [1]) Die Blüthenachse ist ueber die Ansatzstelle des Perigons säulenförmig wie bei Ephedra verlängert, auch ebenso gebaut und wird wie bei E. altissima rechts und links von einem einzigen Gefässbündel durchzogen. Die Antheren erinnern auch ganz entschieden an Ephedra wenn auch jede derselben einfächerig geworden, d. h. die mittlere Scheidewand eingebüsst hat. Die beiden Antheren berühren sich auf der Innenseite ohne jedoch mit einander zu verschmelzen, sie öffnen sich mit je einer apicalen, transversalen Spalte. Der Bau der Antheren-epidermis erinnert so sehr an Ephedra, ... Das Perigon der ♂ Blüthe bleibt bis zur Reifezeit der Antheren über denselben geschlossen, die ganze Blüthe hat eine nagelformige Gestalt. Zuletzt streckt sich die Blüthenachse bedeutend, das Perigon wird zweiklappig geöffnet, und die beiden Antheren treten, je nach der Species mehr oder weniger, manchmal sehr weit, aus der Öffnung hervor. Dieses Verhalten erinnert in allen Punkten so an Ephedra, dass man an der Homologie beider Blüthen gar nicht zweifeln kann.

„Der filamentartigen Blüthenaxe und der beiden einfächerigen Antheren wegen, ist die ganze Blüthe hier, wie so häufig auch bei Ephedra für ein einfaches Staubgefäss erklärt worden, so von Blume (Rumphia, Bd. IV, p. 3) wo es heisst:

„Stamen unum, e fundo vaginulae (s. perigonii) membranaceae clavatae initio clause tandem disruptae ortum; Filamentum simplex v. rarissime apice bifidum; anthera didyma, in vertice poris binis, oblongis dehiscens" [2]) und auch von Tulasne: „Filamentum lineare complanatum, inclusum aut nonnihil exertum, saepiusque brevissime bifidum. Anthera unica, minima, e lobis duobus globosis, sessilibis, plus minus discretis singulisque rima lata superne dehiscentibus."

1) The absence of vascular bundles in the Perigon of Ephedra is also stated by Jaccard, l. c. p. 23.

2) Dagegen heisst es richtiger in einer älteren Arbeit: De novis plantarum familiis. Ann. d. sc. nat. 1834, p. 101. Gnetaceae Hanc structuram si spectus rectius fortasse unumquemque florem masculum diandrum diceres antheris duabus unilocularibus.

„Was uns anbetrifft so glauben wir früher die Axennatur des Antherenträgers von Ephedra hinlänglich festgestellt zu haben und an der Homologie der ♂ Blüthen von Ephedra und Gnetum ist..... nicht zu zweifeln, auch schliesst der Bau der Gnetum-Blüthe an und für sich, so auch die beiden Gefässbündel, die in der Blüthenaxe verlaufen und einzeln unter den Antheren endigen, endlich die Art der Entstehung der letzteren u. s. w. jede andere Deutung aus..... Die Blüthen müssen wie schon früher motivirt für Beiknospen gehalten werden.

Strasburger's Angiospermen und Gymnospermen contains nothing new about the male flowers.

Karsten gives in his second work [1]) some new facts. He says p. 343: „Die Anlagen der ♂ Blüthen..... lassen bei den Gnetum-Arten mit je 2 Antheren auf Oberflächen Ansichten alsbald eine Verbreiterung ihres Scheitels in der Ebene des Querschnittes durch die Axe erkennen. Eine geringe Einsenkung der Mitte des Scheitels zeigt die Anlage der beiden Antherenfächer, welche sich beiderseits der Einsenkung als geringe Erhabenheiten bemerkbar machen. Bei dem nur je eine Anthere besitzenden Gn. Rumphianum ist keine derartige Verbreiterung des Scheitels vorhanden."

He then describes the origin of the Perigon:

As soon as the flowerprimordium is visible..... „lässt sich auch bereits eine leichte Einsenkung des Scheitels der Blüthenanlage gegen die vordere und hintere Seite des Randes auf radialen Längsschnitten wahrnehmen, wenn die Medianebene der Anlage getroffen ist. Es ist die erste Andeutung der beiden Median gestellten Perigonblätter, deren eines von der Inflorescenz-Axe aus also vor, das andere hinter der Blüthenanlage sich befindet. Die Grossenverhältnisse der beiden Anlagen sind zuerst sehr ungleich..... Die Fig. 10, 11, 12 [2]) zeigen diese lange bestehen bleibende Ungleichmässigkeit sehr deutlich und man wird nicht zweifelhaft sein können, welches der beiden

1) l. c. p. 341.
2) Compare also my fig. 15, Pl. III.

Perigonblätter in jedem Fall das der Spitze der Inflorescenzaxe genäherte, also ältere ist. Das Wachsthum der Perigonblätter eilt demjenigen des Blüthenanlagescheitels voraus und sie schliessen über demselben zusammen, wobei meist beobachtet werden konnte dass die Ränder des älteren diejenigen des auf der Aussenseite befindlichen überdachten."

C. Origin of macrospores.

The first description we owe to Strasburger [1]). The material was sent to him by the late Dr. Scheffer and was not fertilised. He first describes the origin of the integument and says in fig. 48 [2]) gliedert es (das (innere) Integument) sich weiter aus auf diesem Zustand folgt alsbald die Anlage der Embryosack-Mutterzelle. In fig. 51 (here reproduced as Fig. 19, Pl. III) finden wir z. B. die Zellen unter der Epidermis im Scheitel des Nucellus etwas gestreckt. Die Streckung scheint eine Verdrängung einzelner darunter liegender Zellen oft zur Folge zu haben. In Fig. 52 (here reproduced as Fig. 20, Pl. III) haben sich bei weiterer Höhenzunahme des Nucellus diese Zellen getheilt. Die unteren sind nunmehr als Embryosack-Mutterzellen, die oberen als Tapetenzellen zu unterscheiden. In Fig. 53 (here reproduced as Fig. 21, Pl. III) haben sich die Tapetenzellen getheilt, die eine Embryosack-Mutterzelle ist stärker entwickelt. Sehr schön ist Fig. 54 (here reproduced as Fig. 22, Pl. IV) in der 3 Embryosack-Mutterzellen und die getheilten Tapetenzellen über denselben scharf hervortreten. Die Fig. 55 (here reproduced as Fig. 23, Pl. IV) zeigt die mittlere Embryosack-Mutterzelle in Theilung. In Fig. 56 ist sie getheilt, eine Embryosack-Mutterzelle links verdrängt. Die Fig. 57 zeigt zwei junge Embryosäcke und die Verdrängung der über denselben liegenden je einen Schwesterzelle. In Fig. 58 hat ein junger Embryosack den benachbarten, die eigene und dessen

1) Angiospermen und Gymnospermen, p. 116.
2) This figure corresponds to my Fig. 13, Pl. III.

Schwesterzelle verdrängt, die eigene Schwesterzelle liegt noch desorganisirt über ihm In Fig. 60 (here partly reproduced in Fig. 24, Pl. IV) haben sich rechts beide Schwesterzellen, links die obere Schwesterzelle, weiter zu Embryosäcken entwickelt. Fig. 61 (here partly reproduced in Fig. 25, Pl. IV) zeigt uns wieder den gewohnten Fall bei fortschreitender Entwickelung des Embryosackes. Übrigens muss ich annehmen, dass, wo auch mehrere Embryosäcke zunächst ausgebildet werden einer die anderen schliesslich doch verdrängt, wenigstens habe ich auf fortgeschritteneren Zuständen nie mehr als einen Embryosack gefunden. Eine solche thatsächliche Verdrängung eines benachbarten Embryosacks zeigt uns sehr schön Fig. 62. Die Fig. 63 habe ich der schwächer vergrösserten Fig. 64, Taf. XIV entnommen, sie zeigt den Embryosack bei bereits vorgeschrittener Entwicklung. Die Zellen im Umkreis des Embryosacks werden hier nicht zuvor gelockert vielmehr unmittelbar durch den Embryosack verdrängt.

„Auf dem Stadium der Fig. 52 (here reproduced as fig. 24, Pl. IV) hatte auch bereits eine Theilung der Epidermiszellen am Scheitel des Nucellus begonnen. Diese schreitet rasch auf den folgenden Entwickelungszuständen fort und hat schon in den Fig. 59—62 zu der Bildung einer Schicht von nicht unbedeutender Mächtigkeit geführt. Die Tapetenzellen und ihre Nachbarinnen theilen sich hier hingegen nur wenig, können oft auch schon frühzeitig verdrängt werden; bleiben hingegen meist auch auf späteren Stadien noch als solche erhalten (Fig. 63, die Zellreihen über dem Embryosack.)"

Karsten [1]) confirms Strasburger's results and adds:

„Bei Gnetum Gnemon und neglectum findet man der Regel nach 2, 3 oder seltener noch mehr Embryosäcke vor, die zur Weiterentwicklung gleichmässig befähigt erscheinen und sich wie gleich hinzugefügt sein mag besonders bei Gn. neglectum auch sehr häufig nebeneinander weiter entwickeln."

1) l. c. Bot. Ztg. 1892, p. 209—210, compare his figures of Gn. Gnemon Pl. V, Fig. 1—6.

The points of interest about this question in KARSTEN's second work [1]) are these sentences: „von Embryosack-Mutterzellen die sich durch ihre meist recht beträchtliche Grösse, wie durch die auffallend grossen und *chromatinreichen* [2]) Kerne aus der Umgebung scharf abheben," and p. 354:

„Aus den vorerwähnten Embryosack-Mutterzellen gehen nun durch weitere Quer- und Längstheilungen eine ganze Anzahl von Embryosackanlagen hervor. Mehr als drei Zellen sah ich niemals aus einer Embryosack-Mutterzelle durch Querwände gebildet".

D. Origin of microspores.

KARSTEN is the first who gives us a detailed description of this process in his second work [1]).

He says: [3])

„Bei der angeführten frühen Selbständigkeit der Dermatogenlage muss die Differenzirung eines ein- bis wenigzelligen Archespor's schon sehr frühe statt gehabt haben, ohne dass die fertilen Zellen als solche zunächst zu erkennen wären. Das ganze Gewebe bleibt äusserst gleichförmig..... Erst wenn die tafelförmig flachen Tapetenzellen vom fertilen allmählich stark anschwellendem Komplex nach rings abgegeben werden..... tritt die Abgrenzung des fertilen gegen das sterile Gewebe scharf hervor. Im fertilen von 2, stellenweise selbst 3 Lagen Tapetenzellen umschlossenen Komplex treten noch vielfache und sehr unregelmässig orientirte Wände auf, bevor die volle Zahl der Pollen-Mutterzellen gebildet ist. In jeder derselben ist schliesslich ein scharf umschriebener Kern vorhanden. Jetzt tritt der Plasmabelag ein wenig von den Wandungen des Mikrosporengewebes zurück, die Wände im fertilen Komplex beginnen undeutlich zu werden und entziehen sich bald der

1) l. c. COHN's Beiträge z. Biologie d. Pflzn. p. 353.

2) The italics are mine.

3) It is not clear wether his research on this point includes Gnetum Gnemon L. or not.

Beobachtung. Es befinden sich dann lediglich freie Zellen ohne Cellulosewände mit je einem Kerne versehen im Mikrosporangium.....

Die tingirbare Substanz (der Kerne)..... war in einzeln grösseren und kleineren bis in die äussere Grenze des Kernes gehenden Flöckchen angeordnet. Die Grundmasse blieb ganz ungefärbt. Nur bei Gnetum funiculare.... fehlte der Nucleolus niemals während er mir bei keiner der anderen untersuchten Arten auffiel.

Ganz kurze Zeit nach diesem Ruhestadium, oft bereits in der nächst älteren Anthere desselben Schnittes, findet man die chromatischen Elemente im Inneren des Kernes zu fädigem, unentwirrtem Knäuel contrahirt, von der scheinbar membranlosen Kern-Peripherie durch einen homogenen ungefärbten Zwischenraum allseitig getrennt. Diese Kerncontraction scheint die kommenden Veränderungen einzuleiten, denn bald findet in der Pollen-Mutterzelle eine erste Kerntheilung statt. Doch ist dieses Stadium relativ selten aufzufinden, es folgt sogleich die zweite Theilung der beiden Kerne und es befinden sich jetzt in der frei im Mikrosporangium schwimmenden Zelle 4 tetraëdisch zu einander liegende Kerne. Diese 4 Kerne zunächst von stattlicher Plasmamasse umgeben bilden sich nun auf deren Kosten zu 4 Pollenkörnern aus, das Plasma schwindet mehr und mehr und hält schliesslich die 4 Pollenkörner nur noch durch einen schmalen Aussenring zusammen bis auch dieser verbraucht ist und die Pollenkörner frei werden, das Innere des vorher von Pollen-Mutterzellen erfüllte Mikrosporangium füllend.

E. Sprouting of the Macrospores.

Strasburger [1]) says under „Endospermbildung":

„Die Fig. 57 von Gnetum (Gnemon) zeigt im Embryosack nur einen Kern. In Fig 58 sind deren zwei. In Fig. 60 der

1) Angiospermen und Gymnospermen, p. 135.

Kern im Embryosack links in Theilung begriffen, im Embryosack rechts zwei Kerne. Die Embryosäcke führen je vier Kerne im Innern in Fig. 59. In Fig. 63 sehen wir die Zahl der Kerne bedeutend vermehrt. He says further of the material in question p. 101:.... die Bestäubung war ausgeblieben und ungeachtet viele Samen sich anscheinend normal weiter entwickelt hatten, so wahr doch ihr Embryosack entweder völlig obliterirt oder führte doch nur Endosperm".

Karsten states [1]): „Die einzige bisher allein zur Untersuchung gelangte baumartige species Gnetum Gnemon L., ist aus gewissen Gründen gerade am wenigsten geeignet Aufschlüsse über die Entwickelung zu geben".

He says further [2]):

„Betrachten wir zunächst den Inhalt der Embryosäcke ein wenig näher. In Fig. 5 sieht man die drei vorhandenen, jungen Embryosäcken im Stadium der gerade vollendeten ersten Kerntheilung. Die beiden Kerne wandern alsbald in die entgegengesetzten Pole der Zelle, theilen sich hier abermals und so fort. Die Kerne sind bald von auffallender Kleinheit und bleiben hinter den vegetativen Kernen der umgehenden Zellen wesentlich zurück (Fig. 6). Sie besitzen einen ganz homogen erscheinenden Innentheil, der ihre Hauptmasse bildet und wohl als Nucleolus bezeichnet werden muss, und eine stärker lichtbrechende, ausserordentlich schmale Randzone.

Bald, nachdem die ersten Kerntheilungen zur Perfection gelangt sind, sieht man jedoch einen jeden Kern sich mit einer leichten Ansammlung von Protoplasma enger umgeben und mit einem ungemein zarten Häutchen gegen das Aussenplasma abschliessen (Fig. 6—7). Es sind richtige Primordialzellen, die sich in einem jeden Embryosacke bilden. Strasburger hat diese Gebilde bereits gesehen und abgebildet, hält sie jedoch für Kerne, die dadurch eine, für Gnetum wenigstens, abnorme Grösse zeigen.

1) l. c. Bot. Ztg. Sp. 205.
2) l. c. Sp. 210.

Ergiebt sich nun schon aus der angeführten Thatsache, dass die Kerne vorerst ohne eine solche Hülle auftreten, die Richtigkeit des Gesagten, so findet sich eine weitere Bestätigung darin dass man im Verlaufe der Entwicklung diese Primordialzellen zu oft ansehnlicher Grösse heranwachsen sieht; es treten zwei Kerne auf (Fig. 9) deren Theilungsstadien selbst, allerdings auf zu finden mir nie gelingen wollte, — diese wandern auseinander und es folgt der Zerfall in zwei ebenso gebaute Tochterzellen (Doch) sah ich vereinzelt auch Embryosäcke, welche bereits ansehnliche Grösse besassen und trotzdem noch sämmtliche Kerne ohne die beschriebene Hülle gelassen hatten.

Niemals jedoch handelt es sich in der Umgrenzungsmembran unserer Zellen um Cellulosehäute..... Mit zunehmender Vergrösserung des Embryosacks ist eine fortdauernde Vermehrung seines Protoplasma-gehaltes in der Art wahrzunehmen, dass stets eine gleichmässige Schicht der Embryosackwandung anliegt und einen grossen Vacuolenraum umkleidet. In dieser Wandschicht sind die erwähnten sich fortdauernd vermehrenden Primordialzellen gleichmässig vertheilt, so dass sie auf Flächenansichten des Embryosackes als einschichtige Lage kreisrunder, einander nirgends berührender Zellchen erscheinen (Fig. 8, 15). In der beschriebenen Entwickelung des Embryosackinhaltes stimmen alle untersuchte Formen überein. Die Abweichungen sind nur untergeordneter Art. Gnetum edule, Gnetum spec. Amboina [1]) und Gnetum spec. Boeroe, welche

1) The names of the species of Gnetum in KARSTEN's first work were but provisional ones. After determination KARSTEN gave them their right names. Not wishing to alter anything in the quoted literature I give here KARSTEN's revised list as published in his 2d paper p. 338.

	Frühere provisorische Bezeichnung.		Richtiger Name.
1.	Gnetum Gnemon L.	=	Gnetum Gnemon L.
2.	» neglectum Bl.	=	» funiculare Bl.
3.	» spec. Bangka, Akeringa 7574. Uebereinstimmend mit Gn. sp. Bangka, Akarliat. Bdd. 13.	=	» Ula Brgn.
4.	» edule Bl.	=	» Rumphianum Becc.
5.	» spec. Amboina.	=	» ovalifolium s. n.
6.	» spec. Boeroe 217e.	=	» verrucosum s. n.

der Darstellung speciell als Unterlage dienten, zeigen höchstens im oberen und unteren Ende eine Häufung des Plasmas und der Primordialzellen, so dass sich an beiden Orten etwa quere Plasmabändchen durch den Vacuolenraum spannen, vielleicht auch die Winkel sich mit protoplasmatischer Substanz füllen (Fig. 9) Gnetum Gnemon und neglectum zeigen die Hauptmasse ihrer Primordialzellen in dem langgestreckten, gradläufigen unteren Theil ihres Embryosackes (Fig. 8) während der keulig aufgeschwollene obere, der Mikropyle zugekehrte Abschnitt relativ arm an Inhaltsbestandtheilen zu sein pflegt. Sind bei diesen Arten 2 oder gar 3 Embryosäcke zur Entwickelung gelangt (Fig. 8) so liegt die Scheidewand im oberen Theile selbst oder am Eingang in den gradläufigen unteren Theil oft ist der (oder die) obere Embryosack so klein geblieben, dass er bei starken Plasmagehalt keine Höhlung im Innern mehr aufzuweisen hat und mit Plasma und den zahleichen Primordialzellen gänzlich erfüllt zu sein scheint.

In diesem Zustande nun (Fig. 8, 9, 11) ist der Embryosack unsrer Gnetum-Arten befruchtungsfähig. Eine weitere Differenzirung des weiblichen Apparates tritt bei keiner der Untersuchten Species ein. Corpuscula oder besondre Eizellen werden nicht ausgebildet, die gefundenen auf den Wandbelag gleichmässig vertheilten. Primordialzellen gleicher Herkunft und gleichen Aussehens stellen ebensoviel befruchtungsfähige Eizellen dar, oder vielleicht correcter ausgedrückt, die der Befruchtung harrenden Eizellen sind weder in Abstammung und Entwickelung noch ihrem äusseren Ansehen nach von den übrigen im Wandplasma des Embryosackes vertheilten Primordialzellen in irgend einer Weise unterschieden."

In his second work Karsten says on p. 356:

„Mit der wachsenden Grösse des Embryosackes nimmt nun auch sein Inhalt stetig an Volumen und Masse zu. Wir hatten gesehen, dass aus dem primären Kern des jungen Embryosackes 2 und 4 Kerne sich gebildet hatten. Diese Kernen vermehren sich stetig weiter, doch ist es mir auch jetzt noch nicht gelungen jemals eine Kerntheilungsfigur im Embryosacke zu Gesicht zu

bekommen nur für die erste Theilung des Embryosackkernes ist mir dieselbe wie gesagt bekannt geworden. Die Kerne des Embryosackes..... sind auffallend Substanzarm. Sie zeigen eine sich mit Haematoxylin sehr stark tingirende Kernmembran und ein völlig homogenes, ungefärbt bleibendes Innere, in dem keine chromatischen Faden-Elemente noch irgend eine Differenzirung jemals wahrzunehmen ist..... In oder ausserhalb der Mitte dieses bläschenförmigen Kernes liegt nun ein ziemlich grosser Nucleolus, doch finden sich häufig auch zwei, ja selbst mehr Nucleolen in den Kernen vor. Die Nucleoli besitzen wiederum eine von Haematoxylin tief blau tingirte Hülle, die entweder einen völlig homogenen, wahrscheinlich von irgend einer flüssigen Masse erfüllten Raum umschliesst oder aber es war ein ganz schmaler Saum einer festeren, tingirbaren Plasmasubstanz an der Peripherie vorhanden. Diese Bläschenstructur des Nucleolus liess sich einmal daran nachweisen, dass wenn dieselbe angeschnitten war, die allein tingirte Hülle an der betreffenden Stelle entfernt war, der ungefärbte innere Hohlraum offen sichtbar vorlag wie auch daran, dass der ganze Nucleolus bisweilen von einer Luftblase ausgefüllt wurde, die in der wahrscheinlich angeschnittenen Hülle desselben zurückgehalten blieb.

Diese relativ sehr gross werdenden Kerne liegen in dem wandständigen Plasmabelag gleichmässig vertheilt, sie sind in gut fixirten und gefärbten Präparaten, wenn es gelingt ein zusammenhängendes Stück des Belages abzulösen (Fig, 56, 57, Taf. X) durch Fäden verbunden, die von einem Kern strahlenförmig zum andren hinüberspannen. Die Centralkörper der Kerne habe ich in keinem Falle zu Gesicht bekommen.

In diesem Zustande nun erwartet der Embryosack den heranwachsenden Pollenschlauch, eine weitere Differenzirung seines Inhaltes tritt nicht ein, höchstens spannen ein paar Plasmafäden im Scheitel von einer Seite des Wandbelags zur andern, quer durch den Embryosack hindurch, oder es wird ganz in dem Chalaza-ende eine Endospermbildung um die freien Wandständigen Kerne begonnen. Diese Darstellung des Sachverhaltes

steht theilweise in Wiederspruch mit meiner früheren Beschreibung derselben. Bei der damals ausschliesslich befolgten, nur mangelhafte Resultate liefernden Methode, die ganzen Nucellen durchzufärben waren auch unklare Bilder die Folge gewesen. Die damals gegebene Beschreibung der Kerne lässt deutlich erkennen dass ich den Nucleolus für den Kern, den Kern selber für eine Primordialzelle gehalten habe Es ist der einzige Unterschied gegen die früher gegebene Darstellung also der, dass nicht zahllose freie Primordialzelle im Wandbelag des Embryosacks zerstreut sind, sondern dass es lediglich grosse, bläschenförmige Kerne sind. Diesen fällt also auch die Rolle zu, als weiblicher Apparat zu fungiren. Irgend welche Differenzen zwischen den Kernen im Embryosack habe ich nicht auffinden können, so dass ich bei der Ansicht bleiben muss, es ist, oder scheint doch jeder einzelne der sämmtlichen Kerne des Embryosackes gleich geeignet als Eikern zu fungiren, irgend welchen morphologischen Unterschiede sind nicht wahrnehmbar. Da ich, wie erwähnt, karyokinetische Figuren im ältern Embryosack niemals auffinden konnte, so konnte ich freilich die Möglichkeit ob eine Differenz der Embryosackkernen in der Art vorliegt, dass der oder die richtigen Eikerne eine Reduction ihrer chromatischen Elemente erleiden, nicht prüfen."

F. Sprouting of Microspores.

Karsten says in his second work on p. 357:

„..... zeigt sich nun dass die bisher mit nur einem grossen Kern versehenen Pollenkörner von Gn. latifolium und Gn. Gnemon L. die Zahl ihrer Kerne vermehren.

Da man auf Längsschnitten durch die ganze Inflorescenz in jedem einzelnen Blüthenknoten an Alter verschiedene Antheren durchschnitten hat, so kann man auch feststellen dass der Zeitpunkt der Kernvermehrung in weiten Grenzen schwankt. In derselben Anthere finden sich einkernige, neben mehrkernigen Pollenkörnern vor. Doch scheint vor dem Eintreten der plötzlichen Längsstreckung des axilen Filamentes in allen Mi-

krosporen der betreffenden zwei Antheren die Kerntheilung vollzogen zu sein. Die Kerntheilungsfigur des ersten Theilungsschrittes ist mir entgangen, ich fand immer bereits 2 fertige Kernen in den betreffenden Pollenkörnern vor. Das Aussehen der zwei Kerne ist jetzt ein sehr verschiedenes. Der eine derselben zeigt nämlich ein sehr lockeres Gefüge; er scheint sich andauernd im Theilungszustande zu befinden, während das Aussehen des anderen normal ist; derselbe bleibt, wie mir scheint, unverändert erhalten. Den ersteren aber sah ich in benachbarten Pollenkörnern bereits wieder eine Theilungsfigur bilden; die Spindelfäden sind dabei sehr schwach und leicht zu übersehen. Von den resultirenden 3 Kernen behalten zwei ein normales Aussehen, der dritte verharrt in dem leicht gefügten Zustand. Ob er noch eine weitere Theilung eingeht, kann ich mit Sicherkeit nicht angeben. Während aber die Umrisse der beiden anderen Kerne scharf und bestimmt sind, hat dieser oft ein gelapptes, merkwürdiges Aussehen, dass den Anschein des vorhanden seins von 2 Kernen an seiner Stelle erwecken kann Die Lage der Kerne bei und Gnemon schien mir völlig regellos zu sein, so dass zu dieser Zeit eine Anlagerung der abgeschiedenen (vegetativen?) Kerne in „Prothalliumzellen" an die Aussenwand mir unwahrscheinlich sein muss; auch habe ich eine Membran innerhalb des Pollenkornes hier vergeblich gesucht. Mit den auf den Nucellusscheitel übertragenen Pollenkörnen setzen meine Untersuchungen erst wieder ein.

Durch eine Volumzunahme des Inhaltes wird bei allen Arten gleichmässig die Exine in 2 Lappen, die noch mit einander in Zusammenhang bleiben oder auch gänzlich getrennt werden können, abgesprengt, man findet dieselbe so auf den Scheitel des Nucellus vor. Die befreite Intine treibt nun gegen den Nucellus hin schlauchartig aus und dringt in das gelockerte Gewebe desselben ein. Die im Wege liegenden Zellen werden zerstört, ihr Inhalt der sehr reich an Stärke zu sein pflegt, dient zur Ernährung und Volumvergrösserung des Pollenschlauches."

On p. 360 he continues:

„Von Gn. Gnemon sind mir nur ältere bereits weiter vorgeschrittenen Stadien der Pollenschlauchbildung begegnet. In der auf dem Nucellusscheitel verbliebenen Intine war mit Haematoxylinfärbung eine eng umschriebene Stelle gefärbt worden, die wohl der Ansatzstelle der generativen Zelle entsprechen dürfte, wie das gleiche für Welwitschia später zu erwähnen sein wird. Im Pollenschlauche selbst konnte ich aber eine deutliche Zelle, wie sie bei der vorigen und besonders den folgenden Arten vorhanden ist niemals erkennen, es scheinen immer nur einfache Kerne ohne umgebende Plasmamasse vorhanden zu sein. Auch die Kerne selbst zeigten nicht so grosze Differenzen im Aussehen wie wir sie später kennen lernen werden. Immerhin liessen sich deutlich zwei und später 3 Kerne in den Schläuchen nachweisen. Der vordere, den ich für den Pollenschlauchkern halten musz, zeigte meist eine geringere Grösze, der Abstand zwischen ihm und den generativen Kernen war oft ein beträchtlicher. Alle 3 Kerne besaszen einen stark tinctionsfähigen Nucleolus. Auch hier vermochte ich das Schicksal der Kerne nicht weiter zu verfolgen."

G. Fertilisation of Gnetum Gnemon L. Nothing is known in this respect.

H. Development of embryo up to the time of the dropping of the fruit. Nothing known.

I. Development of embryo during sprouting of the seed.

Bower [1]) gave a full description of this part of the lifehistoy. He says on p. 278:

„Early in 1881 I received from Java through the kindness of Dr. Treub, two parcels of ripe seeds of Gnetum Gnemon. On

1) T. O. Bower. The Germination and Embryology of Gnetum Gnemon. Quarterly Journal of Microscopical Science XXII. 1882. p. 277—299. tab. 25.

examining logitudinal sections of the endosperm of these seeds, it is seen that there is no embryo allready developped, the main body of the section consists of ordinary cells of the endosperm near its apex there is usually a cavity (but in specimens of G. Gnemon from the Kew Museum this is not always the case). The cavity is evidently due to rupture of the tissue, and its occurence may depend upon the manner of ripening of the seed. Among the cells of the endosperm may also be found numerous long tubular cells with walls which stain blue with a solution of I in K I; they have rather transparent protoplasm and a nucleus (I have never observed more than one nucleus); transverse septa occur in rare cases, but there does not appear to be any definite terminal cell cut off before germination. The course of the tubes through the endosperm is sinuous and for the most part longitudinal; where they traverse the cavity of the endosperm [1]) their course is more direct and here cases of branching may occasionally be observed..... The tubes may be traced backwards towards the apex of the endosperm and up to certain shrivelled bodies, which correspond in position and form (as far as could be judged in their desorganised condition) to the corpuscula of Ephedra. Whether this be their real nature remains to be decided by comparison with younger stages of development. We may for the present assume that they are the corpuscula and apply that term to them, while we call the tubular cells suspensors.....

Germination p. 279:

.....The period of germination is however, variable in different individuals. Owing partly to this fact and partly to the difficulty in obtaining suitable preparations, I have not succeeded in observing the first changes at the apex of the suspensor. The young embryo's are usually found near the axis of the endosperm, but at a very variable distance from its apex. Though the arrangement of cells in the youngest embryo's

1) No doubt the upper part of the Embryosac which contained nothing but nuclei.

which I have observed points to an origin from a single cell cut off from the apex of the suspensor, I have not seen any specimen of this except one doubtful case. This cell divides by anticlinal walls, of which none appear to be exactly median (fig. 3—7) [1]). The pheripherical cells of the group thus formed grow laterally along the surface of the suspensor, and dividing further by anticlinal walls form short embryonic tubes comparable to those of Welwitschia though much less developed than these (cf. STRASBURGER, Angiosp. und Gymnospermen p. 155) [2]). The whole embryo now presents the appearance of a single layer of cells covering the apex of the suspensor like a hood (fig. 5). A cell is next cut off from the suspensor by a transverse wall (fig. 8) [3]). Then follows longitudinal division of the cell thus formed, while in the lateral parts of the peripheral layer cells now begin to divide by periclinal as well as by anticlinal walls perpendicular to the outer surface of the embryo, and inclined to one another (fig. 6—9) [1]). This cell appears to be wedge shaped, in fact we have to deal with a growth with an apical cell.....

.....By this mode of increase of the peripheral tissue and by divisions both longitudinal and transverse of the central group of cells, a large embryonic body is formed in the apical part of which the tissues differentiate in a manner similar to that well known in other member of the group. Internally a root apex is formed while externally there appears at the apex of the embryonic body two cotyledons and a central apical cone (fig. 10). A definite epidermis covers the cotyledons and the hypocotyledonary stem, but, as is the rule in the Gymnosperms, the root has no such covering, the same is the case with the conical apex of the stem; here the peripheral cells divide by periclinal walls, while the extreme apex is not uncommonly occupied by a single large cell (fig. 13).

1) Fig. 6 here reproduced as fig. 64.
2) And his plate XXII, fig. 81—86 (Ref.).
3) Here reproduced as fig. 65.

Further Bower describes the origin of the feeder and sprouting of the seed, which being more of biological then of morphological value will have to be looked up in the original.

Although polyembryony is highly developped in Gnetum Gnemon only one embryo finally develops.

RECAPITULATION OF HISTORICAL PART AND PLAN OF WORK.

From the historical review we have seen that it took a great deal of time before the cause of the existing controversies as to the *organogeny of the female flowers* was found. The finding of it is due to Strasburger who discovered that two kinds of female flowers exist: the complete ones in the purely female inflorescences and the incomplete ones in the androgynous (usually called male) inflorescences, the former containing three, the latter but two envelops. Beccari was first in describing the organogeny of the female flowers completely; his results were confirmed by Strasburger and Karsten and are as will be seen by mine. The only point on which no uniformity of view has been obtained is the estimating of the morphological value of the different envelops.

The origin of the embryosacs has been fully described by Strasburger, his results have been confirmed by Karsten and as what I saw of it confirmed it also, I found no reason to penetrate deeply into the question.

The origin of the microspores has been described by Karsten, I have made no observations concerning them.

Sprouting of the embryosacs. Strasburger observed this up to the presence of several nuclei in the embryosac and as his material was not fertilised he finally found them filled completely with endosperm. Karsten considers Gnetum Gnemon particularly unfit for research. In his first work he describes the embryosac to be finally filled with primordial cells which

in Gnetum Gnemon L. accumulate in the chalazal part of the embryosac. In his second work he states that the primordial cells of his first paper are in reality large nuclei so that the embryosac finally contains a large number of nuclei while an endosperm formation may begin in the chalazal end of the embryosac. The difference between the first and second contribution of KARSTEN made a renewed investigation desirable, the results of which will be found below.

The sprouting of the microspores has been described by KARSTEN, some observations concerning it will be mentioned below; but details are preserved for a second paper.

Of *fertilisation* nothing was known, the grosser points will be treated in this paper.

Of the *development of the Embryo up to the time of shedding the fruit* nothing was known, it is this point with which this paper is especially concerned [1]).

The further *development of the embryo during the sprouting* of the seed has been described by BOWER, to whose observations I have nothing to add.

Research.

The inflorescences of Gnetum Gnemon L. begin with a pair of wedgeshaped opposite bracts. In the axillae of these bracts buds may be developped so that a panicle with opposite branches

1) Concerning these points considerable, though nothing complete, is known for other species as will be seen on perusal of KARSTEN's works. That I do not further mention his investigations is not due to little appreciation on my part but to the fact that small differences seem to exist between our results. I therefore hope to discuss the matter in full in my paper on Gnetum molluccanum, a species more closely related to those described by KARSTEN.

The reader is however earnestly requested to read what KARSTEN says about his species as to him undoubtedly belongs the honour of having discovered among the Gneta a mode of reproduction up till then entirely unknown in the vegetable kingdom. My work is only a building on the fundations laid by KARSTEN.

It may not be devoid of interest to state here that I was rather sceptical as to the results of KARSTEN's works, so that I have been continuously on the look out for something totally different. That notwithstanding this state of mind I attained results essentially the same, increases it seems to me their value.

arises or these buds may remain dormant. In the latter instance the whole inflorescence is a spike with a pair of bracts at the base, in the former the inflorescences consist of paniculated spikes. Whatever may be the case, the last branches are always spikes. The spikes begin by the formation of a kind of cupula, which surrounds the whole axis. These cupulae we must suppose owe their origin to a concrescence of bracts. When young, the bracts are crowded very close together. In fig. 1. Pl. II, we see such a young, unbranched inflorescence. It begins with the two wedgeshaped bracts, the one of which is turned away from us, so that in the drawing it is not visible. Immediately above it the first cupula is seen, it surrounds with its upper border the base of the next younger one and so do all the others except the terminal one, of course. Thus we notice the presence of six cupulae, all crowded very much together. Very soon after, a stretching of the different internodes takes place by which the spike is pushed upwards away from the wedgeshaped bracts (fig. 2. Pl. II). The buds in the axillae of the latter may now develop, by which process a pannicule arises, or they may not, in which case the inflorescence remains a spike. The stretching of the internodes besides causing the pushing upwards of the spike has also increased the distance between the nodes of the spike itself, thus giving the inflorescence an opportunity to put itself, by curvature of the lower internodes, perpendicular to the almost horizontal branches of the tree (fig. 2. Pl. II). After the internodes of the spikes have been pushed apart the different cupulae offer the appearance of a number of heads strung on the central axis. It is now seen that above each cupula a kind of yellowish cushion appears. This proves to consist of a large number of paraphysa-like hairs which are planted on a ringwall present in the axilla of every cupula. Above the yellow cushion and placed on the top of the ringwall a number of small, coneshaped greenish bodies are seen; it are the female flowers.

A quiet regular growth is following this stage for a while; by it all the young flowers profit at about the same rate so

that we find all young flowers belonging to one cupula to be of about the same size. (fig. 3. Pl. II). After a while again it is seen that the young flowers increase in size become frequently laterally compressed at the base and that the yellow cushion becomes smaller and smaller owing to the gradual destruction of the paraphysal hairs by the growing, pushing flowers. A little more growth still and the flowers are ready to be fertilised. Very soon after pollination the impregnated ones begin to grow faster than their less fortunate sisters and can thus be distinguished from those which have not been fertilised.

To obtain the first stages of fertilisation it is necessary to collect inflorescences like the one drawn in fig. 4 Pl. II, where with some routine the fertilised flowers can be distinguished from the not fertilised ones. Flowers at this stage will show the sprouting pollen on the top of the nucellus, the pollen-tubes having grown downwards in the nucellar tissue over a shorter or longer distance, while none of them have as yet reached the embryosac. It is of course from this point onwards that the collection of material for embryological research has to begin. Before doing this it is however necessary to assure one's self at some of the older inflorescences of the same tree that flowers of this tree have been pollinated, for if fertilisation does not take place the flowers grow all the same and gradually differences as to size occur also, owing to the more fortunate position some of them occupy in regard to the food supply. Such apparently fertilised but in reality unfertilised inflorescences can be distinguished generally from the fertilised ones in as much as the non-pollinated inflorescences contain a much larger percentage of *apparently* fertilised flowers than the pollinated ones.

This at first rather startling fact becomes very simple on a little after thought. Owing to the scarcity of male trees mentioned allready in the introduction, fertilisation is always a rare occurrence, so that generally but very few flowers of an inflorescence are pollinated. As these few impregnated flowers

begin to grow *very much* faster than their sisters do, they soon draw all the available food thus starving the latter, while in case no fertilisation occurs all the flowers answer the impulse of growth, so that no one comes so much in the ascendency to the others as to appropriate all or nearly all the food.

Therefore, in looking for recently fertilised Gnetum Gnemon one has to take home the apparenty unfertilised inflorescences with some very few flowers a little larger than the others. Only in very fortunate cases we may obtain inflorescences where so many flowers are fertilised as in that of fig. 6. Pl. II. This one was obtained from a female tree whose branches intertwined with those of a male tree. Generally an inflorescence of this appearance would prove to be unfertilised. As we see from the small figure at the left of fig. 6, four of the seven flowers of one internode were here fertilised. This figure 6 shows also how in the axillae of the wedgeshaped bracts single flowers may occupy the place usually taken by spikes. Flowers of the size of the larger ones in fig. 6 will generally prove to have formed their proembryo's allready so that the study of the fertilisation proper has to take place at material intermediate between stages like fig. 4 and such as those of fig. 6.

The scarcety of fertilised trees in nature makes it exceedingly difficult to obtain material of these stages in sufficient quantity, I am therefore trying to obtain it by means of artificial pollination. The results which I hope to obtain therewith will form the subject of a future paper. Of stages older than that sketched in fig. 6 little need be said; but few fruits reach maturity; in every inflorescence, generally but one or two become entirely ripe (see fig. 5 and 7. Pl. II). The fruits which in fig. 6 are green yet, will partly be yellow partly be red on stages like fig. 5 while those of the size of fig. 7 have a beautifull carmin-red colour. A fruit like the one in fig. 7 will soon drop and then prove to contain a large quantity of endosperm with a larger or smaller number of proembryo's, the embryo's proper developping during germination of the seed. In stages like the larger fruits of fig. 6 the prothallium is

small as yet, while in those of fig. 5 it has reached a considerable size. It will be seen from the pictures on this plate that if one collects the *unfertilised* flowers of fig. 4, 5, 6 and 7 one has an *apparently* fine series of consecutive stages for embryological study. As the collecting ground in Buitenzorg is rather distant from the laboratory and as the sojourns I could make in Buitenzorg were very short, while even then I had to devote by far the greater part of my time to other work, I had most of my material collected by a native herborist who was ordered to put the separate flowers at once in alcohol on the spot. Many an *apparently* fine series of *unfertilised* flowers I have thus obtained! It is only owing to the exceedingly large amount of material thus brought together that I have gotten the results I have. Yet a botanist with all his time at his disposal taking up his abode in a kampong where male and female trees are cultivated close together and taking his microscope and preserving fluids with him could obtain a fine series in a much shorter time than I did mine.

METHODS EMPLOYED.

Nearly all the sections drawn on the accompanying plates have been obtained by free-hand cutting. Work was started almost exclusively with the microtome, with the result that the images obtained could not be interpreted and, I am sure, never would have been, if microtome sectioning had not been abandoned. It shows once more that the microtome is good for detail study after one knows the general lay of the things but is misleading in all cases where considerably bended and twisted organs occur as for exemple here in the case of the proembryo's. On the other hand I expect to use it extensively in the studies about the details of fertilisation of Gnetum Gnemon as I have done allready with Gnetum molluccanum.

The material here used was nearly all preserved by the aid of strong alcohol only which for our present aims is sufficient, but I can state now allready from my experience with Gnetum molluc-

canum that hardening fluids like chromic-acetic, sublimate-acetic, Flemming etc. are indispensable for the study of nuclear details.

In accordance with the object of the present paper very little will be said about nuclear structures and consequently the staining methods have been of the simplest as usually the establishing of the presence of a particular nucleus was all I wished. For the study of nuclear structures in Gnetum molluccanum I have used very succesfully the Flemming's methylviolet-saffranine-orange stain.

ORGANOGENY OF THE FEMALE FLOWERS.

This chapter will contain little or nothing new but as the pictures obtained are very plain it was thought desirable, for completeness sake to reproduce them here. If one cuts a young female inflorescence where the cupulae are yet crowded together one obtains a picture like fig. 8. Pl. II. The section here drawn has been obtained by the aid of the microtome but later on, owing to the sclerenchyma present in the most different parts of the flowers one succeeds more quickly by making free-hand sections. It is seen by this section that a ringwall of meristimatic tissue is formed in the axilla of every cupula. This ringwall is uninterrupted all around the axis. Soon afterwards local growth of this meristematic wall gives rise to the formation of the young flowers (fig. 9. Pl. II), while paraphysal hairs arise at the base of the ringwalls (fig. 9. Pl. II). Soon after a slight stretching of the internodes takes place, now flowers in different stages of development are seen everywhere on the top of the ringwalls while the base is occupied by the above mentioned hairs in such a way that by these hairs and by the cupulae themselves the young flowers are very well protected (fig. 10, Pl. II).

That the three floral envelops arise in a centripetal direction as had allready become known through the researches of Beccari, Karsten and Strasburger is well illustrated by fig. 11, 12 Pl. II and fig. 13 Pl. III.

The rudimentary intermedian envelop in the incomplete female flowers is seen in fig. 14 Pl. III, while the only existing envelop of the male flower is pictured in fig. 15 Pl. III. A longitudinal very thick section of the female flower shows that the integument is irregularly lobed at the top (fig. 16 Pl. III), a fact which is seen better yet on a surface view after peeling off of the external envelop (fig. 17. Pl. III). This internal envelop grows out to a long tube projecting considerably above the outer envelops and functionating as a stigma as is seen in fig. 18 Pl. III, on longitudinal section, and in fig. 6 as well as at *a* fig. 4 Pl. II, on external view. We may therefore speak of an integumental stigma.

It is thus seen that the floral envelops really arise in the manner stated by former investigators so that the only questionnable point is the morphological value to be attributed to the different parts.

To my mind the views of Beccari and Strasburger who consider the whole flower of Gnetum as an adventitious bud are doubtless correct, consequently the morphological value of the different envelops only needs to be discussed.

Blume considered the external envelop as an ovary containing an ovule with two integuments. Hooker says nothing as to the morphological nature of the envelops but states that the inner envelop never contains vascular tissue while the two outer ones do. Strasburger considers all three of them to be of the nature of integuments, the two inner ones he claims to be homologous to the one internal integument of Ephedra, the outer one to the external integument of Ephedra.

Beccari considers the tip of the axis as a naked ovule, the internal envelop as an ovary, the intermedian envelop as the homologon of the staminal whirl of Welwitschia and the external envelop as a perianth. This view of Beccari seems to me to be of little value as the differences between the male flowers of Welwitschia and those of Gnetum are so large that it would be exceedingly hazardous to compare them and where even the stamen of Welwitschia is not at once comparable to the

stamen of Gnetum it seems to me irrelevant to try to see a homologon between a steril envelop in a female flower of Gnetum and a staminal whirl in a male flower of Welwitschia, the more so as in the female flower of Welwitschia not a trace of stamina can be seen.

It is therefore I think well to limit our criticism to STRASBURGER's view; he then considers all of the three envelops of Gnetum to be of equal morphological value. If we keep in mind however that the two outer envelops both contain vascular tissue while the inner one never does, it seems to me illogical to take them as to be all of equal value. If I would consider f. i. all three as the homologons of leaves the absence of vascular tissue in the internal one would speak much against my views.

Now STRASBURGER considers the outer one to be homologous to the external integument of Ephedra but the latest author on Ephedra JACCARD [1]) shows, I think conclusively, that the external envelop of Ephedra is of foliar origin, so that, if this be true, STRASBURGER's homologon of course is lost.

I therefore consider with BECCARI and STRASBURGER the female flower of Gnetum as an adventitious bud. This bud first forms two whirls of foliar origin, the outer and median envelop. According to this foliar origin of the two outer envelops the external one is first developped: is the eldest. After that the growing point stopped forming foliar organs, and transformed itself directly to an ovule with one integument. This explains why the inner envelop has no vascular tissue, while the two outer ones have.

Consequently a female complete flower of Gnetum consists of an orthotropous ovule provided with a single integument and surrounded by two whirls of bracts which for convenience's sake I will call internal and external perianth. In the incomplete flower the inner perianth became rudimentary, a fact which needs not to cause any astonishment.

1) See historical part.

In this way the only difference between the female flowers of Gnetum and those of Ephedra, if one accepts JACCARD's and my views, consists in the fact that Ephedra has one perianth-whirl while Gnetum has two. In both flowers the ovule provided with but one integument has arisen by direct transformation of the top of the axis of a bud. In the incomplete female flowers of Gnetum Gnemon the internal perianth whirl disappears, they are consequently built in exactly the same way as Ephedra-flowers. In these questions, of course, much if not all, depends on personal appreciation of the observed facts; yet, the fact that I came to results corresponding closely to those obtained by JACCARD in the case of Ephedra have given me the satisfaction of being able to dismiss the subject from my mind which is practically all one can obtain in a case like this.

ORIGIN OF THE EMBRYOSACS.

As I have no new *facts* to offer concerning this point I must refer the reader to the historical part at the beginning and the speculative part at the end of this essay.

THE EMBRYOSACS AND THEIR CONSEQUENT DEVELOPMENT.

a. External changes.

If we examine a flower of Gnetum Gnemon L. at a stage where the three envelops are allready well developped we obtain a picture like fig. 18 Pl. III. The larger and smaller cells near the base of the nucellus are a number of embryosacs. The embryosacs of this section are drawn at a much more considerable enlargement in fig. 19 Pl. III. The first fact which is noted is the comparative thickness of the embryosacwalls which make them appear much more cryptogamous than the embryosacs of most higher plants. In the section we have before us four embryosacs are seen lying in the same plane, while a fifth is lying in a plane a little above the other ones.

Of these five embryosacs the central one has not yet proceeded to develop and consequently contains but one nucleus while all the other ones have allready undergone further development and therefore have formed a number of nuclei. It is further noticed that one of the embryosacs, the lower right one, has grown quicker than any of the others and consequently has allready begun to compress one of them, so that we may safely assume that this will be the surviving one, while all the other ones will gradually become suppressed.

The peculiar consequences of the pushing aside of the non-surviving embryosacs can frequently give rise to very perplexing figures. Let us therefore look at some of the images obtained in the course of the investigation. In fig. 30 Pl. V, we find three embryosacs one of which has been pushed aside in front, a state of affairs which continues to exist at a much later age, as is seen from fig. 29 Pl. IV.

More curious are pictures like those obtained in fig. 32, where, after having removed the protoplasm by the aid of chloral hydrate, two small embryosacs are seen lying symmetrically near the top of the larger one. Such a case becomes queerer yet, when the pollentube (blue in fig. 33 Pl. V), has entered the large embryosac passing on its way between the two small ones. Though these two small embryosacs are lying in a plane above that of the larger one, the appearance is exactly that of three embryosacs lying in the same plane. The situation becomes perplexing when a case occurs like that seen in fig. 36 Pl. V where 4 reduced embryosacs are seen lying at the tip of the adult one, viz. two symmetrically to the left and right of the median line and two in the median line itself. Before one knows that the blue cell at the top is the pollentube, the picture is perplexing in the extreme; especially when the two small embryosacs of the median line are absent. The first explanation put on it was a parallel to the Angiosperms. The pollentube was taken to be the egg apparatus, the two rudimentary embryosacs, left and right, to be the synergidae and the prothallium in the large embryosac to be the antipodal

cells in a more primitive condition. Though a pity, this view was wrong.

Perplexing positions occupied by the embryosacs like the one just described have the advantage of keeping the observer continuously awake; less nice places are occupied f. i. by those marked R. M. in fig. 57 Pl. X.

This curious arrangement of the embryosacs, which offers nothing extraordinary after it has once been explained, has caused a great deal of perplexity at the beginning of the investigation.

b. Internal changes.

The young embryosac contains but one nucleus. This is divided into two, those into two again and so forth at least that is the way which is indicated by most authors. As however there exists a fundamental difference between the micropylar and the chalazal end of the embryosac of Gnetum Gnemon L., it is very possible that the nuclei found in the upper half are all descendants of the one daughternucleus of the original embryosacnucleus, while those in the lower half are descended from the other daughternucleus. The persistent absence of nuclear figures in my material of Gnetum Gnemon, which no collecting at the most different hours of the day or night seems able to remedy [a fact about which KARSTEN complains also], has made it impossible to follow this question up, yet it is a point of primary importance. I can but hope that in future some lucky chance may procure a material which will allow to settle this point.

After a while the nuclei are all arranged in a comparatively thin layer of protoplasma around an enormous central vacuole compare f. i. fig. 27 Pl. IV. After a while again the contour of the embryosac takes somewhat biscuit-like shape arising from the fact that a constriction takes place somewhere *below* the middle (fig. 28 Pl. IV). This contraction persists as is seen from (fig. 29 Pl. IV, fig. 33, 34 Pl. V, fig. 36 Pl. V, fig. 43 Pl. VII, fig. 45, Pl. VII fig. 46, 48 Pl. VIII, fig. 53, 54, 55 Pl. IX), until

further growth makes it appear *above* the middle (fig. 59 Pl. VIII, fig. 61 Pl. XI), while finally, when all the nucellar tissue has been destroyed by the growth of the embryosac-content it can't be noticed any more.

Up till now there was nothing inside of the embryosac but free nuclei, after this a formation of cells takes place at the chalazal end, which soon takes the definite shape of a kind of prothallium (fig. 29 Pl. IV). This prothallium as I will call it is undoubtedly present, at least in many cases, before fertilisation has taken place, that is before a pollentube has reached the embryosac. This fact can easily be established by setting the embryosac free by means of a pair of needles and turning it around and around. If pollentubes have reached the embryosac they can thus easily be seen. I am not able to state definitely wether it is formed without pollination that is without the stimulus of a pollentube growing into the nucellar tissue, but it is certain that it is formed before the pollentube has reached the embryosac, it consequently is no product of fertilisation as little as the formation of an ovule in flowers, pollinated at a time when no trace of an ovule existed (some Cupuliferae etc.), can be considered the product of fertilisation.

It will be seen, later on, that this prothallium plays a rôle entirely independant from the other parts of the embryosac and has therefore full right to be considered as a special formation, I might almost say as an organism.

An embryosac of Gnetum Gnemon L. consequently consists at this moment of a sac, constricted at some point below the middle, the lower end up to the constriction containing a prothallium, the part above it containing a large number of free nuclei. In this stage the embryosac can be fertilised, no further changes occur.

As the upper part only plays a rôle in the process of reproduction I will call that the fertil half of the embryosac, the chalazal end the steril half.

Pollination takes place, probably mostly through the action of the wind, though it may be that insects play a rôle in it. The pollen is caught by a drop of fluid at the tip of the integumental stigma and by evaporation of this fluid it is gradually drawn inwards until it reaches a slight cavity, a kind of pollenchamber at the top of the nucellus. This pollenchamber owes its origin to the degeneration of the cells at the top of the nucellus (comp. fig. 35 Pl. V and fig. 18 Pl. III). In this way a place particularly well fitted for germination is formed. A number of pollengrains is here collected; they soon send their pollentubes into the nucellar tissue directing them towards the embryosac. The nucellar tissue is full of starch, which doubtless serves as food to the growing pollentube as it gradually disappears around and at some distance in front of it. From this observation, I think, one may conclude that the pollentube secretes some starch-dissolving ferment.

The question of the origin of the pollentube-nucleus and of the generative nuclei will be kept for some future paper, it will suffice here to state that before reaching the embryosac three nuclei can be distinguished in it viz. one vegetative and two generative ones. As little as KARSTEN I could distinguish a generative *cell*, though KARSTEN did in the case of other species and I did in pollentubes of Gnetum Mollucanum Krst.

One or more pollentubes may finally reach the embryosac, they may perforate its wall at the top (fig. 33, 34 Pl. V, fig. 36, Pl. V, fig. 37, 39, Pl. VI, or at the side fig. 43, Pl. VII), but always at some place of the upper fertil part, never at the lower steril one.

The penetration occasionally occurs, as has been allready stated, at a point between two symmetrically arranged reduced embryosacs (fig. 36 Pl. V), these latter then produce the appearance of synergidae.

There may now be formed a more or less circular hole in the wall of the pollentube (fig. 42, Pl. VII), allowing the content to escape but this is rather the exception.

Usually one sees that the pollentube, after having penetrated into the embryosac begins to distend, a swelling which can attain collossal proportions (comp. fig. 40 Pl. VI, fig. 41 Pl. VII). This distension is probably due to a difference in concentration between the cellsap of the pollentube and that of the embryosac, in such a way that the former being more concentrated endosmose sets in by which the turgor of the pollentube increases to such an extent that the wall gives way before the strain and bursts at the weakest place: the tip. After this has occurred an open communication between pollentube and embryosac content has been established, the two generative nuclei are pushed into the embryosac while the vegetative or pollennucleus usually, if not always, remains inside of the pollentube (comp. f. i. fig. 41 Pl. VII, fig. 36 Pl. VI, fig. 37, Pl. VI, fig. 43, 42, 44 Pl. VII, fig. 45 Pl. VII etc.).

COPULATION AND ITS PRODUCTS.

At the moment the generative nuclei leave the pollentube their appearance is like that pictured in fig. 41 Pl. VII. The chromatin is collected in more or less regular balls in the center, accumulated in a mass which ressembles a raspberry somewhat.

A nucleolus can not be seen. The next stage I have observed is that pictured in fig. 42 and fig. 43. In both cases the pollennucleus is seen lying inside of the pollentube, while between the nuclei of the fertil part of the embryosac two nuclei of considerably larger size are seen. These are doubtless the copulation products of the two generative nuclei with two nuclei of the fertil part of the embryosac.

The peculiar arrangement of the chromatin has disappeared again, in fact the chromatin is not visible and each nucleus is again provided with one or two nucleoli. These and the following stages can best be seen by making a very thick longitudinal section of the nucellus in such a way that the embryosac is not injured; after that one isolates the embryosac

by means of a pair of needles. Subsequently one can use staining fluids or occasionally some dilute chloral hydrate to make relations plainer.

If one injures the embryosac one usually obtains nothing but unclear, mixed up pictures, especially for the later stages. A number of pollentubes may reach the embryosac at about the same time, their different points of penetration may be established by gently turning the embryosac around and around. Of every pollentube the generative nuclei copulate with two nuclei of the fertil part of the embryosac, so that finally by dividing the number of *large* nuclei seen in the embryosac by two, one knows the number of pollentubes that have penetrated into the embryosac. Owing to this cause the large copulated nuclei are found in pairs. Fig. 45 Pl. VII, shows two such pairs of nuclei lying near to the ends of the pollentubes belonging to them. The next step takes place by the large nuclei surrounding themselves with a rather dense mass of protoplasm, which can be plainly distinguished from the protoplasm of the embryosac. (The two nuclei at the left in fig. 45 Pl. VII). Subsequently these products of copulation surround themselves with a membrane and I will now call them Zygotes (the two at the right in fig. 45 Pl. VII). In this same picture the membranes can be plainly distinguished owing to the action of the alcohol which caused the protoplasm to contract. These zygotes may now attach themselves to the wall of the embryosac or they may become concrescent with the end of the pollentube (fig. 46, 47, 48, 49, Pl. VIII). In the latter instance the whole frequently ressembles, as can be seen from the pictures a proembryo forming the embryo, the pollentube simulating a suspensor. In the young zygotes peculiar spindle like structures occur sometimes, suggesting a throwing out of polar bodies, (cp. fig. 44 Pl. VII). It seems to me worth while to follow this question up and I expect to deal with it as soon as I have obtained the artificially fertilised material mentioned before.

THE SPROUTING OF THE ZYGOTES.

The Zygotes now begin to sprout and grow out to long tubes. Fig. 55 Pl. IX shows two pollentubes which have entered the embryosac, the one at the right shows at its tip two zygotes as yet unchanged while the one to the left shows two zygotes which are just beginning to sprout. The sprouting tube may very soon branch (Fig. 50 Pl. VIII) but as a rule, such branching occurs at a very much later moment. The direction taken by the sprouting zygotes or proembryo's is usually towards the top of the prothallium (fig. 53 Pl. IX), and it is seen that the nucleus moves towards the tip of the tube and on arriving there remains. Frequently a small projection is formed at the opposite end of the zygote (fig. 53, 55, Pl. IX, fig. 60, Pl. X) and occasionally this projection can become rather long (fig. 51 Pl. VIII). Usually no septa are formed in these proembryonic tubes but fig. 57, Pl. X shows one plainly.

As has allready been said the proembryo's try to reach the top of the prothallium but not unfrequently they get lost on their way. So the proembryo in fig. 51, Pl. VIII has perforated the wall of the embryosac and penetrated into the nucellar tissue where it will soon perish. Fig. 60 shows a proembryo which has grown in a direction almost diametrically opposite to the right one.

OTHER CHANGES IN THE FERTIL PART OF THE EMBRYOSAC.

About the time of the formation of the zygotes it is seen that a greater or smaller number of the nuclei of the fertil part of the embryosac surround themselves with a denser protoplasm, a membrane and thus form cells. I will call these retarded prothallium-cells of the fertil part. They may form regularly in the neighbourhood of the young zygotes (fig. 44, 45, Pl. VII) or they may be found rather irregularly distributed (fig. 60 Pl. X) or they may be limited to a very

small number, frequently but one or two (fig. 53, 55, Pl. IX, fig. 58 Pl. X). After these changes have taken place the rôle of the fertil part of the embryosac has been played, nothing more occurs in it, it is gradually obliterated owing to the growth of the steril part; its retarded prothalliumcells play no rôle whatever.

CHANGES IN THE STERIL PART OF THE EMBRYOSAC.

While studying the fertil part of the embryosac we have lost sight of the steril one. Yet this has undergone important changes in the mean time. When we saw it last (fig. 29 Pl. IV) it was very small and occupied by far the smallest part of the embryosac, while in fig. 59 Pl. X it has grown enormously and occupies by far the largest part of it. We notice that in fig. 29 Pl. IV several cells contain as yet a number of nuclei, while in fig. 34 Pl. V this has allready been remedied, every cell containing but one. Soon after it is seen that, owing to a lateral growth at about the middle of the prothallium its shape has become flask-like and now an enlarged cell may frequently be seen at the top (fig. 36 Pl. V). In other cases nothing of such and enlarged cell can be seen. Most frequently the tip of the prothallium is rather pointed and sticks in the contracted part of the embryosac (fig. 62 Pl. XI) this point can be very prominent (fig. 63 Pl. XI) it also can be barely visible (fig. 54 Pl. IX). In all cases, though, a kind of conus is seen, whose top is immersed in the constriction and whose base is planted on the broadest part of the prothallium (fig. 61 Pl. XI and others).

It is in the top of this conus that organs like those drawn in fig. 62 Pl. XI and fig. 56 Pl. X are found, organs which one is rather compelled to consider as rudimentary archegonia though certainty as to their nature can of course not be obtained. Yet the presence of a body like a canalcell in both of those pictured here, the regularity of the tissue around them, especially striking in fig. 62 Pl. XI must, I think, make us

believe that we have to deal with rudimentary archegonia; able to undergo some few cell division (fig. 56 Pl. X) all though they are never fertilised.

The projection of fig. 63, Pl. XI contained such an archegonium-like body also, but the sections obtained through it were not clear enough to be sketched.

These archegonium-like bodies are by no means common, yet they are not very rare either; after having once noticed them I at first felt satisfied that the tubes approaching them (fig. 63, Pl. XI) were the pollentubes ready for impregnation; we now know that these are the proembryo's.

RELATION BETWEEN THE PROEMBRYO'S AND THE STERIL PART OF THE EMBRYOSAC.

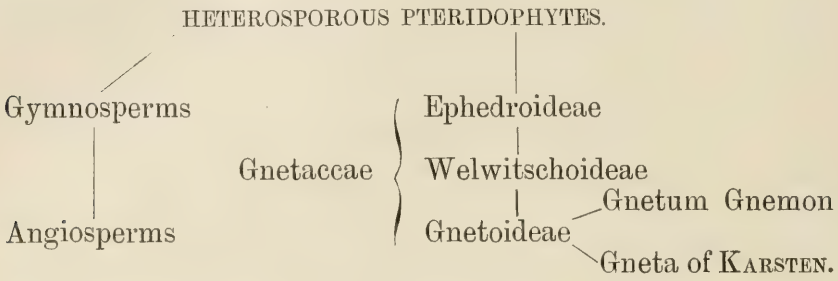
Fig. 63 Pl. XI shows very nicely the mode of approach of the proembryo's; they try to push in between the coneshaped projection of the prothallium and the nucellar tissue (cp. also fig. 53 Pl. IX, fig. 58, 60 Pl. X) etc. If they succeed in this they run over the surface of the coneshaped proces until they reach its broad base at which point they penetrate into the prothallium itself (fig. 61 Pl. XI) or run over the surface of it for some while yet before entering it. After this stage has been reached the prothallium enlarges considerably, destroying all the nucellar tissue and obliterating the fertil part of the sac, subsequently the fruit drops and the development is at an end for the present. The dropping fruit consequently contains besides the envelops of the flower nothing but a prothallium on which a number of proembryo's have become parasitic.

The formation of the embryo's proper occurs during the sprouting of the seed and has been described by Bower. (see historical review).

Theoretical conclusions.

It seems to me that the various investigations concerning the groupe of the Gnetaceae prove them to be of very ancient

origin. They must have originated before, or at the same time with, the Gymnosperms. The following diagram may show the way of their possible origin.



I am therefore inclined to consider the Gnetaceae as the aequivalent of the Gymnosperms and Angiosperms combined and running paralell to these, having originated entirely independent of them.

In these two paralell rows the Gymnosperms can be compared to the Ephedroideae the Angiosperms to the Gnetoideae.

The sexual apparatus of the Gnetoideae is much more reduced than that of the Angiosperms.

While no intermediate forms between Angiosperms and Gymnosperms are known, the Welwitschoideae form a link between the Ephedroideae and the Gnetoideae as has allready been pointed out by Karsten [1]). It is as he says easy to derive the Gneta described by him from a form like Welwitschia. To derive Gnetum Gnemon from Welwitschia seems at first very difficult, yet I think that the reader will agree with me in considering Gn. Gnemon as the more primitive form.

Of the groupe of the Gnetaceae Ephedra is doubtless the

1) Karsten (see p. 18 of the historical review) mentions the fact that occasionally three embryosacs may arise from the division of one embryosacmothercell. If any of such triplets ever attain adult size it would be exceedingly interesting to see if each perhaps formed but one, be it a steril or a fertil prothallium (see here after). I have one abnormal embryosac of Gnetum Ula Brgn. divided by a faint crosswall, each half of this embryosac is filled with a steril prothallium, yet in normal embryosacs of Gnetum Ula, one can distinguish a fertil and a steril part, though not so plainly as in Gnetum Gnemon L. This case will be discussed more fully in a future paper on Gnetum Ula Brgnr.

most primitive form known and can directly be compared with the Gymnosperms. Inside of the macrospore a prothallium [1]) is formed in which Archegonia very much like those of the Gymnosperms arise.

In the Genus Welwitschia a definite prothallium is formed also, but the Archegonia are very much reduced consisting of nothing but an prothalliumcell whose wall grows out to a projection for the purpose of meeting the pollentube.

In the Gneta described by KARSTEN no prothallium is formed before fertilisation and some of the free nuclei are fertilised. The formation of the prothallium here is but retarded; it takes place after fertilisation has occurred. I therefore can agree perfectly with KARSTEN in considering his Gneta as showing a case like Welwitschia, where the cells of the prothallia have not been formed. In other words KARSTEN's Gneta can be compared to a Welwitschia being fertilised at an earley stage of its development.

How about Gnetum Gnemon?

The *upper part* of the embryosac of Gn. Gnemon behaves like the *whole* of the embryosac of the Gneta described by KARSTEN and consequently could perfectly well be compared with the *whole* of the embryosac of Welwitschia; the lower part of the embryosac of Gn. Gnemon fills with a doubtless prothallium in which even organs, ressembling rudimentary Archegonia are found. This very peculiar behaviour, the formation before fertilisation of a Welwitschia prothallium reduced to its bare necessities viz. the nuclei only in the upper part and of an Ephedra- or Welwitschia-like prothallium in the lower part made me think of the possibility of considering the embryosac of Gnetum as the homologon of two macrospores. The

1) If we compare the different ways in which prothallia and »endosperms" arise (as illustrated by the investigations of Jaccard for Ephedra, Pfeffer and Heinsen for Selaginella, Campell for the Hydropteridae miss Soleska for the Gymnosperms, and many others for the groups allready mentioned and for the Angiosperms, we must conclude, I think, that it is almost hopeless to suppose that they will ever show us what is primitive and what is due to secundary adoptations.

more so as the two parts of the Gnetum Gnemon embryosac behave later on in a totally different and independant manner and as I once found an embryosac of Gnetum Ula, divided by a crosswall.

This view was certainly a way out off the difficulty of interpreting the embryosac of Gn. Gnemon and in tracing the cellular-ancestry of the embryosac of Gnetum Gnemon (see red lines in the figures borrowed of STRASBURGER) I could prove that the embryosac of Gnetum Gnemon arose by the division of an embryosac mothercell into *two* cells, each of which is able to develop to an embryosac.

As a macrospore mothercell among the Pteridophytes gives rise to four macrospores I thought my view as to the bisporal nature of the Gnetum-embryosac much strengthened. Meeting thusfar with success on the slippery road of speculation I thought I might go a little further and try to find the same thing true for one or the other of the Angiosperms. For reasons to be stated below Balanophora would be exceedingly welcome. A perusal of TREUB's memoir really proved that the mothercell of the embryosac divides but once in forming the latter. This of course lead to the consideration of the question whether *all* Angiospermic embryosacs might not be of a bisporal nature. The circumstance that my *speculations* were rooted in facts viz. the cellular-ancestry of the embryosac, made me write them out and send them to Dr. TREUB, begging him to forward his judgement to me. This was very unfavorable to my views. Dr. TREUB states that the base of my speculation is wrong, in as much as there is no reason to suppose that the Angiosperms should divide their macrosporemothercell in the original way, that on the other hand we have much reason to accept that *„for the macrospores of the Phanerogams the original way of division of the mothercell has been lost."* I must acknowledge having lost sight of this important point and as I agree perfectly with Dr. TREUB's objection there is no reason to attribute a bisporal nature to the embryosac of Gnetum.

This view having thus been discarded the question must be

faced how can the difference of the two halves of the macrosporeal content be explained? Nothing remains but to consider the whole content of the embryosac of Gn. Gnemon as the homologon of the Welwitschia prothallium.

The upper part of the prothallium must have been reduced to its bare necessities viz. the nuclei, while the lower part remained as it was in Welwitschia. Gnetum Gnemon consequently is an intermediate form between Welwitschia and the Gneta described by KARSTEN.

The difference in the two halves of the embryosac of Gnetum Gnemon is consequently due to a reduction in the upper part of the prothallium, a reduction which in the other Gneta has allready extended over the whole of the prothallium.

The subsequent growth of the lower part of the prothallium and its serving as a foodsupply to the embryo's originated in the upper half must have been secondarily acquired. The formation of some „endospermic" cells in the fertil part after fertilisation has taken place is simply a retarded prothalliumformation.

The occasional formation on the lower part of the prothallium of archegonium-like bodies must be considered as a case of atavism reaching backwards outside of the limits of the genus. Concluding and recapitulating I think the Gnetaceae must be considered to be entirely independent in their origin of the Angiosperms. No Gnetacea has ever been an Angiospermic-ancestor.

If the few forms of the Gnetaceae now existing had become extinct nothing would have made us conclude that such a groupe had ever existed.

While in the Angiospermic line of descent the archegonium has been reduced to a simple cell, the reduction in the Gnetum-line has been pushed to its utmost limit viz. to a single nucleus.

IS A COMPARISON BETWEEN THE CONTENTS OF THE ANGIOSPERMIC-EMBRYOSAC AND THOSE OF THE GNETUM-EMBRYOSAC POSSIBLE?

Before going into this question it will be well to see what difficulties we meet in the interpretation of the contents of the Angiospermic-embryosac.

The greatest difficulty in the estimation of the morphological value to be attributed to the different parts of the Angiospermic embryosac was to my mind, our total ignorance as to the possible morphological value of the polar nuclei.

It needs only be remembered that the embryosac-nucleus among the Angiosperms divides into two, the one daughter-nucleus moving towards the micropyle the other towards the chalaza. Each of these nuclei gives rise to four new ones, in the micropylar part one becomes the oval nucleus, two become synergidal nuclei while the fourth remains free and is called a polar nucleus.

Of the four chalazal nuclei three become nuclei of antipodal cells while the last one remains free as a polar nucleus also. These two polar nuclei subsequently fuse together to the endospermnucleus from which all later endospermnuclei are descendants.

The meaning of this process is of the most obscure, the morphological value of each of these nuclei only more so. MANN in his work on the embryosac of Myosurus [1]) has tried to explain this as a fusion of sexual nuclei but after carefull perusal of his memoir the only conclusion I can come to is that — even if one accepts MANN's view — this would be a fusion of *two female* nuclei — an extraordinary proceeding — which proves nothing.

Against this view of the sexuality of the polar nuclei TREUB's masterly investigation of the female organ of Balanophora elongata Bl. speaks loudly and this work gives us — for the first time — a clue at least, as to the morphological value of the polar nucleus.

TREUB observes that the first occurrences in the embryosac of Balanophora are normal. In the usual way the division of the nuclei takes place, in the usual way at the one end an ovum, two synergidae and a polar nucleus are formed, in the usual

1) GUSTAV MANN. The embryosac of Myosurus minimus L., a cell study. Transactions and Proceedings of the Botanical Society of Edinburgh 1892.

way the other end contains four nuclei; that no antipodal *cells* are formed is a question of little importance.

Subsequently the *ovum and synergidae die* and obliterate so that of the four nuclei belonging to the sexual part of the embryosac it is only the polar nucleus which remains alive. That it is the *polar* nucleus which survives and not one of the synergidal nuclei or even the oval nucleus has been proved by Treub beyond the possibility of doubt. The three antipodal nuclei together with the chalazal polar nucleus abort also — so that finally *the only living nucleus inside of the embryosac is the micropylar polar nucleus.*

This micropylar polar nucleus now divides into two cells, a superior and an inferior endospermic cell; the inferior one dies, the superior continues to divide and finally forms the whole endosperm which is afterwards found inside of the embryosac.

This endosperm Treub considers to be a prothallium which apogametically forms later on an embryo.

As I do'nt think that anything can be said against Treub's statements I think I may be allowed to draw the logical conclusion *that the micropylar polar nucleus has the nature of a vegetative prothallial nucleus.*

The fusion of these two prothallial nuclei is therefore a fusion of vegetative nuclei, a fact which frequently occurs.

The vegetative nature of the polar nuclei has allready been pointed out by Karsten in his work on Gnetum, but Treub's research brings the first basis for this assertion.

Karsten on the same place assumes that the antipodal cells are a reduced eggapparatus which he makes plausible by Treub's discovery of the chalazogamy, reasoning that before a sharp separation between porogamy and chalazogamy had developped it would have been important for the plant to have had an eggapparatus at both sides of the embryosac. This view of Karsten, is as he points out strengthened by the fact that this rudimentary eggapparatus afterwards becomes destroyed. Treub's investigation of Balanophora showing the rudimentary

nature [1]) and subsequent desorganisation of an undoubted eggapparatus gives further support to this view.

I therefore suppose that, untill knowledge to the contrary be forthcoming we have in the angiospermic embryosac two eggapparatusses the one of which (the antipodae) is rudimentary and but two prothallial nuclei [2]).

If we compare this with the facts found in Gnetum Gnemon all nuclei of the upper part of the embryosac, which can not be fertilised i. o. w. those which after fertilisation form the „endospermic" cells are the homologon of the micropylar polar nucleus, the large firm steril prothallium in the lower part is the homologon of the chalazal polar nucleus.

The nuclei in the upper part of the embryosac which can be fertilised are the homologons of the eggapparatus, the reduced-archegonia on the lower prothallial part are the homologon of the antipodes.

All changes after fertilisation serving to supply the embryo's with the necessary food are secondary, this necessity causes the Angiosperms to divide repeatedly their only prothallial nucleus remaining viz. the „endospermnucleus" it causes Gnetum to increase the bulk of the lower part of its prothallium.

RECAPITULATION AND CONCLUSIONS OF THEORETICAL PART.

Angiosperms.	Morphological nature.	Gnetum Gnemon.
Eggapparatus	= archegonia	= fertil nuclei
Microp. Polar nucleus	= prothallium	= steril nuclei of upper part
Chalazal Polar nucleus	= prothallium	= prothallium in lower part
Antipodes	= rudimentary archegonia	= rudimentary archegonia on lower part
Endosperm	= prothallium	= growing prothallium of lower half

1) A comparison between the eggapparatus of Balanophora and that of the Balanophoreae, Rhopalocnemis shows the former from the beginning to be very reduced compared with that of the latter. The eggapparatus of Balonophora ressembles more or less antipodal cells,

2) If as STRASBURGER assumes the antipodal cells were rudiments of a prothallium we would expect them to develop in a case of apogamy like that described by TREUB. They are on the contrary very rudimentary; antipodal *cells* not even being formed.

SUMMARY OF RESULTS [1]).

I. Organogeny of the female flowers.

The results obtained by BECCARI, STRASBURGER and KARSTEN are confirmed; the envelops which surround the nucellus arise in centripetal direction. The female flowers in the purely female inflorescences possess three, those in the pseudo-androgynous ones two envelops. If in exceptional cases a female flower of the pseudo-androgynous inflorescences develops further it possesses three envelops. Owing to the extreme rarity of such an occurrence the development of this abnormality could not be studied.

The flower of Gnetum Gnemon L. is morphologically an adventitious bud (STRASBURGER, BECCARI).

It is believed that the ovule is originated by direct transformation of the top of the bud-axis. The inner envelop is considered to be the only integument present. The two outer integuments are two whirls of bracts which the author calls perianth. The outer perianthwhirl contains stomata as does the perianth of Ephedra after JACCARD's investigation.

II. Fertilisation and embryogeny.

Gnetum Gnemon forms several embryosacs in the way described by STRASBURGER. In all, or nearly all the number of nuclei increases. Generally but one attains full size.

If no fertilisation occurs the embryosac becomes filled with endosperm.

The adult embryosac contains a large central vacuole surrounded by a comparatively thin layer of protoplasm in which numerous free nuclei, containing but little chromatin are seen. Before fertilisation a constriction is seen in the Embryosac

1) See: LOTSY. Resultate einer Untersuchung ueber die Embryologie v. Gnetum Gnemon L. Bot. Centralbl. 1898.

separating a smaller lower from a larger upper part. The shape of the embryosac consequently becomes biscuit-like. Before the pollentube has reached the embryosac the lower smaller part fills itself with a tissue to be considered as a prothallium.

The nuclei in the larger upper part remain free, no cell formation takes place in that part.

The top of the prothallium occasionally contains archegonium-like bodies, which even if this interpretation of their nature be right, yet are rudimentary as they are never fertilised.

At this stage the embryosac awaits fertilisation.

At the moment of coming near to the embryosac the pollentube contains one vegetative and two generative nuclei.

One or more pollentubes penetrate into the embryosac, either at the top, or at the sides but always above the constriction viz. in the part which contains free nuclei only.

Each of these pollentubes discharges its two generative nuclei into the embryosac.

Each generative male nucleus copulates with one of the free nuclei of the fertil part of the embryosac. Consequently two copulation products belong to every pollentube penetrated. The copulation products are very much larger than the embryosac nuclei and therefore easily seen.

Every product of copulation subsequently surrounds itself with a denser mass of protoplasm.

The cell thus originated forms a cellulose membrane, it is now called a Zygote.

Some of the remaining free nuclei of the embryosac surround themselves with plasma and cellulose-walls thus forming what the author calls retarded prothallial cells of the fertil part of the embryosac. The other free nuclei perish sooner or later, sometimes very much later.

The zygotes frequently become concrescent with the tips of the pollentubes belonging to them. The whole then simulates a proembryo forming an embryo proper, the pollentube looking like a suspensor.

The zygotes frequently remain free.

The zygotes subsequently sprout to long tubes, the nucleus moves towards the tip of the sprouting tube.

Generally the tip of the sprouting zygote (proembryo) is directed towards the top of the prothallium.

On reaching the latter they push themselves between the prothallium and the wall of the embryosac, finally penetrating into the former.

Subsequently the prothallium begins to grow considerably, destroys the nucellar tissue and finally one sees a large prothallium carrying on its top a small cavity, being the obliterated fertil part of the embryosac.

In this cavity the shrivelled zygotes may be seen while their sprouting tubes have grown downwards into the prothallium. Branching may here occur. On this stage of the development the seeds drop. The further development of the embryo has been studied by Bower. The embryosac of Gnetum Gnemon L. is the morphological aequivalent of *two* macrospores.

EXPLICATION OF PLATES.

PLATE II.

Fig. 1. Very young female inflorescence; the cupulae are yet close together, the bracts are adpressed to the lowest cupula. Natural seize.

Fig. 2. Young female inflorescence; the cupulae have gone apart; the whole inflorescence has been pushed upwards. The yellow dots above the cupula are the tips of the paraphysal hairs. The curving upwards is beginning. Natural seize.

Fig. 3. Young female inflorescence, allready nearly erect. The internodes have grown. Nat. seize.

Fig. 4. A little older stage. At *a* the tip of the integumental stigma is visible. The larger flowers have just been fertilised. Nat. seize.

Fig. 5. Stage older than fig. 6, three young fruits are plainly discernable Nat. seize.

Fig. 6. Stage a little older than fig. 4. Integumental stigmata well visible. Fertilised flowers easily distinguished from the unfertilised ones. In the small figure to the left a picture of a cupula seen from above, the flowers 1, II, III, IV are fertilised, the others are not. Nat. seize.

Fig. 7. Inflorescence on which but one fruit has become ripe. Nat. seize.

Fig. 8. Longitudinal, microtome section of a stage somewhat younger yet than that of fig. 1. The ringwall in the axillae of the cupulae has allready been formed. × 36.

Fig. 9. Longitudinal section of a somewhat older stage, showing development of flowers on the top and of paraphysal hairs (at. *a.*) at the base of the ringwall. × 67.

Fig. 10. Longitudinal section of an inflorescence a little younger than that of figure 2, showing flowers in different stages of development and paraphysal hairs. × 12.

Fig. 11. Longitudinal section of female flower, showing formation of external perianth (E. P.). × 300.

Fig. 12. Idem, showing formation of internal Perianth (I. P.). The external Perianth (E. P.) has allready grown considerably. × 300.

PLATE III.

Fig. 13. Longitudinal section of female flower, showing formation of integument × 300.

N. = Nucellus
I. = Integument
E. P. = External Perianth
I. P. = Internal Perianth

Fig. 14. Longitudinal section of incomplete female flower of a pseudo-androgynous inflorescence, showing presence of Rudimentary Internal Perianth. × 300.

N. I.; I. P.; E. P. as in fig. 13.
R. I. P. = Rudimentary Internal Perianth.

Fig. 15. Longitudinal section of young

male flower, showing presence of perianth (P.). × 300.

Fig. 16. Thick longitudinal section of older female flower, showing crenate free border of the integument. × 50.

Letters as in fig. 13.

Fig. 17. Surface view of young female flower after cutting away of the external Perianth, showing fingershaped processes on the free border of the integument × 50.

P. o. I. o. E. P. = Place of Insertion of External Perianth.

Fig. 18. Longitudinal section of adult female flower. × 50.

E. P. = fleshy External Perianth.

I. P. = stoney Internal Perianth.

I. = integumental Stigma.

N. = nucellus, showing at the top the begin of the formation of the pollenchamber.

Fig. 19. Longitudinal section of the nucellus, showing stretching of hypodermal cells after STRASBURGER.

Fig. 20. Idem, showing formation of embryosac mothercells, after STRASBURGER. The dark black contour of the embryosac mothercells has been put in by me.

Fig. 21. Idem, after STRASBURGER. Three embryosac mothercells are present. Darkblack contour put in by me.

PLATE IV.

Fig. 22. After STRASBURGER. As fig. 21 Pl. III. Tapetal cells very plainly visible.

Fig. 23. As fig. 22. The first nuclear division takes place in the central embryosac mothercell.

Fig. 24. After STRASBURGER. Formation of embryosacs by the embryosac mothercells. The two sistercells to the right both develop to embryosacs, of the left embryosac-mothercell only the upper daughtercell develops. The lower one degenerates. The red color put in by me; here and in the next figure the embryosac which afterwards is destroyed is indicated by dotted lines.

Fig. 25. After STRASBURGER. The cells with the red contours are the daughtercells of an embryosacmothercell, the upper one obliterates, the lower one becomes an embryosac.

Fig. 26. Longitudinal section of adult flower, showing position of young embryosacs. × 50.

Fig. 27. Cluster of embryosacs from fig. 26. × 850.

Fig. 28. Embryosac showing the numerous free nuclei and the constriction below the middle. × 75.

Fig. 29. Formation of prothallium in lower part of embryosac. × 75. The prothalliumcells are as yet polynucleated. An embryosac being pushed aside is seen near the top at the right

PLATE V.

Fig. 30. Three embryosacs lying in one row. × 100.

Fig. 31. Two embryosacs, the one to the right will survive, the other one obliterate. × 100.

Fig. 32. Three embryosacs, after dissolving of the contents by means of chloral hydrate. × 50. The two reduced ones are lying at the top of the adult one, symmetrically in regard to the median line. The large embryosac has not yet developped a prothallium.

Fig. 33. After dissolving of the contents by means of chloral hydrate. The contour of the large embryosac is red, it has formed its prothallium in the basal part. The two reduced embryosacs, red also, are lying about symmetrically to the left and right of the median line, between them the pollentube (drawn blue) has pas-

sed. Its tip after penetrating into the large embryosac has become distended, probably due to endosmosis. × 50.

Fig. 34. Embryosac isolated and subsequently cut in halves. One half × 100 The prothalliumcells (γ) are mononucleated. The pollentube (blue) has penetrated into the embryosac (red). Among the free nuclei of the fertil part a large male generative nucleus is seen at α. The prothallium is kept black.

Fig. 35. Showing degeneration of cells at the top of the nucellus preparatory to the formation of a pollenchamber. × 1200.

Fig. 36. Embryosac, allready fertilised. × 100. The large embryosac is drawn red, the nuclei and protoplasm of the fertil part red also. The pollentube which has penetrated, blue, it contains besides protoplasm and some starch but the pollennucleus; the generative nuclei not visible in this section. At the top are four reduced embryosacs (black) the two larger ones left and right to the median line, the two smaller in the median line. Prothallium drawn in black.

PLATE VI.

Fig. 37. The top part (A) of fig. 36. × 600.

Fig. 38. The top of the prothallium (B) of fig. 36. × 600.

Fig. 39. The top part (A.) of fig. 36. × 250, after dissolving of the contents by means of chloral hydrate and staining with »Bismarckbraun". The colors here and in the other figures are diagramatic.

Fig. 40. Longitudinal section of part of the nucellus, showing pollentube penetrating into the embryosac. × 50.

P. = Pollentube.
R. E. = Reduced Embryosac.
F. = Fertil part of embryosac.
S. = Steril part of embryosac.

PLATE VII.

Fig. 41. Pollentube just burst after having penetrated the embryosac. × 510.

The two larger nuclei are the generative ones, the small one is the pollen nucleus.

Fig. 42. Part of Embryosac, immediately after fertilisation. × 510.

P. N. = Pollennucleus.
H. = Hole in the wall of the pollentube through which the generative nuclei have escaped.
C. P. = Copulationproducts of one generative nucleus and one nucleus of the fertil part each.

The oter nuclei are nuclei of the fertil part of the embryosac.

Fig. 43. Another case like fig. 42. × 510. Letters as in flg. 42.

Fig. 44. Next step in the development. × 510.

P. = Pollentube.
P. N. = Pollennucleus.
W. O. E. = Wall of Embryosac, adpressed to it two free nuclei of the fertil part of the embryosac.
Z. = Zygotes.

The other cells are retarded prothallial cells of the fertil part of the embryosac.

Fig. 45. Embryosac into which two pollentubes have entered. × 250. Stained with methylen green + 1% acetic acid and after washing out, with gentian violet.

R. E. = Reduced Embryosacs.
P. = Pollentube N°. 1.
O. = Opening of pollentube N°. 2.
P. N. = Pollennucleus.
Z. = Zygotes.

C. P. = Copulation products just surrounding themselves with a denser protoplasm.

N. F. P. = Nuclei of fertil part.

R. P. o. F. P. = Retarded prothalliumcells of fertil part.

P. C. o. S. P. = prothalliumcells of steril part.

PLATE VIII.

Fig. 46. Fertilised embryosac. × 100.

Z. = Zygotes concrescent with the top of the pollentube.

N. o. F. P. = Nuclei of fertil part.

Fig. 47. Upper part of preceeding figure after isolation and after dissolving of contents by means of chloral hydrate. × 250.

P. = Pollentube, with the thin end outside of the embryosac.

I. I. = limits of the hole made in the wall of the embryosac by the pollentube.

Z. = Zygotes concrescent with the top of the pollentube.

Fig. 48. Fertilised embryosac. × 100.

R. E. = 4 embryosacs, two larger and two smaller ones, all lying in planes above that of the adult embryosac.

P. = Pollentube.

Z^1. = Zygote concrescent with the top of the pollentube.

Z^2. = Zygote concrescent with zygote Z^1.

Fig. 49. Two zygotes concrescent with top of pollentube. × 425.

Fig. 50. Free zygote, allready sprouted, forming a branching proembryonal tube. × 600.

Fig. 51. Older embryosac. × 50. Sprouting zygote with two sprouting tubes, penetrating by mistake in the nucellar tissue.

Fig. 52. Embryosac. × 50. Sprouting zygote. Tube taking the right direction, towards the top of the prothallium.

PLATE IX.

Fig. 53. Embryosac. × 75.

P. = Pollentube.

R. P. C. of F. P. = Retarded prothalliumcells of fertil part.

Z. = Zygotes, the one having sprouted, its nucleus is now situated at the tip of the proembryo, which tip just pushed in between the steril prothallium and the wall of the embryosac.

Fig. 54. Embryosac. × 50. Isolated. The curve is artificial, caused after isolation. The longitudinal axis of the prothallium ought to be in one straight line with the longitudinal axis of the fertil part of the Embryosac.

S. Pr. = steril prothallium.

R. Ar. = Rudiment of Archegonium.

Fig. 55. Upper part of embryosac of fig. 54. × 320. Letters as in fig. 54.

PLATE X.

Fig. 56. Rudiment of Archegonium of fig. 55. × 850.

Fig. 57. Embryosac. × 200.

R. E. = Reduced Embryosac.

P. T. o. Z. = Proembryonic tube of zygote which was lying in another section of the same sac.

The unusual case of a septum in a proembryonic tube while yet in the fertil part of the embryosac here occurs.

Z. = Zygote.

S. Z. = sprouting zygote.

G. N. = male generative nucleus.

T. P. = Top of prothallium.

Fig. 58. Embryosac. × 265. After dissolving of contents by means of chloral hydrate. Showing 3 pairs of zygotes.

Zα and Zα′ belonging to pollentube Pα.

Zβ and Zβ′ belonging to another pollentube not visible in the section.

Zγ and Zγ′ belonging to a third pollentube not visible in the section.

The proembryomic tube of Zγ′ is branching after having reached the prothallium. This is usualy the case.

T. o. P. = Top of prothallium.

Fig. 59. Embryosac after formation of the proembryo's. Showing relative seize of fertil part of Embryosac and of prothallium. The constriction of the embryosac is now *above* the middle, the prothallium is laterally extended. × 36.

F. P. = Fertil part of Embryosac.

C. o. P. = Coneshaped part of Prothallium.

Pr. = Prothallium.

Fig. 60. Upper part of embryosac of fig. 59. × 150.

Z. = Zygote sprouting in the usual way.

Z. t. w. = Zygote whose sprouting tube takes a wrong direction.

P. o. Z. w. i. U. d. b. Pr. = Proembryonic tube of Zygote which is unvisible disappearing behind prothallium.

P. o. Z. w. i. U. p. i. fr. o. P. = idem passing in front of prothallium.

A. B. o. Pr. T. = Abnormal branch of this proembryonic tube taking wrong direction.

R. P. C. o. T. P. = Retarded prothalliumcells of fertil part.

PLATE XI.

Fig. 61. Old embryosac. × 80.

A. and B. = Proembryo's running over the surface of coneshaped part, cut off at both ends.

C. Proembryo running over blue surface of coneshaped part and at its base penetrating into the prothallial tissue.

D. = Proembryo disappearing behind prothallium.

E. = Proembryo cutt off at both sides before reaching the prothallium.

Fig. 62. Archegoniumlike formation in top of prothallium. × 300. Longitudinal section.

Fig. 63. Surface view of archegoniumlike formation with proembryonic tubes, which look like pollentubes approaching it. × 300.

Fig. 64. Tip of proembryonic tube during sprouting of the seed. × 175. After Bower.

Fig. 65. Idem, younger stage. × 175. After Bower. For explanation of the two latter figures see historical part.

CLADOPUS NYMANI n. gen., n. sp., eine Podostemacée aus Java,

VON

HJALMAR MÖLLER, LUND.

Flores hermaphroditi, nudi, ante anthesin in spathellis ovoideis inclusi et pedicello apice hamato adcumbentes, postea e spathella apice scissa surrigentes, demum suberecti. Stamen unicum, introrsum, filamento gracili, hyalino. Ovarium suboblique ellipsoideum, læve, biloculare. Stigmata 2, lanceolata, antheram versus plus minus incurvata. Capsula lævis, suboblique ellipsoidea, valvis inæqualibus, majore in pedicello persistente et plus minus ab apice ad basim involuta, altera decidua. Semina numerosa, ellipsoidea.

Planta humillima, cum capsula c. 9 mm. alta. Radices c. 1,5—2 mm. latæ, scopulo depressæ, monopodialiter ramosæ. Gemmæ secundum margines radicis sparsæ. Caules floriferi erecti, leviter dorsiventrales, tantummodo c. 3 mm. alti, basi densissime foliati. Folia caulium fertilium irregulariter digitata, segmentis 4—7; rosularum sterilium vel integerrima, supra canaliculata, linearia vel digitata uno segmento valde elongato. Filamentum ovarium capsulamque superans. Loculi antheræ fere paralleli, valde disjuncti, late elliptici. Granula pollinis didyma. Stigmata triangulari-lanceolata, papillosa. Capsula c. $1^1/_2$—$1^3/_4$ mm. longa, c. 1 mm. lata.

DIE WURZEL.

Die Wurzeln sind von dunkelgrüner Farbe und sitzen auf dem Substrat so fest angekittet, dass es nicht möglich ist, grössere Stücke derselben mit einem Messer loszumachen. Sie schmiegen sich allen Unebenheiten des Substrates an, und füllen dieselben vollständig aus. Stirbt ein Individuum, so bleiben die Wurzeln jedoch eine Zeit lang sitzen, verlieren aber bald ihr Chlorophyll. Sie werden dabei ganz weiss und sehen wie Zeichnungen auf dem Steine aus.

Die Verzweigung der Wurzeln ist sehr reichlich, so dass ein einziges Individuum eine Fläche von mehreren Quadrat-decimetern bedecken kann. Oft wachsen Wurzelverzweigungen der verschiedenen Individuen über einander und bilden ein nicht entwirrbares Chaos von Wurzeln. An den Stellen, wo die Wurzel sich frei hat entwickeln können, ist die Verzweigung immer regelmässig. Vom Centrum strahlen die Hauptzweige der Wurzeln nach allen Richtungen aus, und verzweigen sich dann monopodial. Die Verzweigung kann mehrere Male wiederholt werden. Gewöhnlich entspringen die Zweige an einander gegenüberliegenden Seiten einer älteren Achsel; zuweilen sieht man doch Individuen, wo die Zweige nicht paarweise ausgehen, sondern auf abwechselnder Höhe sitzen. Wenn die Wurzel an solchen Stellen wächst, wo das Licht keinen Zutritt hat, bleibt sie beinahe ganz unverzweigt. An solchen Stellen beobachtet man, dass die Wurzel, wie von einer chlorophyllführenden Wurzel zu erwarten ist, positiv heliotrop ist. Wenn eine Wurzelverzweigung unter einen Stein hineingewachsen ist, setzt sich dieselbe nicht in dieser Richtung fort, sondern neigt sich nach aussen. Ferner ist die Wurzel wie alle anderen dorsiventralen Organe plagiotrop.

Die Wurzelverzweigung entsteht endogen, vom Centralcylinder aus. Die junge Verzweigung scheint seitlich von der alten hervorzubrechen. Der Scheitel ist mit einer Wurzelhaube bedeckt (Taf. XIII, Fig. 8), die jedoch nur das aller-äusserste Ende desselben bedeckt und sich an der dorsalen Seite ziemlich weit

ausdehnt. Sie liegt also wie ein Nagel, der zugleich den Scheitel schützt. Die Wurzelhaube besteht aus einer einzigen Schicht von Zellen mit weitem Lumen. Gerade am Scheitel findet sich jedoch unter der grosszelligen Schicht eine kleinzellige, mit nur wenigen Zellen. An der Figur (Taf. XIII, Fig. 8) ist zu sehen, dass die Wurzelhaube leicht abfällt; am oberen Rande, hat sie schon angefangen sich abzulösen. Weil die Wurzelhaube so klein ist und so leicht abfällt, wird sie leicht übersehen. Dadurch erklärt sich meiner Meinung nach die Angabe über mehrere Podostemacéen, welche man häufig sieht, dass die Wurzelhaube bei ihnen fehlt. An der Wurzel macht sich eine starke Dorsiventralität geltend, was allerdings auch ganz natürlich ist wegen der Art des Wachstums. Die dorsale Fläche ist gleichförmig gewölbt, am stärksten in der Mitte, und nach den Seiten hin regelmässig geneigt.

Verzweigungen, welche fertile Sprosse tragen, haben eine Breite von zwei bis drei Millimeter; an sterilen Sprossen kann dieselbe das Doppelte betragen. Die Höhe verhält sich zur Breite etwa wie 1:6. Die ventrale Fläche ist von dunkelbrauner Farbe, weil die Zellwände einen braunen Farbstoff enthalten; oft ist sie uneben, weil sie jeder kleinen Unebenheit des Substrates folgen und dieselbe ausfüllen muss.

Wurzelhaare kommen an der dorsalen Seite nicht vor; desto reichlicher aber an der ventralen. Sehr oft nehmen dieselben eigenthümliche Formen an. So z. B. sind sie oft den Hapteren ähnlich (Taf, XIII, Fig. 4), welche bei so vielen anderen Podostemacéen auftreten, indem sich die Spitzen verzweigen und ausbreiten zum Zwecke eines festeren Anhaftens der Wurzel an dem Substrate. Im Allgemeinen sind die Wurzelhaare kurz und dick. An mehreren Schnitten habe ich Einschnürungen der Haare beobachtet; manchmal findet die Einschnürung an der Spitze statt (Taf. XIII, Fig. 4); und die Haare scheinen dann mit einer Kugel versehen zu sein. Man sieht deutlich, dass die Form und Länge der Wurzelhaare von dem Substrate abhängt. Bisweilen haben die Haare ein stabförmiges Aussehen und stehen dann so dicht an einander, dass kein Zwischenraum dazwischen

ist (Taf. XIII, Fig. 5), so dass man glauben möchte, es sei eine pallisadenförmige Epidermis. Die Wände der Haare sind häufig ziemlich dick und braun gefärbt, während der Inhalt fast immer klar ist. Nur selten werden Haare gefunden, die mit Kieselsäure ausgefüllt sind; eins von diesen ist eingeschnürt (Taf. XIII, Fig. 4) und an der Spitze mit einer kleinen Kugel versehen, die ebenfalls mit Kieselsäure infiltriert ist. Die Wurzelhaare treten oft fleckenweise auf, unabhängig davon, ob der Wurzelteil alt oder jung ist; man beobachtet deshalb auch an den ältesten Wurzelteilen, dass die Haare sitzen geblieben sind.

Die Cuticula an der dorsalen Seite der Wurzel ist ziemlich dünn und häufig mit kleinen Tüpfeln versehen, die ich für Kieselsäure halte. Sie lösen sich nämlich weder in Schwefelsäure noch in Alkohol oder Äther auf. Die Epidermis — ich rede von der dorsalen Seite — ist ziemlich regelmässig und besteht aus polygonalen Zellen. Im Allgemeinen sind die Interzellularräume überall in der Pflanze klein; desto merkwürdiger ist es, dass gerade in der Epidermis ziemlich grosse gefunden werden (Taf. XIII, Fig. 3). Wie bei allen anderen Podostemacéen fehlen auch hier Spaltöffnungen. Die Epidermiszellen enthalten Chlorophyll, zuweilen tritt auch Stärke auf. Ausserdem finden sich noch, obwohl seltener, Oxalsäure-Kristalle von kubischer und prismatischer Form (Taf. XIII, Fig. 1). Ebenfalls kommt es selten vor, dass eine Epidermiszelle mit Kieselsäure ausgefüllt ist.

In der Epidermis und in dem unterliegenden Gewebe beobachtet man eine ganze Menge von dunkelgrünen bis zu blaugrünen Körnchen (Taf. XIII, Fig. 1). Allerdings habe ich die Structur nicht genau beobachten können, glaube aber mit Sicherheit annehmen zu können, dass es eine blaugrüne parasitierende Alge ist, die oft so reichlich auftritt, dass man 4 bis 5 in einer Zelle rechnen kann.

Der Umstand, dass einige Individuen ziemlich reichlich mit derartigen Algen versehen sind, während dieselben bei anderen Individuen nur spärlich vorkommen oder sogar ganz fehlen, deutet darauf hin, dass es ein der Pflanze fremder Körper ist. Auf der Wurzel kommen ausserdem mehrere parasitierende

Algen vor. Von denselben sind einige drahtähnlich und bei oberflächlicher Beobachtung leicht mit Haarbildungen zu verwechseln. Häufig ist die Oberfläche mehrerer Zellen mit einer Coleochæte-ähnlichen Alge bedeckt, die regelmässig-quadratische Flächen bildet. Dieselbe kann die Zellen-Oberfläche so vollständig bedecken (Taf. XIII, Fig. 2), dass es scheint, als ob mehrere Zellen zusammengeschmolzen wären.

Auch die Cuticula der ventralen Seite ist dünn. Die Epidermis ist bedeutend unregelmässiger als diejenige der dorsalen Seite, weil die Form der Zellen von den Unebenheiten des Substrats beeinflusst wird. Die Zellwände sind häufig wie bei den Wurzelhaaren mit einem gelben oder braunen Farbstoff imprägniert. In der ventralen Epidermis fehlen kieselführende Zellen und Chlorophyll beinahe vollständig. Stärke kann gelegentlich vorkommen.

Die Zellschicht unter der Epidermis an der Dorsalseite besteht aus Zellen, die grösser und unregelmässiger sind als bei der Epidermis. Hier treten Chlorophyll und Stärke reichlich auf, sofern die Zellen nicht kieselführend sind. Es ist nämlich gerade diese Zellschicht, die am reichsten an kieselführenden Zellen ist; zuweilen findet man in einem Querschnitte drei bis vier angrenzende Zellen, die Kieselsäure enthalten. Dieselben können so zahlreich auftreten, dass sie eine zusammenhängende Schicht bilden, nur hier und da von einer chlorophyllführenden Zelle unterbrochen. Die Schicht unter der Epidermis an der ventralen Seite besteht aus polygonalen, gewöhnlich etwas langgestreckten Zellen, bei denen Chlorophyll und gewöhnlich auch Kieselsäure und Stärke fehlt. Die Zellen des Grundgewebes nehmen nach Innen etwas in Grösse zu, so dass auf einem Querschnitte die grössten Zellen sich in der Mitte der Wurzel befinden. Die ganze Wurzel umfasst an einem Querschnitte nur 7—10 Zellschichten. Die Zellwände sind sehr wenig kollenkymatisch. Die Zellen, wenigstens die oberen, enthalten reichlich Stärke und Chlorophyll. Hier und da kommen auch kieselführende Zellen vor, obwohl lange nicht so reichlich wie in der Schicht unter der Epidermis der Dorsalseite. Die Kieseläure-

körper passen sich immer der Form der Zelle an; in den oberen und unteren Teilen der Wurzel werden sie vieleckig und gerundet, in der Nähe des Gefässbündels aber langgestreckt. Die Grösse der Zellen wird folglich sehr verschieden; in der Nähe der Gefässbündel und in denselben erreichen sie unter Umständen eine Länge von 0.3 mm., während die gewöhnliche Grösse sonst 0.08—0.1 mm. ist.

Die Einteilung der Kieselkörper nach Herrn Prof. Warming in Körper mit unregelmässigen Rändern und glasklarem Inhalt, und Körper mit ebenen Rändern und dunklem Inhalt scheint in Bezug auf diese Art nicht Geltung zu haben. Die meisten Körper, sowohl diejenigen mit angefressenen wie diejenigen mit ebenen Rändern, welche hier ziemlich selten sind, haben bei dieser Art dunklen Inhalt. Es scheint, als ob das Licht auf die Bildung der Luftblasen in den Kieselsäurekörpern einen grossen Einfluss ausübe. So sind die Körper z. B. dunkel im oberen Teile des Blattes und an der oberen Fläche der Wurzel, d. h. an den Stellen, wo sie der Einwirkung des Lichtes ausgesetzt sind. Dagegen sind sie hell oder auch wasserklar in den Gefässbündeln und im unteren Teile der Blätter und des Involucrums, welche dem Lichte nicht ausgesetzt sind. Der helle Rand kann breit oder schmal sein. Fast ausschliesslich bei den langgestreckten Zellen in der Nähe der Gefässbündel findet man einen beinahe glasklaren Inhalt. Häufig beobachtet man, dass der Inhalt in derartigen Zellen am einen Ende etwas dunkel ist, am anderen aber glasklar. In den Kieselsäure enthaltenden Zellen fehlt jeder Inhalt anderer Art.

In der Mitte der Wurzel, von der Epidermis der ventralen Seite nur durch eine oder zwei Zellschichten getrennt, verläuft ein Gefässbündel. Auch wenn die Wurzel wie es bei sterilen Exemplaren der Fall ist, ziemlich breit ist, giebt es doch nur ein Gefässbündel. Auf einem Querschnitte (Taf. XIII, Fig. 7) unterscheidet sich das Gefässbündel von dem umgebenden Grundgewebe durch bedeutend kleinere Zellen mit ein wenig kollenkymatischen Wänden. Das Gefässbündel, welches etwas mehr als ein Drittel der ganzen Dicke der Wurzel einnimmt,

ist von gerundeter Form. Endodermis scheint ganz und gar zu fehlen. Die äussersten Zellen sind etwas grösser als die inneren. Der Bau ist ungemein einfach; irgend welche Differenzierung in Phloëm und Xylem kommt hier nicht vor, da die Zellen (Taf. XIV, Fig. 1) alle gleichartig sind. Sie sind langgestreckt — die Länge übersteigt die Breite viele Male — mit entweder abgestumpften oder zugespitzten Enden; die abgestumpften können entweder quer gestutzt oder rund abgestumpft sein. Die Zellwände sind ein wenig kollenkymatisch und ohne Poren. Stärke fehlt ebenfalls ganz und gar. Wie schon erwähnt kommen auch hier, am häufigsten in den peripherischen Teilen, Kieselsäurekörper vor, die gewöhnlich glasklaren Inhalt haben. Dieselben besitzen überwiegend ebene Ränder, obwohl auch welche mit angefressenen Rändern vorkommenen. Häufig sieht es aus, als ob der Kieselsäurekörper durch Querstreifen in mehrere Abteilungen geteilt wäre. Hier im Gefässbündel findet man auch Zellen, die nur teilweise mit Kieselsäure gefüllt sind.

ASSIMILIERENDE SPROSSE.

Ausser den floralen Sprossen finden sich auch rein vegetative oder assimilierende (Taf. XIV, Fig. 2). Dieselben kommen jedoch ziemlich spärlich vor, und die äusseren Verhältnisse scheinen auf ihre Entwicklung einen nicht unerheblichen Einfluss auszuüben. So z. B. finden sie sich an einem Individuum oder an Teilen eines Individuums, das an schattigen Stellen lebt. Derartige rein vegetative Sprosse beobachtet man häufig an denjenigen Wurzelverzweigungen eines Individuums, welche unter einen Stein gewachsen sind. Dieselben werden endogen angelegt, tief unten in der Wurzel, deren oberen Teil sie durchbrechen und nach oben biegen, so dass die entwickelte Blattrosette von einem erhabenen gerundeten Ringwalle umgeben ist. Nicht immer sitzen diese Sprosse gerade am Rande der Wurzel; sie finden sich gelegentlich etwas nach Innen auf derselben. Gewöhnlich entstehen diese assimilierenden Sprosse wie die floralen

in dem Winkel einer Wurzelverzweigung. Ausnahmen von dieser Regel findet man selten.

Hinsichtlich der Ausbildung dieser assimilierenden Sprosse kann man zwei Arten unterscheiden, eine stark reducierte und eine sehr gut entwickelte; selbstverständlich finden sich zahlreiche Übergänge dazwischen. Bei den reducierten Sprossen (Taf. XIV, Fig. 2) sind die Blätter ungefähr 5—10 an der Zahl. Sie gehen alle von einer kleinen Stammpartie aus, die ziemlich tief unten in der Wurzel gelegen ist. Die Blätter, welche nur nach zwei Seiten auszugehen scheinen, sind schmal, linealisch, an der Basis erweitert und ein wenig scheidenartig (Taf. XIV, Fig. 3, 4, 5). Unten sind die Ränder etwas nach oben gebogen, wodurch die Blätter rinnenförmig werden; der oberste Teil ist etwas zugeplattet. Die Länge des Blattes beträgt einige mm. und die Breite etwa $^1/_{10}$ mm. Die Sprosse sind oft so klein, dass sie mit blossem Auge kaum zu sehen sind.

Der anatomische Bau ist sehr einfach. Gefässbündel scheinen zu fehlen, und das ganze Blatt besteht im unteren Teile nur aus 6 bis 7 Zellschichten, im oberen aus 3 bis 4. Die Zellen der Epidermis sind bedeutend grösser als die im Inneren. Ein eigentlicher Unterschied zwischen der oberen und unteren Seite des Blattes existiert nicht, ausgenommen etwa, dass die Zellen in dem oberen rinnenförmigen Teile etwas mehr langgestreckt sind. Chlorophyll wie Stärke kommen in allen Zellen vor. Hier und da tritt auch die blaugrüne Alge auf, welche in der Wurzel gewöhnlich vorkommt. Kieselführende Zellen fehlen vollständig.

Die gut entwickelten Sprosse (Taf. XII, Fig. 4), welche auch mit unbewaffnetem Auge deutlich zu erkennen sind, bestehen aus sehr vielen Blättern. Diese Sprosse sind ebenfalls mit einer wall- oder ring-förmigen Erhöhung umgeben. Der eigentliche Stammteil ist auch hier sehr klein. Die Blätter haben teils dasselbe Aussehen wie bei den reducierten Blattsprossen, teils sind sie mehr oder weniger den entwickelten Blättern ähnlich, welche sich bei dem blütentragenden Sprosse finden. Die Blätter (Taf. XIV, Fig. 6, 7, 8) sind also handförmig mit zwei, drei und mehreren Lappen, von denen einer häufig lang aus-

gezogen ist. Die Blätter werden bis 5 mm. lang. Auch der Bau dieser Blätter ist einfach. Ein äusserst reduciertes Gefässbündel durchläuft die Mitte des ausgezogenen Lappens. Die Basis des Blattes ist auffallend arm an kieselführenden Zellen und dasselbe ist mit dem ausgezogenen Lappen der Fall; die kürzeren Lappen dagegen sind ebenso reich daran wie die entwickelten Blätter des floralen Sprosses. Stärke tritt, speciell in der Basis, in reichlicher Menge auf.

FLORALE SPROSSE.

Die floralen Sprosse werden in derselben Weise und an denselben Stellen der Wurzel wie die ausschliesslich assimilierenden angelegt. An der Basis des blütentragenden Stieles sitzen die Blätter dicht zusammen. Man würde sie am besten handförmig nennen, weil sie ganz das Aussehen einer Hand mit ihren Fingern haben (Taf. XIV, Fig. 9, 10). Der Basalteil des Blattes ist ungefähr 1.2 mm. breit und 1 mm. lang; vom oberen Teile gehen 3—7, gewöhnlich 5 runde Lappen aus, welche ungefähr so lang wie der Basalteil sind. Auch der Bau dieser Blätter ist sehr einfach. Zwei oder drei sehr stark reducierte Gefässbündel (Taf. XIV, Fig. 11) laufen vom Centralcylinder des Stammes nach der Basis hin, wo sie verschwinden, ehe sie die Lappen erreichen. In der Basis fehlen zum grossen Teile sowohl Chlorophyll als kieselführende Zellen. Desto zahlreicher treten letztere im oberen Teile des Blattes auf, wo sie eine Art Panzer um das Blatt herum bilden. Besonders die Schicht unter der Epidermis besteht aus kieselführenden Zellen, obwohl sie auch in der Epidermis zu finden sind.

Der Stamm ist rund und von dunkelbrauner Farbe. Die Länge von der Basis bis zum Scheitel beträgt etwa 6 mm., wovon 2 mm. von Blättern bedeckt sind. Ein Querschnitt (Taf. XIV, Fig. 12) des Stammes ist beinahe kreisrund; die Dorsiventralität macht sich also hier wenig geltend. Die Epidermis ist von gewöhnlicher Form mit dünnen Zellwänden. Auch das Grundgewebe, welches aus vier bis fünf Zellschichten

besteht, ist von gewöhnlicher Form mit dünnen Zellwänden ohne Verdickungen. Wenn der Stamm älter wird, wird das Grundgewebe resorbiert und hängt dann lose um den Stamm herum. Das einzige Gefässbündel, welches die Mitte des Stammes einnimmt, ist im vollentwickelten Stamme sehr kräftig. Wie in der Wurzel besteht dasselbe lediglich aus einem Element, langgestreckten Zellen (Taf. XIV, Fig. 13) (250 μ lang u. 5 μ breit) mit verdickten braungefärbten Wänden ohne Skulptur. Die Wände sind kollenkymatisch; Verholzung fehlt. Bei den älteren Stämmen sind die Zellen im Inneren resorbiert, wodurch in der Mitte des Stammes eine kleine Höhlung entsteht. Kieselsäure scheint in diesem Teil der Pflanze vollständig zu fehlen.

DIE BLÜTE.

Nur eine Blüte sitzt an der Spitze jedes Stengels. In der Knospe sind die Blütenteile von einem Involucrum und ausserhalb dieses von den Stengelblättern umgeben. Das Involucrum (Taf. XIV, Fig. 14) ist eiförmig und schmiegt sich den Blütenteilen dicht an; es endet oben in einer kleinen Spitze. Wenn die Entwicklung der Blütenteile eine gewisse Stufe erreicht hat, wird das Involucrum oben in mehrere Lappen zersprengt. Der vorher wenig entwickelte Blütenstiel wächst zu und dehnt sich aus, das Involucrum aber bleibt zurück und wird von den Stengelblättern vollständig bedeckt. An der Basis ist das Involucrum hyalin, nach oben wird es ein wenig chlorophyllführend und nimmt eine hellgrüne Farbe an. Es scheint als ob die Dorsiventralität sich beim Involucrum geltend mache, da es nach der Ventralseite dünner ist und nur aus 3 Zellschichten besteht, während dasselbe nach der Dorsalseite aus 4 bis 5 Zellschichten besteht (Taf. XIV, 15). Alle Zellen sind parenkymatisch und dünnwandig; viele sind kieselführend Die Kieselsäurekörper sind hell, d. h. arm an Luftblasen. Gefässbündel fehlen vollständig.

Perigonialblätter fehlen ebenfalls. Sogar die kleine Schuppe fehlt, welche bei den am meisten reducierten von den Podos-

temacéen (z. B. bei Podostemon Ceratophyllum Michx. und Minopsis Weddelliana Tul.) an der Stelle sitzt, wo das Filament inseriert.

Das Andröceum besteht aus einem einzigen Staubblatt. Letzteres liegt in der Knospe mit dem Filament und der Anthere dicht an den Fruchtknoten gedrückt, so dass die Anthere auf der oberen Seite des Fruchtknotens ruht (Taf. XV, Fig. 2, 3). Auf der Anthere oder richtiger zwischen den Antherenhälften liegen die Narben. Das Filament geht gerade an der Basis des Fruchtknotens vom Stamme aus, so dass es wegen der Biegung des Fruchtknotens aussieht, als ob das Filament die Fortsetzung des Blütenstieles bildete und der Fruchtknoten an der Seite des letzteren sässe. Das Filament, welches beinahe dreieckig (Taf. XV, Fig. 7) und an der von den Fruchtknoten abgewandten Seite gerundet ist, trägt, wie schon erwähnt, nur eine Anthere. Die Antherenhälften (Taf. XV, Fig. 5, 6) sitzen weit aus einander, durch ein kräftig entwickeltes Konnektiv getrennt. Die Länge der Anthere beträgt etwa 1.35 mm., die Breite 1 mm. Man könnte geneigt sein zu glauben, das es sich hier um zwei Staubblätter handelt, was allerdings in dieser Gruppe der Podostemacéen nichts ungewöhnliches wäre. Man findet jedoch dass jede Antherenhälfte nur einen Pollensack (Taf. XV, Fig. 8) enthält; es dürfte deshalb am richtigsten sein, das Andröceum als monandrisch zu deuten. Einräumige Antheren kommen, so weit bekannt ist, in dieser Familie nicht vor. Die beiden Antherenhälften sind nach Innen gerichtet und sitzen nicht ganz parallel, sondern an der Basis etwas mehr von einander entfernt. Sie sind am Rücken gewölbt, vorne zugeplattet, von elliptischer Form, nach den Enden hin bald zugespitzt. Jede Antherenhälfte öffnet sich durch eine schwach gebogene Längsspalte, welche dieselbe in zwei etwas unsymmetrische Hälften teilt, weil der innere Teil jeder Antherenhälfte nicht so weit in die Höhe reicht wie der äussere. Nachdem die Antherenhälften sich geöffnet haben und die Pollenkörner entleert sind, was ziemlich früh geschieht, wächst das Filament zunächst bedeutend zu (Taf. XV, Fig. 4) — dasselbe

wird bis 2.5 mm. lang — so dass es weit über den Fruchtknoten emporragt. Die Anthere bleibt nach der Entleerung ziemlich lange sitzen; nach Abwurf der Anthere neigt sich das Filament und legt sich auf den Fruchtknoten hin. Dabei scheint es gleichzeitig eine festere Konsistenz anzunehmen. Das Filament ist hyalin und besteht aus langgestreckten, dünnwandigen Zellen. In der Mitte wird es von einem Strange durchzogen (Taf. XV, Fig. 7), welcher aus langgestreckteren Elementen besteht. Die Antherenwand besteht aus 3 bis 4 Zellenschichten. Innerhalb der Epidermis liegen nämlich blos 2 bis 3 Zellenschichten mit fibrösen Verdickungen.

Die Pollenkörner (Taf. XV, Fig. 9) hängen je zwei und zwei zusammen, sind ungefähr gleich gross und gerundet. Skulptur an der Oberfläche fehlt; vielleicht sehen sie hie und da ein wenig körnig aus. Die Länge von zwei zusammenhängenden Pollenkörnern beträgt 31 μ, die Breite 22 μ. Wie gewöhnlich bei den Podostemacéen findet auch bei dieser Art Selbstbefruchtung statt. Häufig habe ich beobachtet, dass die Antheren geöffnet waren, schon als sie noch auf dem Fruchtknoten ruhten und die Narben über sie gebogen waren.

Das Gynöceum wird aus zwei Fruchtblättern gebildet; der Griffel teilt sich schon an der Basis in zwei Narben (Taf. XV, Fig. 12). Letztere liegen in der Knospe gegen die Staubblätter gerichtet (Taf. XV, Fig. 2). Auch voll ausgebildet behalten sie eine gewisse Neigung (Taf. XV, Fig. 4), dieselbe Richtung einzunehmen. Die Narben sind von brauner Farbe, zugeplattet, triangulär lanzettlich und stark papillös. Oft sind sie von verschiedener Grösse. Die Länge beträgt ungefähr 1 mm., die Breite etwa 0.4 mm.

Die Kapsel ist braun, von ellipsoidischer Form — zuweilen beinahe kugelrund — und etwa 1.5 mm. lang, 1 mm. breit. Rippen fehlen ganz. Die Placenta ist ziemlich gross und steht durch zwei Lamellen mit den Kapselwänden in Verbindung. Durch diese schmalen Lamellen wird die Kapsel in zwei Räume abgeteilt, deren Grösse ein wenig verschieden ist. Die Kapsel öffnet sich durch zwei Längsspalten (Taf. XV, Fig. 14, 16),

und zwar so, dass ein Teil der Kapsel abfällt, während die Placenta und der andere Teil sitzen bleiben. Darauf springt die Placenta ab, die grössere Klappe der Kapsel bleibt auf dem Stiele zurück und neigt sich etwas nach hinten (Taf. XV, Fig. 17). Allmählig wird die Neigung stärker; die Spitze der Kapselwand nähert sich der Basis bis nur eine kleine Spalte, die sich nach beiden Seiten erweitert, letztere von der Spitze trennt. Bei feuchtem Wetter richtet sich die gebogene Wand wieder auf. Sie bleibt so lange sitzen wie der Stengel überhaupt an der Wurzel bleibt.

Die innerste Zellschicht der Kapselwand besteht aus langgestreckten Zellen mit dicken äusseren und inneren Wänden, während die Zwischenwände ziemlich dünn sind. Wenn die Kapsel älter wird (Taf. XV, Fig. 19), bilden sich in jeder Zelle eine Menge Bänder, die nach allen Richtungen dieselbe durchkreuzen, und nur ein kleines Lumen übrig lassen. An der voll entwickelten Kapsel ist die ganze Zelle mit einer gelben Masse gefüllt, so dass kein Lumen zu sehen ist. Die Zellen haben ihre grösste Ausdehnung senkrecht gegen die Längsrichtung der Kapsel; an einem Schnitte in letzterer Richtung sehen die Zellen deshalb quadratisch aus.

Die darauf folgende Schicht besteht aus Zellen, die in einem Querschnitte quadratisch mit abgerundeten Ecken erscheinen. Die nach der inneren Schicht gelegene Seite der Zellen wird ausserordentlich stark verdickt, so dass zuletzt nur ein kleines Lumen zurückbleibt. Die Lagerung in der Zellwand wird hier besonders deutlich. Sogar das Lumen wird zuweilen von Bändern gefüllt, welche denjenigen in der innersten Schicht ähnlich sind. Auch die anderen Seiten der Zelle werden stark verdickt, weniger allerdings nach der Seite hin, welche der inneren Schicht entgegengesetzt ist. Bei anderen Gattungen der Familie sind diese Zellen in Gruppen angeordnet und geben zur Bildung von Rippen Veranlassung. Wenn diese Zellreihe wie hier einen ununterbrochenen Gürtel bildet, bleibt die Kapsel ganz eben.

Die nun folgende Zellschicht besteht aus einer Zone von

sklerenkymatischen Zellen, zwei bis drei nebeneinander. Die Wände sind derart verdickt, dass sich nur ein kleines Lumen findet. Sie sind braun gefärbt und auch hier sehr deutlich gelagert. Diese Zone erstreckt sich ebenfalls um die Kapsel herum.

Ausserhalb dieser Zone liegen wieder zwei bei drei Schichten parenkymatischer Zellen, von denen die äusserste Epidermis ist. Es sind dünnwandige Zellen, häufig Stärke enthaltend. Mit zunehmender Reife werden diese Zellen zuletzt ganz resorbiert; zuweilen kann auch ein Teil der sklerenkymatischen Zellschicht wegfallen, so dass bei einiger Vergrösserung die äussere Kapselwand ein rauhes Aussehen bekommt. Gefässbündel habe ich in der Kapselwand nicht entdecken können.

Die Placenta (Taf. XV, Fig. 1) ist sehr mächtig und füllt anfangs den ganzen Fruchtknoten mit Ausnahme des kleinen Raumes, welche die Samenanlagen einnehmen. Sie sendet ausserdem noch Lappen zwischen die Samenanlagen aus. Wie schon erwähnt, steht sie durch zwei Lamellen mit der Kapselwand in Verbindung. Diese Lamellen werden jedoch bald teilweise resorbiert. Die Placenta scheint durch eine kleine zapfenförmige Partie an der Spitze der Kapsel befestigt zu sein. Wie schon erwähnt fällt zuerst die kleinere Kapselhälfte ab, während die grössere mit der Placenta sitzen bleibt. Es scheint, als ob das Abspringen der Placenta dadurch veranlasst würde, dass die Spitze der zurückbleibenden Kapselhälfte sich nach hinten biegt. Die Placenta besteht durch und durch aus parenkymatischen dünnwandigen Zellen. Das Gefässbündel, welches von dem Stamme kommt, scheint in der Basis der Placenta ganz zu verschwinden, denn weder in der Kapsel noch in der Mitte der Placenta ist irgend welche Spur eines Gefässbündels zu finden.

Der Samen (Taf. XV, Fig. 20) ist von brauner Farbe; die braungefärbten Zellen des inneren Integuments leuchten nämlich durch das dünne äussere Integument hindurch. Die Samen sind ellipsoidisch oder eiförmig. Die Länge beträgt etwa 0.43 mm., die Breite etwa 0.26 mm. Sie sind sehr zahlreich; in einer

grossen Kapsel habe ich bis zu 50 gezählt. Je nach der Lage im oberen oder unteren Teil sind die Samen aufrecht oder hängend, apotrop oder epitrop.

Das äussere Integument besteht aus einer Schicht dünnwandiger Zellen, welche in feuchter Luft sich erweitern, in trockner sich zusammenziehen.

Ursprünglich hat in der Samenanlage das äussere Integument aus drei bis vier Zellschichten bestanden, welche jedoch resorbiert sind, bis auf eine Schicht (Taf. XV, Fig. 21). Das äussere Integument löst sich sehr leicht vom inneren ab.

Das innere Integument besteht aus zwei Zellschichten. Die äussere Schicht besteht aus Zellen, welche kaum halb so gross sind wie diejenigen der inneren Schicht; die Wände sind stark verdickt, und enthalten einen gelbbraunen Farbstoff, der auch in den Zellen der inneren Schicht auftritt. Diese innere Schicht besteht nur aus 7—10 Zellen, ebenfalls mit verdickten Membranen, obgleich nicht in so hohen Grade wie die äusseren Zellen.

Der Embryo (Taf. XV, Fig. 22) tritt schon bei gelindem Druck aus der Samenschale hervor. Er ist von länglicher Form, an beiden Enden stumpf. Weil die Keimblätter von ungleicher Grösse sind, wird der Embryo schief. Die Plumula ist unentwickelt. Die Samen scheinen bald ihre Keimkraft zu verlieren. Wiederholt habe ich vergebliche Versuche gemacht, Samen welche nur 4 bis 5 Monate alt waren, zur Keimung zu bringen.

Die Gattung Cladopus muss zu der Gruppe Podostomeæ in der Familie gezählt werden. Die Gattung, welche am nächsten steht, wäre wohl Spærothylax (abyssinica Wedd). Beide Gattungen tragen die Blüte niedergebogen und in einem Involucrum eingeschlossen, das sich in derselben Weise bei beiden Gattungen öffnet; ferner sind sie beide monandrisch. Jedoch kann man sie leicht ausser durch die Verschiedenheiten des vegetativen Systemes dadurch von einander unterscheiden, dass Sphæ-

rothylax Bisch. Rippen an der Kapsel hat, was bei Cladopus fehlt. Von den Gattungen Podostemon Mich. und Castelnavia Tul. et Wedd. unterscheidet sich Cladopus durch die glatte Kapsel, den in der Knospe niedergebogenen Blütenstiel und ferner noch dadurch, dass er nur ein Staubblatt hat. Die einzige Gattung in der Gruppe, welche ausser Cladopus glatte Kapsel hat, ist die Gattung Mniopsis Mart. et Zucc. Dieser Gattung gegenüber wird Cladopus durch die Stellung des Blütenstiels und das einzige Staubblatt karakterisiert.

Cladopus Nymani wurde während einer Excursion gefunden, welche ich zusammen mit meinem Landsmann, Herrn Dr. Erik Nyman aus Upsala (nach ihm habe ich die Art benannt), Anfang August im Jahre 1897 nach Zandbaai an der Südküste Javas unternahm. Bei Zandbaai finden sich mehrere Wasserfälle, und in einem von diesen in der Nähe von Tjikande wurde die Pflanze gefunden.

Oben neben dem höchsten Absatz des Wasserfalles, bildete sie Massvegetation auf denjenigen Steinen, welche dem Spritzen des Wasserfalls ausgesetzt waren. Auf Erde habe ich sie nie wachsen sehen. Auch auf Steinen im Bache unterhalb des Wasserfalles kam sie ziemlich weit unten vor, obgleich nicht so häufig wie am oberen Falle. Der Boden besteht hier aus Eruptiven und sie kommt sowohl auf losen Blöcken wie auf dem festen Bergboden vor.

Eine Woche vorher hatte ich den erloschenen Vulkan Tjisolok besucht und auf Steinen im Kraterbache eine Art weisser algenähnlicher Zeichnungen beobachtet. Beim Versuch, dieselben vom Substrate loszumachen, fielen sie aus einander. Später hatte ich keine Gelegenheit Tjisolok zu besuchen, bin aber davon überzeugt, dass diese algenähnlichen Zeichnungen nichts anderes als der obenerwähnte Cladopus Nymani gewesen sind. Auf dem Wege von Palaboehan Ratoë zu Zandbaai fand ich ebenfalls Wurzeln von Cladopus in einem Bache, der in Eruptiven ausgegraben war. Hier war er jedoch nicht fertil, wahrschein-

lich deshalb, weil er an einer allzuschattigen Stelle wuchs. Ich habe also Veranlassung zu vermuthen, dass Cladopus Nymani an der Südküste Javas nicht allzuselten ist. Immerhin ist er sehr leicht zu übersehen, denn im Frucht- oder Knospen-Stadium sieht er einem Moose in hohem Grade ähnlich. Ferner glaube ich, dass er nur eine kurze Vegatationsperiode hat, denn Dr. Nyman konnte als er im December desselben Jahres den Fundort besuchte, keine Spur von ihm finden.

Bei der Ausarbeitung obiger Beschreibung habe ich benutzt: „Familien Podostemaceæ. Studier af Eug. Warming" in „Det Kongelige Danske Videnskabernes Selskabs Skrifter. Sjette Raekke. Köbenhavn". Band 2, 4 und 7.

Herrn Professor Warming bin ich für mehrere werthvolle Angaben zu vielem Dank verpflichtet.

ERKLÄRUNG DER TAFELN.

TAFEL XII.

Fig. 1. Ein Teil eines Wurzelsystems; die Sprosse sind weggefallen $^3/_2$.
» **2.** Wurzelzweig mit Sprossen $^3/_2$.
Fig. 3. Habitusbild der blühenden Pflanze $^3/_2$.
» **4.** Entwickelter Blattspross $^{25}/_1$.

TAFEL XIII.

Fig. 1. Epidermis von der Dorsalseite der Wurzel Kristalle und Algen zeigend $^{275}/_1$.
» **2.** Epidermis von der Dorsalseite der Wurzel mit mehreren Zellen von Coleochæte-ähnlichen Algen bedekt $^{250}/_1$.
» **3.** Epidermis von der Dorsalseite der Wurzel mit Interzellularräumen $^{350}/_1$.
Fig. 4. Wurzelhaare; die dunklen sind kieselführend $^{350}/_1$.
» **5, 6.** Wurzelhaare $^{200}/_1$.
» **7.** Querschnitt durch ein Gefässbündel von einer Wurzel $^{250}/_1$.
» **8.** Scheitel mit seiner Wurzelhaube $^{200}/_1$.

TAFEL XIV.

Fig. 1. Längsschnitt durch einen Teil des Gefässbündels einer Wurzel $^{290}/_1$.
» **2.** Ein reducierter assimilierender Spross $^{35}/_1$.
» **3, 4, 5.** Blätter von einem solchen Sprosse $^{35}/_1$.
» **6, 7, 8.** Blätter von einem entwickelten, assimilierenden Sprosse $^{15}/_1$.
» **9, 10.** Blätter von einem floralen Sprosse $^{10}/_1$.
» **11.** Querschnitt des unteren Teiles von einem Blatt mit zwei Gefässbündeln $^{70}/_1$.
Fig. 12. Querschnitt eines ziemlich alten Stammes $^{165}/_1$.
» **13.** Zwei isolierte Zellen von dem Gefässbündel des Stammes.
» **14.** Involucrum, zersprengt $^{10}/_1$.
» **15.** Querschnitt eines Theiles des Involucrums $^{120}/_1$.
» **16.** Ein fertiler Spross $^{10}/_1$.

TAFEL XV.

Fig. 1. Längsschnitt eines jungen, floralen Sprosses $^{20}/_1$.
» **2, 3.** Fruchtknoten mit jungen Antheren $^{19}/_1$.
» **4.** Fruchtknote nebst einer Anthere mit verlängertem Filament $^{14}/_1$.
» **5.** Anthere von vorn $^{20}/_1$.
» **6.** Anthere von hinten $^{20}/_1$.
» **7.** Querschnitt des Filaments $^{50}/_1$.
» **8.** Querschnitt einer aufgesprungenen Anthere $^{44}/_1$.
» **9.** Pollen $^{640}/_1$.
» **10, 11, 12.** Narbe $^{35}/_1$.
» **13.** Kapsel mit Stiel $^{12}/_1$.
Fig. 14. Geöffnete Kapsel von vorn $^3/_1$.
» **15.** Dieselbe von der Seite $^3/_1$.
» **16.** Der abgefallene Teil einer Kapsel $^3/_1$.
» **17.** Die zusammengebogene Kapselwand $^3/_1$.
» **18.** Querschnitt der Kapselwand von einer jungen Kapsel $^{240}/_1$.
» **19.** Querschnitt der Kapselwand von einer älteren Kapsel $^{240}/_1$.
» **20.** Same $^{45}/_1$.
» **21.** Querschnit eines Samens $^{200}/_1$.
» **22.** Embryo $^{121}/_1$.

TABLE DES MATIÈRES.

Pag.

ROMBURGH (P. van), Notices phytochimiques 1

JANSE (J. M.), De la Déhiscence du fruit du muscadier 17

Explication de la planche I. 45

LOTSY (J.), Contributions to the life-history of the Genus Gnetum. 46

Explication of plates II—XI. 110

MÖLLER, [HJALMAR] (Lund.), Cladopus Nymani n. gen., n. sp., eine Podostemacée aus Java 115

Erklärung der Tafeln XII—XV 132

Imprimerie ci-devant. E. J. BRILL. — Leide.

ANNALES

DU

JARDIN BOTANIQUE

DE

BUITENZORG.

PUBLIÉES PAR

M. LE DR. MELCHIOR TREUB,
Membre de l'Académie royale néerlandaise des sciences.
Directeur du Jardin.

(Volume XVI.)

DEUXIÈME SÉRIE.
VOLUME I.

2e PARTIE.

LIBRAIRIE ET IMPRIMERIE.
CI-DEVANT
E. J. BRILL
LEIDE — 1899.

UEBER JAVANISCHE PHALLOIDEEN

VON

PROF. DR. OTTO PENZIG.

(Tafel XVI—XXV).

Unter den zahlreichen auffallenden Formen von Pilzen, welche die Tropenflora hervorbringt, ist wohl keine Familie mehr geeignet, die Aufmerksamkeit auch der Laien zu fesseln, als die der Phalloideen. Die höchst eigenthümliche und oft zierliche Gestaltung, der durchdringende Geruch der meisten Arten, die zarte, leicht vergängliche Structur lassen diese Gewächse besonders interessant erscheinen; für den Fachmann sind sie ausserdem durch ihre biologischen Eigenthümlichkeiten, durch die Complication des Aufbaues und die Verwandtschaftsverhältnisse der einzelnen Gattungen unter einander höchst merkwürdig. So ist nicht zu verwundern, dass die Litteratur über tropische Phalloideen verhältnissmässig reich ist. Leider eignen sich jedoch die meisten Arten gar wenig zur Erhaltung in den Museen: getrocknet verlieren sie völlig ihre charakteristische Form und sind kaum mehr erkennbar; und auch in den verschiedenen Conservationsflüssigkeiten ist die Erhaltung der zarten, leicht zerbrechlichen und schrumpfenden Formen nicht sehr perfect. Daher kommt es, dass in den botanischen Museen Europas meist nur die wenigen einheimischen Species leidlich vertreten sind, während exotische Arten fast ganz

fehlen, oder nur gar dürftig und in schlecht erhaltenen Exemplaren vorhanden sind.

Aus dem Mangel an genügenden Vergleichs-Exemplaren erklärt es sich, dass gerade in dieser Familie viel Unsicherheit in der Umgränzung der Arten und selbst der Gattungen herrscht. Die auf getrocknete Exemplare begründeten Diagnosen sind fast durchgehends unbrauchbar; und auch nach Spiritus-Exemplaren ist es nicht immer leicht, eine wirklich exacte Beschreibung zu liefern, da die meisten Phalloideen im Alkohol arg zusammenschrumpfen und ihre Form ändern.

Dazu kommt noch, dass die verschiedenen Arten meist nur in vereinzelten Exemplaren, nicht gesellig auftreten, und dass sehr viele Beschreibungen exotischer Arten auf wenige Exemplare oder gar nur auf ein einziges begründet sind. Auch dieser Umstand bringt viele Fehler zu Stande, da die meisten Phalloideen starke Neigung zu individueller Variation zeigen.

Beschreibung und Illustration von Phalloideen sollte nur nach lebendem Material gemacht werden; und für die letztere ist, wenigstens für den Gesammthabitus, die photographische Darstellung der Handzeichnung weit vorzuziehen. Die recente Arbeit von Alfr. Moeller über einige Phalloideen Brasiliens kann als Vorbild dienen.

Da ich während meines viermonatlichen Aufenthaltes in Java (vorzüglich in Buitenzorg und Tjibodas, 23. November 1896—4. April 1897) Gelegenheit hatte, zahlreiche Phalloideenarten lebend zu beobachten und reiches Material (mehr als hundert Exemplare) in verhältnissmässig guter Erhaltung heim zu bringen, glaube ich einen nicht unnützen Beitrag zur Kenntniss der „javanischen Pilzblumen" liefern zu können, zumal da mehrere der von mir gefundenen Species bisher noch nicht beschrieben sind.

Ich schulde besonderen Dank dem Herrn Verleger, welcher eingewilligt hat, die meist von Hrn. C. Lang, Photograph des Botanischen Gartens in Buitenzorg hergestellten Photographien in Lichtdruck vervielfältigen zu lassen.

Ueber javanische Pilze finden wir einige Notizen schon in

älteren Werken. Bereits Rumphius beschreibt und bildet in seinem *Herbarium Amboinense* [1]) eine *Dictyophora* aus Java ab. Weitere Nachrichten über javanische Phalloideen verdanken wir Schlechtendal [2]), Zollinger [3]), Berkeley [4]), und neuerdings E. Fischer [5]) und N. Patouillard [6]).

Nach den Angaben dieser Autoren waren bisher aus Java nur acht Arten von Phalloideen bekannt, nämlich: *Mutinus bambusinus* Zoll., *Mut. minimus* Pat., *Ityphallus tenuis* E. Fisch., *Dictyophora phalloidea* Desv., *Dict. irpicina* Pat., *Simblum periphragmoides* Klotzsch, *Aseroe Junghuhnii* Schlecht. und *As. arachnoidea* E. Fischer (sub *As. rubra* var. *bogoriensis* Pat.).

Ich kann diesen Species acht andere Arten zufügen, so dass hiermit die Zahl der von Java bekannten Formen auf sechszehn steigt, nämlich:

1. Mutinus bambusinus Zoll.
2. Mutinus Fleischeri n. sp.
3. Mutinus minimus Pat.
4. Jansia elegans n. gen. n. sp.
5. Jansia rugosa n. sp.
6. Ityphallus tenuis E. Fisch.
7. Ityphallus costatus n. sp.
8. Ityphallus favosus n. sp.
9. Dictyophora phalloidea Desv.
10. Dictyophora irpicina Pat.
11. Dictyophora multicolor Berk. et Br.
12. Simblum periphragmoides Klotzsch.

1) G. E. Rumphius, Herbarium Amboinense, Amsterdam 1750. Vol. VI, Taf. 56, Cap. XXV, Pag. 131.

2) Schlechtendal, De Aseroës genere dissertatio, 1847, c. tab. lithogr.

3) Zollinger, Systemat. Verzeichniss der im indischen Archipel in den Jahren 1842—1848 gesammelten Pflanzen. Zürich 1854.

4) Berkeley, in Intellectual Observer IX, 1866, p. 401.

5) E. Fischer, in Annales du Jardin Bot. de Buitenzorg VI, 1887, p. 1—49, Taf. I—V.

6) N. Patouillard, Enumération des Champignons recoltés à Java par M. Massart (Ann. Jard. Bot. Buitenzorg, 1er Suppl., p. 107—127) Leiden 1897, und Quelques Champignons de Java (Bull. Soc. Mycol. de France XIV, 1891, p. 182—202).

13. Simblum gracile Berk.
14. Colus javanicus n. sp.
15. Aseroe Junghuhnii Schlecht.
16. Aseroe arachnoidea E. Fisch.

Es ist wahrscheinlich, dass der Zukunft noch andere Entdeckungen auf diesem Gebiete vorbehalten sind, wenn die anderen Theile der herrlichen Insel ebenso gut durchforscht sein werden, wie die Umgebungen von Buitenzorg. Durch die unübertreffliche Organisation des Botanischen Institutes in Buitenzorg ist den Botanikern aller Länder ein wahres Paradies erschlossen, das schon jetzt auf die Entwickelung der Wissenschaft einen ganz hervorragenden Einfluss ausgeübt hat, und noch lange Zeit reichstes Studienmaterial auf allen Gebieten der Botanik darbieten wird. Dem wohlverdienten Director und Organisateur des „Plantentuin", Hrn. Prof. Treub und seinen Mitarbeitern spreche ich an dieser Stelle meinen aufrichtigen Dank für ihre stets bereitwillige Hilfe aus.

1. PHALLACEAE [1]).

Gen. 1. Mutinus Fries.

Receptaculum hohlröhrig, spindelförmig, Wandung überall gekammert; die Gleba bedeckt direct die Aussenseite des oberen Theiles des Receptaculums, welche dieselbe Structur zeigt, wie die nicht von Glebamasse bedeckte Partie (der Stiel).

1. *Mutinus bambusinus* Zollinger.

Diese von Zollinger zuerst beschriebene, und später von E. Fischer auch ihrer Entwickelungsgeschichte nach vorzüglich illustrirte Species ist relativ häufig im Botanischen Garten von

1) Ich schliesse mich in der Eintheilung der Gattungen und in den Diagnosen derselben vorzüglich an die monographische Bearbeitung der Phalloideen in Engler und Prantl, Natürliche Pflanzenfamilien, von Prof. Dr. Ed. Fischer an.

Buitenzorg, nicht nur in der klassischen Localität, dem Bambus-Wäldchen im nordwestlichen Theile des Gartens (XIII M. in dem Plane von 1892), sondern auch längs des Tjibalok und im anderen Punkten. Sie scheint sich vorzüglich in den Wintermonaten (November, December) zu entwickeln: in späteren Monaten fand ich keine Exemplare mehr davon. Ich sehe von einer weiteren Beschreibung der Species hier ab, da sie, wie oben gesagt, gut bekannt ist.

2. *Mutinus Fleischeri* n. sp. (Taf. XXI, A; Taf. XXII, Fig. 1—4).

Ich erhielt einige Exemplare dieser schönen Species im Herbst 1898 von Hrn. Max Fleischer, welcher sie am 24ten Juni desselben Jahres im Urwalde nahe bei Tjibodas gesammelt hatte.

Die Gesammthöhe des Fruchtkörpers beträgt 11—12 cM.; die sporentragende Partie ist nur 1.5 cM. lang, nimmt also etwa ein Siebentel der Gesammtlänge ein.

Die Mycelstränge sind spärlich, weiss, cylindrisch; die Volva eiförmig, 3.5—4 cM. lang, 2.5 cM. breit, röthlich grau, aussen glatt. Der Stiel 9,5 cM. lang, 2—2.5 cM. dick, am oberen und unteren Ende kaum merklich verjüngt, lebhaft fleischroth bis karminroth, dicht mit durchscheinenden, linsenförmig convexen, isodiametrischen, etwa 3 mM. im Durchmesser haltenden Warzen bedeckt, die den Kammern der Stielwand entsprechen. Dieselben bilden eine einzige Schicht, und sind sowohl nach aussen, wie nach der Centralhöhle des Stieles zu alle geschlossen. Nach der Innenseite zu sind die Wandungen weniger convex vorspringend, fast flach.

Die sporentragende Partie (Taf. XXII, Fig. 1) ist von dem Stiel durch eine Ringfurche getrennt, und an ihrer Basis etwas schmäler als der Stiel selber; sie ist kurz conisch, mit abgerundeter, nicht perforirter Endigung. Die Farbe des sporentragenden Theiles ist ähnlich der des Stieles: die Gleba und Sporenmasse, welche den Kopftheil bedeckt, ist dunkel olivengrün. Der Kopftheil ist eben so warzigrunzelig, wie der Stiel;

nur sind die einzelnen Warzen um die Hälfte kleiner als in der Stielpartie (etwa 1.5 mM. im Durchmesser). Sie sind nicht in die Quere gezogen, der Kopf daher nicht querrunzelig, wie in anderen Arten der Gattung. Ein Durchschnitt des sporentragenden Kopftheiles zeigt, dass dessen Wandung ebenfalls nur von einer Schicht von Kammern gebildet ist: dieselben sind in radialer Richtung verlängert, eng, mit dickerer und consistenterer Wandung als im Stieltheile. Auf der Innenfläche des Kopftheiles sind zahlreiche Perforationen zu erkennen (Taf. XXII, Fig. 1).

Die Gleba, welche auf den übersandten Exemplaren zum Theil noch erhalten war, zeigt ziemlich compacte Structur, mit etwas in die Länge gestreckten Kammern (Taf. XXII, Fig. 2, 3); die Sporen sind oblong, an beiden Enden gleichmässig abgerundet, 5—5.2 Mikromill. lang, 2 Mikromill. dick (Taf. XXII, Fig. 4).

3. *Mutinus minimus* Pat.

(Patouillard, Fragments Mycologiques IX: Contrib. à la Flore mycologique du Tonkin; in Journal de Botanique 1890, p. 52, pl. II, fig. 3).

Ich habe diese Art nicht selber in Java gesammelt: Patouillard aber giebt an [1]), vier in Alkohol conservirte Exemplare derselben unter den von G. Clautriau 1896—97 gesammelten Pilzen gefunden zu haben, welche nach seiner Angabe unzweifelhaft den Originalexemplaren aus Tonkin entsprechen.

Ich gebe hier die Original-Diagnose von Patouillard wieder:

„Plante de 6—7 cent. de longueur. Volve ovale, rougeâtre, „longue de 2 cM., large de 10 mM. Stipe grêle, à peine atténué „vers le haut, large de 5—7 mM., réticulé. Partie sporifère „conique, imperforée, bosselée rugueuse, longue de $^1/_6$ ou de „$^1/_7$ de la longueur totale, large inférieurement de 6 mM. „Champignon de couleur rose tendre. Odeur un peu spermatique.

1) N. Patouillard. Quelques Champignons de Java (Bull. de la Soc. Mycolog. de France XIV, 1898, p. 12 des Separ. abdr.

„Cette espèce diffère du *M. bambusinus* par sa partie sporifère „moins allongée et surtout par son stipe qui n'est pas régu-„lièrement perforé, mais simplement réticulé, les mailles du „réseau étant un peu allongées dans le sens de la longueur".

In der oben citirten Note von 1898, welche das Vorkommen von *M. minimus* in Java constatirt, fügt Patouillard hinzu: „La surface du stipe est réticulée bulleuse et non perforée; „la portion sporifère bien développée est marquée d'un réseau „de crêtes saillantes délimitant des alvéoles anguleuses presque „toutes égales et n'ayant pas une direction transversale".

Die hier zugefügten Charactere der sporentragenden Partie, und die geringen Dimensionen einiger der von Clautriau gesammelten Exemplare machen es mir fast wahrscheinlich, dass diese javanischen Specimina nicht dem *M. minimus* Pat. angehören, sondern der weiter unten von mir beschriebenen *Jansia rugosa*. Herr Patouillard hatte die grosse Freundlichkeit, mir ein Originalexemplar des *M. minimus* aus Tonkin zur Ansicht einzusenden, und ich konnte mich überzeugen, dass derselbe sicher ganz wesentlich von den beiden Arten von *Jansia* abweicht, die ich weiter unten beschreibe; doch bleibt mir ein Zweifel über die Zugehörigkeit der Clautriau'schen Exemplare aus Buitenzorg.

Gen. 2. Jansia nov. gen.

Receptaculum hohlröhrig, spindelförmig, an der Spitze durchbohrt oder geschlossen; sporentragender Theil in die Stielwand direct übergehend. Stielwand aus einer einzigen Schicht blasenförmiger, allseitig geschlossener Kammern gebildet; sporentragender Theil ähnlich organisirt: aber die Kammern sind nach innen weit offen; und auf der Aussenseite ist die Gleba auf zapfenförmige, cylindrische Fortsätze oder hervorragende, netzförmig verbundene Leisten aufgelagert. Die Aussenseite des fertilen Theiles zeigt also verschiedene Structur, als die des Stieles.

Die beiden Arten dieser neuen Gattung, die ich Hrn. Prof.

Dr. Janse (jetzt Professor in Leiden, 1896—1897 Chef des Fremdenlaboratoriums in Buitenzorg) mir zu widmen erlaube, gehören zu den zierlichsten und kleinsten Phalloideen. *Jansia* ist jedenfalls der Gattnng *Mutinus* zunächst verwandt, verhält sich aber zu derselben, wie etwa *Kalchbrennera* zu *Simblum*. Von *Floccomutinus* Henn. unterscheidet sie sich durch die gekammerte Stielwandung und verschiedene Organisation der Gleba-tragenden Fortsätze. Sie umfasst vorläufig zwei gut unterschiedene Arten, die ich *J. elegans* und *J. rugosa* benenne.

1. *Jansia elegans* n. sp. (Taf. XX A; Taf. XXII, Fig. 5—13).

Einzeln oder gesellig wachsend; oft mehrere Individuen seitlich aneinanderhängend. Ganzer Fruchtkörper 4—5 cM. hoch. Volva oblong-elliptisch, weiss. Stiel cylindrisch, sehr zart, weiss, durchscheinend, 10—20 mM. lang, 3—4 mM. dick, mit gekammerter Wandung; die Kammern in einer einzigen Schicht, allseitig geschlossen, schwach nach aussen vorgewölbt. Sporentragende Partie 10—14 mM. lang (also nur um weniges kürzer, als der Stiel), allmählig verjüngt gegen die Spitze, allseitig mit zapfenförmigen, hohlen, cylindrischen, 1—1.5 mM. langen Fortsätzen dicht besetzt, hellbraun.

Auf todten Bambus-Stängeln, am Tjibalok; zwischen dem Wurzelfilz alter Palmen im Rotang-Quartier des Botanischen Gartens von Buitenzorg, nicht selten. December, Januar.

Man findet eben so häufig vereinzelte Fruchtkörper, wie kleine Gruppen von 2—7 verwachsenen Individuen zusammen, von gemeinschaftlichem Mycel ausgehend. Das letztere ist oberflächlich, z. B. auf dicken, todten Bambushalmen, oder zwischen verfilzten Wurzeln kriechend, schneeweiss. Die dickeren Verzweigungen sind cylindrisch, etwa zwirnsfadendick; sie theilen sich aber reichlich, und zerfächern sich endlich in spinnewebenfeine, seidige Hyphen.

Die jungen Eier, von denen ich zahlreiche Entwickelungsstadien fand, entstehen zunächst am Ende der feinsten, ausstrahlenden Verzweigungen; die dazu führenden Stränge aber

verdicken sich vor dem Ei wieder. Die Eier sind reinweiss, zuerst fast kugelig, dann mehr in die Länge gestreckt, mit matter Oberfläche, halb durchscheinend, so dass man in späteren Stadien die schwarze Gleba durchschimmern sieht. An dem ausgewachsenen Pilze hat die Volva 10—12 mM. Länge, auf 5—7 mM. Dicke.

Der Stiel ist schlank, cylindrisch, gerade oder manchmal leicht gekrümmt, weiss, porzellanartig durchscheinend, auf der Oberfläche durch die convex vorspringenden Kammern leicht höckerig (Taf. XXII, Fig. 5). Die Kammern sind ziemlich gleich gross, von etwa 1—1.5 mM. Durchmesser, fast blasenförmig. An der Aussenseite des Stieles sah ich nie eine Durchlöcherung der Kammerwände. Der Querschnitt des Stieles zeigt eine grosse centrale Höhlung (Taf. XXII, Fig. 8) und eine einzige Schicht ziemlich gleich grosser Kammern in der Wandung. Jede derselben ist viel kleiner als der centrale Hohlraum des Stieles. Die Wände der einzelnen Kammern sind meist nur aus einer einzigen Schicht sphaerischer, sehr kleiner, farbloser Zellen gebildet (Taf. XXII, Fig. 9).

Der fertile Theil des Receptaculum's ist wenig kürzer als der Stiel, oder im extremsten Falle immer noch halb so lang als der letztere; der Uebergang vom Stiele zum „Kopfe" ist ohne besondere Abgränzung übermittelt (Taf. XXII, Fig. 6, 7).

Die Kammern der Stielwand setzen sich in gleicher Grösse im Kopftheil fort: aber während sie in der sterilen Partie des Receptaculum's allseitig geschlossen sind, sehen wir sie in der sporentragenden Partie alle auf der Innenseite (in der Höhle des Receptaculums) durch eine weite Perforation geöffnet. (Taf. XXII, Fig. 7). Ausserdem aber ist der fertile Theil von einer dünnen Haut überzogen, die sich auf der ganzen Oberfläche zu cylindrischen Fortsätzen erhebt, welche dem Kopfe des Receptaculum's ein eigenthümliches, struppig-weichzottiges Aussehen giebt (Taf. XXII, Fig. 6, 7). Feine Quer- und Längsschnitte des Kopfes zeigen, dass diese Fortsätze hohl sind, und durch handschuhfingerartige Ausstülpung jener Haut hervorgerufen sind. Ihre freie Endigungen sind abgerundet: sie dienen

augenscheinlich dazu, die später zerfliessende Glebamasse mit den Sporen zu tragen. Gewöhnlich stehen die cylindrischen Fortsätze dicht gedrängt, ohne Ordnung, horizontal von der Receptaculum-Wandung ab; in einigen grösseren Exemplaren jedoch erschienen sie, besonders an der Basis der sporentragenden Partie, netzförmig angeordnet.

Die Spitze des Receptaculums ist meist geschlossen; nur in zwei Exemplaren (in denselben, die sich auch durch bedeutendere Grösse und durch die eben erwähnte netzförmige Anordnung der Zäpfchen unterschieden) war eine ziemlich weite, terminale, runde Perforation auffallend. Man hat vielleicht der Ausbildung der Receptaculum-Spitze (mit oder ohne Perforation) in der Systematik der Phalloideen zu grosse Wichtigkeit zugemessen, da in derselben Species diese Verhältnisse variiren können.

2. *Jansia rugosa* n. sp. (Taf. XX B, Taf. XXIII, Fig. 1—4).

Meist gesellig, mehrere Receptacula seitlich verklebt; Eier und Volva kugelig, obovat oder birnförmig, gelblich weiss. Stiel wie in voriger Art, 7—15 mM. lang, 2—3 mM. dick, weiss. Sporentragende Partie kurz, etwa nur ein Fünftel der Gesammtlänge (welche 2—3 cM. ist) betragend, conisch zugespitzt, bis 5 mM. lang; mit netzförmig verbundenen, vorspringenden Leisten bedeckt.

Auf faulendem Holz, an Baumstämmen, bei Tjibodas (gegen 1400 Meter Höhe), Java; März 1897.

Diese Art unterscheidet sich von der vorhergehenden auf den ersten Blick durch ihren Habitus, und zwar vornehmlich durch die verschiedene Proportion zwischen Stiel und Kopftheil; ausserdem durch die verschiedene Ausbildung der Aussenseite in der sporentragenden Partie.

Von dem Mycel habe ich nur dickere, schneeweisse Stränge gesehen, die etwa wie ein Zwirnsfaden stark und nicht reich verzweigt waren. Die Eier sind meist traubenartig zusammengedrängt, mehr oder weniger fest mit einander verwachsen,

seltener isolirt. Sie sind weniger regelmässig als die der *Jansia elegans*, zuerst kugelig, später verlängert und im oberen Theile verdickt, birnförmig oder verkehrt eiförmig, oft ein wenig faltig oder unregelmässig (Taf. XX B; Taf. XXIII, Fig. 1).

Der Stiel ist cylindrisch, 7—15 mM. lang, 2—3 mM. dick, hohl; die Stielwand mit einer Schicht blasiger Kammern. Auch hier sind die Kammern im Stiele allseitig geschlossen; die Wandungen sind aus einer Schicht sphaerischer, farbloser Zellen gebildet, die ein wenig grösser sind, als die von *J. elegans*, (siehe Taf. XXIII, Fig. 5, im Vergleich mit Taf. XXII, Fig. 9. Die beiden Zeichnungen sind bei gleich starker Vergrösserung mit dem Zeichenprisma hergestellt).

In dem kurz conischen Kopftheil sind die Wandkammern nach der Innenhöhle zu durch grosse Löcher geöffnet: das Häutchen, welches die Aussenseite überkleidet, ist in zahlreiche, netzförmig verbundene Leisten emporgewölbt, welche dem sporentragenden Theil ein netzig-runzeliges Aussehen verleihen. Die Glebamasse hängt an diesen Wülsten fester an, als an der Oberfläche des Receptaculum's, so dass sie an halbreifen Exemplaren dunkelbraun erscheinen, während zwischen ihnen, in den Maschen des Netzes, die Wände der hellweissen Receptakel-Kammern durchscheinen. Die Netzwülste können mehr oder weniger erhaben sein (Taf. XXIII, Fig. 2, 3). Das obere Ende des Receptaculum's war in den von mir gefundenen Exemplaren stets geschlossen, nicht perforirt; die Gleba dunkel olivenbraun; die Sporen sehr klein, länglich, wie bei der Mehrzahl der Phalloideen.

Gen. 3. Ityphallus Fr.

Receptaculum bestehend aus einem hohlröhrigen Stiel mit gekammerter Wandung, an dessen oberem Ende ein glockenförmiger, aussen von der Gleba bedeckter Hut befestigt ist.

1. *Ityphallus tenuis* Ed. Fischer. (Taf. XXIII, Fig. 6—9).

Unter diesem Namen hat E. Fischer 1885 (l. c. pag. 4, Taf. I—III, Fig. 1—18) eine Art von *Ityphallus* beschrieben, welche von *I. impudicus* besonders in der isabellgelben Farbe, in der pseudo-parenchymatischen Structur des Hutes und in dem Aufbau der Stielwand (nur mit einer Schicht von Kammern) abweicht. Fischer giebt auch die geringeren Dimensionen als Unterscheidungsmerkmal von der europaeischen Art an: jedoch glaube ich, dass von diesem Charakter abgesehen werden muss. Ich habe während meines Aufenthaltes in Tjibodas zahlreiche Exemplare eines *Ityphallus* gesammelt, der sonst in allen Charakteren völlig mit denen des *I. tenuis* E. Fisch. übereinstimmte, aber durchgehends grösser war. Einzelne meiner Exemplare erreichen eine Gesammthöhe von 17 cM., also fast das Doppelte der Länge von *I. tenuis* Fisch. (7—10 cM.). Daneben fand ich freilich völlig reife Exemplare von 12 cM. Länge, und sogar ein Zwerglein, kaum 5 cM. lang, doch mit völlig ausgebildetem Hut und reifer, abtropfender Gleba.

Die Species ist auf Java gewiss nicht selten und scheint auch in der ganzen indo-malesischen Region verbreitet. Fischer sah auch Exemplare von Ceylon.

Zu der von Ed. Fischer l. c. gegebenen Beschreibung mögen die folgenden Zeilen noch einige Erweiterungen und Zusätze geben.

Die Mycelstränge sind an meinen Exemplaren relativ stark, besonders in der Nähe der Volva, bis 2 mM. im Durchmesser, schneeweiss. Die Volva grauweiss, innen gallertig; die Eier zuerst sphaerisch, dann oblong.

Der Stiel variirt in Länge, wie oben gesagt; und auch sein Durchmesser wechselt in Proportion mit der mehr oder minder starken Ausbildung der Individuen. In den stärksten Exemplaren, von 17 cM. Länge, hatte der Stiel an der Basis einen Durchmesser von 2 cM. Die Dicke nimmt allmählig, aber deutlich, gegen die Spitze zu ab; und namentlich am Ende,

unter dem Hute, ist der Stiel relativ sehr dünn, manchmal kaum 5 mM. im Durchmesser haltend. Seine Farbe ist isabellgelb, d. h. sehr blassgelb, fast weisslich: an Spiritus-Exemplaren sind die Stiele ganz weiss. Solange der Hut noch von der Gleba und Sporenmasse bedeckt ist, hebt er sich durch deren dunkel-olivengrüne Farbe scharf von dem hellen Stiele ab: ist später die Gleba abgetropft oder durch Regen abgewaschen, zeigt der papierdünne Hut dieselbe Farbe wie der Stiel. Die Wandung des letzteren ist, wie Fischer angiebt, von einer einzigen Lage von Kammern gebildet, und daher sehr zart, fast durchscheinend. Die Kammern sind verhältnissmässig gross, etwas in die Länge gestreckt, mit welligen Radialwänden. Auch auf der schwach convexen Aussenwand sind oft noch wellenförmige Längsfalten sichtbar (Taf. XXIII, Fig. 8). Die Kammern sind in der unteren Hälfte des Stieles kleiner als in der oberen, etwa 2—3 mM. im tangentialen Durchmesser, ziemlich isodiametrisch.

In der oberen Hälfte sind die Wandkammern viel mehr verlängert, bis 7 und 8 mM. lang auf 4—5 mM. Breite; und in der dünnen, vom Hute verdeckten Partie ist die Disproportion von Länge und Breite noch viel ausgesprochener. (Taf. XXIII, Fig. 8).

Im unteren Theile des Stieles haben die Kammern meist durchlöcherte Aussenwand; die nach der Innenhöhle des Stieles gerichteten Wände sind dagegen intact, oder nur durch ganz feine Poren geöffnet (Taf. XXIII, Fig. 9). In der oberen Stielpartie sind die Kammern meist geschlossen. Ihre Wandungen bestehen aus 1—2 Schichten kleiner, sphaerischer, farbloser Pseudoparenchym-Zellen.

Der Hut, in den grössten meiner Exemplare bis 4,5 cM. lang, ist conisch-glockenförmig, zart, etwa von der Dünne feinen Postpapiers, mit geradem oder seicht gewelltem Rande. Die Netzleisten welche seine Aussenseite bedecken, sind scharf markirt und verhältnissmässig hoch, mit scharfen Kanten nach aussen. Während sie im oberen und mittleren Theile des Hutes ganz unregelmässig netzig verbunden, und vielfach wellig oder

im Zickzack geschlängelt sind, werden sie gegen den freien Hutrand zu, im unteren Viertel des Hutes, ziemlich parallel und laufen so an der unteren Kante des Hutes aus. Die Hutfläche selber zeigt, wie Fischer sehr gut beschreibt, innerhalb der einzelnen Maschen noch horizontale Wellenfaltung.

Das obere Ende des Hutes und des Receptaculum's ist, wie bei allen ächten *Ityphallus*-Arten, durchbohrt; die Ränder der terminalen Oeffnung sind kragenartig zurückgeschlagen. Bezüglich der Ausbildung dieses Kragens aber weichen die einzelnen Individuen vielfach von einander ab: bald ist die Oeffnung von einem einfachen, fleischigen, farblosen Wulst umgeben (Taf. XXIII, Fig. 6), bald ist dieser Wulst breiter und kragenförmig umgeschlagen (Taf. XXIII, Fig. 8); je breiter er ist, desto zarter pflegt er zu sein, und wird zuletzt ganz fein membranös. Auffallend ist in einem meiner Exemplare die Bildung eines doppelten Kragens (Taf. XXIII, Fig. 7): im Allgemeinen jedoch darf man der Gestaltung dieses Gebildes nicht zu grosse Bedeutung für die Unterscheidung der Arten zumessen; denn wie wir auch weiter unten bei *Dictyophora* sehen werden, ist die Variabilität innerhalb der einzelnen Arten sehr gross.

Eine andere bemerkenswerthe Erscheinung bei *Ityphallus tenuis* ist das Auftreten einer Art von Indusium zwischen dem Hute und dem oberen Theile des Stieles. Auch Ed. Fischer erwähnt schon (l. c. p. 22) kurz die Anwesenheit einer Haut, welche er als „Rest der Stiel und Hut trennenden Primordialgewebes" auffasst. Dieses Gebilde ist nicht in allen Individuen gleich ausgebildet: einmal nur als äusserst feines, durchsichtiges Häutchen, andere Male aber als ziemlich derbe, compacte Membran, welche den Stiel kragenartig oder fast glockenförmig umgiebt (Taf. XXIII, Fig. 8 *h*). Ihre Structur ist nicht pseudoparenchymatisch; vielmehr ist sie aus eng verflochtenen, cylindrischen Hyphen zusammengesetzt.

Gleba und Sporen bieten nichts Bemerkenswerthes.

2. *Ityphallus costatus* n. sp. (Taf. XXIII, Fig. 10—11; XXIV, Fig. 1—3).

Unter den von Hrn. Max Fleischer in Java gesammelten Phalloideen befand sich auch ein ausgewachsenes Exemplar einer Species, die ich für neu halte. Sie ähnelt in Gestalt dem *I. tenuis*, ist aber weit derber, durchaus fleischig, und lässt sich durch die anatomische Structur des Stieles und Hutes von dieser Art sofort unterscheiden.

Die Volva ist gross, knollig, etwa 5 cM. im Durchmesser haltend, nur durch einen dicken Mycelstrang, der aus dem Centrum der etwas abgeplatteten Basis entspringt, an den Boden befestigt. Ihre Farbe ist aussen hell gelbbraun, und hier und da, besonders in der oberen Hälfte, durch braune Flecke auf hellerem Grunde gescheckt. Die derbe, fast lederige Aussenschicht ist von der schneeweissen, dicken Gallertschicht sehr deutlich getrennt.

Die Gesammthöhe des Pilzes beträgt 19—20 cM. Der Stiel, nach oben und unten gleichmässig schwach verjüngt, hat gegen seine Mitte einen Durchmesser von 2 cM. Er ist rein weiss, runzelig-blasig. Seine Wandung besteht (Taf. XXIII, Fig. 11) aus drei Lagen von Kammern, von denen die äussersten hier und da nach aussen hin durchlöchert sind. Die Kammerwände sind aus mehreren Schichten ziemlich grosser, sphaerischer Pseudoparenchymzellen zusammengesetzt.

Der Hut, 4,5 cM. lang und 2,5 cM. dick, ist kegelig-glockenförmig, ziemlich eng dem oberen Stielende anliegend, derb, weiss; die Glebamasse, welche in dem mir überlieferten Exemplare wohl erhalten war, hat dunkel-olivengrüne Farbe. Die Substanz des Hutes selber ist gelblich-weiss, fleischig, viel derber als bei *I. tenuis*. Die Aussenseite ist mit ziemlich hohen Netzleisten versehen, welche ganz ähnlich wie bei *I. tenuis* im unteren Drittel, gegen den freien Rand zu parallel auslaufen, während sie im mittleren und oberen Theile unregelmässig polygonale Maschen bilden (Taf. XXIII, Fig. 10). Die Leisten

oder Rippen sind stark erhaben, etwa 3—5 mM. hoch, so dass der Hut, wenn er von der Glebamasse befreit ist, eine sehr stark gerippte Aussenseite zeigt (Taf. XXIV, Fig. 1). Die Stücke der Hutfläche, welche den Boden der Netzmaschen bilden, sind flach: nur gegen den unteren, freien Rand zu erscheinen sie in der Längsrichtung gefältelt. Auch der leicht nach aussen aufgekrempte Hutrand ist wellig gefaltet.

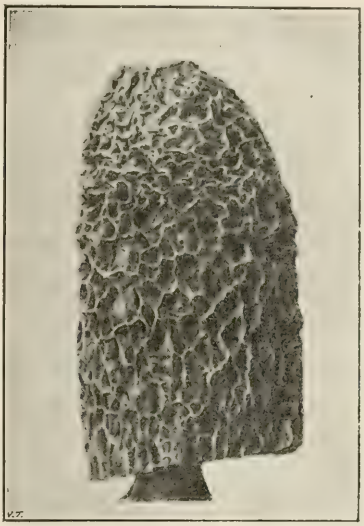
Ein Querschnitt durch die Hutwand oder durch eine der Netzrippen zeigt eine sehr charakteristische Structur, die ganz von der des *I. tenuis* abweicht. Der Hut ist aus deutlich unterscheidbaren, verflochtenen, cylindrischen Hyphen gebildet (7—10 Microm. dick), auf welche eine dicke Schicht Gallertgewebe nach aussen hin folgt. Entsprechend diesem sehen wir auch in den Rippen eine complicirtere Zusammensetzung: ihre centrale Masse ist von ziemlich festem Gewebe starker, cylindrischer Fäden zusammengesetzt, während nach aussen zu, auf beiden Seiten, eine Gallertschicht mit sehr feinen Hyphen aufgesetzt ist. (Taf. XXIV, Fig. 2, 3). Die Sporen sind von der gewöhnlichen Form und Grösse der Phalloideensporen.

Die Species wurde am 14. Juni 1898 von Hrn. Max Fleischer im Walde, nahe am Gipfel des Vulcanes Gedeh (2600 M. Höhe) gefunden; nach Fleischer's Angaben war der von dem reifen Fruchtkörper ausgehauchte Geruch nicht unangenehm.

3. *Ityphallus favosus* n. sp. (Taf. XXIV, Fig. 4—5).

Diese Art, welche ebenfalls bisher noch nicht beschrieben scheint, ist ein Riese unter ihren Gattungsgenossen. Ich habe Exemplare davon im Urwalde von Tjibodas gesammelt, welche fünfunddreissig cM. hoch waren; der Umfang des Hutes eines sehr grossen Exemplares betrug 17 cM., und dessen Durchmesser 5 cM. an der Basis. Ausser durch diese auffallenden Dimensionen ist *I. favosus* besonders durch die Sculptur der Aussenseite des Hutes bemerkenswerth: dieselbe ist mit scharfrückigen, hohen, netzig verbundenen Rippen so dicht bedeckt,

dass ihr Anblick wabig-zellig ist. (Siehe die nebenstehende Figur, fast in Lebensgrösse). Das Mycel ist auf wenige, bis 3 mM. dicke, weisse, cylindrische Stränge beschränkt; die Volva etwa von der Grösse einer Kinderfaust (6—7 cM. im Durchmesser), derb, mit deutlicher Unterscheidung der äusseren festen und der inneren gallertigen Schicht, hellgrau oder weisslich.



Der Stiel ist von wechselnder Stärke, je nach der Grösse der Individuen, und gemäss deren Entwickelung verschieden hoch. Bei einem völlig reifen Individuum, bei dem die Glebamasse schon fast ganz ausgewaschen war, fand ich den Stiel 35 cM. lang und bis 6 cM. dick; in kleineren Exemplaren war er 15—20 cM. hoch, 4.5—5 cM. dick. Die Stielwand ist dabei relativ zart und dünn, im Verhältniss zu der sehr weiten Centralhöhlung; sie besteht aus zwei bis drei Schichten blasiger Kammern, von denen die innersten die grössten sind.

Die Structur der Kammerwände ist die gewöhnliche, mit wenigen Schichten sphaerischer, farbloser Pseudoparenchymzellen. Dieselbe sind jedoch grösser als bei den vorgehend beschriebenen Arten, 20—35 Micromill. im Durchmesser. Die Farbe des Stieles ist hell gelblich weiss, die Consistenz zart, sehr brüchig, so dass es sehr schwer ist, unversehrte Exemplare heimzubringen.

Der Hut ist glockenförmig, oben stumpf zugerundet, der freie Rand dem Stiel parallel senkrecht abfallend, scharfkantig, nur an älteren Exemplaren am Rande etwas aufgerollt. Die Oeffnung am oberen Ende des Hutes ist meist nicht ein runder Porus, sondern etwas in die Länge gezogen, und von mehr oder minder stark entwickelten, weissen, fleischigen Lippen umgeben, die jedoch kaum wulstig erhaben sind.

Die Aussenseite des Hutes ist, wie im Anfang gesagt, mit einem sehr charakteristischen Netz von bis 4 mM. hohen, mit scharfer Schneide versehenen Leisten versehen, welche relativ enge und tiefe Maschen umschliessen, so dass sie an die polygonalen Zellen eines Bienenstockes erinnern. Auf dem Grunde der einzelnen Maschen oder Zellen, und auf deren Seitenwänden sind oft noch secundäre, weniger stark vorspringende Leisten aufgesetzt. Die ganze Substanz des Hutes ist dabei relativ zart, grauweiss, fast durchscheinend, besonders die Stücke der Hutfläche, welche den Boden der Wabenzellen darstellen. Parallele Anordnung der Leisten gegen den Hutrand zu, wie wir sie für *It. tenuis* und *It. costatus* so charakteristisch gefunden, ist hier nicht oder doch kaum merklich angedeutet. Von der Innenseite aus betrachtet, zeigt der Hut eine blasig-runzelige Oberfläche, da der Boden der einzelnen Wabenzellen convex nach der Hutunterseite vorspringt (Taf. XXIV, fig. 4). Auch dieses Kennzeichen ist für *It. favosus* sehr charakteristisch.

Die anatomische Structur des papierdünnen Hutes ist von der der beiden vorhergehenden Arten sehr verschieden. Die Hutwand und die Lamellen bestehen aus pseudoparenchymatischen Zellen, die aber nicht, wie bei *It. tenuis*, sphaerisch, sondern oblong, kurz cylindrisch, oft gekrümmt und wurstförmig sind (Taf. XXIV, Fig. 5). Auf der inneren (unteren) Seite des Hutes ist eine dünne Gallertschicht bemerkbar; dieselbe fehlt dagegen ganz auf der Aussenseite und längs der Rippen. Gleba und Sporen sind denen der anderen Arten ähnlich.

Itophallus favosus ist in dem Urwalde von Tjibodas nicht gerade selten: ich fand jüngere Stadien davon schon im Februar 1897, und reife Exemplare gegen Ende März.

Gen. 4. Dictyophora Desv.

Receptaculum ganz ähnlich geformt wie bei *Ityphallus*; nur dass im oberen Theile des Stieles, unter dem Hute, ein stattliches, meist netzförmiges herabhängendes Gebilde, das sogenannte Indusium entspringt.

1. *D. phalloidea* Desv. (Taf. XVI, XVII).

Journ. de Bot. II, 1809, p. 88.

Diese elegante, vielfach variirende Art ist schon so oft von verschiedenen Autoren (und unter sehr zahlreichen Namen) beschrieben, und bezüglich ihrer Synonymie, Structur und Entwickelung von Ed. Fischer und Alfr. Moeller so eingehend studirt worden, dass ich mich hier darauf beschränken kann, ihr verhältnissmässig häufiges Vorkommen in Buitenzorg (und wohl auch anderwärts in Java) zu constatiren. Fast im ganzen Jahre (vielleicht ausgenommen die trockensten Monate) erscheinen ihre zierlichen Fruchtkörper zwischen den abgefallenen Blättern, an grasigen Stellen im Botanischen Garten von Buitenzorg und in den Kampongs der Umgegend. Weiter herauf im Gebirge habe ich sie nicht angetroffen; auch in Tjibodas fand ich keine Art von *Dictyophora*.

Die um Buitenzorg häufige Form entspricht dem von E. Fischer als *D. campanulata* E. F. [1]) bezeichneten Typus, mit ganz flachen Bändern des Indusium-Netzes. Unsere Tafeln XVI und XVII geben gute Abbildung der zwei hauptsächlichen Varietäten, die bezüglich der stärkeren oder geringeren Ausbildung des Wulstes am oberen Hutende und in der Prominenz der Netzleisten auf der Aussenseite des Hutes sich unterscheiden. An einigen Punkten unserer Figuren ist die Perforation der flachen Netzbänder deutlich bemerkbar. Der untere Rand des Netzes ist meist von einem continuirlichen Saumbande abgeschlossen; doch kommen auch individuelle Abänderungen vor, in denen das Netz theilweise oder auch ringsum mit zerrissenen Maschen endigt. Die Volva ist veränderlich in ihrer Farbe, grau oder weisslich, glatt oder mit verstreuten flockigen Zotten besetzt; die Höhe des Stieles und des ganzen Receptaculum's variabel.

1) E. Fischer, Untersuch. z. vergleich. Entwickelungsgesch. und Systematik der Phalloideen, 1890, p. 82.

Die Netzleisten des Hutes sind im untersten Viertel etwas enger an einander gedrängt, und verlaufen für eine kurze Strecke parallel, senkrecht auf den freien Hutrand.

2. *Dictyophora irpicina* Pat. (Taf. XXIII, XXIV, Fig. 6—8; XXV, Fig. 1.

Patouillard in Bull. Soc. Mycol. de France XIV, 4, 1898.

Diese neuerdings von Patouillard beschriebene Species ist sehr leicht von *D. phalloidea* zu unterscheiden durch die völlig verschiedene Structur der Hut-Aussenfläche. Während wir bei allen den zahlreichen Formen von *D. phalloidea* mehr oder wenig erhabene Netzleisten sehen, welche der Oberseite des Hutes ein wabig-netziges Ansehen geben, ist bei *D. irpicina* Pat. schon bei oberflächlicher Betrachtung der Mangel dieser Leisten sehr auffallend. Die Aussenseite des Hutes zeigt, wenn man die ziemlich lange anheftende Gleba beseitigt, eine fast granulös-runzelige Oberfläche. Patouillard sagt (l. c.) „... des crêtes minces, peu élevées, rectilignes ou diversement contournées, très rapprochées les unes des autres, parfois incisées ou interrompues, simples ou rameuses, à arête obtuse, qui couvrent toute la face externe". Unsere Abbildung (Taf. XXIV, Fig. 7) giebt in doppelter Grösse die Ansicht eines Theiles der Hutoberfläche; man sieht darauf die kurzen, dicht gedrängten, vielfach unterbrochenen Runzeln, mit denen jene Oberfläche bedeckt ist. Gegen den freien Rand zu (nach unten in Fig. 7) verlaufen die Runzeln parallel. Es wäre vielleicht besser gewesen, anstatt *D. irpicina* (nach welcher *Irpex*-Art?) die Species *D. rugulosa* zu nennen, auch um die Analogie mit der Section der *Rugulosi* in der Gattung *Itysphallus* anzudeuten. *Dictyophora irpicina* Pat. verhält sich zu *D. phalloidea* Desv. und den ähnlichen Arten ganz wie die *Phalli rugulosi* von Ed. Fischer zu den *Ph. reticulati.*

Mit der Gattung *Itajahya*, welche Patouillard citirt, finde ich absolut keine Aehnlichkeit: wenn man eine Theilung der

wenigen *Dictyophora*-Arten in Sectionen annehmen will, würde ich deren Gruppirung in eine Section *Reticulatae* und eine *Sect. Rugulosae* für naturgemäss halten.

Einige mehr detaillirte Beobachtungen mögen die von Patouillard gegebene Diagnose und Beschreibung ergänzen.

Die Mycelstränge sind schneeweiss, ziemlich stark (bis 2 mM. dick), reich verzweigt. Die Volva ist in allen von mir gesammelten Exemplaren graubraun, aussen matt, opak.

Die Grösse der Individuen ist ziemlich variabel; im Allgemeinen glaube ich angeben zu können, dass *D. irpicina* Pat. gewöhnlich kleiner ist, als gleichalterige Exemplare von *D. phalloidea*. Meine Exemplare variiren von 9 zu 14 cM. Höhe; die Dicke des cylindrischen Stieles wechselt in gleichem Verhältniss von 1,5 zu 2 cM. Der Hut ist etwa 2,5—3 cM. lang.

Stiel und Indusium sind rein weiss, der Hut graubraun, die Glebamasse dunkel olivengrün. Die Wandung des hohlen Stieles ist aus zwei Schichten blasiger Kammern zusammengesetzt, die etwa gleich gross sind (Taf. XXIV, Fig. 6); die äusseren Wände der Aussenschicht sind sehr vielfach durch weite Löcher geöffnet, die nach der Stielhöhle gewandten Wände dagegen alle unversehrt.

Von dem Indusium giebt Patouillard an, es sei kürzer als bei *D. phalloidea*; seine Maschen seien kleiner, und es sei „beaucoup moins distant du stipe, qu'il entoure comme d'une sorte de gaine". Das hängt wohl nur von der Art der Conservation ab: die von lebenden, turgescenten Exemplaren hergestellten Photographien unserer Tafel XVIII zeigen zwar ein kürzeres Indusium als bei *D. phalloidea*, aber dasselbe steht weit glockenförmig vom Stiele ab, und die Maschen des Netzes sind an meinen Exemplaren sogar durchgehends weiter als die der vorhergehenden Art.

Alle diese Charactere haben für die Unterscheidung der Species kaum irgend welchen Werth, und sind nicht einmal individuelle Eigenthümlichkeiten, da verschiedene Stadien der Entwickelung, des Turgor's, der Schrumpfung in Conservationsflüssigkeit bei jedem Exemplare verschiedene Bilder hervorbringen können.

Die Netzbänder des Indusium's sind in meinen Exemplaren flach bandförmig zusammengedrückt (jedoch immer innen hohl), oft durch runde Löcher perforirt; ihre Wandung besteht aus ein bis vier Schichten sphaerischer, pseudoparenchymatischer Zellen von 24—27 Mikromill. Durchmesser.

Der untere Rand des Indusium's war bei unseren Exemplaren nie durch ein geschlossenes Band abgegränzt, sondern endete mit fransenartig herabhängenden Zipfeln oder offenen Maschen: aber auch das mag wohl variiren.

Die Angabe Patouillard's, dass der Hut „*apice impervius*" sei, ist wohl nicht exact. An gut entwickelten Exemplaren ist am Scheitel eine deutliche Oeffnung vorhanden, welche in die Stielhöhle hereinführt; und wenn auch an allen meinen Exemplaren ein deutlicher Ringwulst um diese terminale Oeffnung fehlt, ist doch nach Analogie mit anderen Arten von *Dictyophora* und *Ityphallus* anzunehmen, dass gelegentlich kragenartige Ausbildung der Terminalöffnung vorkommen kann.

Ein Querschnitt des Hutes (Taf. XXV, Fig. 1) zeigt dass auch die Hutwand längs gefältelt ist: auf ihrer Aussenseite erheben sich dann die nur etwa 0.5 mM. hohen kurzen Leisten, welche die ganze Oberfläche gleichmässig bedecken. Die anatomische Untersuchung des Hutes zeigt uns pseudo-parenchymatische Gewebe, aus sphaerischen Zellen zusammengesetzt, die etwa dieselbe Grösse haben, wie die entsprechenden Zellen von *D. phalloidea*. Von Gleba und Sporen ist nichts Besonderes zu bemerken.

Diese Species scheint etwas seltener zu sein, als die vorhergehende; ich habe nur neun Exemplare davon, alle aus Buitenzorg untersuchen können.

3. *D. multicolor* Berk. et Br. (Tafel XIX A.).

Transact. of the Linn. Soc. in London, 2 Ser., Bot. II, part. 3, 1883, p. 65, Tab. XIV, Fig. 16.

Auch diese Art ist von *D. phalloidea* leicht zu unterscheiden, besonders durch das orangefarbene Indusium.

Berkeley und Broome haben nur ein getrocknetes Exemplar dieser Species gesehen, und eine farbige Zeichnung davon: daher ist ihre Beschreibung ziemlich unvollkommen. Es sind auch seit Aufstellung der ersten Diagnose, so viel mir bekannt ist, keine weiteren Exemplare von *D. multicolor* gesammelt oder studirt worden, so dass meine Beobachtungen an lebenden Exemplaren und an gut conservirtem Spiritus-Material eine wünschenswerthe Bereicherung zur Kenntniss dieser Art liefern können.

Bisher war *D. multicolor* nur von Brisbane in Australien bekannt; in Buitenzorg fand ich sie nicht gar häufig. Ich glaube die javanischen Exemplare mit der australianischen Art identificiren zu müssen, da die kurze Beschreibung der Autoren, besonders was die Farbe bestimmt, ganz zutrifft. Die Volva war dunkelbraun, der Stiel blass gelblich, rahmfarbig (entsprechend der Farbe Y 6 auf Plate I von „The Prang Standard of Colour" oder dem „Cremeus" in Saccardo's Chromotaxia, Tab. II, Fig. 27); der Hut (wenn die dunkel olivengrüne Gleba abgewaschen war) dunkelgelb, und das Indusium schön orangefarben.

Die von Berkeley und Broome gegebene Zeichnung (l. c. Taf. XIV, Fig. 16) stimmt zwar bezüglich der Form und Sculptur des Hutes nicht ganz mit unseren Exemplaren überein, ist aber überhaupt wenig deutlich, und da nach trockenem Material gemacht, wohl wenig zuverlässig.

Die von mir gesammelten Exemplare sind durchschnittlich kleiner als die von *D. phalloidea*; die grössten 12—13 cM. hoch, der Stiel bis 2 cM. dick, der Hut 2.5—3 cM. lang.

Das Mycelium, von dem Ansatzpunkte des „Eies" ausstrahlend, besteht aus cylindrischen, nicht über einen Millimeter dicken, röthlichen Strängen, die sich reichlich verzweigen. Die Volva (etwa 2.5—3 cM. im Durchmesser) ist aussen braun, matt; auch die innere Gallertschicht hat eine bräunliche Färbung. Die hohle Stiel ist, wie oben gesagt, sahnfarben-gelblich, nach oben leicht verjüngt, am unteren Ende zugerundet. Seine Wandung besteht aus drei Schichten blasiger, polyedrischer,

isodiametrischer Kammern, alle ziemlich gleich gross (2—2.5 mM. Durchmesser); die der äussersten Schicht sind fast alle nach der Aussenseite hin durch weite, runde oder längliche Löcher geöffnet. Gegen die Stielhöhle dagegen sind die Kammern völlig geschlossen. Die Wandungen derselben bestehen aus verschiedenen Schichten sphaerischer, ziemlich grosser (20—40 Mikromill. Durchmesser) Zellen mit leicht gelblicher Membran.

Der Hut ist conisch-glockenförmig, bei unseren Exemplaren 2.5—3 cM. lang und am unteren Rande 2 cM. im Durchmesser haltend; in der Figur von Berkeley und Broome ist er 5 cM. hoch, auf etwa 2.5 cM. Durchmesser am unteren Rande. Seine Consistenz ist ziemlich zart; am oberen Ende umgiebt ein fleischiger Ringwulst die terminale Oeffnung; der untere, freie Rand ist bisweilen ein wenig nach aussen aufgerollt. Die Aussenfläche ist mit maschig verzweigten, scharfkantigen Netzleisten dicht bedeckt, ganz ähnlich wie bei *D. phalloidea*. Die Netzleisten sind wellig oder zickzackförmig hin und her gebogen, und „entsenden kleine Auszweigungen in die Maschen", ein Character den Ed. Fischer auch an dem Originalexemplar von *D. multicolor* Berk. und Br. im British Museum constatirte. Gegen den freien Hutrand hin werden die Netzmaschen enger, länglich, indem die Netzleisten parallele Richtung, senkrecht auf den Hutrand, annehmen. Auf unserer Figur in Tafel XIX, die nach lebenden Exemplaren (unter einer Glasglocke) gemacht ist, tritt die Sculptur des Hutes nicht sehr deutlich hervor, weil zum grössten Theile noch die Gleba erhalten war.

Die Structur der Hutwand ist pseudoparenchymatisch, mit sphaerischen Zellen.

Das Indusium war bei unseren Exemplaren, wie Taf. XIX zeigt, etwa halb so lang als der Stiel; aber das mag wohl variiren. Die Maschen des Netzes sind polygonal, die Bänder flach zusammengedrückt, innen hohl, und mit sehr zierlichen, runden Perforationen versehen, die auch auf unserer Abbildung in verschiedenen Punkten gut sichtbar sind. Der untere Rand des Netzes ist durch ein continuirliches Band scharf umgränzt.

Die Farbe ist orangeroth, kann aber bisweilen auch heller gelb sein. Verschiedene Schichten zarter, sphaerischer, 13—14 Mikromill. messender Zellen mit dünner, gelber Membran bilden die Wandung der einzelnen Netzbänder.

II. CLATHRACEAE.

Gen. 5. Simblum Klotzsch.

Receptaculum gitterig mit isodiametrischen Maschen, auf einem mehr oder minder langen, hohlen Stiele mit gekammerter Wandung. Gleba den gegitterten, oberen Theil des Receptaculums ausfüllend.

1. *S. periphragmoides* Klotzsch.

Hook., Botan. Miscell. II, p. 164, Tab. LXXXVI. (= *S. periphragmaticum* Corda, und *S. flavescens* Kurz).

„Volva weisslich, in 3—4 unregelmässigen Lappen geöffnet. „Der Stiel 4—7 cM. lang, 3.5—4 cM. dick, hohl, mit blasig-„zellig gekammerter Wandung, etwas längs gestreift, gelblich. „Der obere, netzig-gitterige Theil des Receptaculum's ziemlich „kugelig, mit zahlreichen fünfeckigen Maschen von 7—8 mM. „Durchmesser; die Balken des Netzes mit scharfer Kante „nach aussen, und mit zierlich gefalteten Seitenwänden".

Dies ist (fast wörtlich genau übersetzt) die Original-Diagnose nach Klotzsch l. c. Die von Klotzsch beschriebenen Exemplare waren von der Insel Mauritius. Später aber illustrirte Berkeley (in The Intellectual Observer IX, 1866, p. 401) aus Java, nach Aufzeichnungen und Skizzen von Sulpiz Kurz ein *Simblum flavescens* vom Tjiliwong bei Buitenzorg, das nach Angabe der Autoren und besonders von Ed. Fischer, dem besten Kenner der Phalloideen, mit *S. periphragmoides* Kl. identisch ist. Auch

Patouillard zählt *S. periphragmoides* Kl. unter den von J. Massart bei Buitenzorg gesammelten Pilzen auf. Die Art scheint also sicher in Java vorzukommen.

Ich selber habe typische Exemplare der Species nicht gesammelt: wohl aber einige Exemplare einer Form, welche mit *S. periphragmoides* Kl. nahe verwandt und von Berkeley als *S. gracile* n. sp. beschrieben worden ist.

Ed. Fischer, welcher in den Sammlungen des British Museum die Originalexemplare von *S. periphragmoides* Kl., *S. flavescens* Kurz und *S. gracile* Berk. gesehen hat, vereint alle drei Formen unter dem von Klotzsch gegebenen Namen.

Da die Hauptunterschiede zwischen *S. periphragmoides* Kl. und *S. gracile* Berk. in den kleineren Dimensionen des letzteren liegen, sonst aber keine bemerkenswerthe Structurdifferenzen vorzuliegen scheinen, mag die Zusammenziehung der beiden Formen in eine Species gerechtfertigt sein: doch wird man des verschiedenen Aussehens halber, und auf Grund der verschiedenen Proportionen *S. gracile* immerhin als eine Varietät von *S. periphragmoides* aufrecht erhalten können.

Einige Detail-Angaben über den Aufbau von *S. periphragmoides* Kl. var. *gracile* Penz. (Berk. als Art), nach Beobachtungen an lebenden und in Spiritus conservirten Exemplaren mögen hier Platz finden.

S. gracile Berk. unterscheidet sich also, wie oben gesagt, von *S. periphragmoides* Kl. besonders durch den schlankeren Aufbau und geringere Grösse. Eines meiner Exemplare (Taf. XIX B, die Figur ist ein wenig verkleinert) zeigte einen Stiel von 9—10 cM. Länge auf nur 2 cM. Dicke; der Kopf war 3 cM. hoch, 2.5 cM. breit; die Volva 3.5 cM. lang und 2.5 cM. dick. Ein anderes Exemplar (dessen Längsschnitt in Taf. XXIV, Fig. 9 in natürlicher Grösse gegeben ist) zeigte dieselben Maasse, aber der Stiel war nur 4.5 cM. lang.

Während die von Klotzsch abgebildeten zwei Exemplare der typischen Form sehr zahlreiche Maschen des stark entwickelten Kopfes zeigen (etwa 98 das eine Exemplar, und 124 das andere) haben unsere der Var. *gracile* angehörigen Exemplare

nur 64, resp. 66 Maschen in dem gitterförmig ausgebildeten Kopftheil. Die Maschen selber sind fünf- oder sechseckig, ziemlich regelmässig; ihr Durchmesser variirt von 3 mM. zu 6 mM. (von Rückenkiele des einen Balkens zu dem des anderen gemessen).

Das Mycelium bildet cylindrische, weisse Stränge von mittlerer Dicke. Die Volva ist rein weiss, von ziemlich zarter Textur. Der Stiel cylindrisch, nicht nach oben verdünnt, hohl, gelblich weiss, mit blasig-runzeliger Oberfläche. Seine Wandung zeigt zwei Schichten allseitig geschlossener Kammern, von denen die inneren grösser sind, als die äusseren. Die Kammerwandungen sind in den noch nicht völlig gestreckten Exemplaren tief wellig gefaltet: sie bestehen aus mehreren Schichten sphaerischer oder polyedrischer farbloser Zellen von 28—35 Mikromill. Durchmesser.

Der gitterförmig durchbrochene Kopf ist bei unseren Exemplaren etwas breiter als der Stiel, und ziemlich scharf von demselben abgesetzt, kugelig-isodiametrisch bei dem einen Exemplar, ein wenig elliptisch verlängert bei dem anderen. Die Balken des Receptaculum's, auf deren Seiten- und Innenfläche die dunkel-schwarzgrüne Gleba aufgelagert ist, haben den Durchschnitt etwa eines gleichschenkeligen Dreieckes, in welchem der Scheitel der äusseren, dorsalen Kante des Balkens entspricht. Diese Rückenlinie der einzelnen Balken verläuft zierlich im Zickzack; und dem entsprechend sind die Seitenwandungen tief wellig gefaltet (Taf. XXIV, Fig. 10). Die Balken sind hohl, nicht gekammert; ein tangentialer Schnitt, welcher ihr Inneres blosslegt (Taf. XXIV, Fig. 11), zeigt dass alle Balken mit einander in Verbindung stehen, ohne Spur von Scheidewänden in den Knotenpunkten. Die Wandung der Balken besteht grösstentheils aus sphaerischen Zellen von 10—17 Mikromill. Durchmesser: dieselben sind zu einem ziemlich lockeren, lückenreichen Gewebe vereint, und verlängern sich an der Aussenseite der Balken fast palissadenartig.

Gleba und Sporen (die letzteren 4.5—5 Mikrom. lang, 1,5 Mikrom. breit) zeigen keine besonders zu erwähnende Eigenheiten.

Gen. 6. Colus Cav. et Séch.

Receptaculum mit hohlem Stiele; an dessen oberem Ende mehrere (drei bis sechs) Arme, welche an der Spitze zusammenhängen, und (in einigen Arten) ebenda durch Verzweigung noch einige Maschen bilden.

1. *Colus javanicus* n. sp. (Taf. XXI B; XXIV, Fig. 12—14; Taf. XXV, Fig. 2—3).

Aus der Gattung *Colus* sind bisher nur wenige Arten bekannt, welche in der Tracht und im Aufbau wesentlich von einander abweichen. Von diesen Species ähnelt nur eine, der von Alfr. Moeller (Brasilianische Pilzblumen) beschriebene *Colus Garciae* unserer Art: doch scheinen die beiden Formen gut specifisch verschieden. Während bei *C. Garciae* Alfr. Moell. der Stiel ungekammert, eben so lang ist, wie die Arme, und gleiche Breite wie die Basis der Armpyramide zeigt, ist bei *C. javanicus* der Stiel relativ kurz, deutlich schmäler als der Einsatz der Arme, und zeigt Kammerung der Wandung.

Ich fand leider nur ein Exemplar dieses schönen *Colus*, in der Nähe von Tjibodas, im März 1897; doch war dasselbe vollkommen ausgebildet und zu völliger Reife entwickelt, so dass ich nach Beobachtung am lebenden Pilze und durch spätere, mikroskopische Untersuchung an dem in Alkohol aufbewahrten Exemplare eine ziemlich vollständige Beschreibung geben zu können glaube.

Die Gesammthöhe des Pilzes beträgt 4.5 cM. von denen auf die Länge des Stieles 2 cM., auf die Arme 2.5 cM. kommen. Der Stiel ist nur 7 mM. dick, während die dreiseitige Armpyramide, die ihm aufgesetzt ist, an der Basis 12—13 mM. in der Breite misst. Die drei Arme, welche zusammen eine hoch conische Pyramide bilden, sind jeder an der Basis etwa 5 mM. breit, und verschmälern sich allmählig bis zur Spitze, an der sie alle drei verwachsen sind.

Das ganze Receptaculum (Stiel und Arme) ist gleichmässig blass fleischroth oder rosafarben; die Volva dunkelbraun.

Die Myceliumstränge sind weiss, nicht sehr zahlreich; die dicksten nur etwa $\frac{1}{3}$ mM. im Durchmesser haltend.

Die Volva bietet keine bemerkenswerthen Eigenheiten; sie ist dunkelbraun, matt, ziemlich zart, mit deutlich geschiedener, grauer Gallertschicht auf der inneren Seite.

Der Stiel ist cylindrisch, hohl, gegen das obere Ende hin schwach verdickt, sehr zart, mit grob blasig-runzeliger Oberfläche. Seine Wandung ist von einer einzigen Schicht ziemlich grosser, unregelmässig polyedrischer Kammern gebildet, die nach aussen hin stets geschlossen sind, mit der Stielhöhle aber hier und da in Communication stehen, durch kleine runde Löcher. Die Wandungen dieser Kammern sind aus wenigen Schichten sphaerischer Zellen zusammengesetzt.

Die Stielhöhle ist nach oben geöffnet, und steht mit den drei Spalten zwischen den Armen in directer Verbindung.

Die Arme, welche der Stielwand mit breiter Basis aufgesetzt sind, bilden eine conische, ziemlich lang gezogene Pyramide (Taf. XXI B; Taf. XXIV, Fig. 12, 13): sie hängen am oberen Ende fest zusammen (siehe in Taf. XXIV, Fig. 14 das Verbindungsstück, vom Scheitel aus gesehen). Secundäre Maschen, wie sie bei *C. hirudinosus* auftreten, wurden hier nicht beobachtet; es existiren nur drei schlitzförmige, längs gestreckte Spalten, welche die drei Arme trennen.

Jeder Arm zeigt einen ziemlich complicirten Aufbau. Wie oben gesagt, verjüngen sich die Arme allmählig gegen die Spitze. Längs des Rücken eines jeden verläuft (siehe Taf. XXIV, Fig. 12) ein Dorsalstreif, welcher leicht convex, und durch unregelmässige Quer- und Schrägfalten blasig-runzelig erscheint. Diese Mittelpartie ist rechts und links von einer flügelartig vorspringenden Längsfalte eingefasst, die sich von der Seitenfläche aus über den Rückenstreif herüberbeugen, und ihn, besonders in dem oberen, dünneren Theil, fast wie eine Furche oder Hohlgang bedecken.

Durch ganz ähnliche Flügelleisten sind auch die Arme von

C. hirudinosus und *C. Garciae* auf dem Rücken versteift, wie die Figuren und Beschreibungen der betreffenden Autoren zeigen. Die Flügel gehen sowohl an der Spitze, wie an der Basis, ununterbrochen von einem Arme zum anderen über (Taf. XXIV, Fig. 12 in B).

Auf der Bauchseite der Arme ist im unteren Drittel jedes Armes nichts Bemerkenswerthes zu notiren: die blasigen Runzeln entsprechen den Kammern der Arme. In einem Drittel der Höhe jedes Armes aber, von der Basis aus gerechnet (Taf. XXIV, Eig. 12 und 13 in *a*) beginnt eine complicirtere Structur, die sich von da bis zur Armspitze fortsetzt. Von dem Punkte *a* an (in den citirten Figuren) sehen wir auf die ventrale Seite der Arme einen Aufbau häutiger Lamellen aufgesetzt, welche eine oder mehrere Stockwerke von geschlossenen oder theilweise geöffneten Kammern bilden (siehe auch den Querdurchschnitt der Arme, in Taf. XXV, Fig. 3).

Diese Complexe von Kammern sind an jedem Arme in fünf oder sechs dicht hinter einander folgende Gruppen vereint, die besonders in Fig. 13 der Tafel XXIV (wo einer der Arme abgeschnitten ist) deutlich zu unterscheiden sind. Ihre Wandungen (aus wenigen Lagen sphaerischer Zellen gebildet) sind vielfach durchbrochen; oft ist nur eine unregelmässige, ausgebissen gezähnte oder gefranste ventrale Deckmembran vorhanden, welche durch schmale Stützpfeiler mit dem Körper des Armes verbunden ist.

Diese Gerüste von membranösen Lamellen dienen dazu, die Glebamasse zu tragen, welche alle Zwischenräume zwischen ihnen ausfüllt. So lange die Gleba noch in den Interstitien der drei Arme vorhanden ist, kann man daher nichts von jenen Stützlamellen sehen: sie werden erst deutlich, wenn die Gleba abgewaschen ist. Diese nimmt überhaupt nur den oberen Theil ein, in welchem die Stützlamellen vorhanden sind, nicht den ganzen zwischen den Armen befindlichen Raum — oder die Armbasis erleidet eine letzte Streckung, und hebt die auf die Lamellen gestützte Gleba etwas über das Stielende empor. Dasselbe scheint bei den anderen *Colus*-Arten auch stattzu-

finden, wenigstens nach den Abbildungen von *C. hirudinosus* in der Flore d'Algérie, und von *C. Garciae* bei A. Moeller zu urtheilen. Alfr. Moeller sagt (Brasil. Pilzblumen p. 38): „Die „Gleba füllt im frisch gestreckten Fruchtkörper den Raum „zwischen den drei Aesten völlig aus, und zwar so, dass diese „halb in die Gleba eingesenkt erscheinen. Die unteren Theile „der Aeste sind meist schon glebafrei". Von einem besonderen Trag-Gerüste der Gleba aber sagt er nichts; er giebt nur an (p. 36): „nach innen ist die Wand der Aeste auch im fertigen Zu„stande des Pilzes querrunzelig gefältelt". Vielleicht wird auch bei *C. Garciae*, wenn die Gleba sorgfältig herausgewaschen wird, eine dem Tragegerüst von *C. javanicus* analoge Bildung constatirt werden können.

Auf Querschnitten durch die verschiedenen Partieen eines Armes (Taf. XXV, Fig. 2, 3) ist zu erkennen, dass die letzteren durchweg gekammert sind; meist sind (im unteren Drittel) zwei Reihen von Kammern vorhanden, deren eine jede auf der dorsalen Seite die Flügelleiste (*f*, *f*) als Vorsprung trägt. In der oberen Partie fügen sich an die normalen Kammern die ventralen Lamellen des Tragegerüstes, welche wie oben gesagt, offene oder geschlossene Kammern bilden, und häufig noch durch flügelartige Vorsprünge oder rudimentäre andere Kammern vermehrt sind. Auch die Kammern der Arme sind gegen die Ventralseite hin oft durch runde oder elliptische Löcher durchbrochen.

Gen. 7. Aseroe Labillard.

Receptaculum mit röhrigem Stiel, dessen Wandung gekammert ist. Stielhöhle oben offen, von einem Kranze einfacher oder gabeltheiliger, am Ende freier Arme umgeben. Glebamasse zwischen der Basis der (in der Jugend eingebogenen) Arme eingelagert.

1. *Aseroe Junghuhnii* Schlechtendal.

De Aseroes genere dissertatio, p. 11, Taf. I.
(*A. multiradiata* Zoll., *A. rubra* Kalchbr., *A. rubra* var. *Mülleriana* Ed. F., *A. rubra* d. *Junghuhnii* Ed. Fisch.)

Diese im Jahre 1846 zuerst von Junghuhn auf dem Pengalengang, später von Zollinger am Gedeh gesammelte, stattliche Form ist neuerdings von Ed. Fischer als eine Form der in den Tropen weit verbreiteten *As. rubra* Labill. dargestellt worden. *As. rubra* variirt in der That ausserordentlich, ist aber durch die breite Scheibe, die zahlreichen, meist gabelig getheilten Arme, durch die gekammerte Structur dieser und durch die rothe Farbe gut gekennzeichnet. Ich habe dieselbe in Java leider nie selber gefunden; sie scheint daselbst nicht eben häufig zu sein. Nach dem Zollingerschen Funde ist mir nicht bekannt, dass sie noch an anderen Standorten in Java gesammelt worden sei; denn die neuerdings von Patouillard als *As. rubra* var. nov. *bogoriensis* beschriebene Form gehört, wie ich weiter unten zeige, zu *A. arachnoidea* Ed. Fisch.

Ausführliche Beschreibungen und zahlreiche Abbildungen von *Aseroe rubra*, die schon von anderen Autoren gegeben sind, machen eine weitere Besprechung der Species hier unnöthig.

2. *Aseroe arachnoidea* Ed. Fisch. (Taf. XXV, Fig. 4—13).

Untersuch. über Entw. und Syst. der Phalloideen, 1890, p. 76, Taf. VI, Fig. 43. (= *As. rubra* var. *bogoriensis* Pat.).

Diese Species ist von E. Fischer auf in Spiritus conservirte Exemplare gegründet worden, die von Hrn. Dr. Armand in Cochinchina (Laos) gesammelt worden waren. Sie unterscheidet sich von den zahlreichen Formen der *A. rubra* durch die weisse Farbe, die durchaus einkammerigen Arme, durch geringere Anzahl dieser, und dadurch dass die Arme vereinzelt stehen, nicht zu zwei und zwei genähert oder verwachsen. Es ist zu verwundern, dass Patouillard, obgleich er selber die Aehn-

lichkeit seiner von Clautriau gesammelten Exemplare (die mit den meinigen identisch, und zum Theil in Gemeinschaft von Dr. Clautriau und mir gefunden worden waren) mit *Aseroe arachnoidea* hervorhebt, doch die Form als neue Varietät zu *As. rubra* stellt.



Die beistehende Figur, welche ein völlig reifes, lebendes Exemplar darstellt (Reproduction einer von Hrn. Dr. Clautriau freundlichst für mich angefertigten Photographie) giebt ein getreues Bild dieser interessanten Art.

Da ich sehr reiches Material derselben in verschiedenen Entwickelungsstadien gesammelt habe (49 Exemplare), kann ich den von E. Fischer und von Patouillard gemachten Beobachtungen noch einiges Neues zufügen.

Wie die beiden genannten Autoren schon hervorheben, ist zunächst ein hervorragender Character von *A. arachnoidea*, dass die Arme des Receptaculum's ganz gleichmässig um die Peripherie des Stielmündung vertheilt sind, nicht in Paaren angeordnet. Nur in einem Falle hat Patouillard (wohl accidentale) Längsverwachsung zweier benachbarter Arme an einem Exemplare constatirt. Die Zahl der Arme ist wechselnd; doch wiegt

die Zahl *neun* bedeutend vor: von den 49 von mir gesammelten Exemplaren hatten

26	Exemplare	neun Arme.
10	„	acht „
6	„	zehn „
4	„	elf „
1	Exemplar	zwölf „
1	„	dreizehn „
1	„	sieben „

Auch die Dimensionen sind ziemlich variabel. Das grösste Exemplar, welches ich gemessen habe, hatte einen 6,5 Centim. langen Stiel (im Mittel sind die Stiele etwa 4—5 Centim. lang), von 2 Centim. Dicke; die einzelnen Arme waren vier Centimeter lang, so dass der Gesammtdurchmesser von einer Armspitze zur anderen, entgegengesetzten, zehn Centimeter betrug. Die einzelnen Arme waren an der Basis 5 Millimeter breit. Wie gesagt, sind diese die extremsten Grössen; die Mittelgrösse ist also für alle diese Werthe proportionell geringer.

Die Farbe ist rein weiss in allen Theilen, und auch dadurch unterscheidet sich *A. arachnoidea* von *A. rubra*; nur ein ganz schwacher rosa-oder fleischfarbener Hauch ist bisweilen auf der Ventralseite des Arme wahrzunehmen.

Die Volva ist kugelig, weiss, ziemlich zart; die Gallertschicht derselben stark entwickelt und leicht verflüssigend, so dass man auch in jüngeren Stadien das Receptaculum mit der umschlossenen Gleba sehr leicht von der Volva trennen kann. Der Stiel ist gegen das obere Ende leicht verbreitert; die Arme sind durch eine auch schon in jüngeren Stadien ausgesprochene Querfurche vom Stiele abgesetzt. Eine wirkliche Scheibenbildung rings um die obere Stielöffnung fehlt bei *A. arachnoidea* ganz: während bei *A. rubra* die Basen der Arme eine Art von (im Centrum perforirter) Decke oder Scheibe über der Stielhöhle bilden, sehen wir in Längsschnitten von *A. arachnoidea* diese Höhle direct von der Glebamasse bedeckt; ein kurzer Zapfen des gallertartigen Gewebes, welches in den ersten Sta-

dien die Stielhöhle erfüllt, ragt in die Gleba hinein (Taf. XXV, Fig. 10) und zeigt auf dem Querschnitt (Taf. XXV, Fig. 9) feine ausstrahlende Platten, die mit den Armen des Receptaculum's alterniren.

Die Wandung des Stieles ist von zwei Schichten blasiger Kammern zusammengesetzt (Patouillard giebt irrthümlich nur eine an), die von unten nach oben an Grösse zunehmen. Die zarten Kammerwände sind aus mehreren Schichten farbloser, sphaerischer Zellen gebildet.

Wie bei allen Phalloideen mit gestieltem Receptaculum, ist auch hier der Stiel am letzten der Streckung unterworfen; und in den Figuren 4, 5 und 6 der Tafel XXV können wir seine allmählige Entwickelung aus einer schwachen, conischen Erhöhung bis zur definitiven, gestreckten Form deutlich verfolgen. Die obere Partie (dicht unter den Armen) verlängert sich zuerst; die Basis ist am weitesten in der Entwickelung zurück, und auch noch in ausgewachsenen Exemplaren sind die basalen Kammern des Stieles am kleinsten, mit gefältelten Wandungen versehen.

Sehr interessant sind die Jugendstadien von *As. arachnoidea*, von denen ich eine grössere Anzahl untersuchen konnte. Leider was es mir nicht gegeben, sehr junge Stadien zu erlangen; die kleinsten meiner Exemplare hatten schon die Grösse einer dicken Erbse. In diesem Stadium ist das Receptaculum fast ganz sphaerisch, in die halbflüssige Gallerte des Eies eingebettet, wie ein Gelbei in seinem Eiweiss. Die Kugel ist am oberen Pol etwas abgeplattet; und am entgegengesetzten Pole bemerkt man die Anlage des Stieles als eine schwach vorgewölbte, weisse, runde Scheibe. Die Hauptmasse der jungen Frucht ist von der tiefschwarzen Glebamasse gebildet, um welche sich die Receptakel-Arme, von der Stielscheibe ausgehend, sehr zierlich und regelmässig herumspannen. Figur 7 und 8 der Tafel XXV geben uns Scheitelansichten solcher junger Receptacula, schon von der Volva befreit: man sieht die schwarze Gleba von neun (im anderen Falle elf) Armen umspannt, die mehr oder minder tief in die Glebamasse ein-

gebettet sind. Die regelmässig verdünnten Enden der Arme sind dabei äusserst zierlich geschlängelt, so dass das ganze Gebilde, mit dem Contrast des dunkelen Gleba und der weissen Arme, ein sehr elegantes Aussehen hat.

Fig. 10 derselben Tafel zeigt einen Längsschnitt eines solchen jungen Receptaculum's: man bemerkt darauf die hohlröhrige, einkammerige Structur der Arme, und das Hereinragen des die Stielröhre ausfüllenden Gallertgewebes in die Glebamasse.

Später streckt sich der Stiel, und die Gleba wird über die unregelmässig aufreissende Volva emporgehoben. Die Arme lösen sich allmählig, mit der Spitze beginnend, von der Gleba und richten sich auf: in Fig. 12 der Tafel XXV ist ein Uebergangsstadium abgebildet, in welchem die schon gestreckten und stark verlängerten Arme senkrecht stehen, und nur noch an ihrer Basis mit der compacten Gleba in Berührung sind. Endlich schlagen sich die Arme nach aussen sternförmig zurück, wie in der Textfigur auf pag. 165; die arg stinkende Gleba verflüssigt sich und tropft ab.

Jeder Arm ist hohl, und repraesentirt nur eine einzige Kammer von der Basis bis zur Spitze; die Höhlen der benachbarten Arme sind aber nicht untereinander verbunden, wie Patouillard angiebt, sondern durch Scheidewände von einander getrennt. Die Höhlung ist in den Jugendstadien mit Gallertgewebe erfüllt, das später resorbirt wird. Die einzelnen Arme zeigen, besonders in jüngeren Stadien, an Alkoholmaterial bisweilen eine Längsfurche auf dem Rücken: dieselbe aber ist weder constant noch charakteristisch, und wahrscheinlich nur durch Schrumpfung entstanden. An den lebenden Exemplaren sieht man oft einen etwas durchscheinenden Streifen die Rückenlinie der Arme einnehmen, während die Flanken und die Bauchseite opak weiss erscheinen. Längs der Flanken der Arme verläuft beiderseits eine wenig erhabene, nicht ganz regelmässige Hautfalte (die den Flügelleisten am Rücken der Arme von *Colus* wohl morphologisch identisch ist); und auf der ventralen Seite jedes Armes, eben zwischen diesen beiden Hautfalten, finden

wir andere netzig verbundene, ganz ähnliche Falten, so dass die Bauchseite der Arme netzigrunzelig erscheint (Taf. XXV, Fig. 11, 12). Diesen Runzeln entsprechen aber nicht etwa (wie es auf den ersten Blick scheinen könnte) Kammern oder getrennte Hohlräume im Inneren der Arme: sie dienen nur als Träger der Gleba, die an der Basis und am unteren Drittel der Arme eine Zeit lang festhängt. An dem geisselförmigen, verlängerten Ende der Arme sind diese Runzeln kaum mehr sichtbar.

Die Gleba zeigt sehr unregelmässig verlaufende, maeandrisch gewundene Kammern: die Substanz der Trama besteht aus stark lichtbrechendem, von ganz feinen, gequollenen Hyphen gebildetem Gewebe, während die Basidialplatten dunkelschwarzbraun gefärbt sind (Taf. XXV, Fig. 13).

Die Sporen sind ganz denen der übrigen Phalloideen ähnlich.

NACHTRAG.

Gerade zur Zeit der letzten Correctur kam mir die soeben erschienene Arbeit von P. Hennings „*Fungi Monsunenses*" zu (Separat-Abdr. aus Warburg, Monsunia I; Leipzig 1899, 38 pag. 4°, 1 Tafel), in welcher zahlreiche von Warburg, Sarasin, E. Nyman und M. Fleischer im malayischen Archipel gesammelte Pilzarten beschrieben und illustrirt sind. Auf pag. 21—23 dieser Arbeit sind auch sechs Phalloideen aus Java aufgeführt, die z. Th. mit den in dem vorstehenden Aufsatze erwähnten Arten identisch sind, zum Theil aber meiner Aufzählung zugefügt werden müssen.

Mutinus bambusinus (Zoll.) E. Fischer (Hort. Bogor. leg. Sarasin), *Dictyophora phalloidea* Desv. (Buitenzorg, leg. Nyman) und *Simblum periphragmoides* Klotzsch var. *gracile* Berk. (Hort. Bogor., leg. Nyman) stimmen mit den oben illustrirten Formen überein. *Floccomutinus Nymanianus* P. Henn. ist (wie ich mich durch Ansicht der von E. Nyman eingesandten Exemplare bei Hrn. Hennings in Berlin selber überzeugen konnte) dieselbe Art, die ich oben als *Jansia rugosa* beschrieben habe. Den Unterschied

zwischen *Jansia* und *Floccomutinus* habe ich an geeigneter Stelle hervorgehoben. Für *Jansia rugosa* Penz. must daher der Name *Jansia Nymaniana* (Henn.) Penz. gelten.

Die von P. Hennings und E. Nyman als neu beschriebene *Dictyophora echinata* steht der *D. multicolor* Berk. et Br. augenscheinlich sehr nahe; und ich möchte fast glauben, dass die Bekleidung der Volva mit rhizoidenförmigen, stachelartigen Fortsätzen nicht constant, sondern nar durch besondere Umstände des Substrates hervorgerufen sei, in dem die betr. Exemplare wuchsen. Endlich ist auf pag. 23 eine neue Art von *Laternea, L. pentactina* P. Henn. et E. Nym. durch eine kurze Diagnose charakterisirt. Ich gebe dieselbe hier wörtlich wieder.

„*Laternea? pentactina* P. Henn. et E. Nym. n. sp.?

Java, Hort. Bogor.: Bambuswald auf Erde. (E. Nyman N° 20).

Aus einer weissen, häutigen, mit graubraunen Flöckchen besetzten Volva erheben sich fünf z. Th. verschieden lange, fast cylindrische oder dreieckige, knitterig gerunzelte, carminrothe, am Grunde verbundene, bei vorliegendem Exemplar nach oben freie Säulen, welche 4—5 Cm. lang, 6—8 Mm. dick, an der Spitze runzelig gefaltet und gebogen sind und eine schiefe Oeffnung zeigen. Wahrscheinlich sind die Arme an der Spitze im normalen Zustande mit einander verbunden. Mit bekannten Arten lässt sich die vorliegende nicht vereinigen. Es muss genauerer Untersuchung vorbehalten bleiben, ob dieser Pilz wirklich zu *Laternea* gehört".

ERKLAERUNG DER TAFELN.

(Die mikroskopischen Détails sind durchweg mit dem Zeichenprisma entworfen, mit einem Mikroskop von E. Leitz; die Tafeln in Heliotypie von Calzolari und Ferrario in Mailand ausgeführt).

TAF. XVI.

Dictyophora phalloidea Desv. — Nat. Gr.

TAF. XVII.

Dictyophora phalloidea Desv. — Nat. Gr.

TAF. XVIII.

Dictyophora irpicina Pat. — Nat. Gr.

TAF. XIX.

A. — *Dictyophora multicolor* Berk. et Br. — Nat. Gr.

B. *Simblum gracile* Berk. — $\frac{7}{10}$ der Nat. Gr.

TAF. XX.

A. — *Jansia elegans* nov. gen. nov. sp. — $\frac{2}{3}$ Nat. Gr.

B. — *Jansia rugosa* n. sp. — Nat. Gr.

TAF. XXI.

A. — *Mutinus Fleischeri* n. sp. — Nat. Gr.

B. — *Colus javanicus* n. sp. — Nat. Gr.

TAF. XXII.

Fig. 1—4. *Mutinus Fleischeri* n. sp.

Fig. 1. — Kopf und obere Partie des Stieles, halb aufgeschnitten (Nat. Gr.)

» **2.** — Gleba im Querschnitt ($\frac{4,0}{1}$).

» **3.** — Gleba im Längsschnitt ($\frac{4,0}{1}$).

» **4.** — Sporen ($\frac{6,0,0}{1}$).

Fig. 5—13. *Jansia elegans* n. sp.

» **5.** — Ausgewachsene Exemplare und Eier (Nat. Gr.)

» **6.** — Sporentragender Theil des Receptaculum's ($\frac{4}{1}$).

Fig. 7. — Aufgeschnittenes Stück eines Receptaculum's, den Uebergang zwischen Stiel und sporentragender Partie zeigend ($\frac{2,5}{1}$).

» **8.** — Querdurchschnitt des Stieles ($\frac{2,5}{1}$).

» **9.** — Pseudoparenchym der Kammerwände des Stieles ($\frac{1\frac{1}{1},5}{1}$).

» **10.** — Sporen ($\frac{6,0,0}{1}$).

» **11, 12, 13.** — Querschnitte durch die sporentragende Partie: *c, c, c* = Kammern der Stielwand, z. Th. nach innen geöffnet; *d, d* = glebatragende Fortsätze ($\frac{2,0}{1}$).

TAF. XXIII.

Fig. 1—5. *Jansia rugosa* n. sp.

Fig. 1. — Gruppe ausgewachsener Exemplare (Nat. Gr.)
» **2.** — Sporentragende Partie eines Receptaculums ($\frac{4}{1}$).
» **3.** Sporentragende Partie eines anderen Exemplares ($\frac{20}{1}$).
» **4.** — Querdurchschnitt des Stieles ($\frac{25}{1}$).
» **5.** Pseudoparenchym der Kammerwände des Stieles ($\frac{1}{1}\frac{5}{5}$).

Fig. 6—9. *Ityphallus tenuis* Ed. Fisch.

» **6.** Spitze eines Hutes mit einfacher Mündung (Nat. Gr.)
Fig. **7.** Spitze eines Hutes mit doppeltem Kragen (Nat. Gr.)
» **8.** Ein Hut, z. Th. geöffnet, um den häutigen Rest einer Art von Indusium zu zeigen (*h*, *h*), in nat. Gr.
» **9.** Kreisförmiges, feines Loch in einer Kammerwand auf der Innenfläche des Stieles ($\frac{3}{1}\frac{2}{5}$).

Fig. 10—11. *Ityphallus costatus* n. sp.

» **10.** — Ausgewachsenes Exemplar (Nat. Gr.)
» **11.** — Querdurchschnitt des Stieles (Nat. Gr.)

TAF. XXIV.

Fig. 1—3. *Ityphallus costatus* n. sp.

Fig. **1.** — Hut, von der Glebamasse völlig entblösst (Nat. Gr.)
» **2.** — Querdurchschnitt einer Lamelle des Hutes ($\frac{50}{1}$).
» **3.** — Eine Partie derselben Section, stärker vergrössert ($\frac{600}{1}$).

Fig. 4—5. *Ityphallus favosus* n. sp.

» **4.** — Innere Fläche des Hutes, mit den charakteristischen Einwölbungen der Maschen (Nat. Gr.)
» **5.** — Gewebe des Hutes, aus wurstförmigen Zellen gebildet ($\frac{600}{1}$).

Fig. 6—8. *Dictyophora irpicina* Pat.

» **6.** — Stück eines Stieles, mit zweischichtiger Wand (Nat. Gr.)
» **7.** — Sculptur der Hut-Oberfläche ($\frac{2}{1}$).
» **8.** — Sporen ($\frac{600}{1}$).

Fig. 9—11. *Simblum gracile* Berk.

Fig. **9.** Längsschnitt eines fast ganz gestreckten Exemplares (Nat. Gr.)
» **10.** Einige Balken des Receptaculum-Gitters, von aussen gesehen ($\frac{2}{1}$).
» **11.** Aehnliche Balken, durch einen tangentialen Schnitt geöffnet, um die Continuität der Höhlungen zu zeigen ($\frac{2}{1}$).

Fig. 12—14. *Colus javanicus* n. sp.

» **12.** Reifes Exemplar, ohne Gleba ($\frac{2}{1}$).
» **13.** — Dasselbe Exemplar: der vordere Arm ist in *c* abgeschnitten, um das Tragegerüst auf der Ventralseite der anderen beiden Arme (von *a* bis zur Spitze) deutlicher zu zeigen ($\frac{2}{1}$).
» **14.** Verbindungsstück der drei Arme am oberen Ende, vom Scheitel aus gesehen ($\frac{2}{1}$).

TAF. XXV.

Fig. **1.** — *Dictyophora irpicina* Pat. — Querdurchschnitt eines Stückes der Hutwand, die vorspringenden Leisten auf der Aussenseite zeigend ($\frac{20}{1}$).
» **2.** — *Colus javanicus* Penz. — Querschnitt durch die Basis eines Armes. In *f*, *f* die Flügelleisten auf der Rückenseite ($\frac{20}{1}$).
Fig. **3.** — *Colus javanicus* Penz. — Aehnlicher Querschnitt durch die obere Hälfte des Armes. *f*, *f* die dorsalen Flügelleisten; *cc* Kammern des Ar-

mes; *d* grosse Kammer des Traggerüstes ($\frac{90}{1}$).

Fig. 4—13. *Aseroe arachnoidea* Ed. Fisch.

Fig. 4—6. — Junge Receptakeln in verschiedenen Stadien, von der Seite gesehen (Nat. Gr.)

» **7, 8.** — Junge Receptakeln, vom Scheitel aus gesehen (Nat. Gr.)

Fig. 9. — Querschnitt eines jungen Receptakulum's, ohne Volva ($\frac{2}{1}$).

» **10.** — Längsschnitt desselben Receptakulum's ($\frac{2}{1}$).

» **11.** — Arm eines ausgewachsenen Exemplares, mit Runzeln auf der ventralen Seite (Nat. Gr.)

» **12.** — Längsdurchschnitt eines fast reifen Exemplares ($\frac{2}{1}$).

» **13.** — Querschnitt der Gleba ($\frac{6,5}{1}$).

BALANOPHORA GLOBOSA JUNGH.

EINE

WENIGSTENS ÖRTLICH) VERWITTWETE PFLANZE.

VON

D^R. J. P. LOTSY.

Es existirt bekanntlich eine Controverse zwischen v. Tieghem und Treub in der Frage der Fortpflanzung zweier Species der Gattung Balanophora.

Während v. Tieghem bei B. indica einen ganz normalen Eiapparat beschreibt, der von einem Pollenschlauche befruchtet wird (auch die antipodale Tetrade kann nach ihm den Eiapparat bilden), giebt Treub für B. elongata ein ganz anderes Verhalten an. Nur darin stimmen beide Forscher überein, dass die polaren Kerne, in Abweichung von der allgemein bekannten Regel, nicht zusammen verschmelzen.

Trotzdem die Arbeit Treub's, mit den beigegebenen schönen Tafeln, auch nicht den geringsten Zweifel an dem bei seiner Art gefundenen Verhalten zulässt, schien es mir doch nicht ohne Interesse, eine dritte Art zu untersuchen, wozu ich die in der Nähe meines damaligen Wohnortes sehr häufige B. globosa Jungh. wählte.

Wie man sehen wird, stimmen meine Resultate so genau, wie es nur wünschenswerth scheinen kann, mit denen von Treub überein. Es zeigt aber B. globosa, wenigstens auf dem Penga-

lengan-Plateau, ein Verhalten, das a priori jede Befruchtung ausschliesst [1]).

Bevor wir näher darauf eingehen, wird es nöthig sein, ganz kurz die von Treub erhaltenen Resultate mitzutheilen.

Die Sache ist diese: Im Embryosack von B. elongata theilt sich der primäre Kern in normaler Weise, jeder der Tochterkerne ebenfalls normal, sodass schliesslich an beiden Polen des Embryosackes (wenn man von „Polen" bei dem gebogenen Balanophora-Embryosack reden darf) je eine Tetrade von Kernen liegt. In normaler Weise bilden sich jetzt ein, zwar sehr reducirtes, Ei und zwei, ebenfalls reducirte, Synergiden, während im andren Zweige des Embryosackes die drei antipodalen Kerne als solche erhalten bleiben; eine Bildung von antipodalen *Zellen* findet nicht statt.

Die beiden übrigen, die polaren, Kerne verschmelzen nicht zum Endospermnucleus, wie das sonst bei Angiospermen üblich ist, *sondern alle Kerne im Embryosack, mit Ausnahme des Eipolkernes, gehen zu Grunde.*

Nur der zum Eiapparat gehörige Polkern bleibt am Leben. Dieser bildet, für sich allein, ein Prothallium, das apogam einen Embryo bildet. Jede Befruchtung bei B. elongata ist, diesem Resultate nach, ausgeschlossen.

Trotzdem giebt es männliche Pflanzen von B. elongata Bl.

Auf dem damals von mir bewohnten Pengalengan-Plateau, in der Nähe von Bandoeng, Preanger-Regentschappen, Java, ist *B. elongata* zwar keineswegs häufig, aber doch immerhin in genügender Menge vorhanden. Das zierliche Pflänzchen wächst mit Vorliebe auf den Wurzeln einer Acanthacee, einer *Strobilanthes Bl.* spec., die von den Sundanesen, der Zerbrechlichkeit ihrer Knoten wegen, „*Boeboekoean*" genannt wird und dort häufig hectarenweise das Unterholz im Urwalde bildet.

Die Zahl der männlichen und der weiblichen Pflanzen ist meinen Erfahrungen nach dort ungefähr gleich.

1) Selbstverständlich war mir dieses Verhalten, als ich die Untersuchung begann, unbekannt. Es wäre mir, der bestehenden Controverse wegen, lieber gewesen, eine Art zu untersuchen, von welcher auch männliche Exemplare vorhanden waren.

Eine auf dem Pengalengan-Plateau viel reichlicher, ja in Unmenge vorhandene Species ist *Balanophora globosa Jungh.* Sie wird von den Eingeborenen „*Paroet Poespa*", d. i. Eingeweide des „*Poespa*" (*Schima Noronhae, Reinw., Fam. d. Ternstroemiaceae*), genannt. Sie wächst sehr häufig auf den dicken Wurzeln der riesenhaften *Schima*-Bäume, dicht am Stamme, wo die verschiedenen Individuen des Parasiten öfters einen fast ununterbrochenen Ring um den Baum herum bilden. Von den Eingeborenen wird behauptet, dass sie nur auf Poespa-Wurzeln wachse; dies stimmt aber nicht; ich habe sie auch auf andren Bäumen gefunden. Der Grund dieser Behauptung ist einfach dieser: Um *B. globosa* zu finden, suchen die Sundanesen die Poespa-Bäume auf und sehen nach, ob deren Wurzeln von ihr befallen sind. Da sie nie eine andre Baumart in dieser Hinsicht untersuchen, so ist es selbstverständlich, dass sie die Balanophora auch nur auf Poespa-Bäumen finden.

Von dieser B. globosa habe ich viele viele *Hunderte* gesehen; monatelang wurden mir in zwei verschiedenen Jahren von den Eingeborenen fast jeden Tag Körbe voll gebracht [1]), in allen Entwickelungsstadien und von den verschiedensten Bergen um das Pengalengan-Plateau herum; *trotzdem habe ich niemals auch nur ein einziges männliches Exemplar gesehen.*

Wegen der Unmasse von Exemplaren, welche ich gesehen habe, glaube ich sagen zu können, dass es, wenigstens auf dem Pengalengan-Plateau, *keine männlichen Pflanzen mehr giebt* [2]).

Wir haben also den interessanten Fall, dass die apogame Balanophora elongata Bl. noch in vielen männlichen Exemplaren vorhanden ist, während B. globosa, wenigstens auf einem grossen Gebiete, gattenlos, eine immerwährende Wittwe ist.

Um zu beweisen, dass B. globosa ohne Befruchtung im

1) Ich bitte Herrn K. A. R. Bosscha, an dieser Stelle meinen besten Dank entgegenzunehmen für die viele Mühe, die er sich gegeben hat, um die richtigen Entwickelungsstadien durch die Eingeborenen sammeln zu lassen und mir zuzuschicken.

2) Ob es deren überhaupt noch giebt, weiss ich nicht. Zwar spricht v. Tieghem von ♂ Exemplaren der B. globosa. Es ist mir aber nicht bekannt, auf welche Gründe hin die Zugehörigkeit der fraglichen Pflanzen zu B. globosa angenommen wird. Auch Miquel hat anscheinend (p. 1065 seiner Flora) nie ♂ Exemplare gesehen

Stande ist, den von Treub für B. elongata beschriebenen charakteristischen Embryo zu bilden, wurde zum folgenden Experimente geschritten.

Es braucht nur daran erinnert zu werden, dass die Balanophoren ihre Blüthenstände endogen anlegen, sodass Letztere, erst nachdem sie eine bestimmte Ausbildung erlangt haben, die Rinde des knolligen Vegetationskörpers durchbrechen.

Exemplare, deren Blüthenstände bald den Vegetationskörper durchbrechen würden, aber noch vollständig von dessen Rinde bedeckt waren, wurden in einem abgesonderten, verschlossenen Zimmer zur Hälfte in Wasser gesetzt und sich selber überlassen. Bald brach der Blüthenstand durch, und solche vollständig isolirte Blüthenstände brachten dann die mit dem charakteristischen Embryo versehenen Samen hervor. Dergleichen Blüthenstände bildeten, gerade so wie die im Walde gesammelten, in fast allen Blüthen reife Samen; ein Missrathen der Samen scheint bei unsrer Art fast nie vorzukommen.

Die auf dem Pengalengan-Plateau ebenfalls häufige Rhopalocnemis phalloides Jungh. hat ♂ und ♀ Blüthen auf demselben Blüthenstand, entweder zu gleicher Zeit, oder die weiblichen, nachdem die männlichen abgefallen sind, oder es sind die Blüthenstände rein weiblich oder rein männlich, aber dann doch beide auf derselben Knolle [1]).

Wir können uns also die Geschlechtsverhältnisse der Balanophoren wie folgt denken:

Ursprünglich waren ♂ und ♀ Blüthen auf demselben Blüthenstand vorhanden (Rh. phalloides pr. p. [2])); hernach wurden sie auf gesonderten Blüthenständen derselben Knolle gebildet (Rh. phalloides pr. p. alt.); später wurden ♂ und ♀ Blüthen auf gesonderten Individuen gebildet (B. elongata Bl.), und schliesslich starb, wenigstens auf einer ganzen Landesstrecke, die männliche

1) Bis jetzt habe ich noch keine Knolle finden können, von der es sicher war, dass sie nur weibliche, oder nur männliche Blüthenstände producirte. In allen Fällen, wo ich zuerst meinte, mit einer eingeschlechtigen Knolle zu thun zu haben, erschienen später Blüthenstände des andren Geschlechts.

2) Und nach Miquel: Balanophora alutacea Jungh. und B. abbreviata Bl.

Generation aus, und es blieb nur die weibliche Pflanze erhalten (B. globosa Jungh.).

Während mir gerade eine Unmenge von B. globosa gebracht wurde, war Dr. Th. Valeton bei mir, und machten wir von dieser Gelegenheit Gebrauch, eine verbesserte Beschreibung der B. globosa zu geben. Die Beschreibung von Miquel ist sehr dürftig und dem jetzigen Standpunkte der Wissenschaft nicht entsprechend. Die folgende Beschreibung ist also die Arbeit von Dr. Valeton und mir zusammen.

Das Erste, was uns auffiel, war der ausserordentliche Formenreichthum der Pflanze; wir haben die Hauptformen zusammengestellt und Prof. Dr. Zimmermann gebeten, dieselben photographiren zu wollen. Die schönen ersten zwölf Figuren (Taf. XXVI u. XXVII) verdanken wir ihm und wir bitten ihn, an dieser Stelle unsren besten Dank dafür entgegennehmen zu wollen.

Balanophora globosa Jungh.

Rhizoma saepius magnum, plus minus globosum, diametro 4, 5 usque 13 cm.; nunc fere simplex nunc valde tuberculato-ramosum.

Cortex rhizomatis tesselato-verrucosus, sordide ferrugineo-vitellinus. Tuberculi novelli sectione albi, dein inde ab apice rubescentes, demum intus tote incarnato-carnei, ad peripheriam albidi.

Inflorescentiae (spadices) ex apice tuberculorum oriundae cortice derupto vaginae ad instar basi-cinctae; vaginae margo irregulariter lacera.

Spadix vulgo longe, raro breviter vel brevissime pedunculatus. Pedunculi squamis oblongo-ovatis, vel lato-ovatis, vel subspathulatis, apice obtusis laevibus pallide carneis erectis, vel demum subpatentibus dense adpressis obsiti.

Pedunculi 1—5 usque 20 cm. longi; 1—3 cm. crassi.

Squamae 1—4 cm. longae; 1—4 cm. latae.

Spadix globosus, vel ellipsoideus longitudine 2 cm., latitudine 1 cm. usque longit. 4 cm. lat. 6,5 saepe diametro 3 cm.; sectione,

cum pedunculo, intus incarnati margine tenue albo, aeri expositus colorem mutans. Receptaculum sectione album.

Spadix vestitus squamis incarnatis clavatis adpressis sub lente angulatis; flores in juventute in interstitiis squamarum inserti, dein squamarum basi increscente elevati et partim basi partim medio squamae insidentes.

Flores quoad gynaecea muscorum archegonia simulantes (vide Treub: L'organe femelle et l'apogamie du B. elongata Bl. Annales du Jardin Bot. de Buitenzorg. 1898), stipitati, styli albidi quasi eczema mucidum albidum demum ferrugineum constituentes. Styli sub lente fortiori spiraliter contorti. Flores masculi adhuc ignoti, etsi multas centurias rhizomatum examinavimus. Habitat insulam Javam ad inclivitates occidentales montis Wajang et ad inclivitates montis Malabar prope Pengalengan provinciae Bandong altitudine 5000 pedes, ubi amicus diligens rerum botanicarum K. A. R. Bosscha primo collegit.

Observatio: Herba invenitur ad radices magnos prope truncum arboris hospitis (saepe Schimae Noronhae), sed etiam penetrat in radices filiformes, quorum partem distalem necat, postea valde increscit et igitur in apice radicis inserta esse videtur.

Die Fortpflanzung.

Ich will bei der jetzt folgenden Beschreibung die Arbeit Treub's Schritt für Schritt verfolgen. Ein Vergleich beider Arbeiten wird die vollständige Übereinstimmung der erhaltenen Resultate auf diese Weise am klarsten darthun.

Wenn man ganz junge Inflorescenzen der Balanophora globosa Jungh. untersucht, so sieht man darauf die Anlage von schuppenartigen Organen, welchen ich, so wie es Treub bei B. elongata gethan hat, den neutralen Namen „Schuppen" geben will. Während die Schuppen von B. elongata ganz klein bleiben, erreichen sie, wie Fig. 13, Taf. XXVII, zeigt, bei B. globosa eine verhältnissmässig ganz stattliche Grösse.

Zwischen diesen Schuppen werden in näher zu beschreibender Weise die Blüthen angelegt.

Alsbald tritt in dem peripheren Theile der Inflorescenz-Achse localisirtes starkes Wachsthum auf, wodurch die schuppenartigen Organe gestielt werden. Die Blüthen werden dadurch nach aussen gerissen, sodass schliesslich fast alle Blüthen auf den Stielen der Schuppen inserirt sind. Nur selten bleiben Blüthen in den Zwischenräumen dieser Stiele inserirt.

Entwickelung der weiblichen Blüthen.

In den jüngsten Stadien besteht die weibliche Blüthe aus einem kleinen Höcker, der von einer ziemlich grossen subepidermalen Zelle und der sie bedeckenden, emporgehobenen Epidermis gebildet wird (Fig. 14, Taf. XXVII; vergl. auch Treub's fig. 5, Pl. I).

Diese subepidermale Zelle wird entweder direct zum Embryosack, oder sie ist die Mutterzelle des Letzteren; bei B. globosa theilt sie sich öfters einmal (Fig. 15, Taf. XXVII), und es werden sehr häufig beide Tochterzellen zu Embryosäcken, die sich ganz normal entwickeln und es beide zur Bildung eines Embryo bringen (Fig. 39, Taf. XXIX).

Die oberhalb der subepidermalen Zelle gelegenen Epidermiszellen theilen sich jetzt lebhaft und bilden in der von Treub für B. elongata beschriebenen Weise den sogenannten „Griffel" der Balanophora-Blüthe. Bei B. globosa wird dieser „Griffel" sehr lang (Fig. 13, Taf. XXVII), und es erscheinen die Zellen desselben schliesslich als spiralig gewunden, während die Cuticula der Endzellen eine feingerunzelte Structur annimmt. Dieser *ganze* „Griffel" ist in Folge dessen epidermatischer Herkunft.

Nach der Ausbildung des Embryosackes beginnt eine Theilung der diesem benachbarten Zellen, sodass schliesslich der den Embryosack umringende Theil als geschwollen erscheint, während sich später noch eine Art Stiel ausbildet; die ganze Blüthe hat dann ein ungemein archegoniumartiges Aussehen (Fig. 13, Taf. XXVII).

Entwickelung des Embryosack-Inhaltes.

Im jungen Embryosack ist das Protoplasma sehr dicht (Fig. 14 u. 15, Taf. XXVII). Bald erscheinen in einer der Peripherie ge-

näherten Zone Vacuolen, die sich mehr und mehr vergrössern (Fig. 17. 18. 19. 16, Taf. XXVII).

Eine Theilung des Embryosackkernes tritt öfters schon ein, bevor diese Vacuolen erschienen sind; es befinden sich dann im Embryosack zwei Kerne, der eine unten, der andre oben gelegen (Fig. 20, Taf. XXVIII).

Der untere Tochterkern bewegt sich jetzt nach oben und legt sich an die laterale Wand des Embryosackes an (Fig. 21, Taf. XXVIII), sodass beide Kerne in ungefähr gleicher Höhe neben einander zu liegen kommen. Es entsteht dann eine Krümmung im Embryosack selber (Fig. 21, Taf. XXVIII), welche bald deutlicher hervortritt (Fig. 22, Taf. XXVIII).

Auf diese Weise bekommt der Embryosack zwei Zweige, deren einen wir den antipodalen, und deren anderen wir den geschlechtlichen Zweig nennen wollen.

Bald theilt sich jeder dieser Kerne, sodass in jeden Zweig des Embryosackes zwei Kerne zu liegen kommen (Fig. 23. 24, Taf. XXVIII). Diese theilen sich noch einmal, sodass schliesslich jeder Zweig vier Kerne enthält (Fig. 25, Taf. XXVIII). Der eine der vier Antipodenkerne lag im nächsten Schnitt (Fig. 26, Taf. XXVIII); im antipodalen Zweige sind nur zwei Kerne vorhanden; solches kommt öfters vor.

Im geschlechtlichen Zweige bilden sich jetzt bald die Oosphäre und die Synergiden (Fig. 26 u. 27, Taf. XXVIII), die aber bei B. globosa von Anfang an ein reducirtes Aussehen haben. Im andren Zweige bilden sich keine Antipoden*zellen*; es bleiben die Kerne nackt.

Bei Balanophora globosa kann folglich keine Rede von Blüthe, Carpellen, Placenten oder Samenknospen sein.

Es bildet sich auf der Achse des Blüthenstandes eine Protuberanz, deren subepidermale Zelle den Embryosack bildet, während die bedeckende Epidermis zu einem langen, griffelähnlichen Organ auswächst.

Durch Vergleichung mit andren Pflanzen diese „Blüthe" morphologisch erklären zu wollen, in sie den Begriff „Carpellum" hineinzuconstruiren, scheint mir verfehlt zu sein.

Die Hoffnung, dass eine Untersuchung der Gattung Rhopalocnemis, von Prof. Treub mir gütigst überlassen, vielleicht Aufklärung über die Art und Weise, in der die Balanophora-Blüthe entstanden ist, geben werde, hat sich bis jetzt nicht erfüllt. Doch ist die Untersuchung von Rhopalocnemis phalloides schon ziemlich weit fortgeschritten; sie wird, sobald ich reife Samen erhalten habe (bis jetzt sind alle gesammelten Samen leer), in dieser Zeitschrift publicirt werden.

Desorganisation des Eiapparates und weitere Entwickelung des Eipolkernes.

An der antipodalen Seite lässt sich der polare Nucleus nicht oder nur kaum (vielleicht der längliche Kern in Fig. 27, Taf. XXVIII) von den andren unterscheiden.

An der Eiapparat-Seite ist der polare Kern sehr deutlich (Fig. 25. 26. 27. 28. 29, Taf. XXVIII). Er ist immer grösser als die Schwesterkerne.

Mit diesem Nucleus haben wir uns zu beschäftigen. *Der ganze Eiapparat, einschliesslich der Oosphäre, abortirt.* In der Fig. 27, Taf. XXVIII, fängt die Rückbildung des Eiapparates schon an; sie schreitet mehr und mehr fort, wie die Figuren 28. 29. 30. 31, Taf. XXVIII, und 32. 33. 34. 35 und 36, Taf. XXIX, zeigen.

Aus den beiden auf einander folgenden Microtomschnitten, Fig. 30, *a* und *b*, ist klar, dass der polare Nucleus sich getheilt hat, wodurch eine kleine, obere Endospermzelle (E) und eine grosse, den ganzen Rest des Embryosackes füllende Zelle entstanden ist. Der Nucleus der letzteren ist bei F in der Fig. 30, *a* sichtbar.

Noch deutlicher ist dies in dem weiter fortgeschrittenen Stadium (Fig. 31, Taf. XXVIII). *Diese untere Endospermzelle entwickelt sich nicht weiter*, sondern wird von der sich theilenden oberen nach und nach verdrängt [1]) (Fig. 33. 34. 35, Taf. XXIX). Bisweilen

1) Um diese verdrängt werdende untere Endospermzelle zu demonstriren, ist das Einfachste, das Material erst in absoluten Alkohol und dann in Terpentin zu bringen. In Letzterem kann es monatelang, ohne Schaden zu nehmen, verbleiben. Durch solch

(Fig. 34, Taf. XXIX) theilt sich der Nucleus der unteren primären Endospermzelle noch einmal, ohne zu *Zellen*bildung Veranlassung zu geben. Weitere Theilungen habe ich in der unteren Zelle nie beobachtet.

Das ganze Endosperm entsteht also aus der oberen der beiden primären Endospermzellen [1]).

Diese obere Endospermzelle fängt jetzt an, sich zu theilen (Fig. 33. 34. 35. 36. 37. 38, Taf. XXIX), und oft, schon ehe die untere Endospermzelle ganz zerdrückt ist, sieht man im Inneren, von der Peripherie entfernt, eine von Plasma stark erfüllte Zelle, die bald anfängt, sich zu theilen (Fig. 35 E; Fig. 37. 38. 39, Taf. XXIX). Dieser, so entstandene, Zellencomplex ist der junge Embryo. Die grössten von mir gesehenen Embryonen sind die in Fig. 39, Taf. XXIX, abgebildeten.

Der Embryo ist also apogam aus dem, als Prothallium zu deutenden, Theilungsproducte des Eipolkernes entstanden.

Öfters theilen sich nachher die dem Embryo anliegenden Endospermzellen durch pericline Wände (Fig. 38. 39, Taf. XXIX). Die Wände der dem Embryosack anliegenden Zellen verdicken sich, sodass in dieser Weise ein schützendes Gewebe entsteht, das als Samenhaut fungirt (Fig. 39, Taf. XXIX). In dem Endosperm wird eine ölartige Substanz abgeschieden, wodurch die Zellen als fein vacuolirt erscheinen. Die Kerne der Endospermzellen des-

aufgehelltes Material ist mir die Hofmeister'sche Figur, wie sie z.B. in Schenk's Handbuch, III. Bd., 1. Hälfte, p. 369, reproducirt ist, klar geworden. Der in der Fig. A mit *k* bezeichnete Griffelkanal ist wohl einem Irrthum zuzuschreiben. Die mit *st* angedeutete Zelle ist die untere, zu Grunde gehende Endospermzelle. Die beiden mit je einem Kern versehenen oberen Zellen sind Theilungsproducte der oberen Endospermzelle. Die letzte Zelle des als Samenknospen gedeuteten Gebildes ist wohl eine der Wandzellen der Blüthe und irrthümlicher Weise als Anheftungspunkt der Samenknospe gedeutet worden. Die anscheinend vorhandene Ovarialhöhle ist durch Contraction des Endosperms entstanden. Der ganze Irrthum ist aber für den, der aufgehelltes Material gesehen hat, leicht verständlich und auch leicht zu entschuldigen. In der Fig. B hat der sogenannte Embryoträger (*Et*) sein Dasein wohl dem Ausfallen zweier Endospermzellen während des Präparirens zu verdanken.

1) Es erinnert dieses Verhalten an Pilularia globulifera. In der keimenden Macrospore dieser Pflanze theilt sich der primäre Nucleus. Es entstehen dann später zwei Zellen. Die obere, kleinere Zelle bildet das Prothallium, während die untere, grössere Zelle zu Grunde geht. Vide: Campbell, The development of Pilularia globulifera. Pl. XIII. Annals of Botany. Vol. II. 1888—89, p. 233.

organisiren sich bald. In Fig. 37, Taf. XXIX, hat diese Ölansammlung erst im rechten Theile des Endosperms begonnen; in Fig. 36 ist sie weiter fortgeschritten, während die Figuren 38 und 39 das Verhalten der reifen Samen andeuten.

Es stimmen meine Resultate also *ganz und gar* mit den von Treub an B. elongata Bl. erhaltenen überein.

Auch bei B. globosa liegt Apogamie vor.

Ich habe es dieser grossen Übereinstimmung wegen denn auch nicht für nöthig erachtet, so viele Stadien abzubilden, oder die Sache so minutiös zu untersuchen und zu beschreiben, wie solches von Treub geschehen ist. Mir scheinen die hier beobachteten Thatsachen zur Genüge zu zeigen, dass B. globosa in ihrer Entwickelung vollständig mit B. elongata übereinstimmt, sodass die von Treub für B. elongata angegebene Entwickelung wohl für das ganze Genus Balanophora gelten wird.

Die von v. Tieghem an Balanophora indica erhaltenen Resultate werden wohl aus dem ungenügenden Zustande des diesem grossen Forscher zur Verfügung stehenden Materials erklärt werden müssen.

Trotzdem bleibt aber eine Nachuntersuchung von Balanophora indica wünschenswerth.

Sindanglaya, 10. April 1899.

ERKLÆRUNG DER TAFELN.

TAFEL XXVI u. TAFEL XXVII, Fig. 6–12.

Fig. 1–12. Photographien der verschiedenen Formen von Balanophora globosa. Sämmtliche Photographien sind in gleichem Maasse verkleinert, sodass die *relativen* Grössenverhältnisse durch die Photographie angegeben werden.

TAFEL XXVII, Fig. 13–19.

Fig. 13. Losgelöste Schuppe von B. globosa, mit angehefteten weiblichen »Blüthen" nach 24-stündigem Verweilen in Chloralhydrat. × 17.

Fig. 14. Längsschnitt einer sehr jungen Blüthenanlage. × 250. Microtomschnitt. Färbung: Safranin. Gentianviolett. Jodkalium.

Fig. 15. Microtom-Längsschnitt einer älteren Blüthenanlage. × 250. Färbung wie bei Fig. 14.

Fig. 16. Längsschnitt des unteren Theiles einer älteren Blüthenanlage. × 600. Ungefärbt.

Fig. 17. 18. 19. Optische Längsschnitte der jungen Embryosäcke, die zunehmende Vacuolenbildung zeigend. Ungefärbt. × 600.

TAFEL XXVIII.

Fig. 20. Theilung des primären Embryosackkernes. Microtomschnitt. Färbung: Safranin. Gentianviolett. Bismarckbraun. × 600.

Fig. 21. Der untere Embryosackkern ist jetzt parietal gelagert; der Embryosack fängt an, die U-Form anzunehmen. Färbung wie bei Fig. 20. Microtomschnitt. × 600.

Fig. 22. Weitere Ausbildung der U-Form des Embryosackes. Färbung wie bei Fig. 20. Microtomschnitt. × 600.

Fig. 23. Vierkerniges Stadium des Embryosackes. Weiteres wie bei Fig. 20. × 600.

Fig. 24. Vierkerniges Stadium des Embryosackes. In schiefer Lage gesehen; beobachtet an weiblichen Blüthen, welche 4 Monate in Terpentin aufgehellt waren. × 600. Ungefärbt. Die röthliche Farbe der Kerne in dem antipodalen Zweige ist schematisch.

Fig. 25. Achtkerniges Stadium des Embryosackes. Färbung wie bei Fig. 20. Microtomschnitt. Der vierte Antipodenkern lag im nächsten Schnitt. Die Antipodenkerne fangen an zu degeneriren.

Fig. 26. Embryosack, mit Terpentin aufgehellt, von der Seite beobachtet, so, dass der Antipodenzweig, scheinbar unterhalb, in Wirklichkeit hinter dem Eiapparatzweig liegt. Ungefärbt. Die röthliche Farbe ist schematisch. Im antipodalen Zweige waren, was öfters vorkommt, nur 2 Kerne vorhanden. × 600.

Fig. 27. Älterer Embryosack. Färbung wie bei Fig. 20. Desorganisation der Antipoden. Beginnende Desorganisation des Eies und der Synergiden. Microtomschnitt. × 600.

Fig. 28. Geschlechtlicher Zweig des Em-

bryosackes. Das desorganisirte Ei und die ebenfalls rückgebildeten Synergiden zeigen die erythrophile Natur ihrer Kerne. Der cyanophile Eipolkern fängt an, sich zu vergrössern. Färbung: Safranin. Gentianviolett. Microtomschnitt. × 600.

Fig. 29. Weitere Desorganisation des Eiapparates. Färbung wie bei Fig. 28. Microtomschnitt. × 600.

Fig. 30, *a* und *b*. Zwei auf einander folgende Microtomschnitte eines Embryosackes, die erste Theilung des Eipolkernes zeigend. E die obere primäre Endospermzelle. F der Kern der unteren primären Endospermzelle. Färbung wie bei Fig. 28. × 600.

Fig. 31. Die obere Endospermzelle vergrössert. Der dritte Kern des verkümmerten Eiapparates lag im nächsten Schnitt. Färbung wie bei Fig. 28. Microtomschnitt. × 600. Die untere Endospermzelle noch sehr gross.

TAFEL XXIX.

Fig. 32. Erste Theilung der oberen Endospermzelle. Färbung wie bei Fig. 28. × 600. Die drei Kerne des abortirten Eiapparates sehr deutlich. Microtomschnitt. × 600.

Fig. 33. Etwas älteres Stadium als Fig. 32. Färbung wie bei Fig. 28. Die beiden aus der oberen Endospermzelle entstandenen Zellen fangen an, die untere Endospermzelle zu zerdrücken. Microtomschnitt. × 250.

Fig. 34. Weitere Theilung der oberen Endospermzelle, die eine der Schwesterzellen in vier getheilt, während die andere ungetheilt geblieben ist. In der unteren Endospermzelle hat sich der Nucleus ausnahmsweise getheilt. Färbung wie bei Fig. 28. Microtomschnitt. × 250.

Fig. 35. Älteres Stadium. Die obere Endospermzelle hat sich mehrfach getheilt und apogam den jungen Embryo E gebildet, der sich hier schon einmal getheilt hat. Die untere Endospermzelle wird mehr und mehr verdrängt. Färbung wie bei Fig. 28. E.N abortirter, zum Eiapparat gehöriger Nucleus. A Antipodenkern. × 600.

Fig. 36. Fast reifer Samen; Schnitt des Endosperms ausserhalb des Embryo gelegen. Im Endosperm beginnt die Ölansammlung. Die drei Kerne des abortirten Eiapparates sind deutlich sichtbar; die untere Endospermzelle ist verschwunden. Einige Endospermnuclei fangen an zu degeneriren. Färbung: Safranin. Gentianviolett. Bismarckbraun. Microtomschnitt. × 250.

Fig. 37. Endosperm. Microtomschnitt. × 250. Färbung wie bei Fig. 36. Embryo sichtbar. Die Ölansammlung hat in den zwei grossen, links gelegenen Endospermzellen erst begonnen.

Fig. 38. Endosperm. Microtomschnitt. × 250. Färbung wie bei Fig. 36. Embryo weiter getheilt. In zwei der anliegenden Endospermzellen ist eine pericline Wand angelegt worden. Ölansammlung in sämmtlichen Endospermzellen vorhanden. Die Endospermnuclei sämmtlich in Rückbildung begriffen.

Fig. 39. Reifer Samen. Microtomschnitt. × 250. Enthält zwei Embryosäcke, deren jeder von einem Endosperm mit apogam entstandenem Embryo erfüllt ist. In dem unteren Embryosack ist der Embryo allseitig von kleinen, durch pericline Wände abgeschiedenen Zellen umgeben. Färbung mit Safranin.



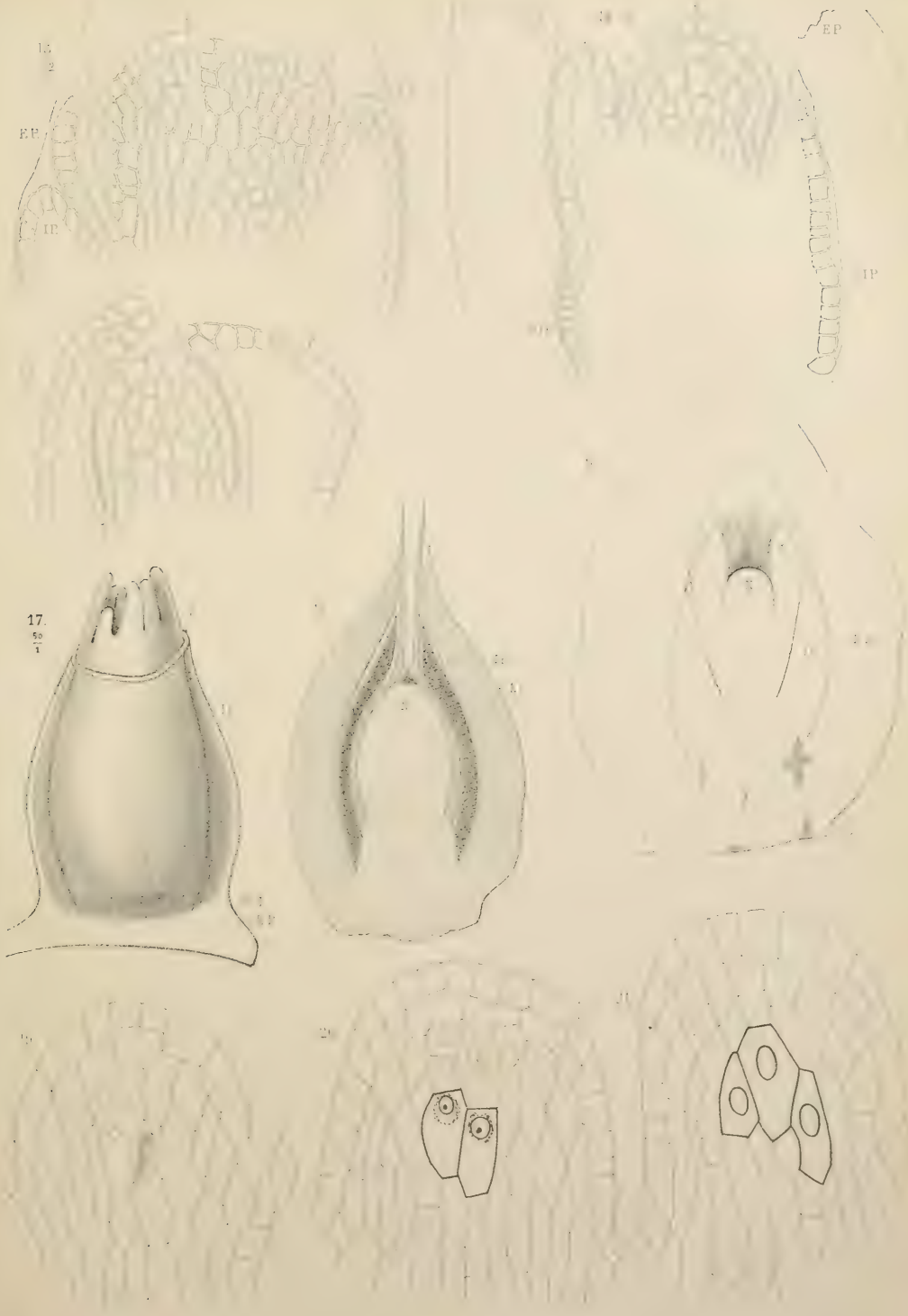
J M J ad nat del

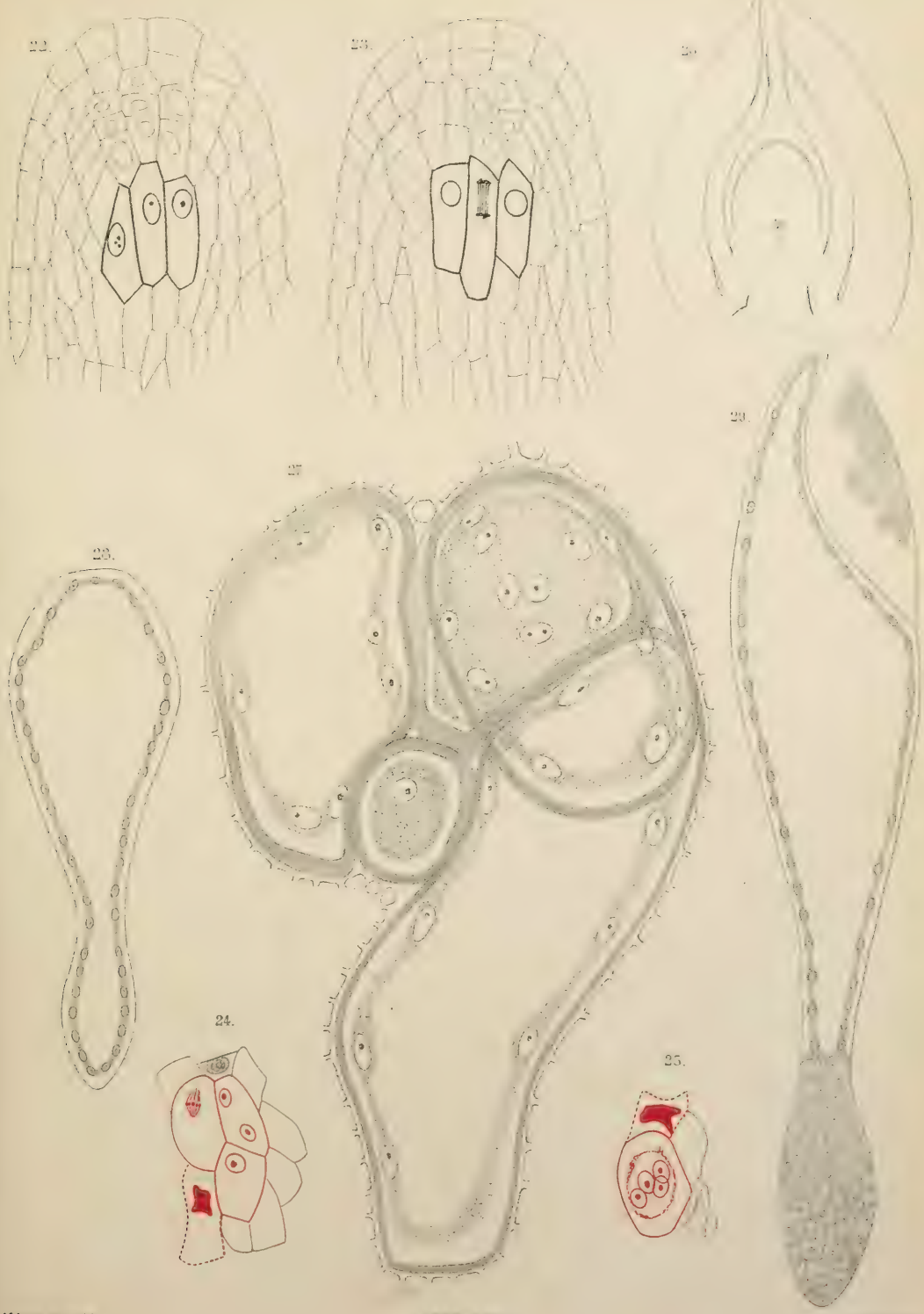


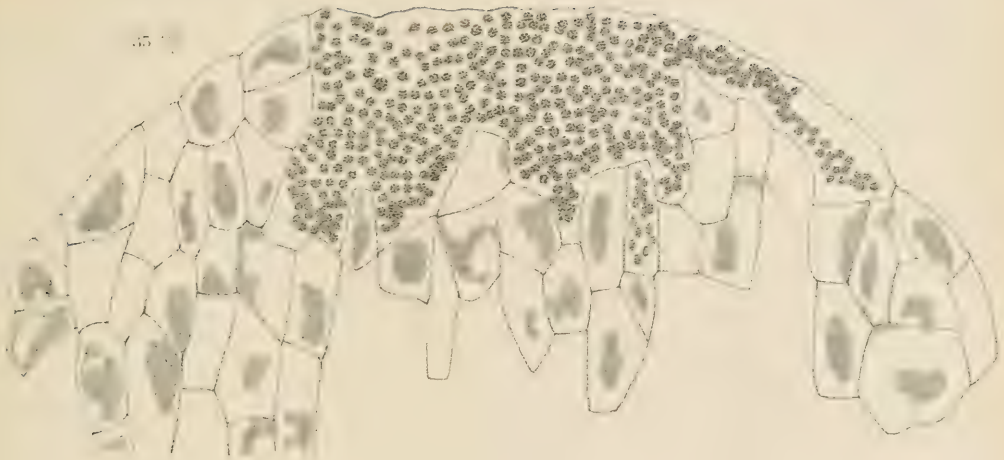
J P Lotsy ad nat. del

P W M Trap impr

A J Wendel lith

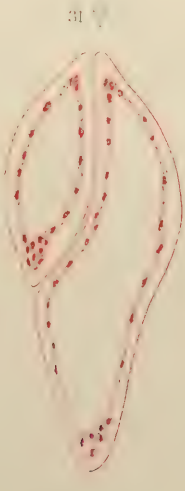

EP
IP
17.


22.
23.
29.
27
28.
24.
25.



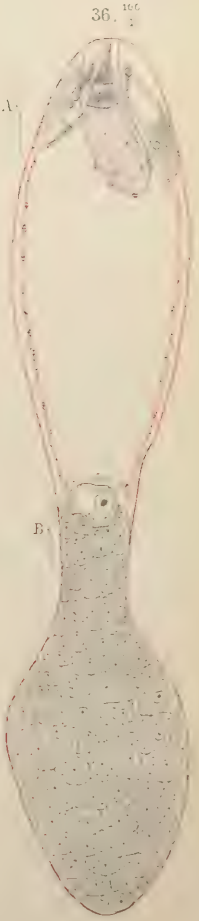


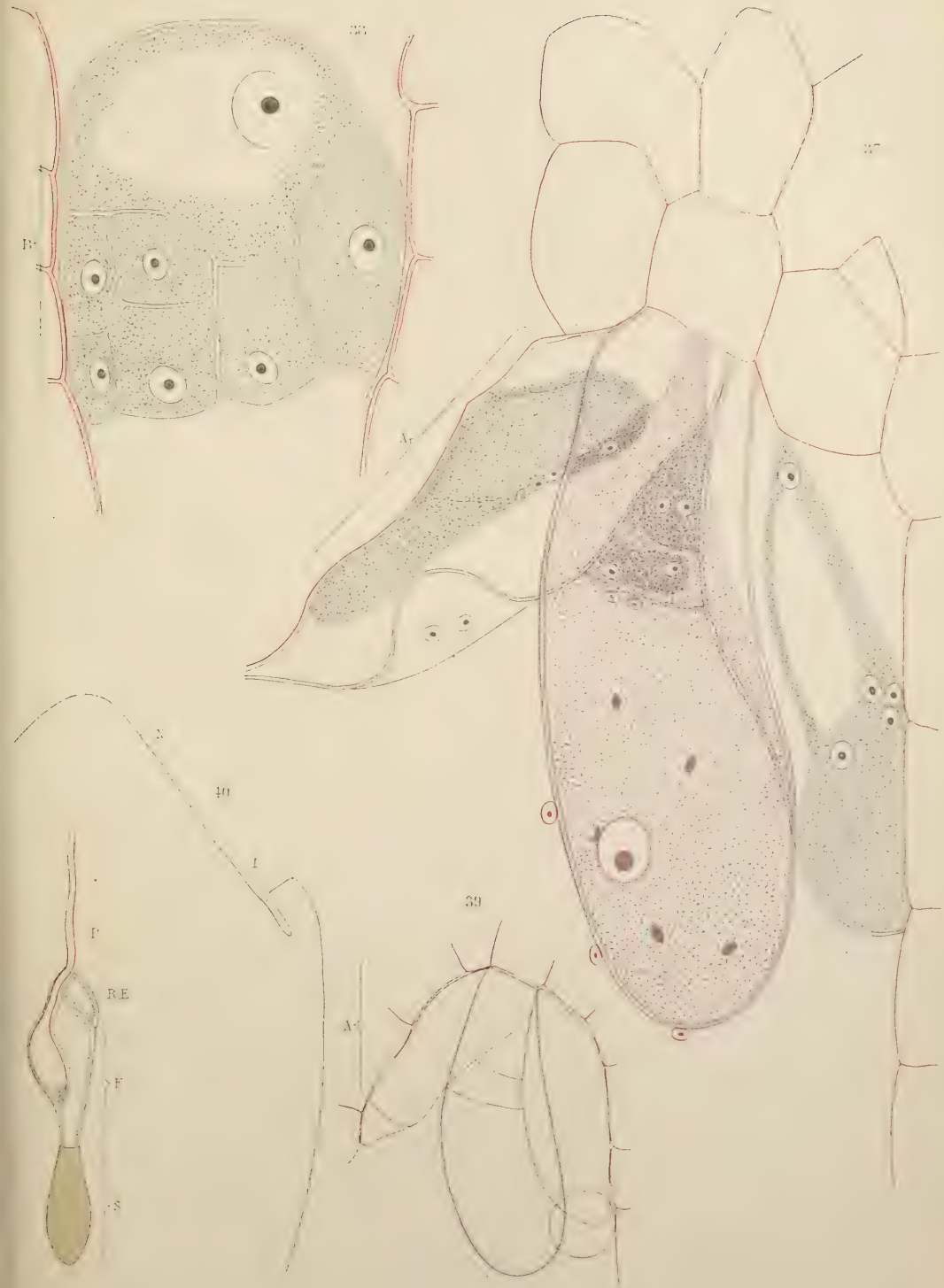


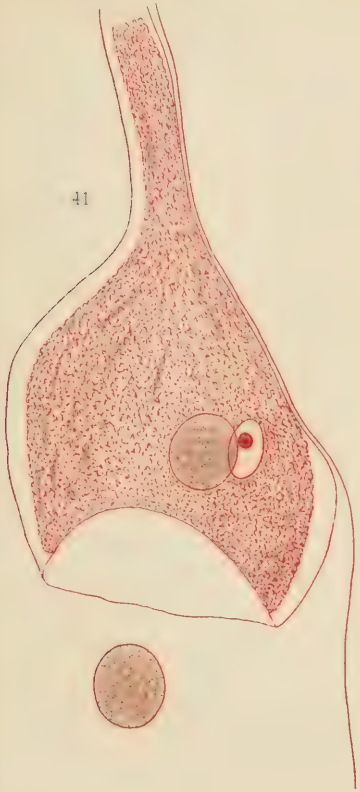






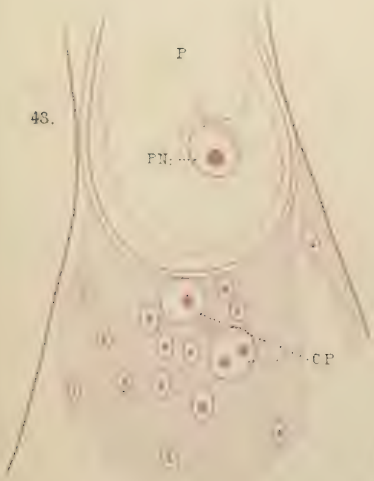



40
I
39
RE
F
S

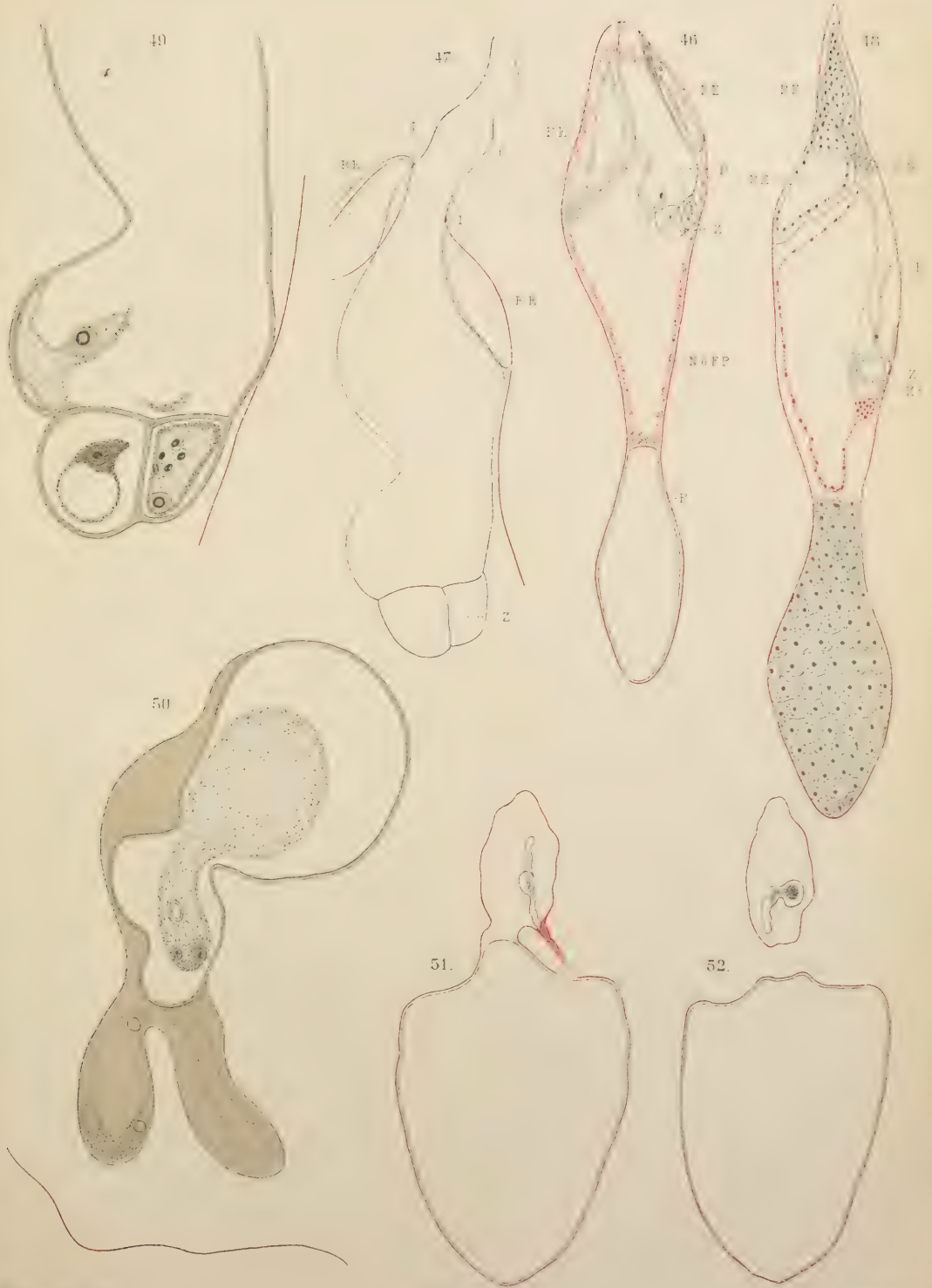

41


42.
P
PN
H
CP
CP
PE

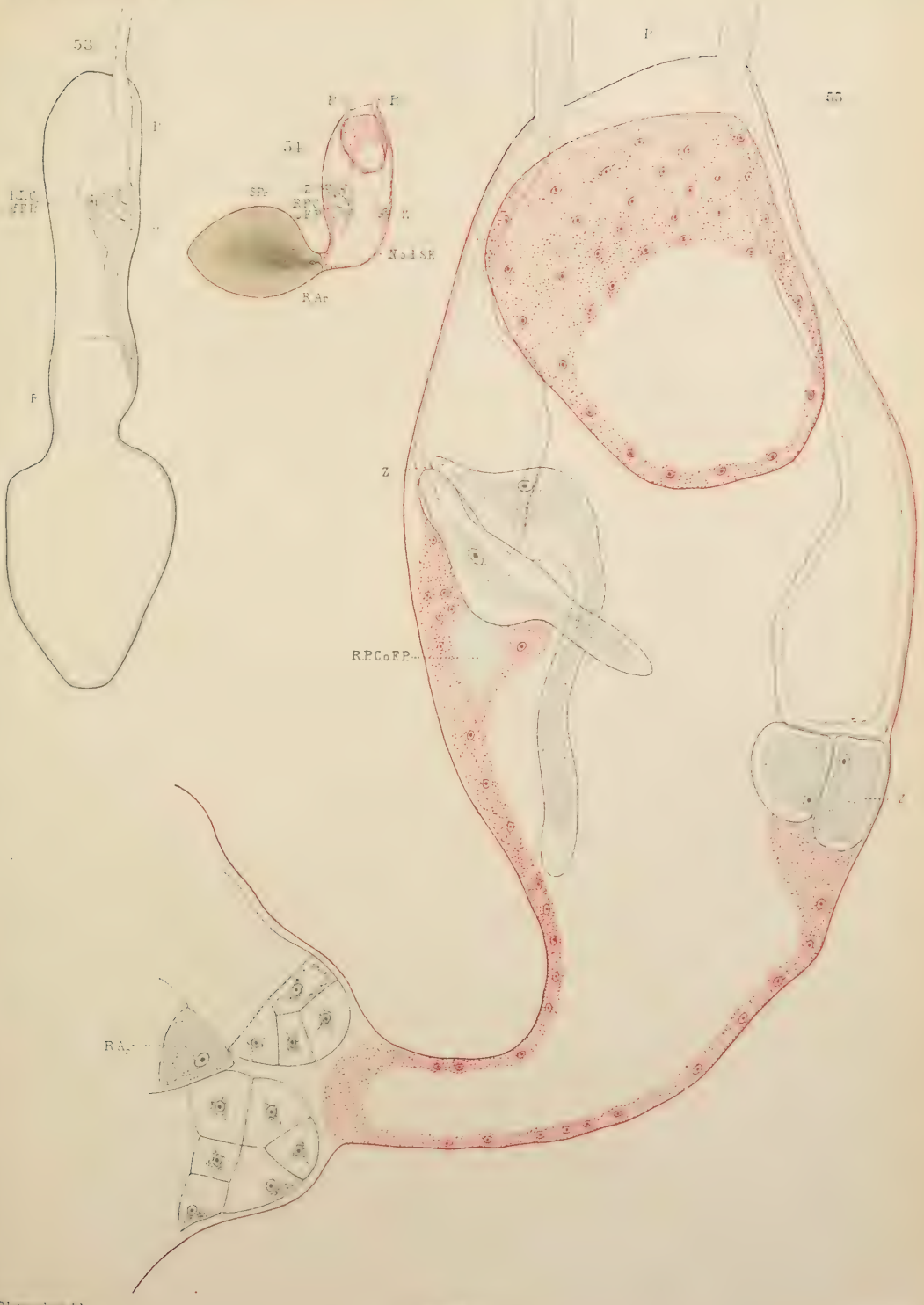

45
PE
P
PN
Z
RP
PP
PC. e SP

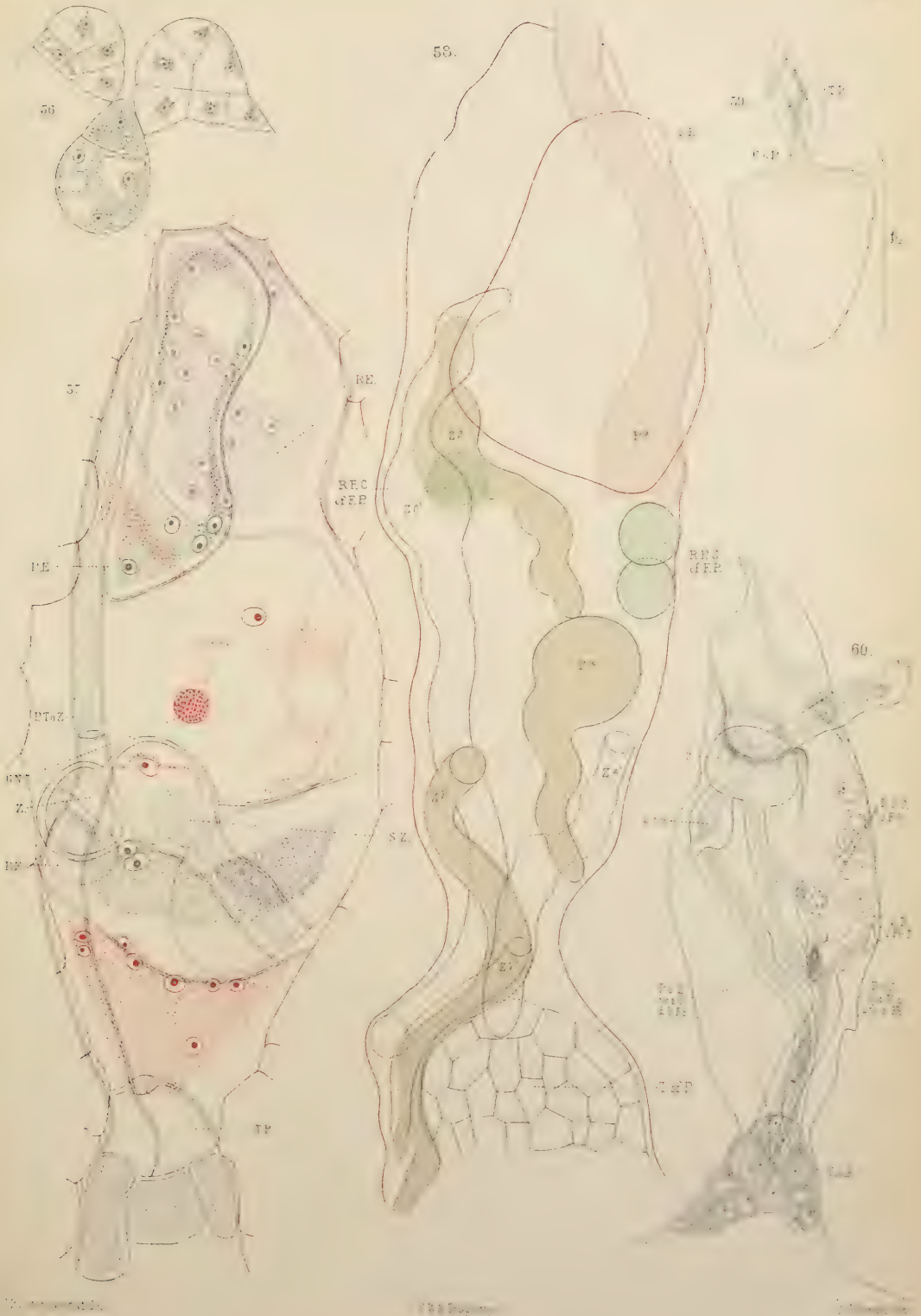

43.
P
PN
CP

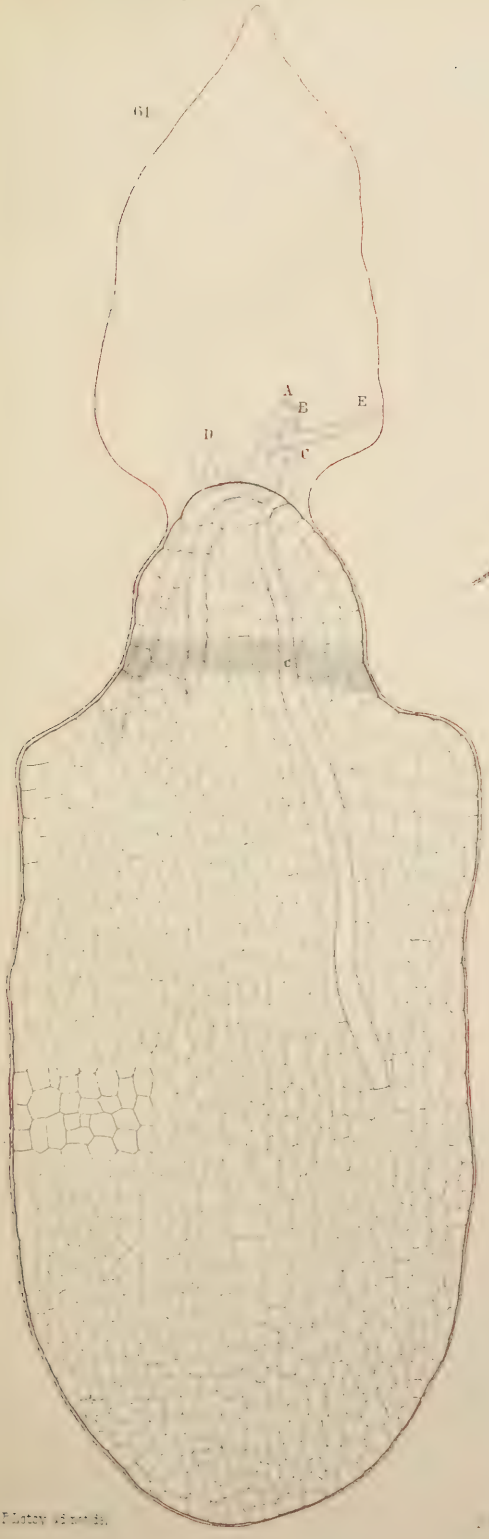

44.
P
PN
Z
Z
WoE



J.F.Leroy ad nat. del. P.W.M.Trap impr.

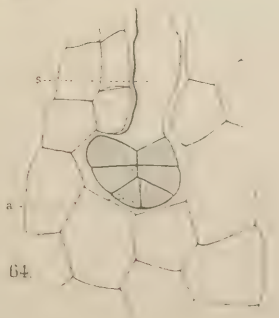

53
54
55
P
Z
R.P.Co.F.P.
R.Ar.
N.od.SE.


56
57
58.
59
60.
RE.
RE.C
dF.P.
PE
PTeZ
SZ
TP
RE.C
dF.P.
C dF.P.


61
A
B
E
E
D
C
c


62


63.


s
a
64.


65
s
a

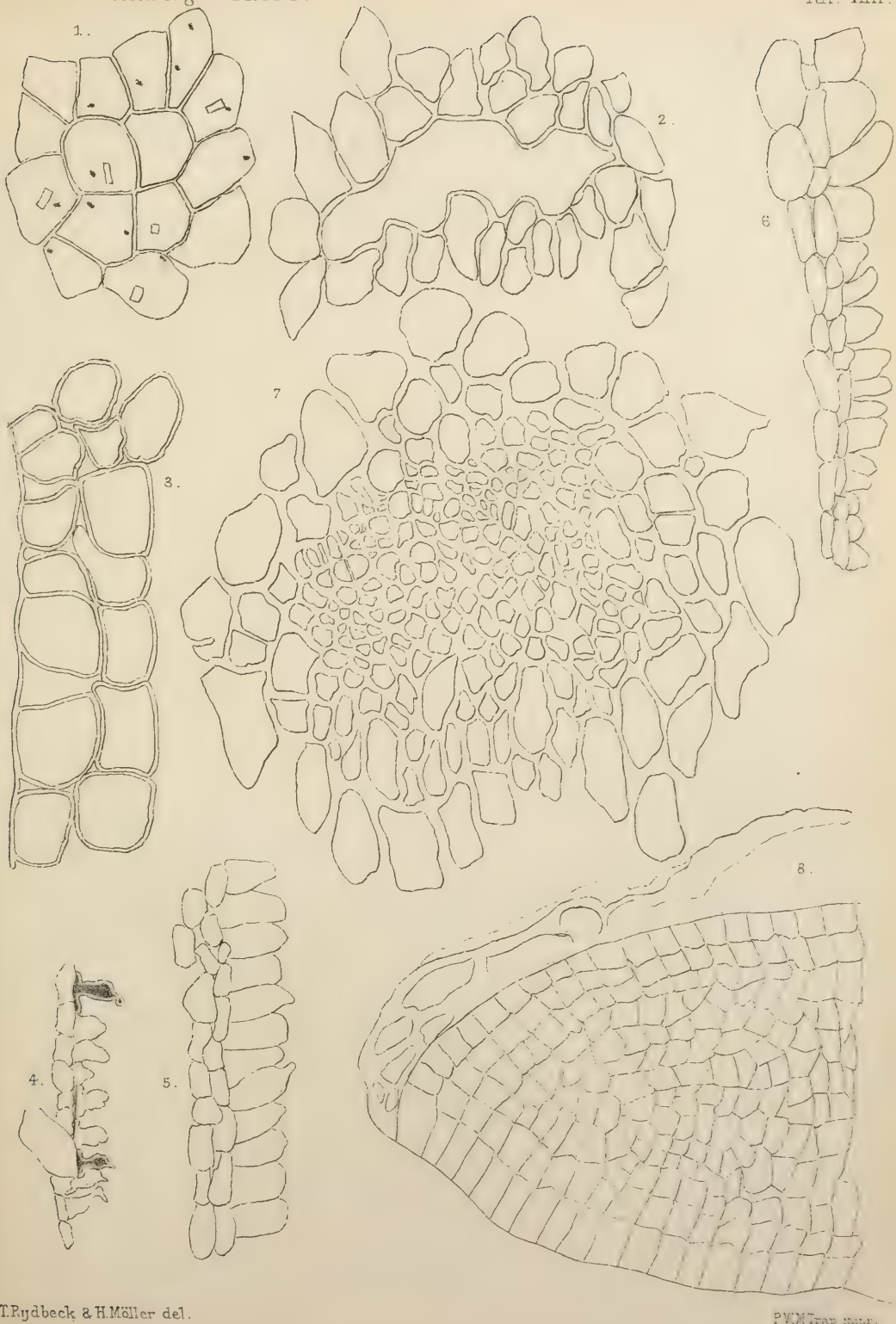






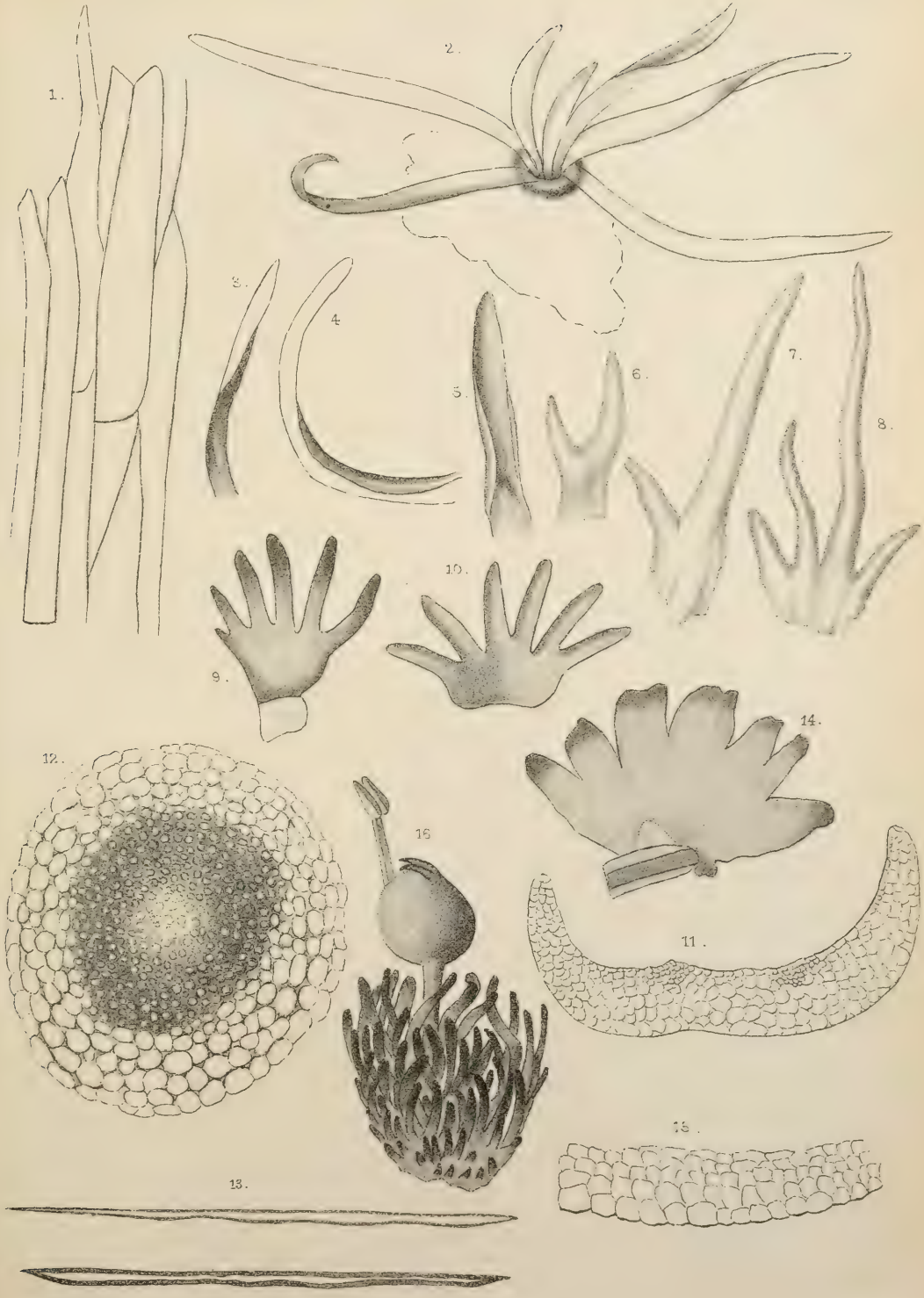


T.Rydbeck & H.Möller del. P.W.M.Trap impr.

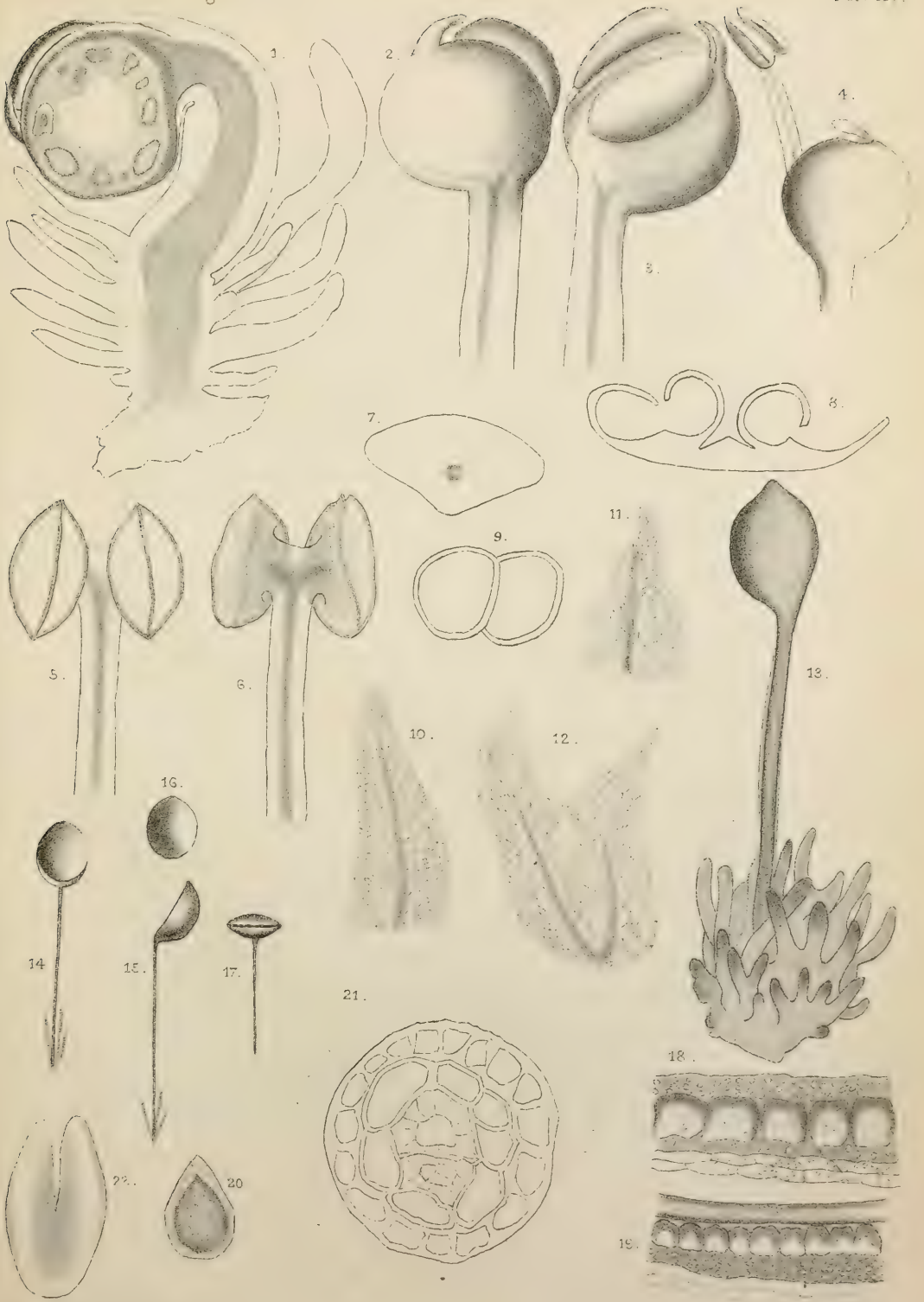


T. Rydbeck & H. Möller del.

P.W.M. Trap imp.



T. Rijdbeck & H. Möller del. P.W.M. Trap impr.



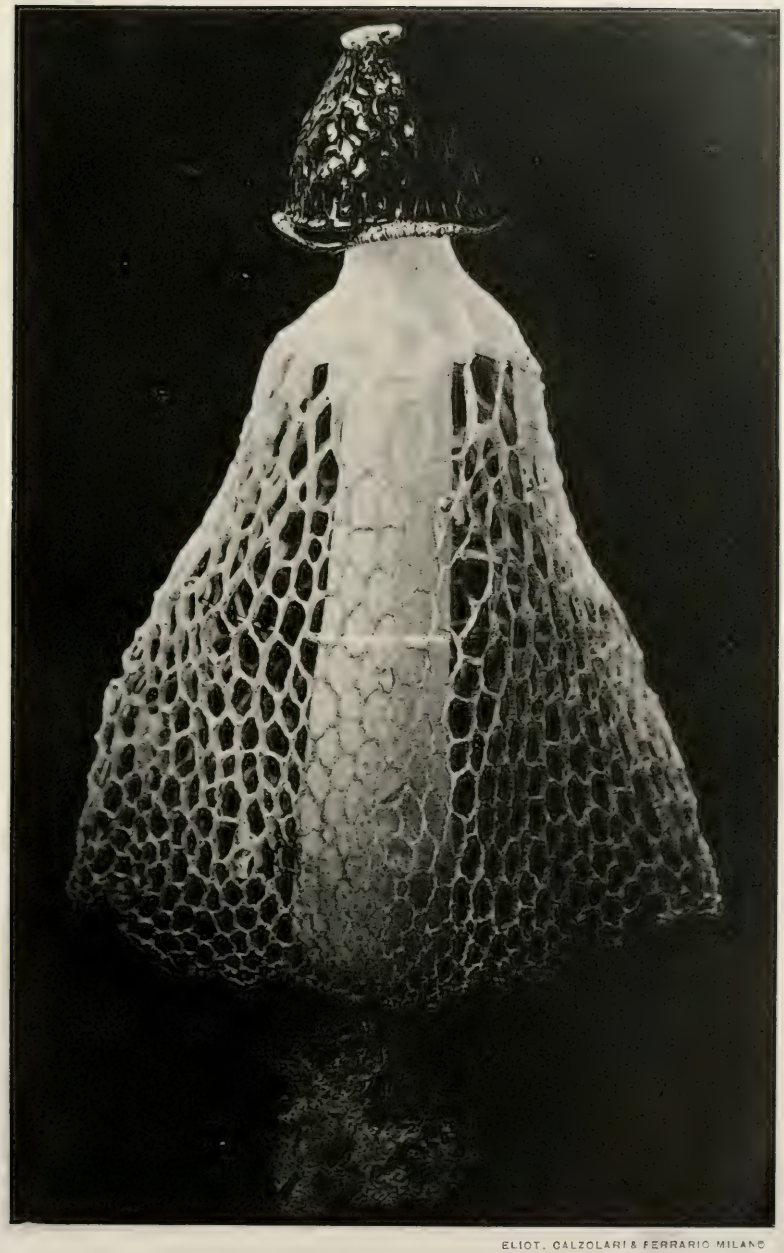
T.Rydbeck & H.Möller del.

P.W.M. Trap impr.



ELIOT. CALZOLARI & FERRARIO MILANO

Dictyophora phalloidea Desv.



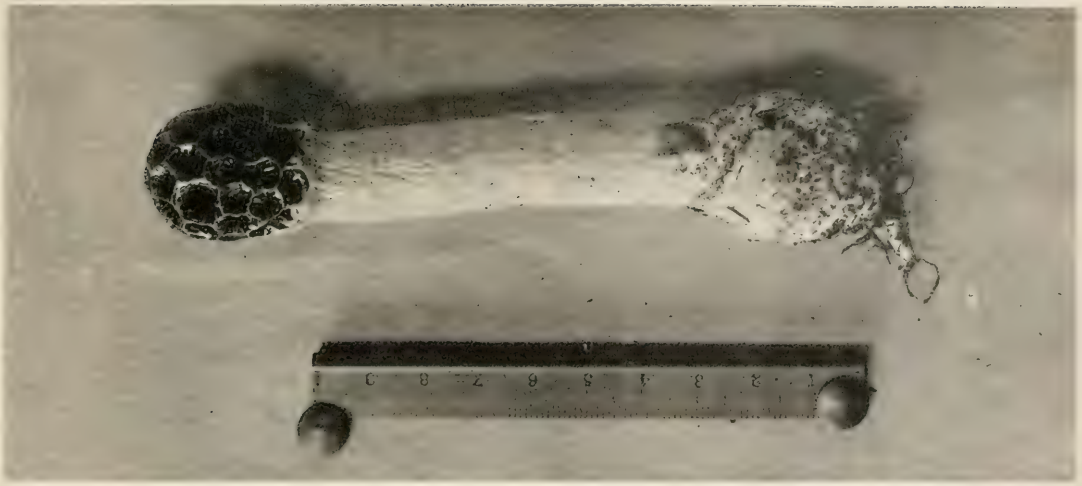
ELIOT. CALZOLARI & FERRARIO MILANO

Dictyophora phalloidea Desv.

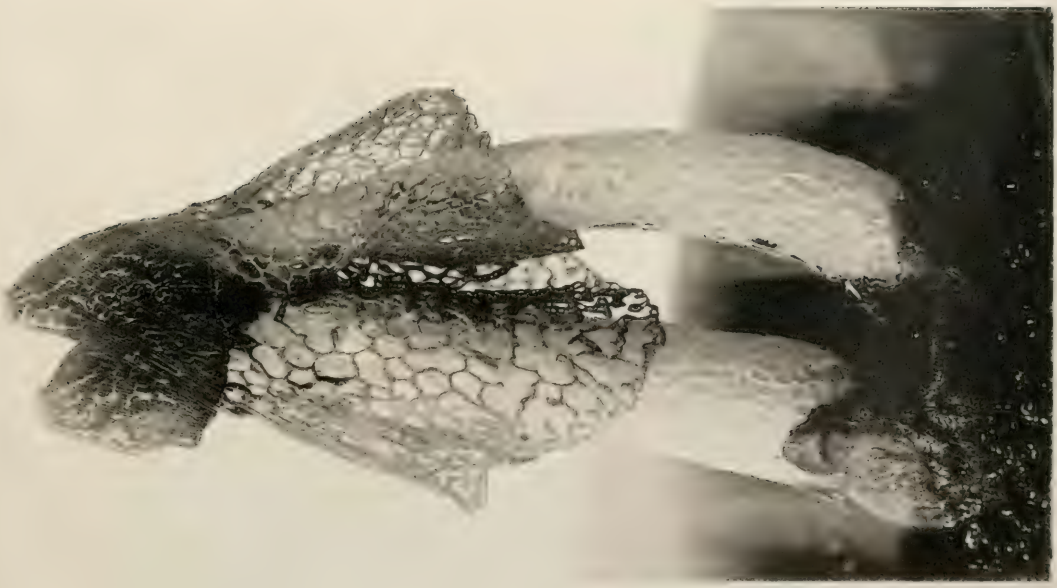


ELIOT. CALZOLARI & FERRARIO MILANO

Dictyophora irpicina Pat.



Simblum gracile Berk.



Dictyophora multicolor Berk. et Br.

ELIOT. CALZOLARI & FERRARIO MILANO



Jansia elegans Penz



ELIOT. CALZOLARI & FERRARIO MILANO

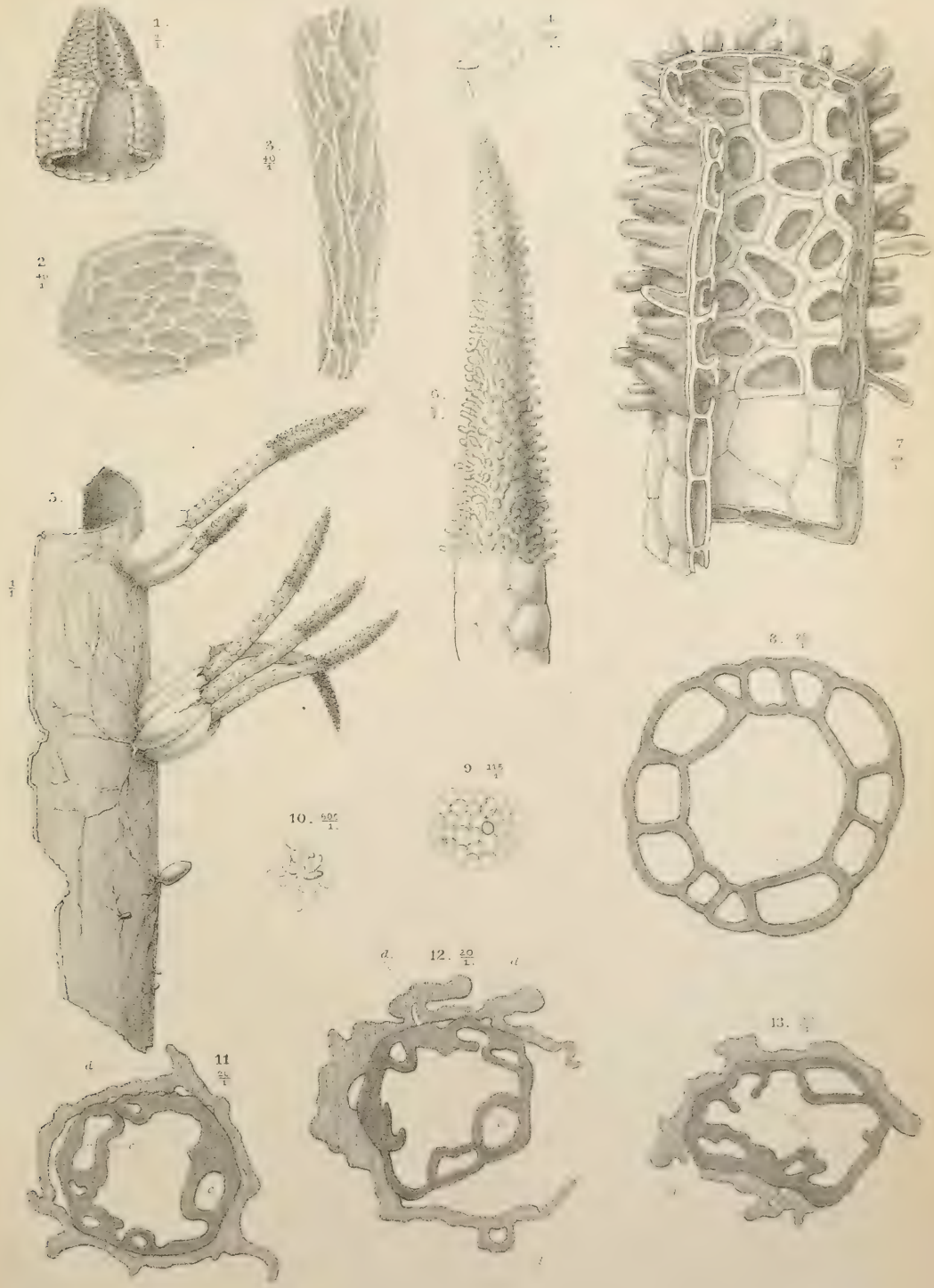
Jansia rugosa Penz.

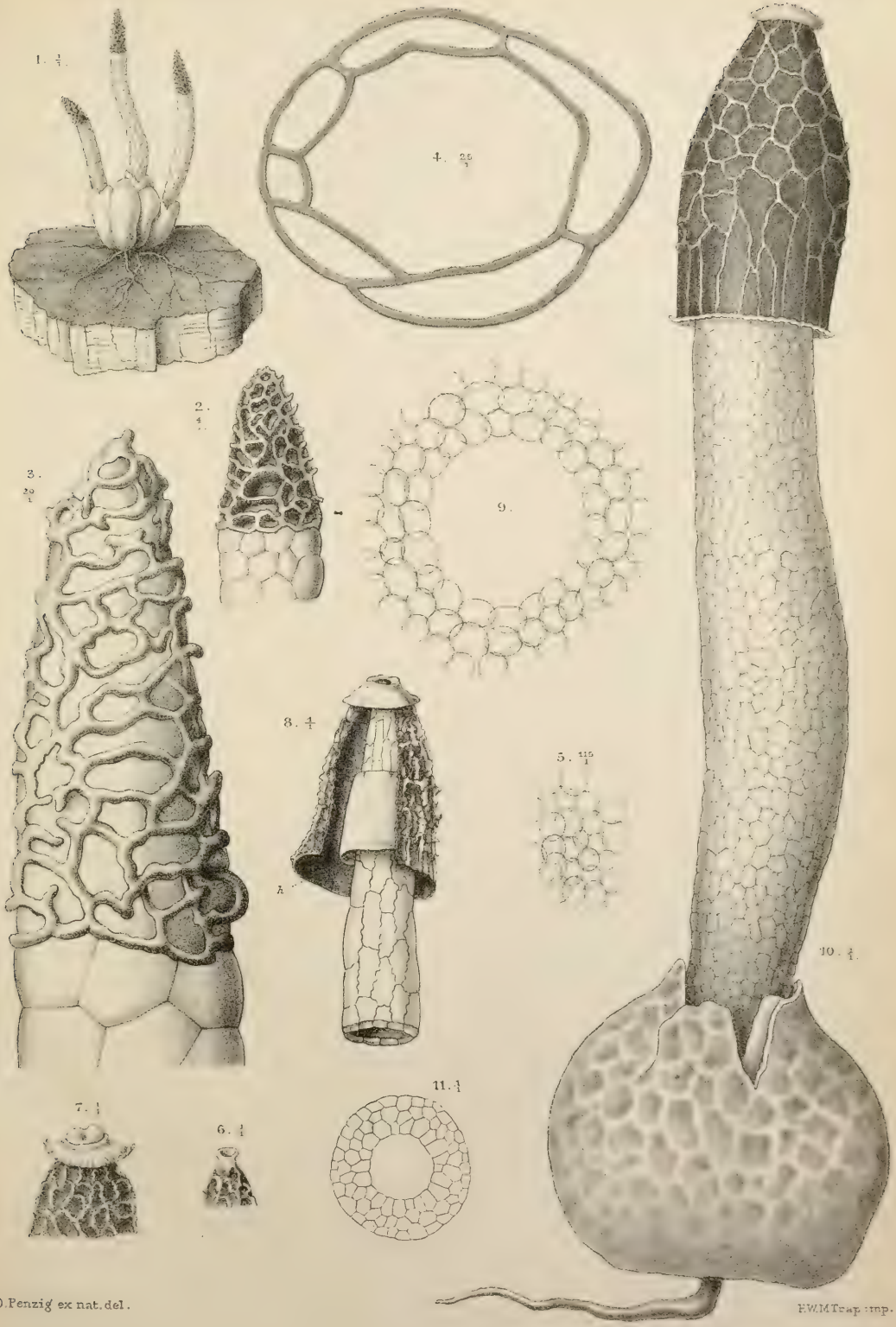


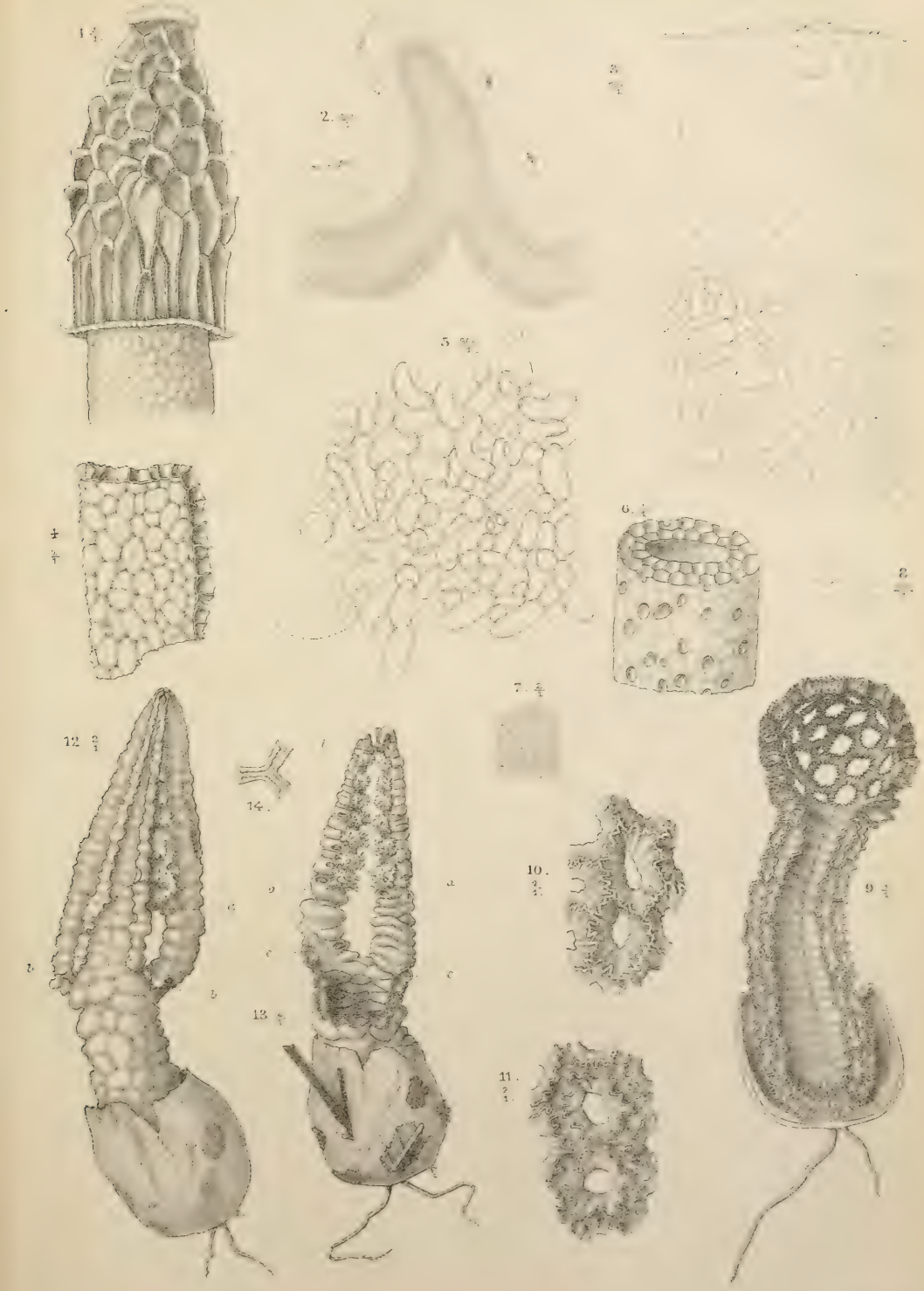
Colus javanicus n. sp.

Mutinus Fleischeri n. sp.

ELIOT. CALZOLARI & FERRARIO MILANO

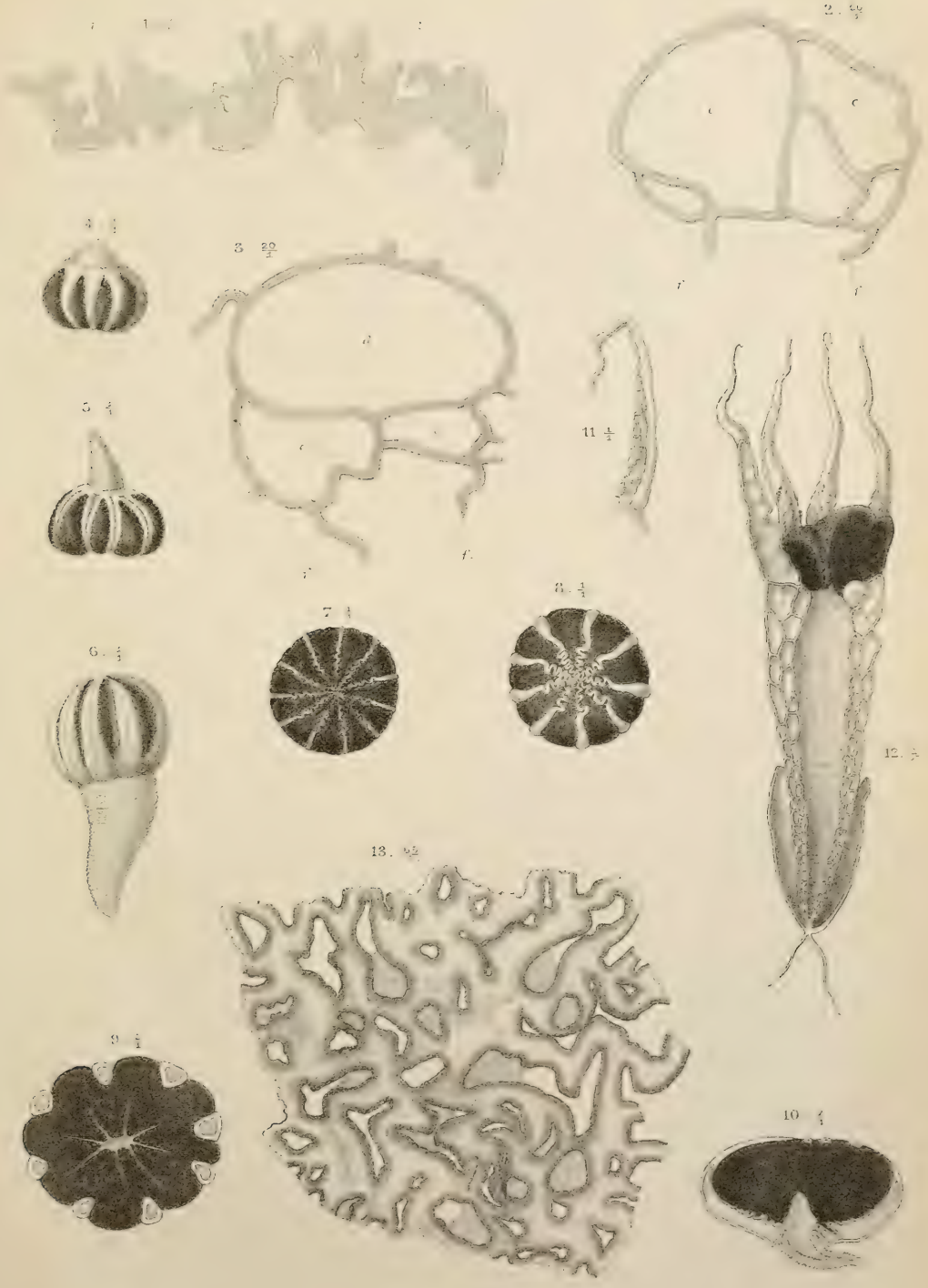

1.
2.
3.
4.
5.
6.
7.
8.
9.
10.
11.
12.
13.
d.
d.
d.


1. 1/1
4. 25/1
2. 1/1
3. 20/1
9.
8. 1/1
A
5. 115/1
10. 1/1
11. 1/1
7. 1/1
6. 1/1



O. Penzig ex nat. del.

P.W.M. Trap imp.


2. 5/1
3. 20/1
4. 1/1
5. 4/1
6. 4/1
7. 4/1
8. 4/1
9. 4/1
10. 4/1
11. 4/1
12. 5/1
13. 5/1

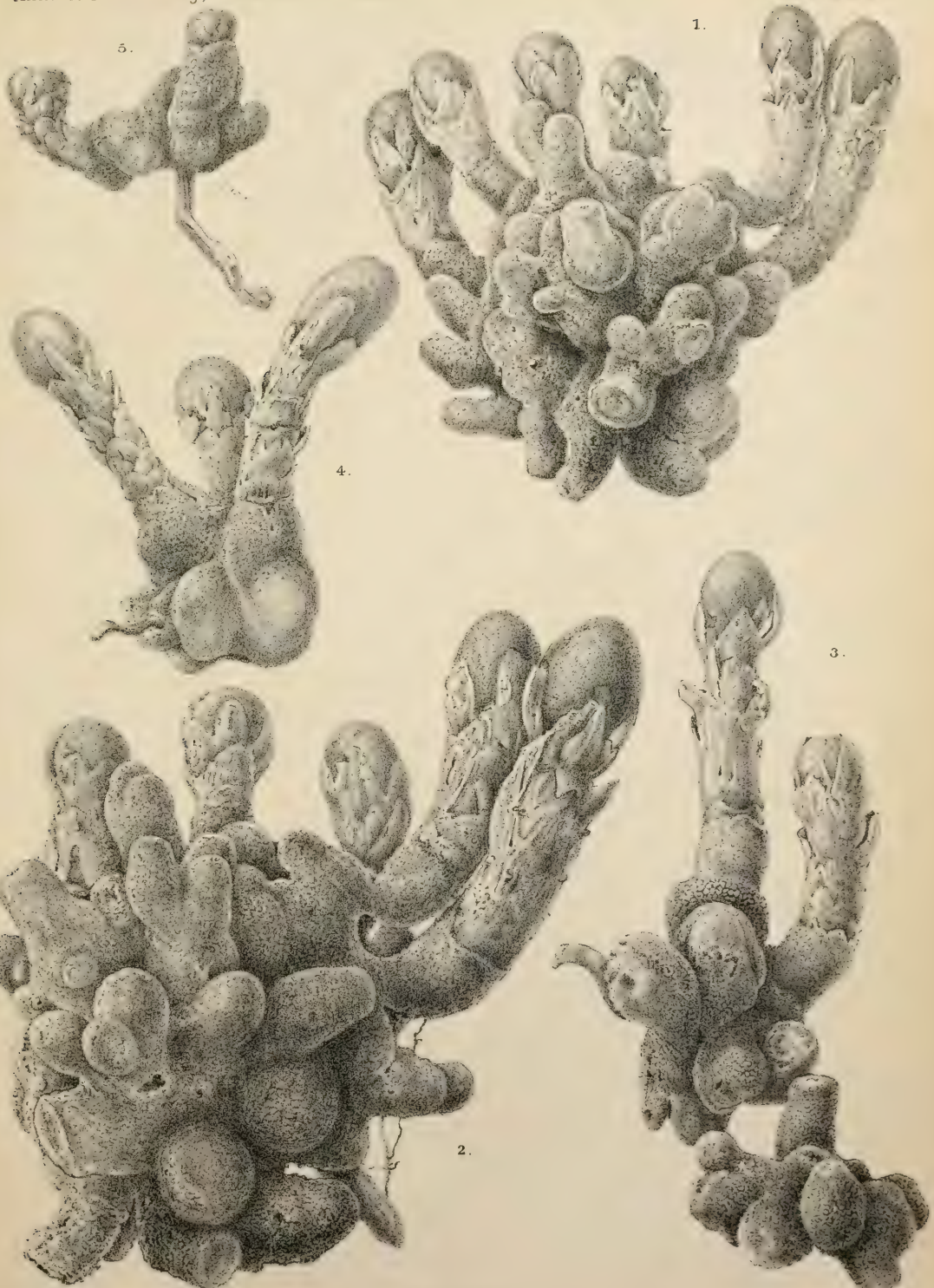
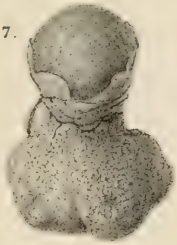
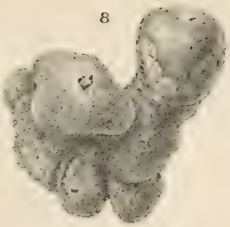


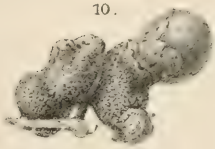
Fig. 1-10 A. Zimmermann phot. P.W.M. Trap impr. A.J.J. Wendel lith.


6.


7.


8


9.


10.

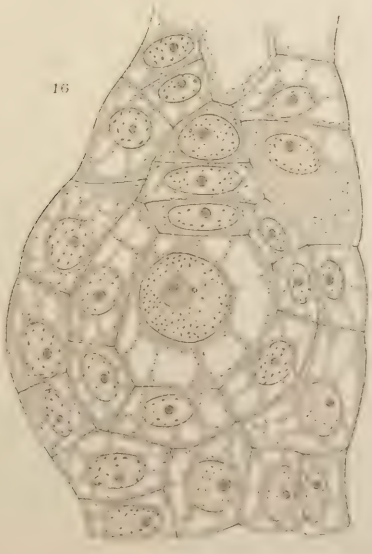

12.


11

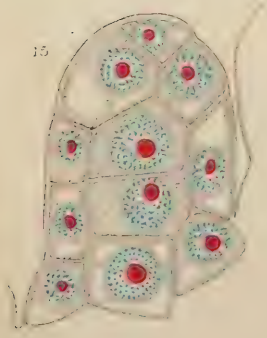
X
13


17


14.

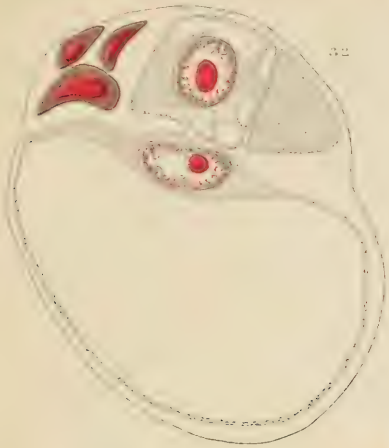

16


18


15

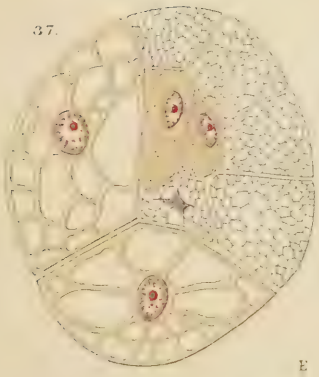

19


20
21
22
23
24
25
26
27
28
29
30
31
a
b
E
F
o
p


32

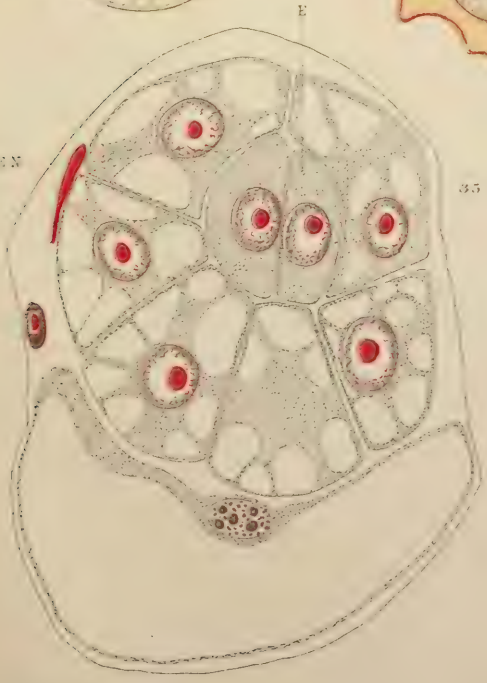

33


34


37.


36
m


38


E
E N
35
a


39

TABLE DES MATIÈRES.

Pag.

PENZIG (O.), Ueber Javanische Phalloideen. 133

Erklärung der Tafeln XVI—XXV 171

LOTSY (J.), Balanophora Globosa Jungh 174

Erklärung der Tafeln XXVI—XXIX. 185

Imprimerie ci-devant. E. J. BRILL. — Leide.

New York Botanical Garden Library
3 5185 00258 6426